

FIG. 1

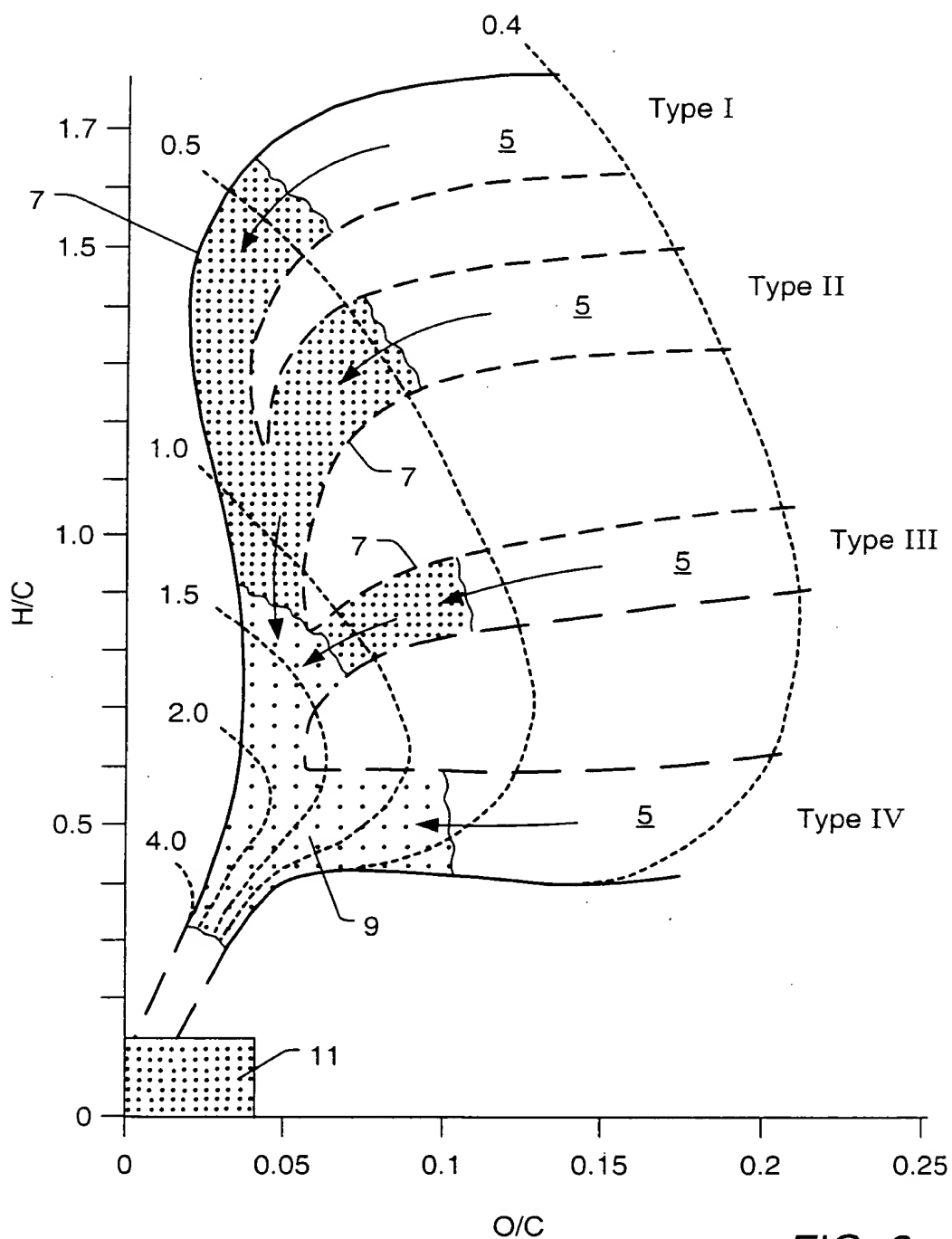


FIG. 2



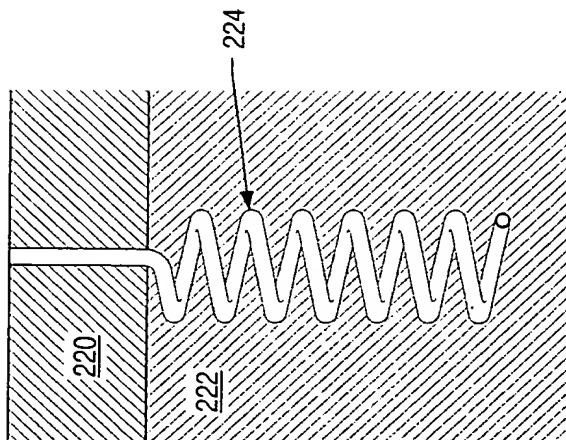


FIG. 3a

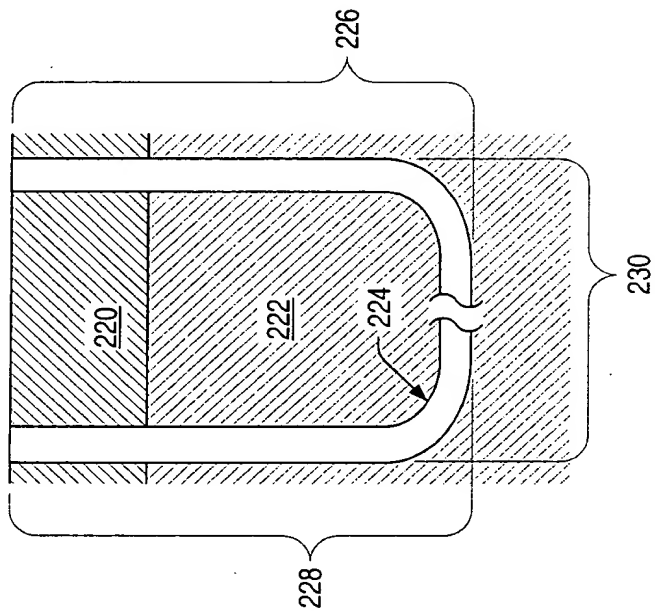


FIG. 3b

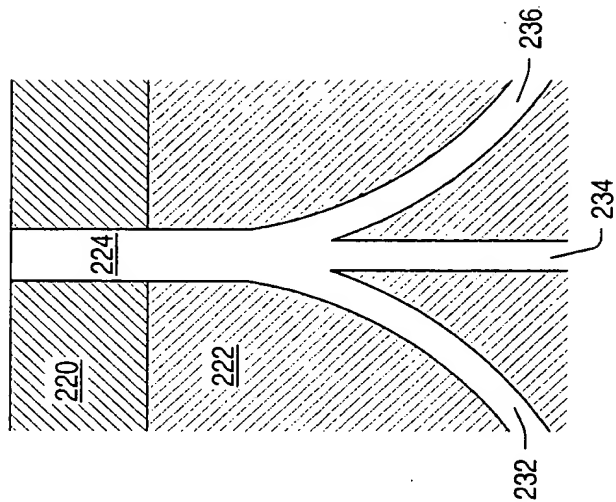
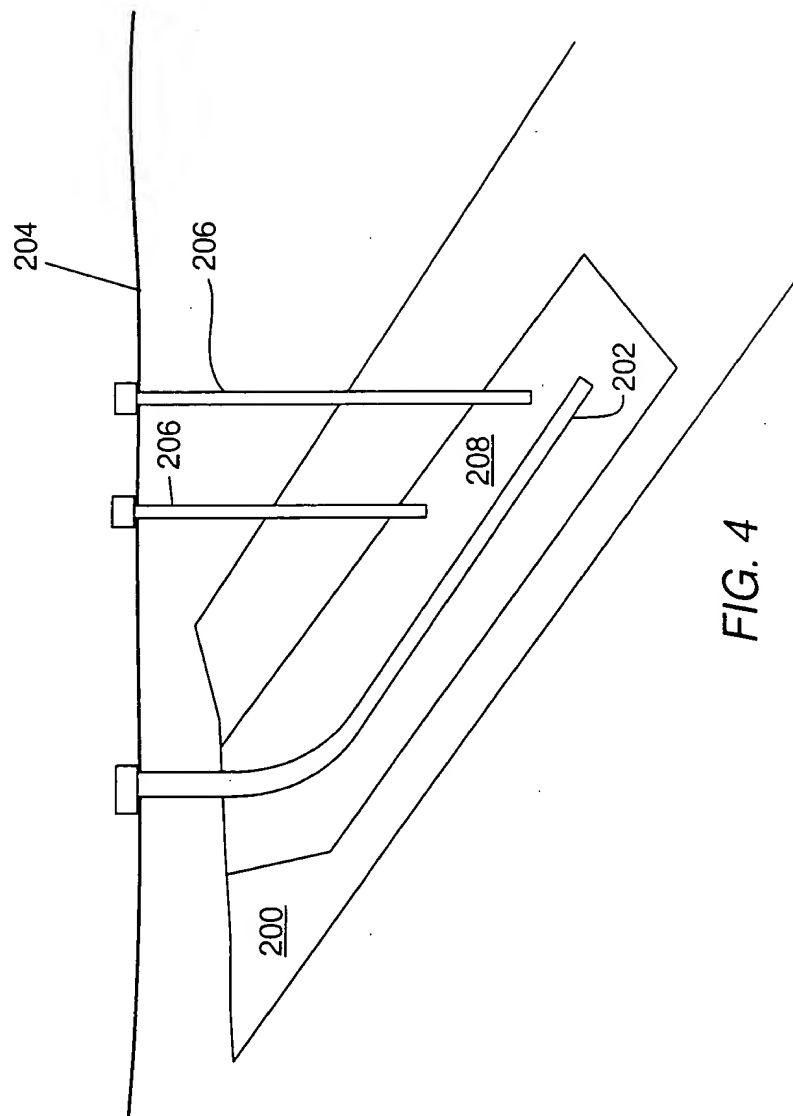
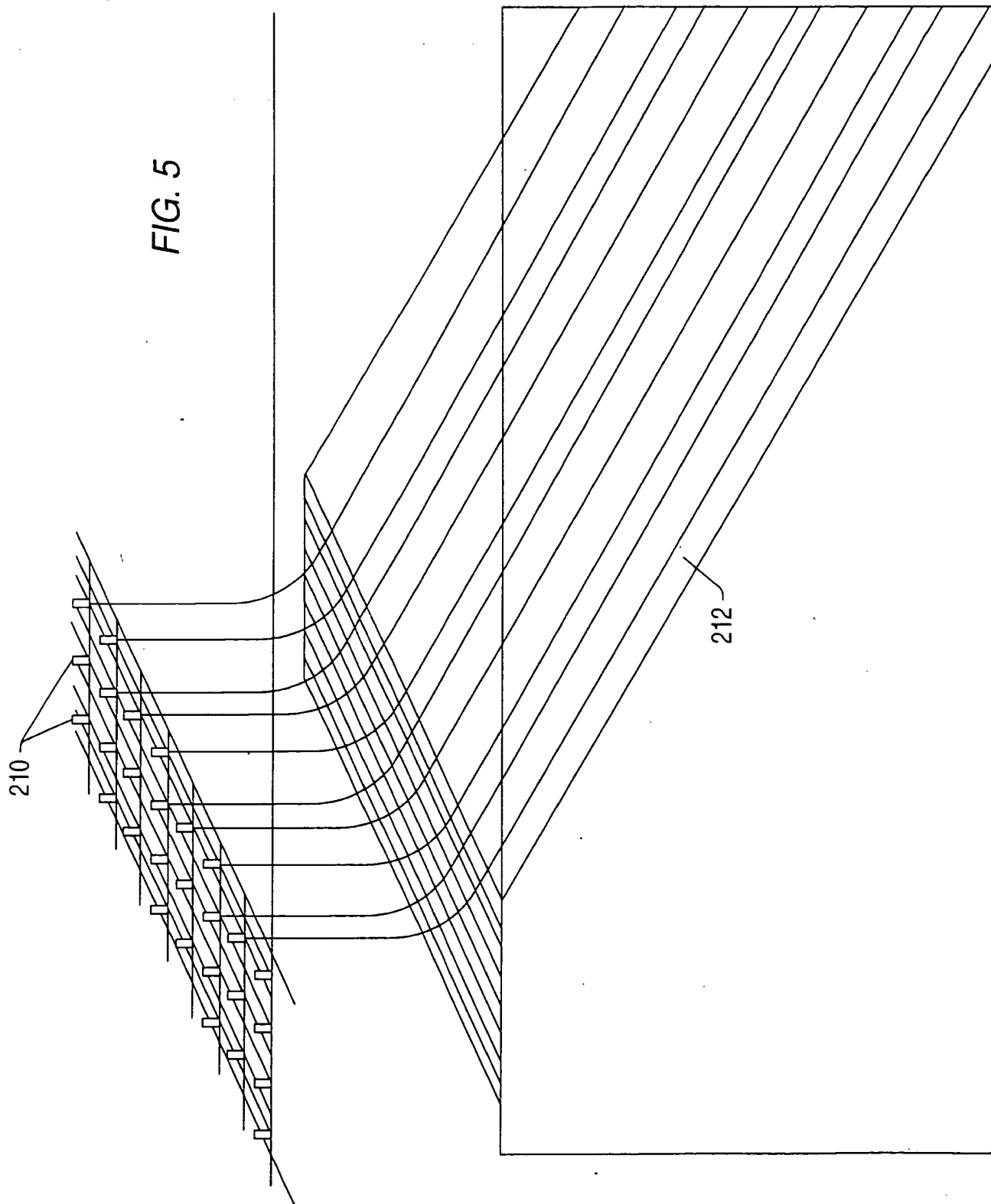


FIG. 3c





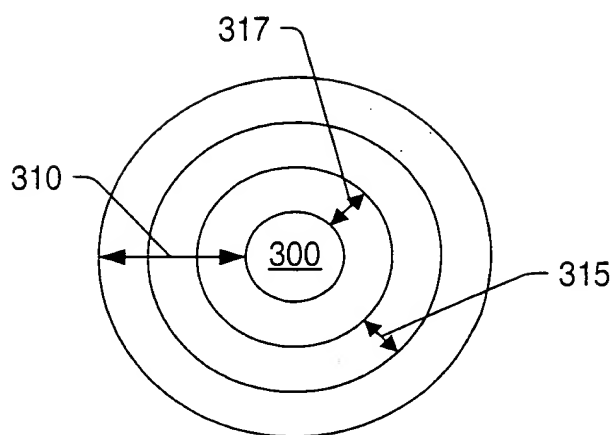


FIG. 6

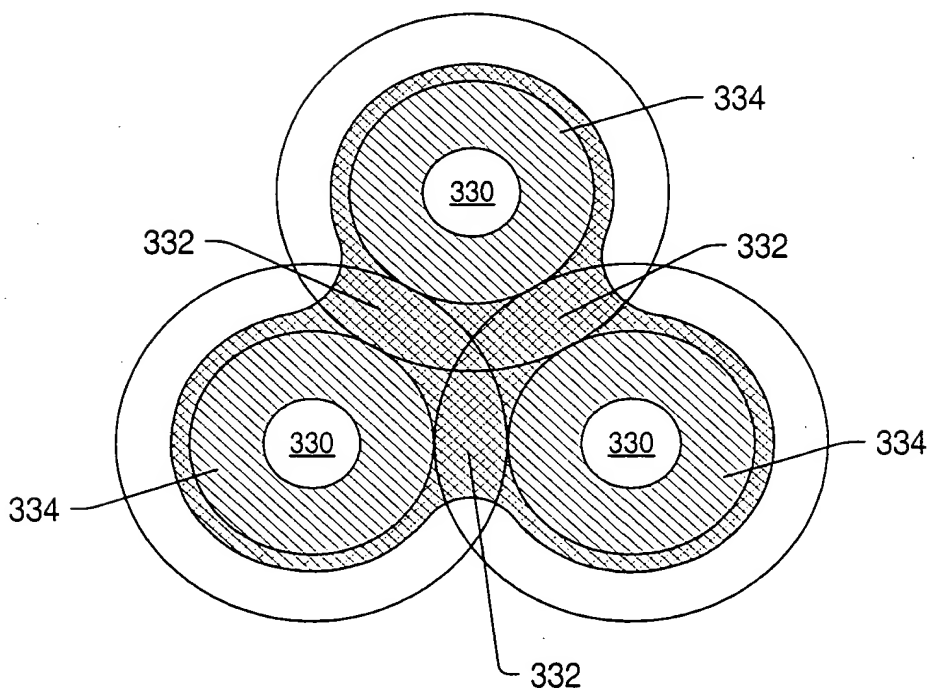


FIG. 7

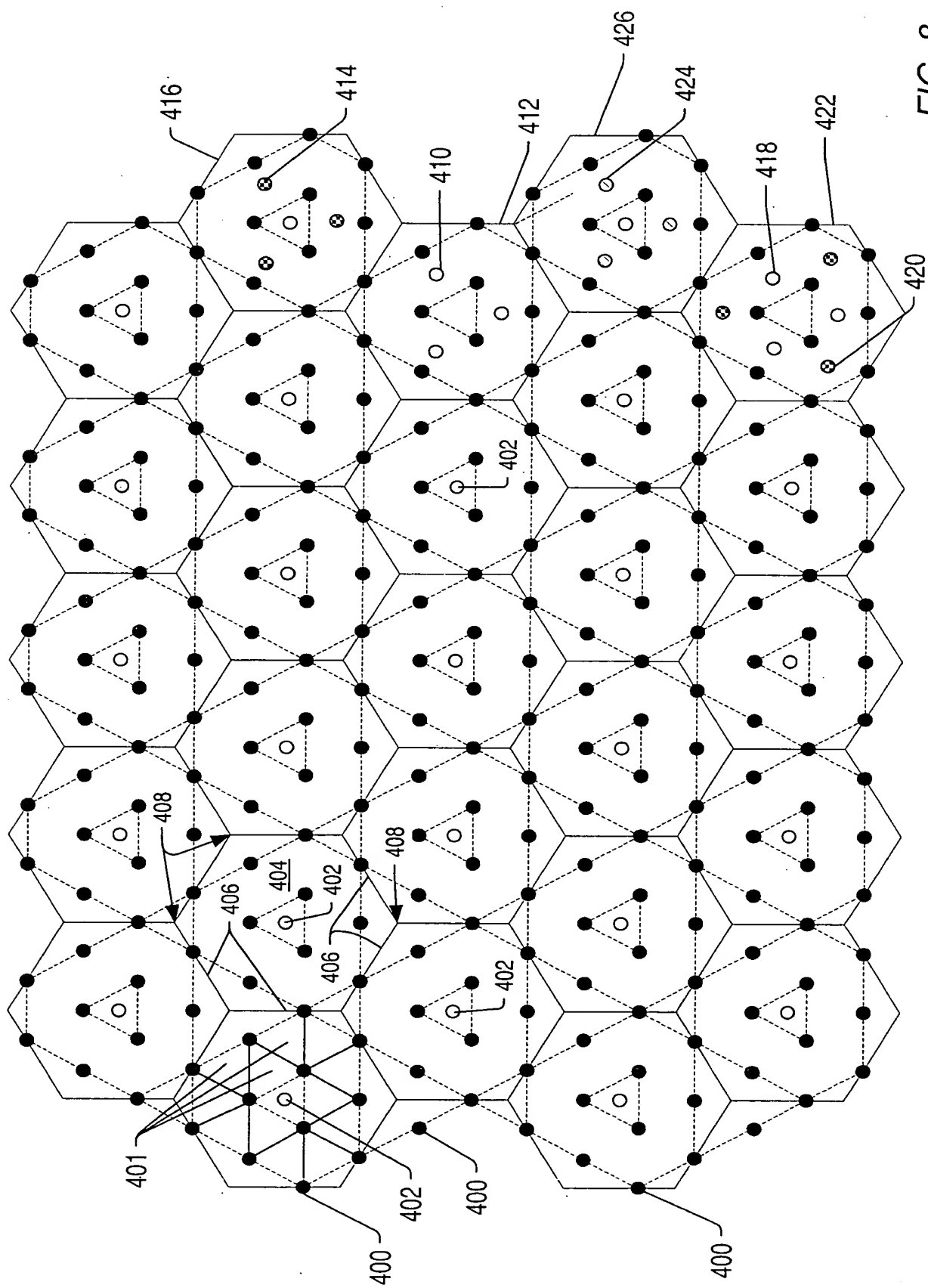


FIG. 8



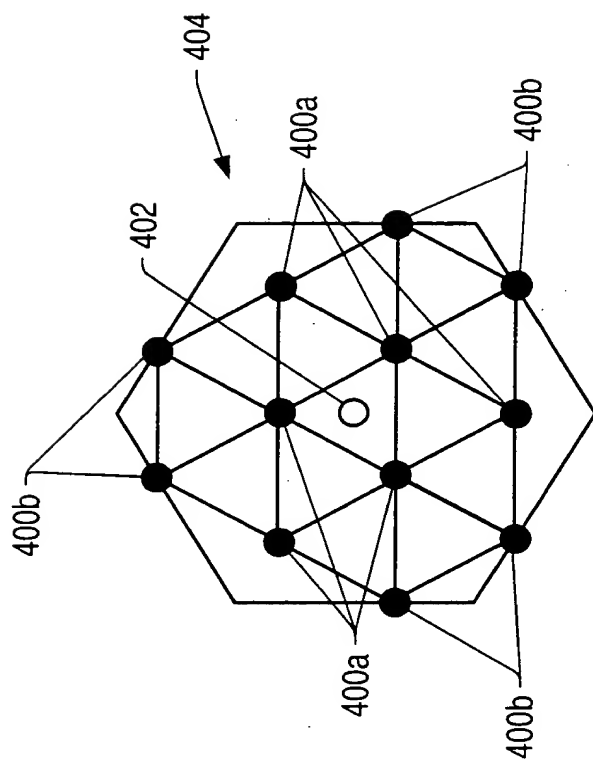


FIG. 9



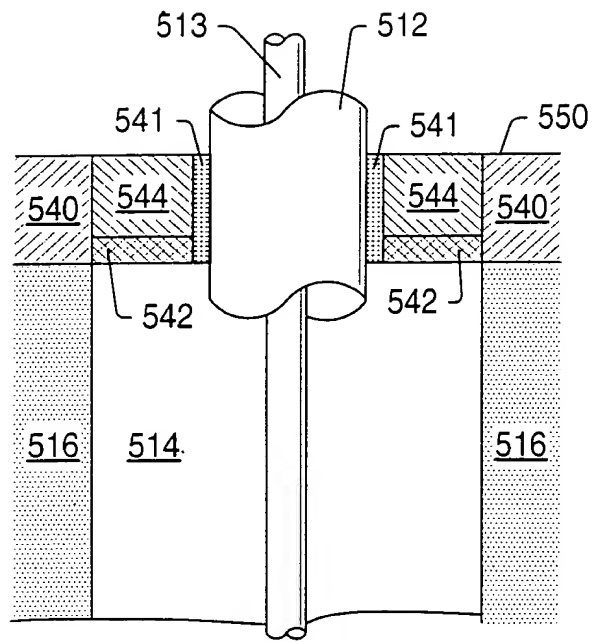


FIG. 11

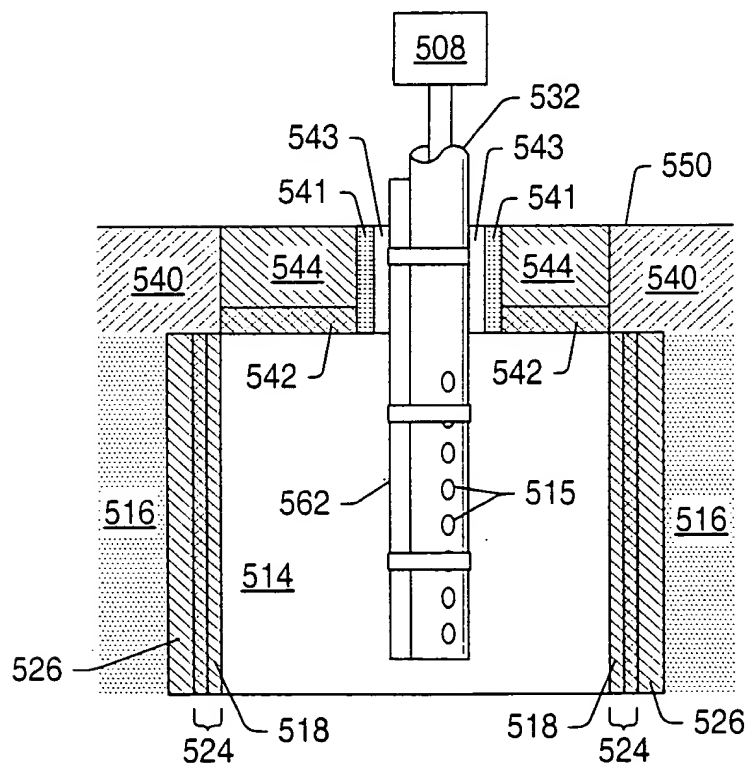


FIG. 12

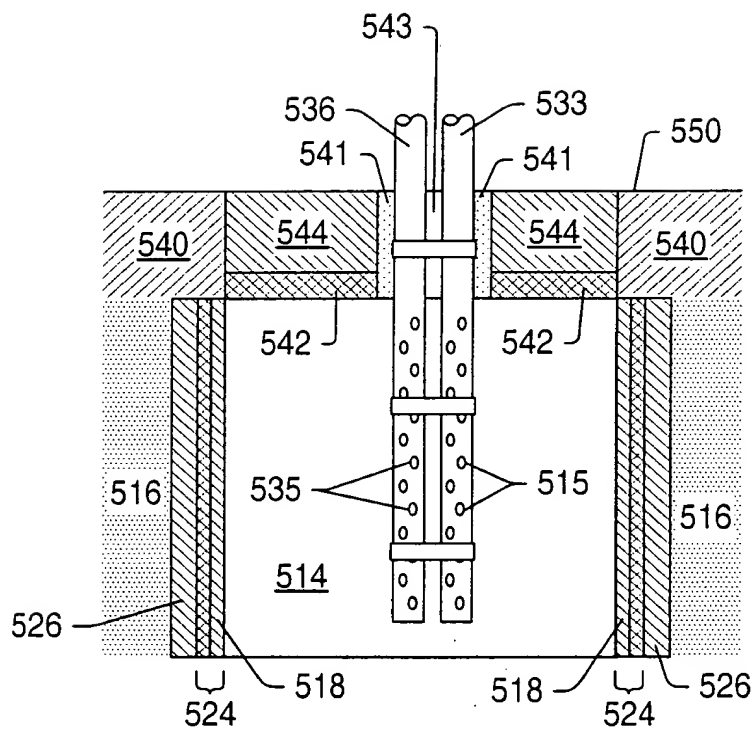


Fig. 13

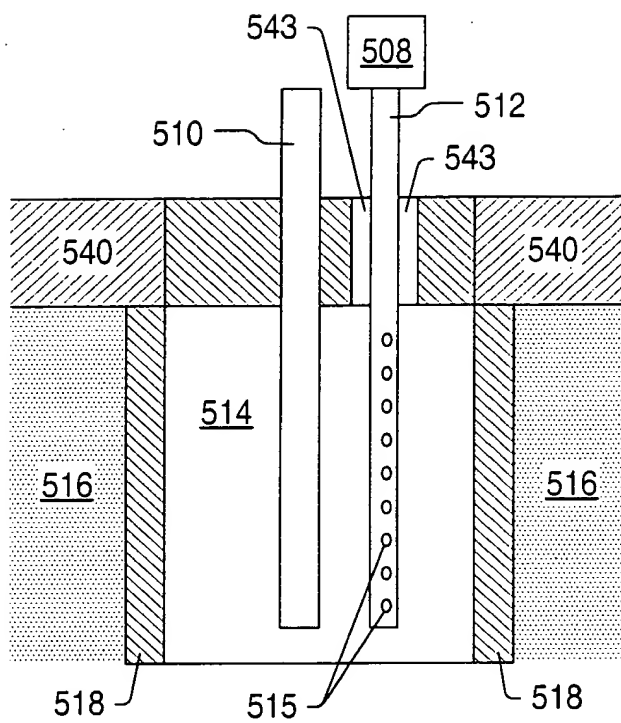


FIG. 14

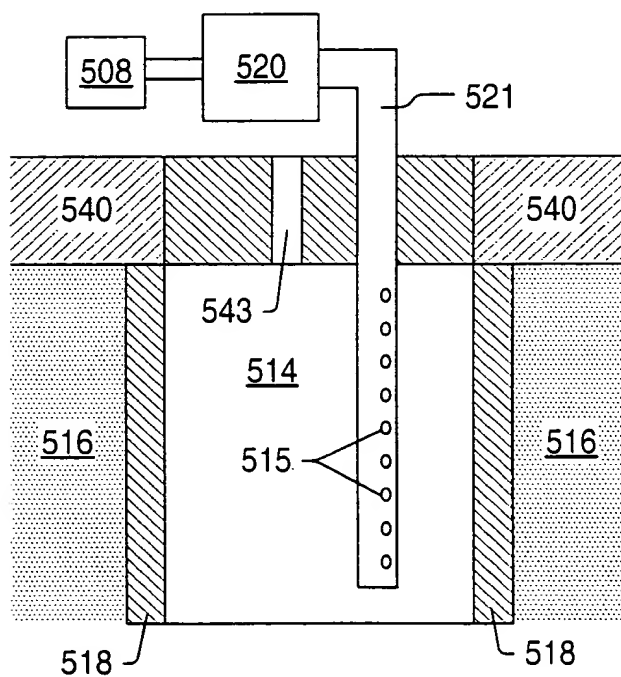


FIG. 15

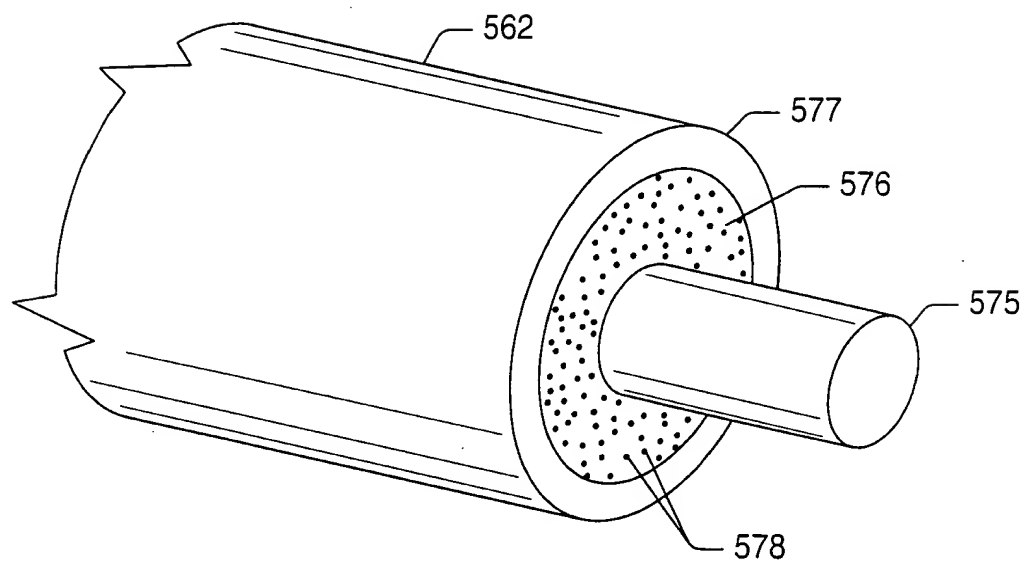


FIG. 16

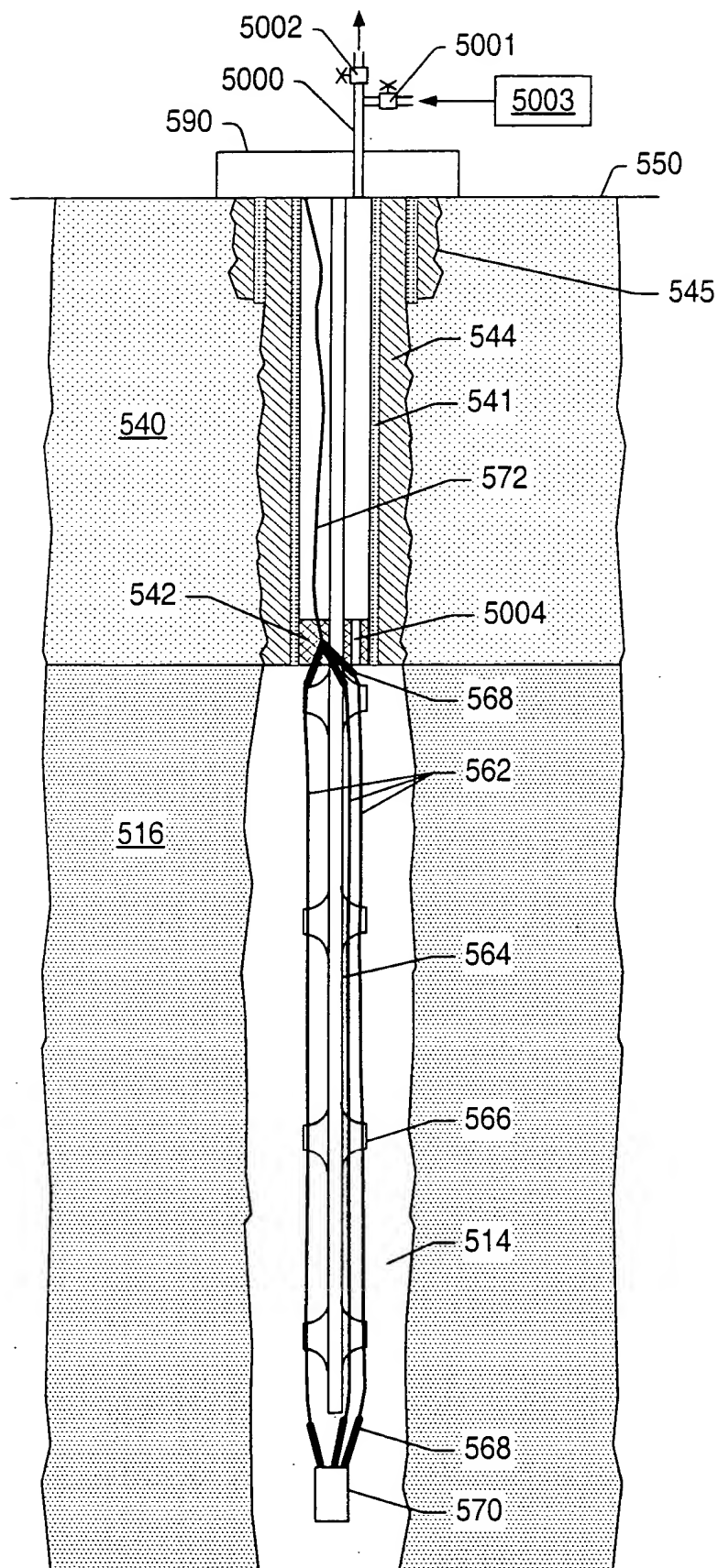


FIG. 17

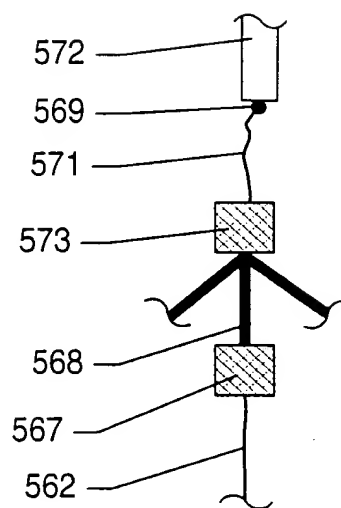


FIG. 17A

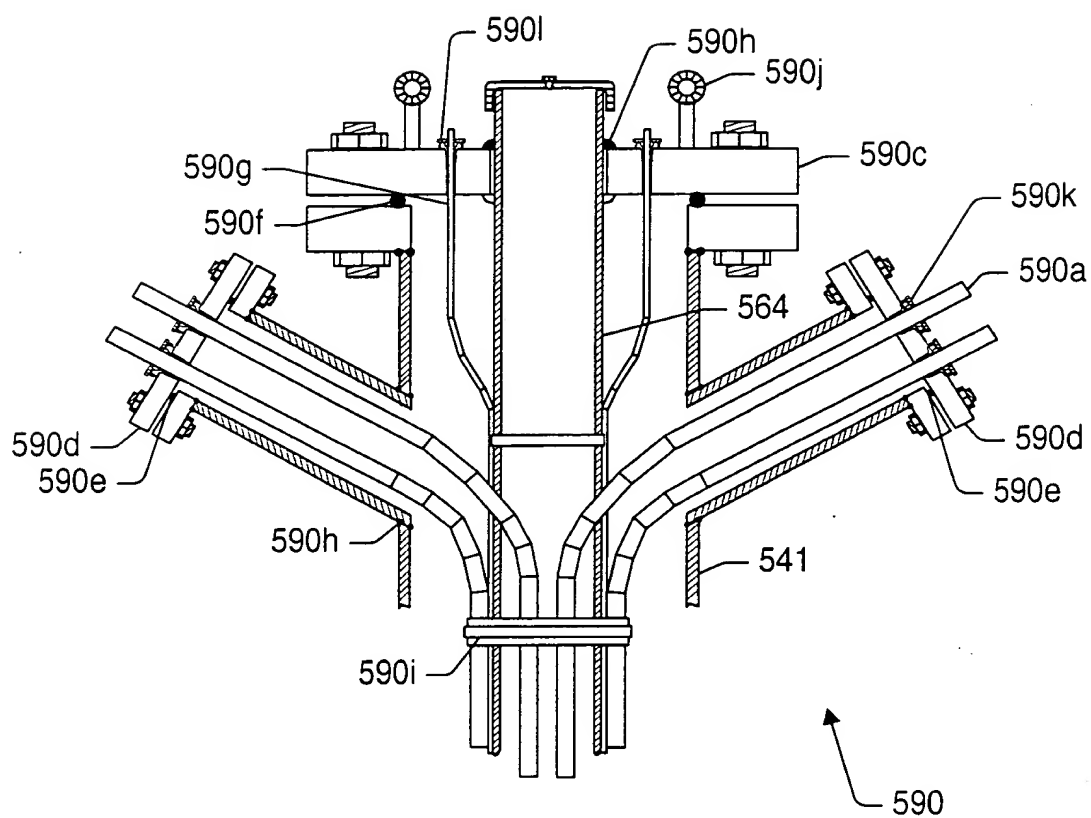


FIG. 18



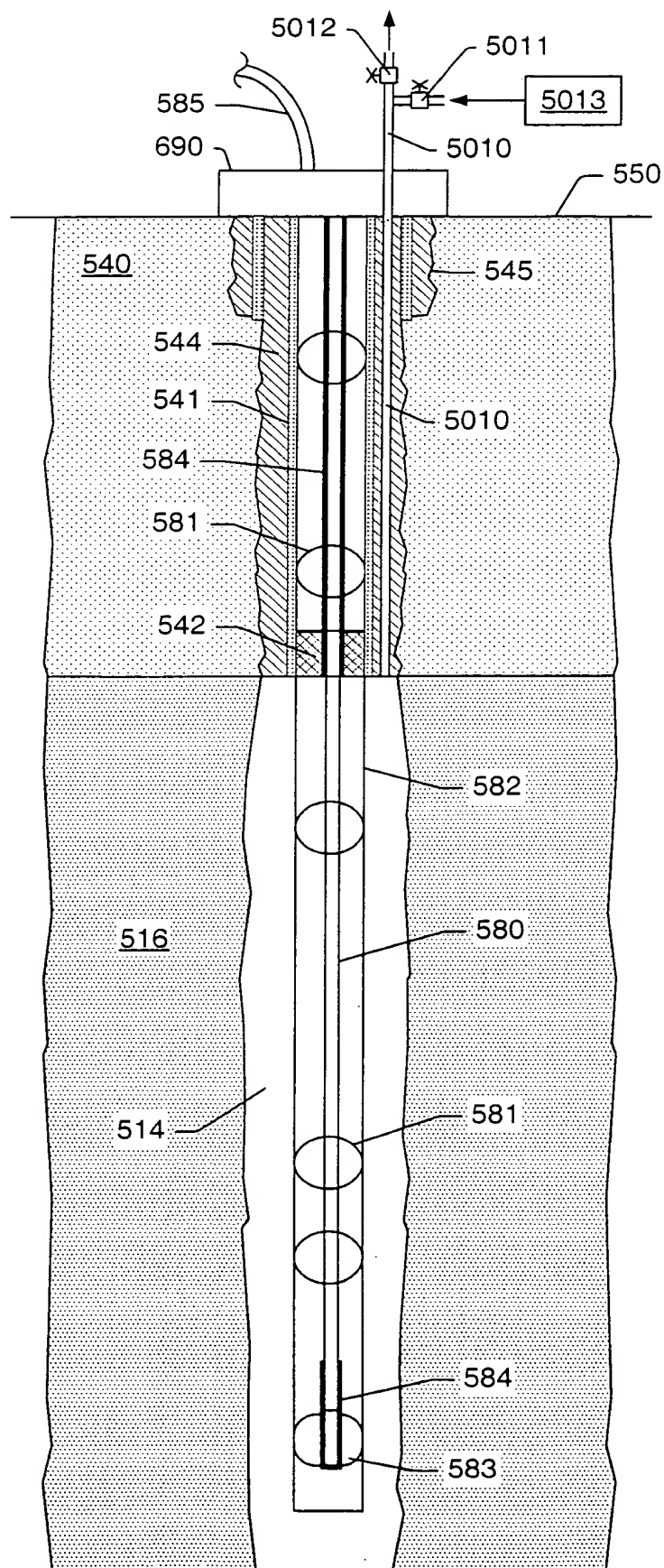


FIG. 19

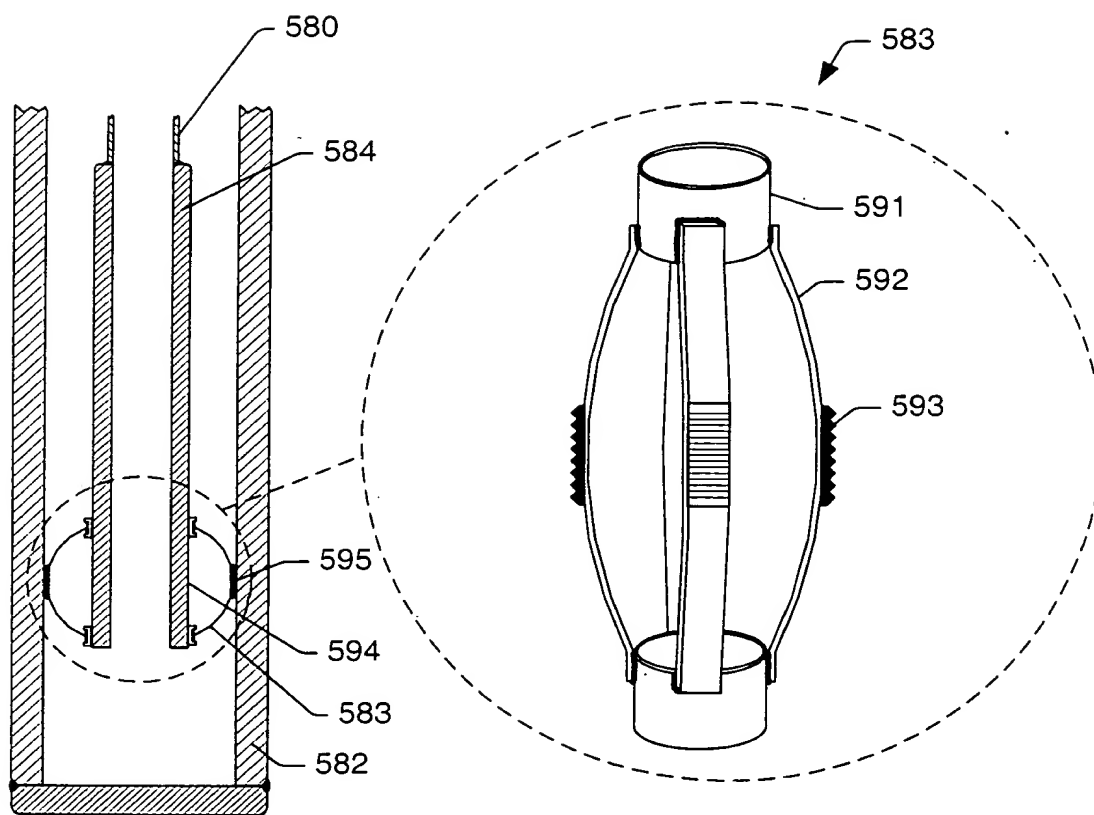


FIG. 20

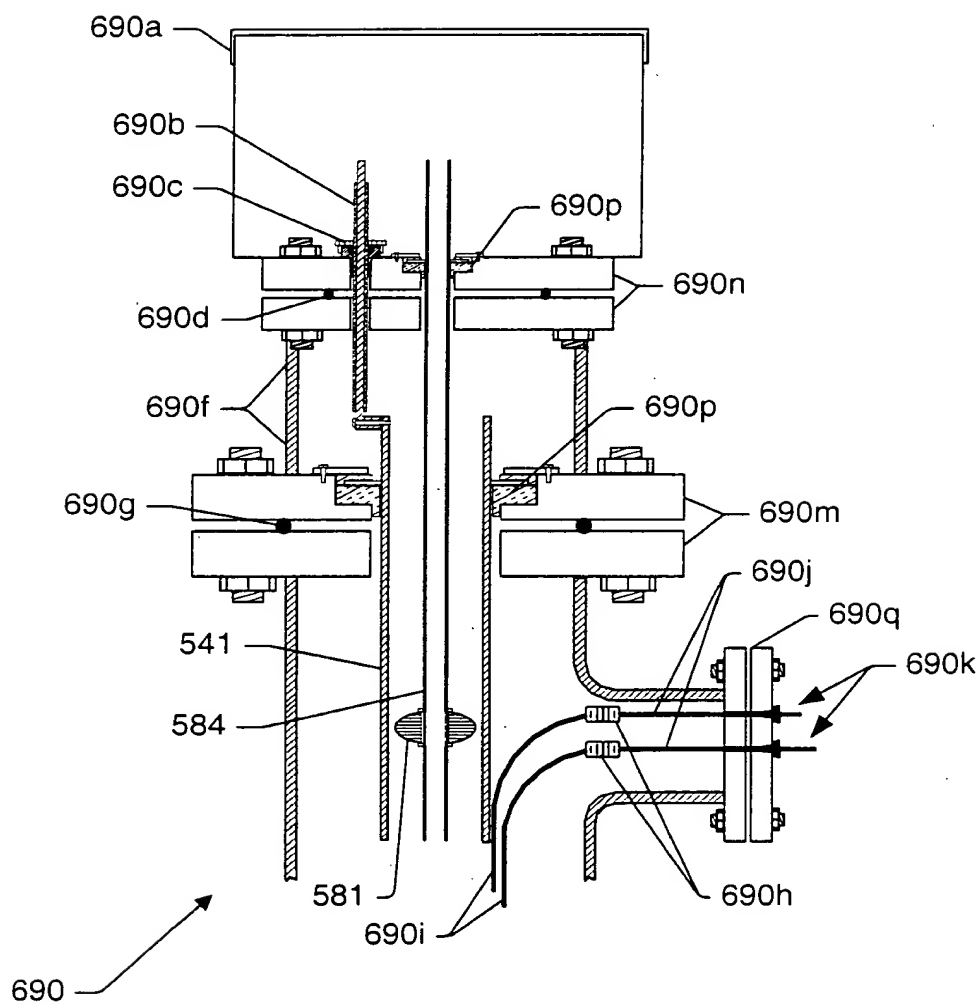


FIG. 21

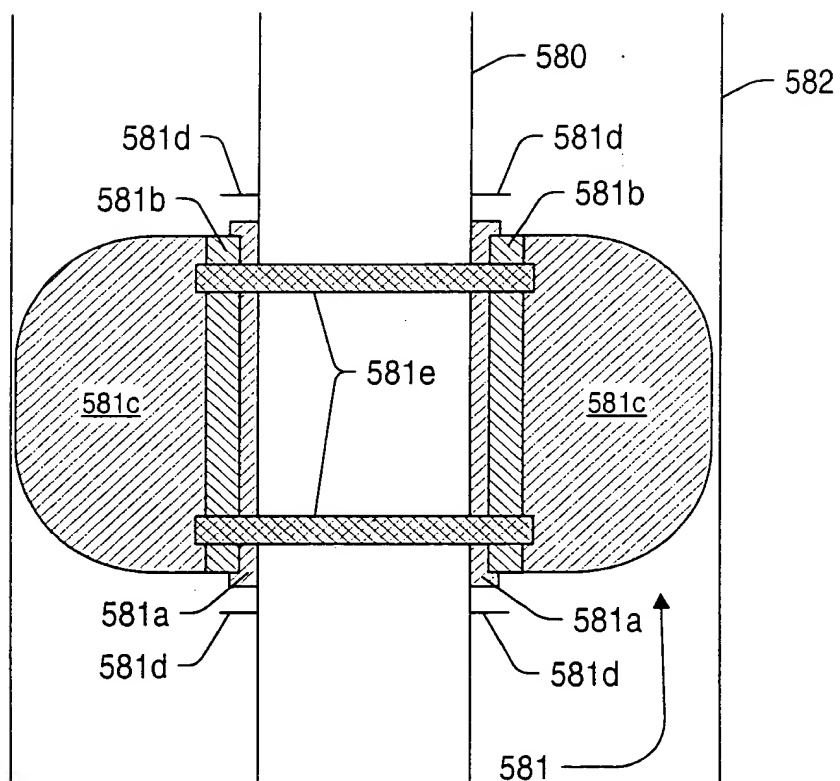


FIG. 22

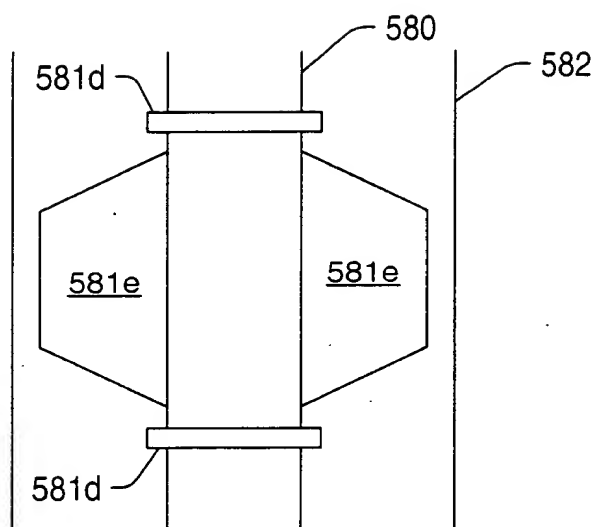


FIG. 23a

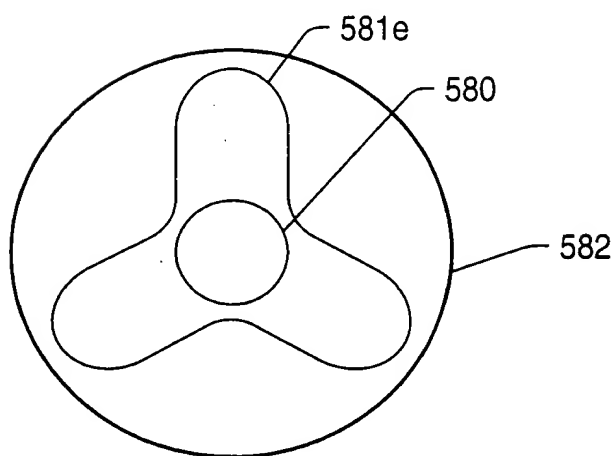


FIG. 23b

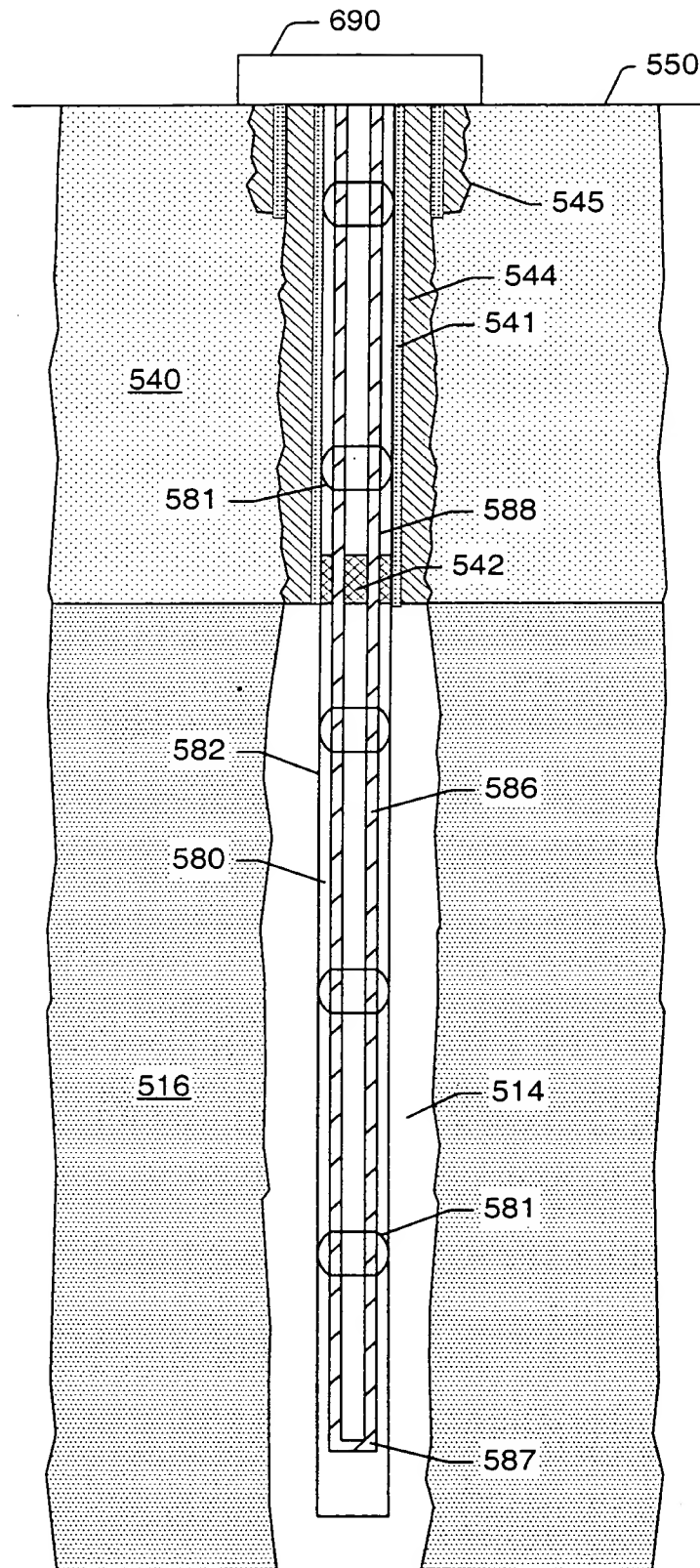


Fig. 24

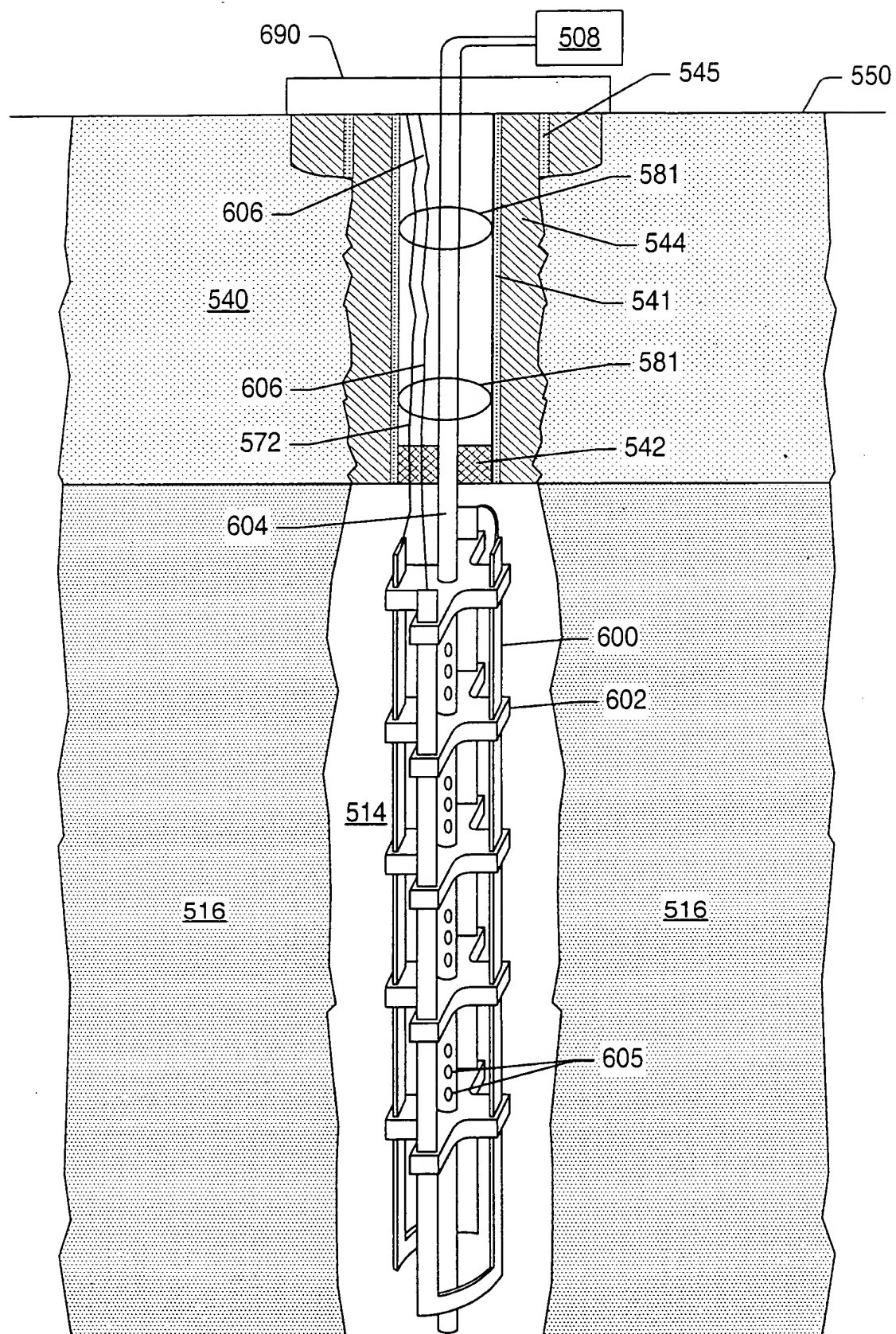


FIG. 25

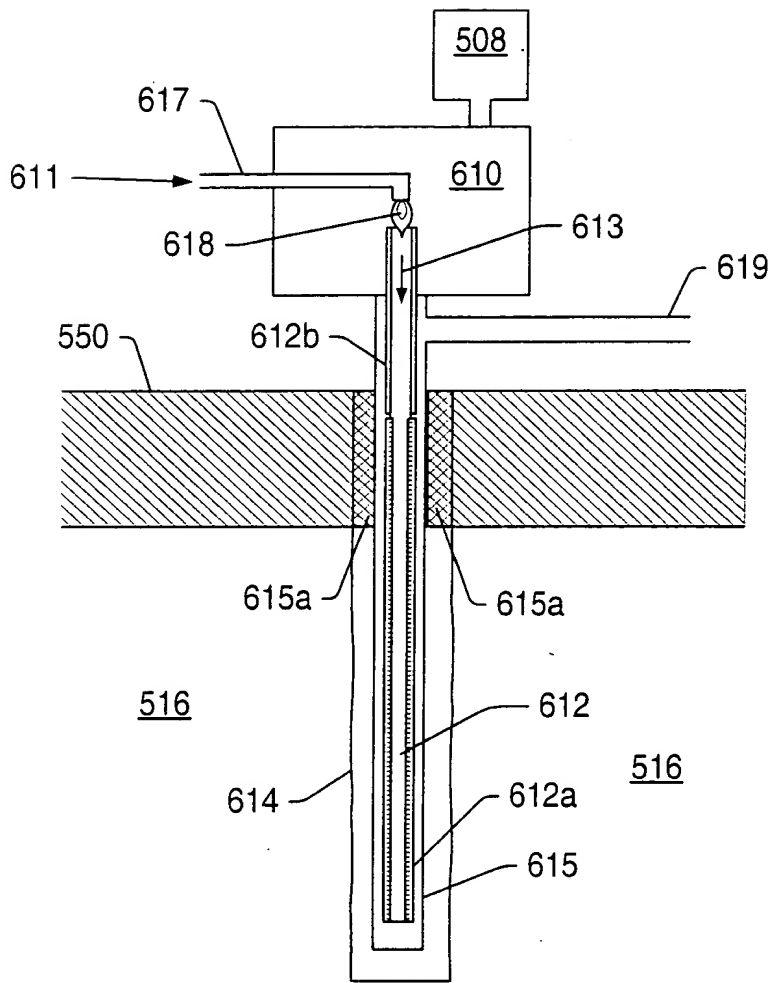


FIG. 26

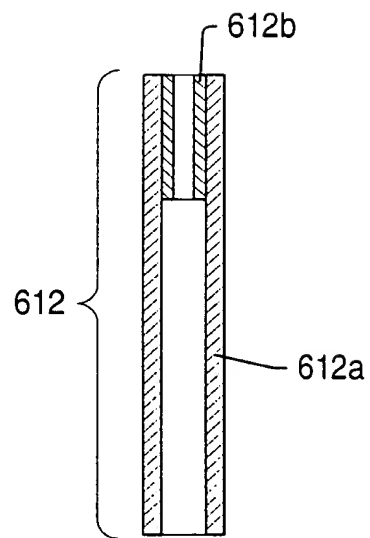


FIG. 27



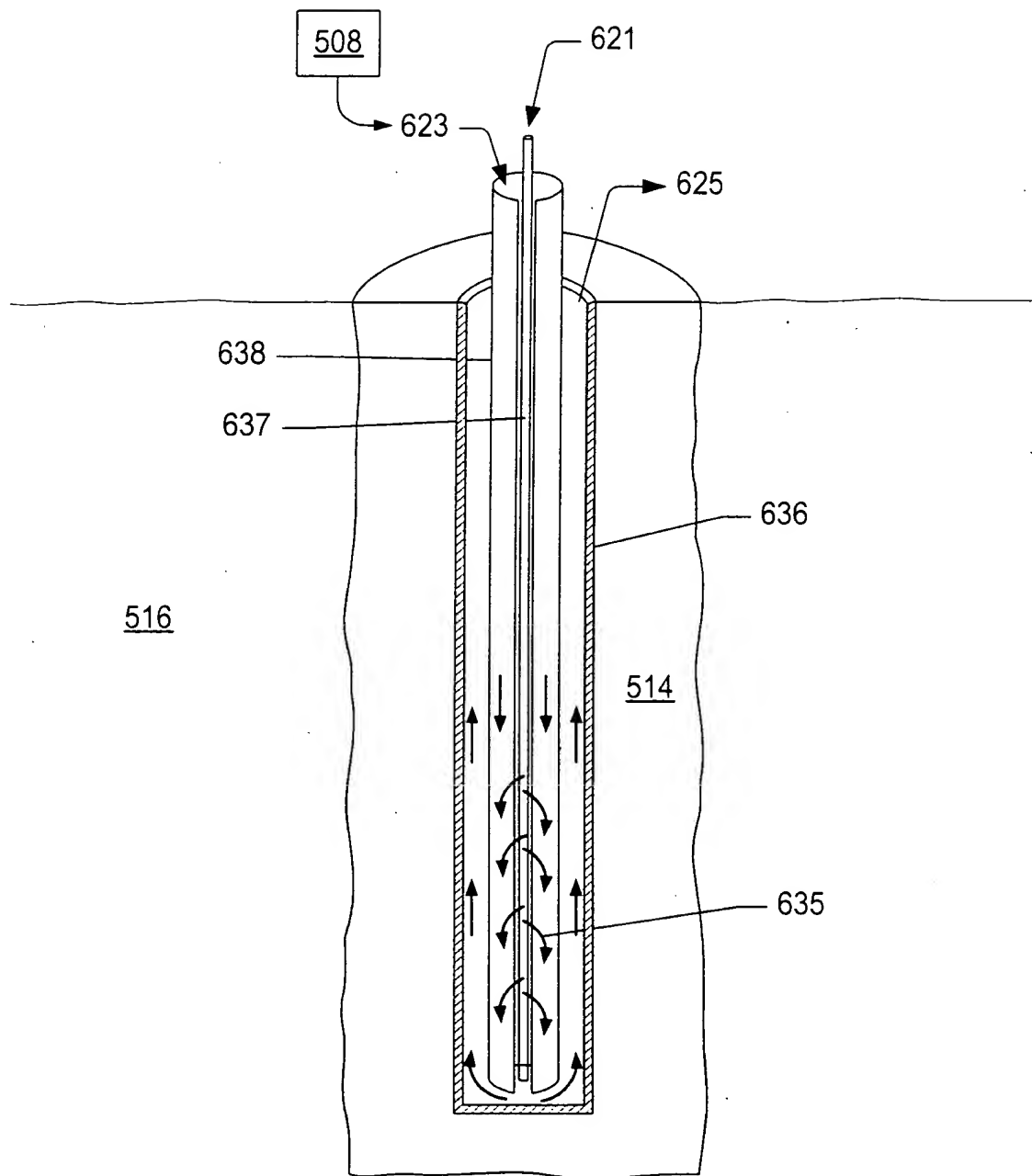


FIG. 28

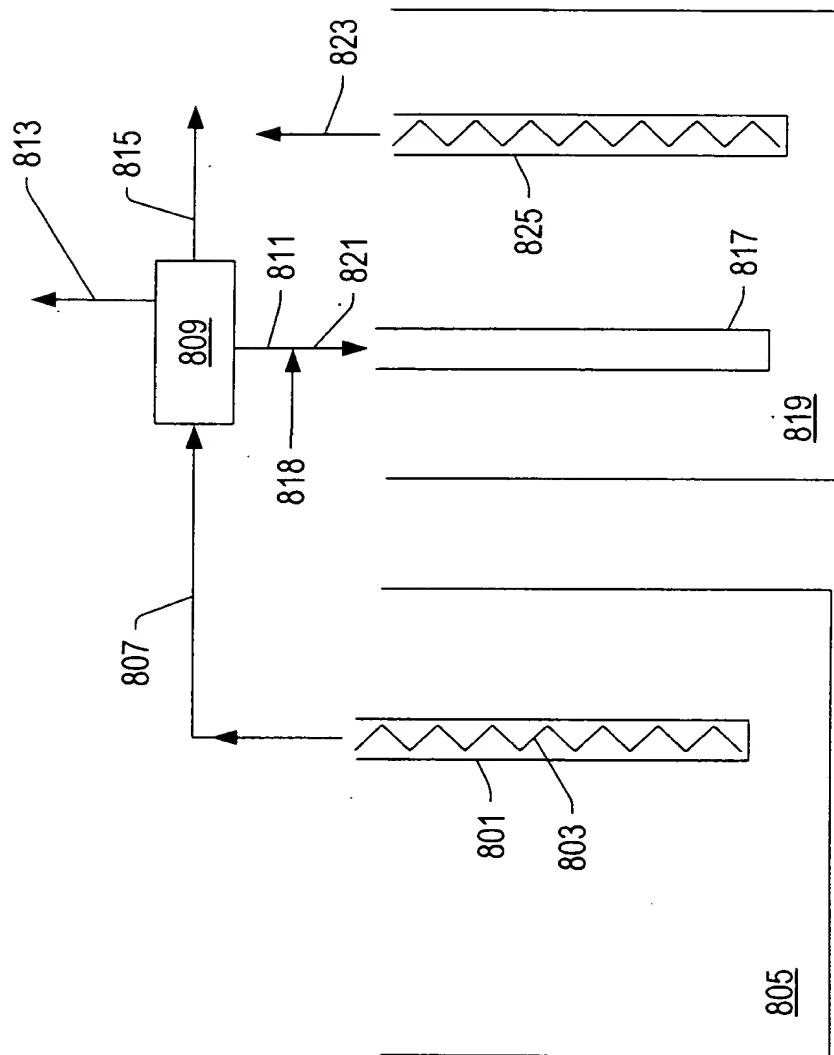


FIG. 29

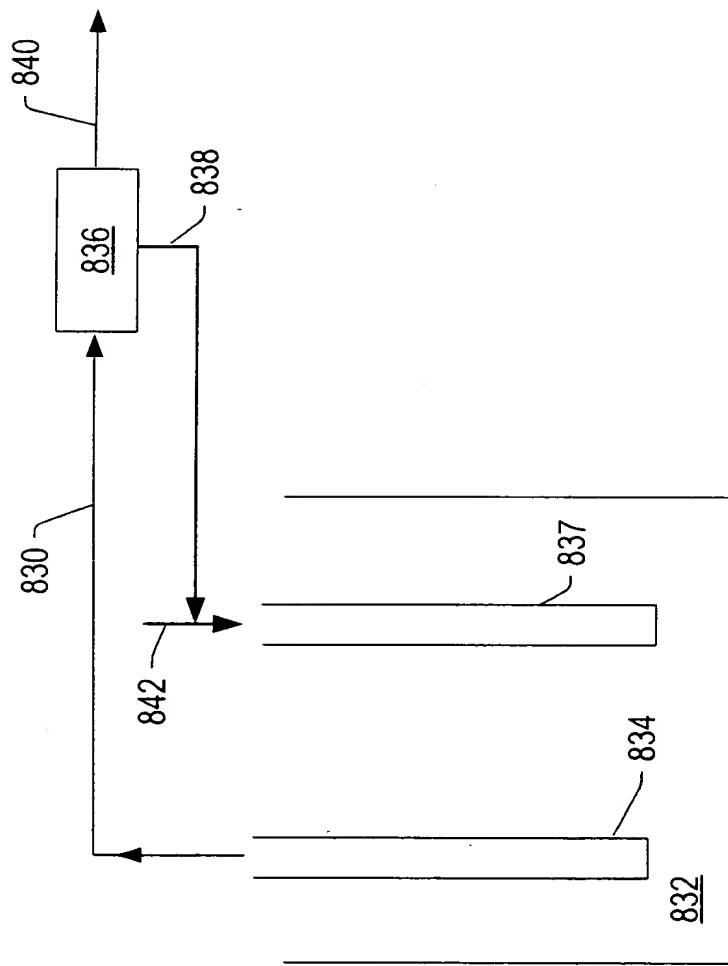


FIG. 30

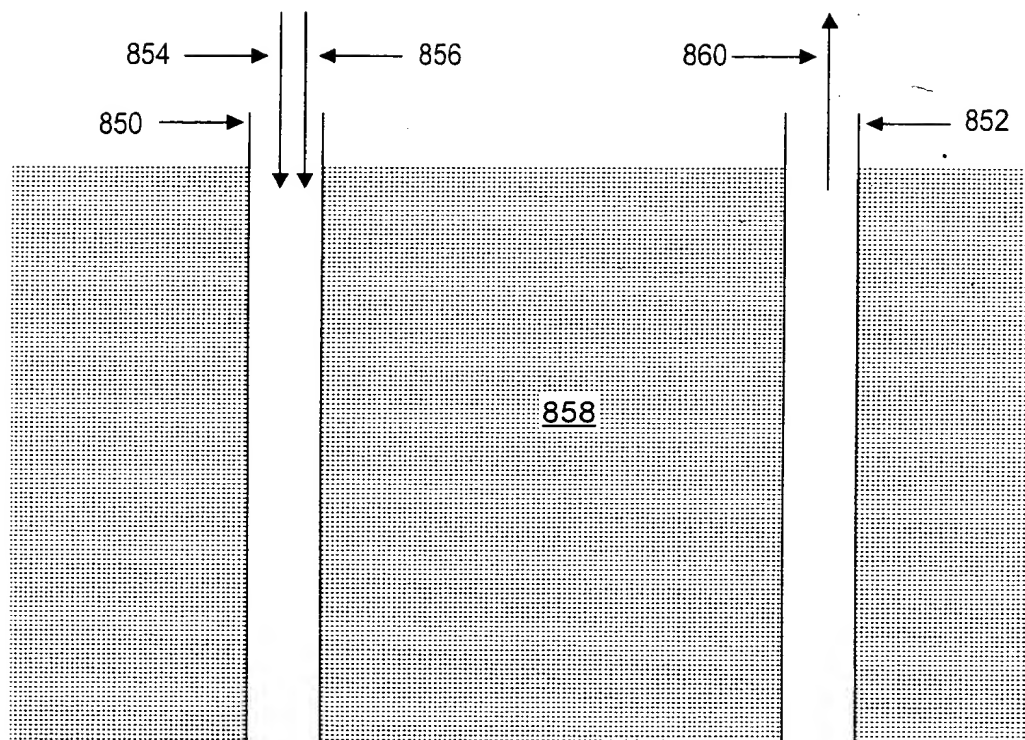


FIG. 31

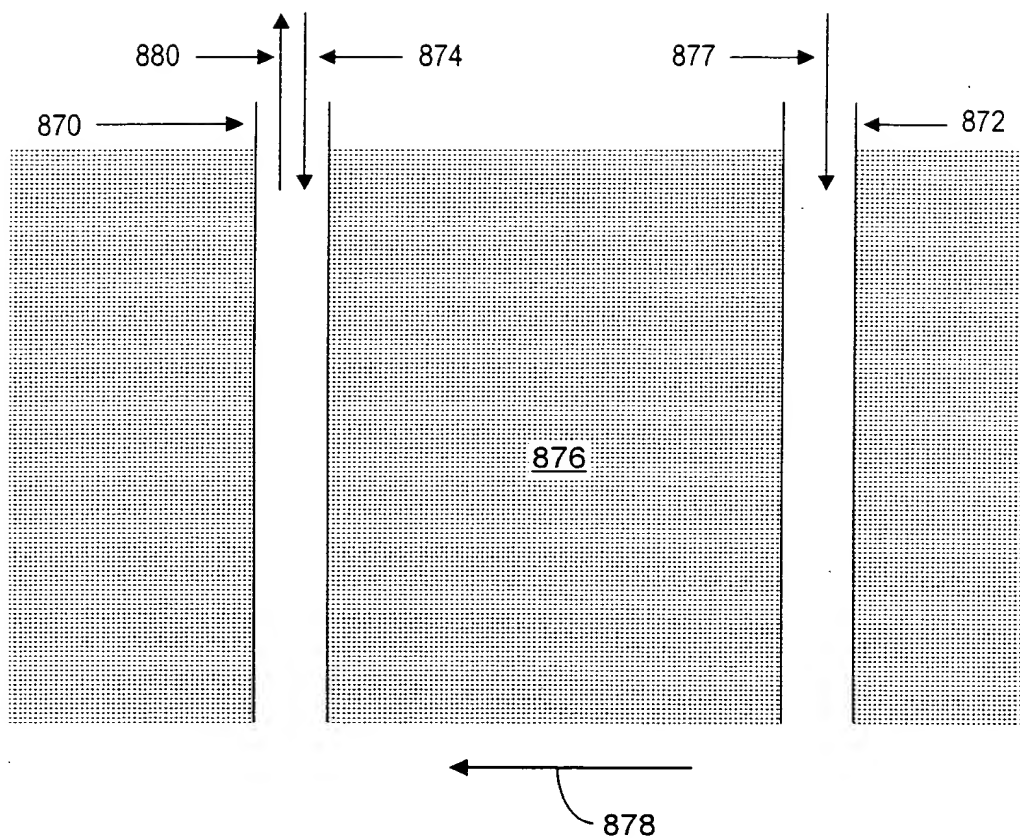


FIG. 32

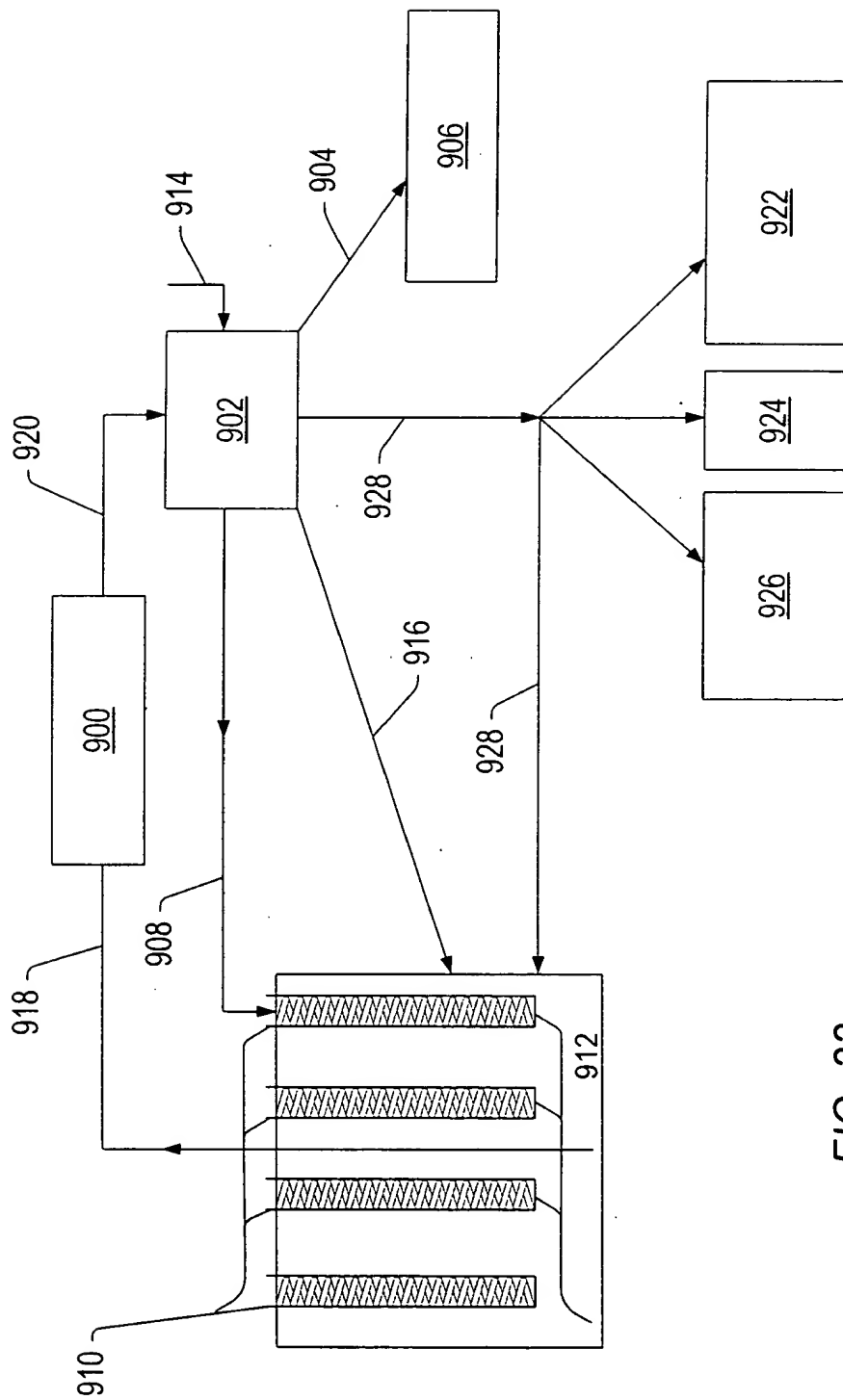
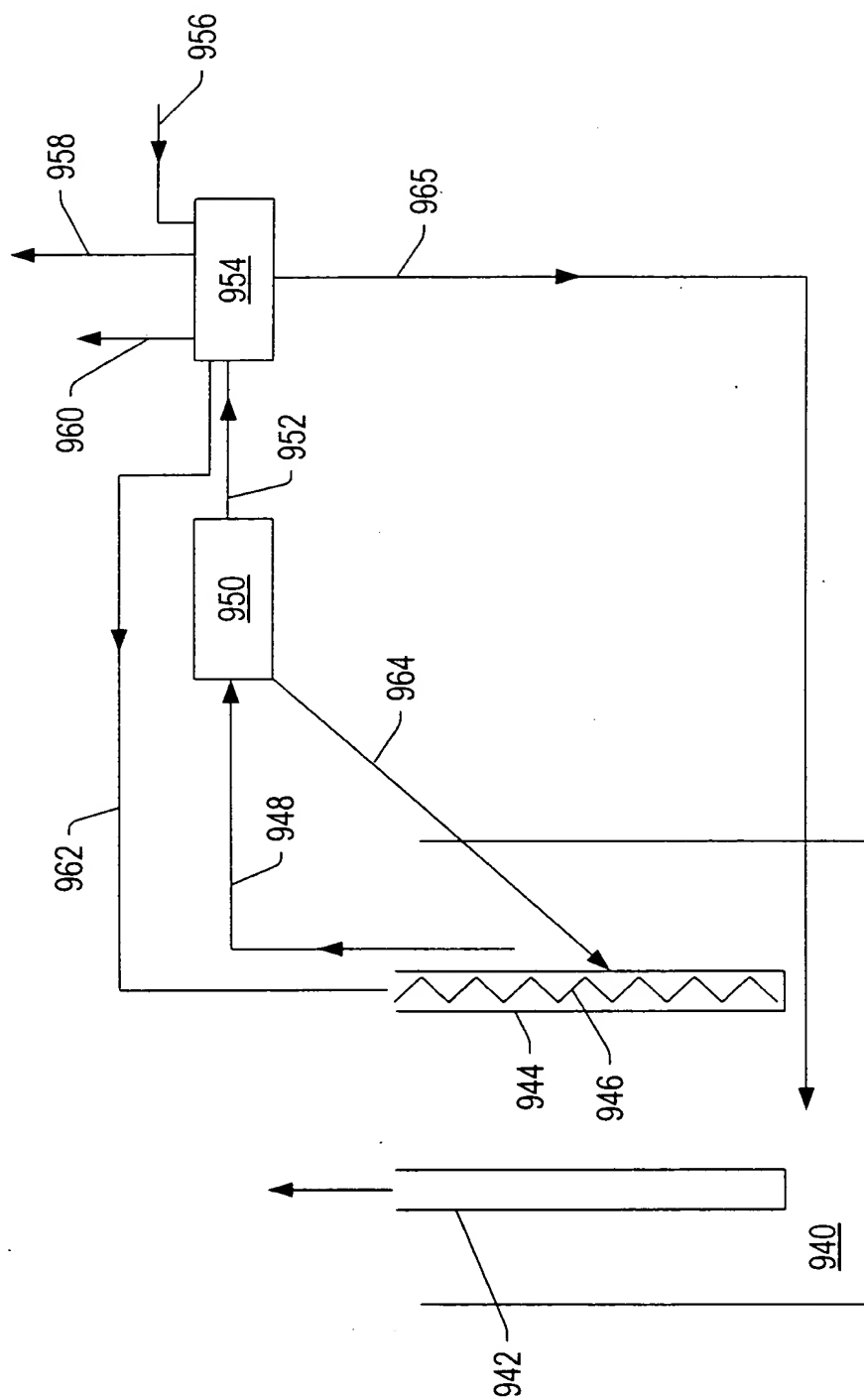


FIG. 33



**FIG. 34**

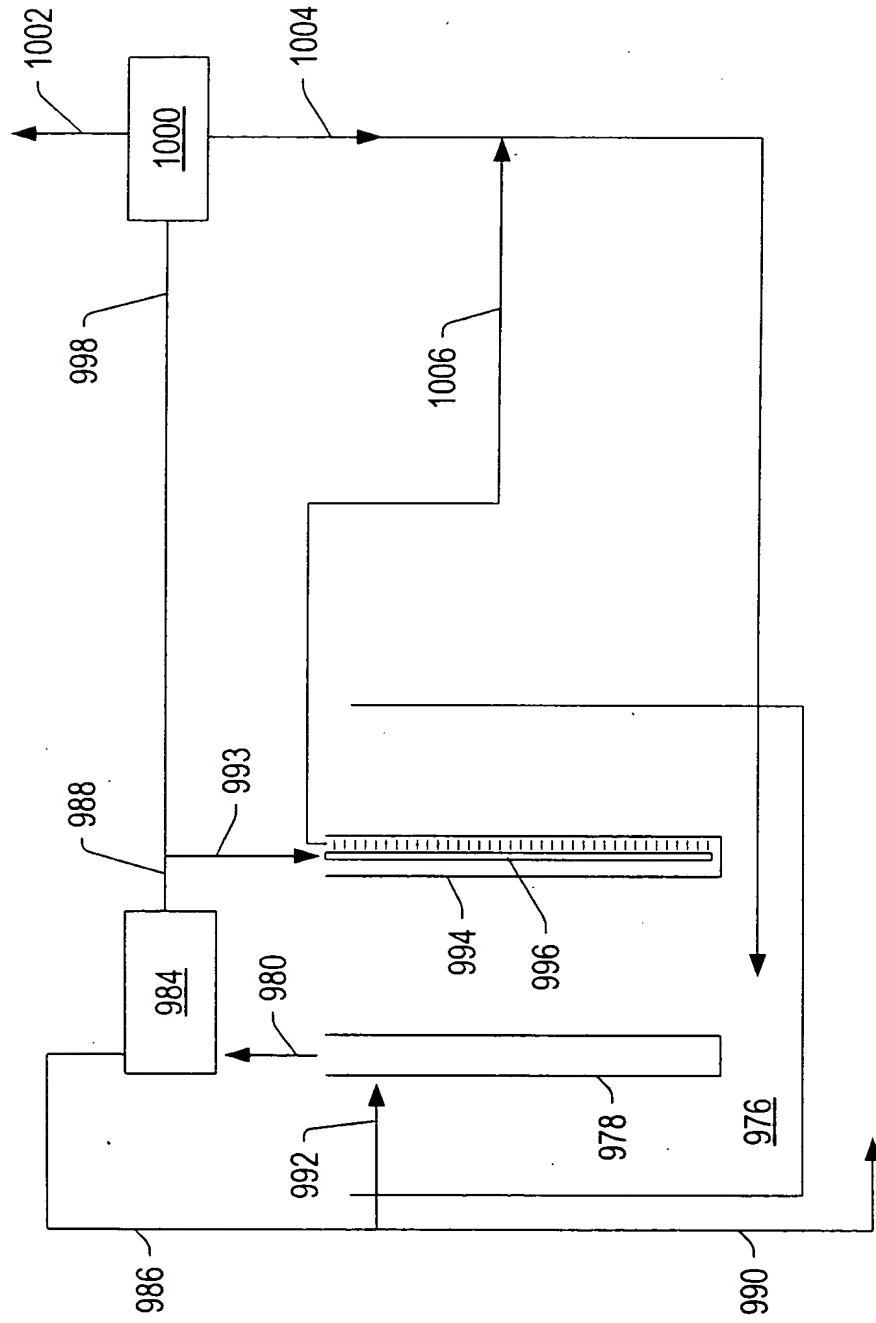


FIG. 35



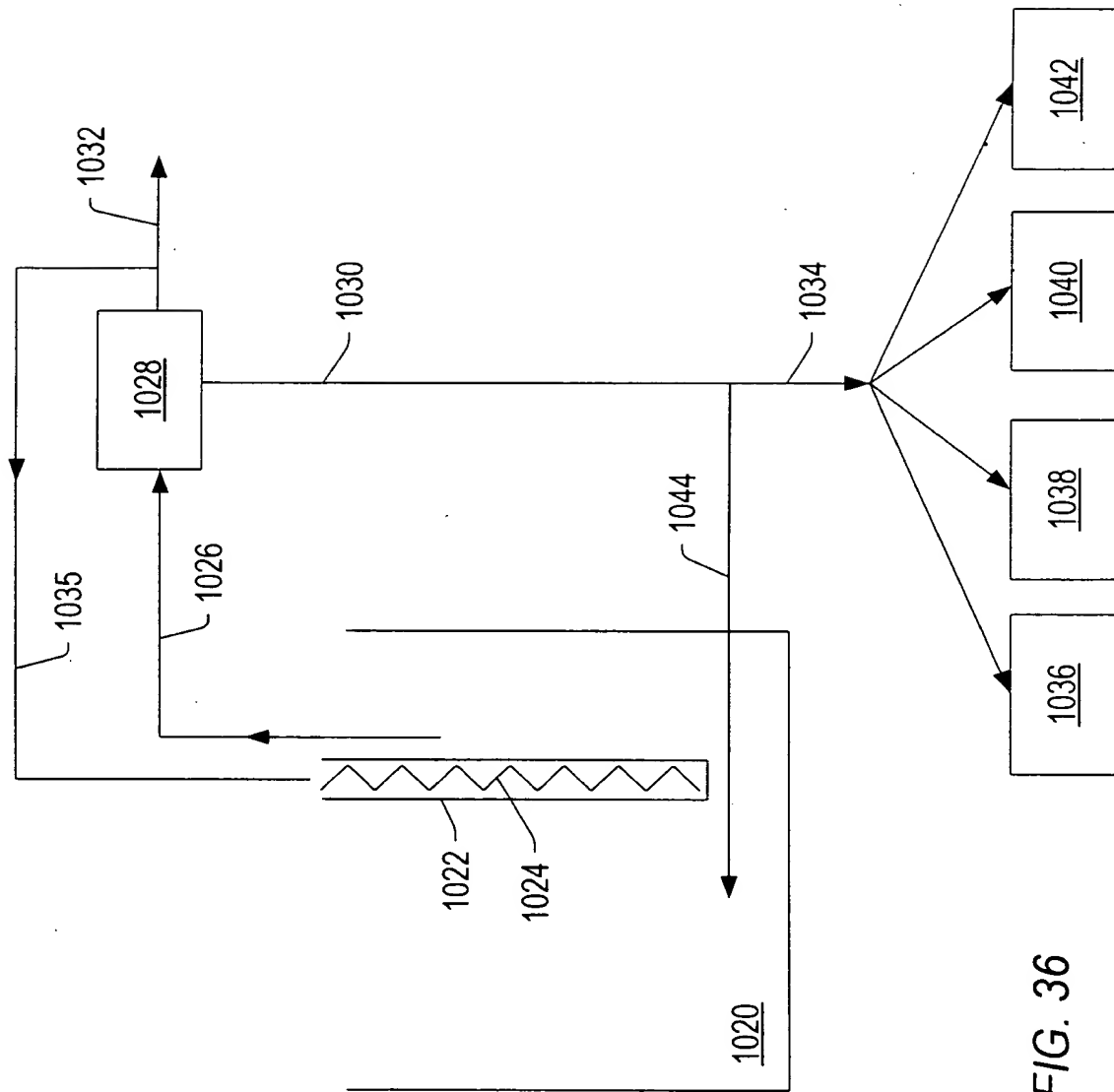


FIG. 36

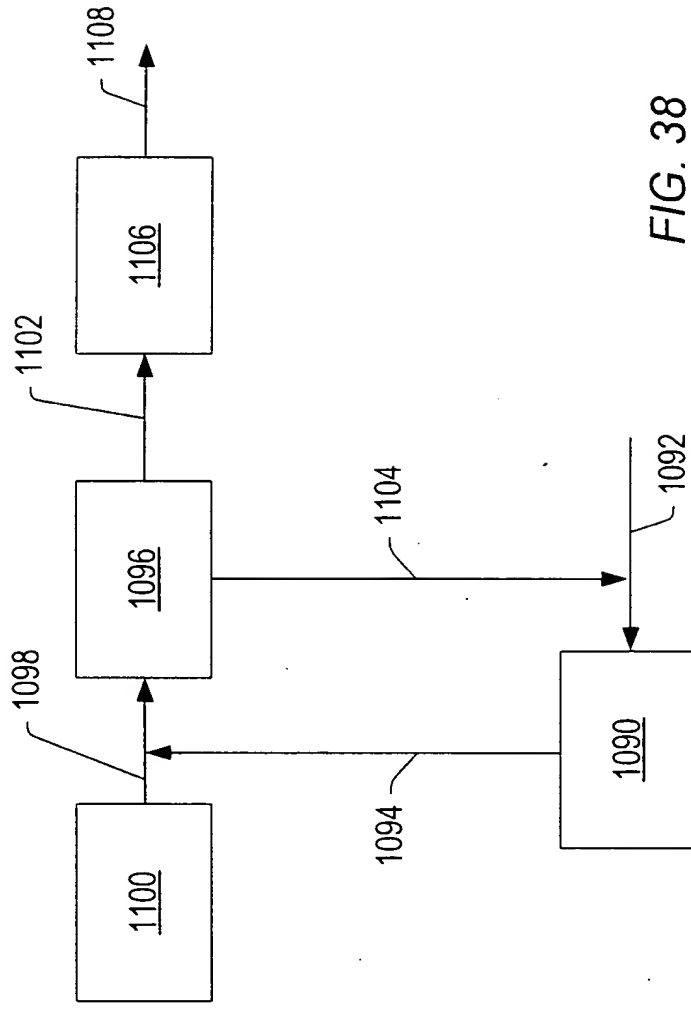


FIG. 38

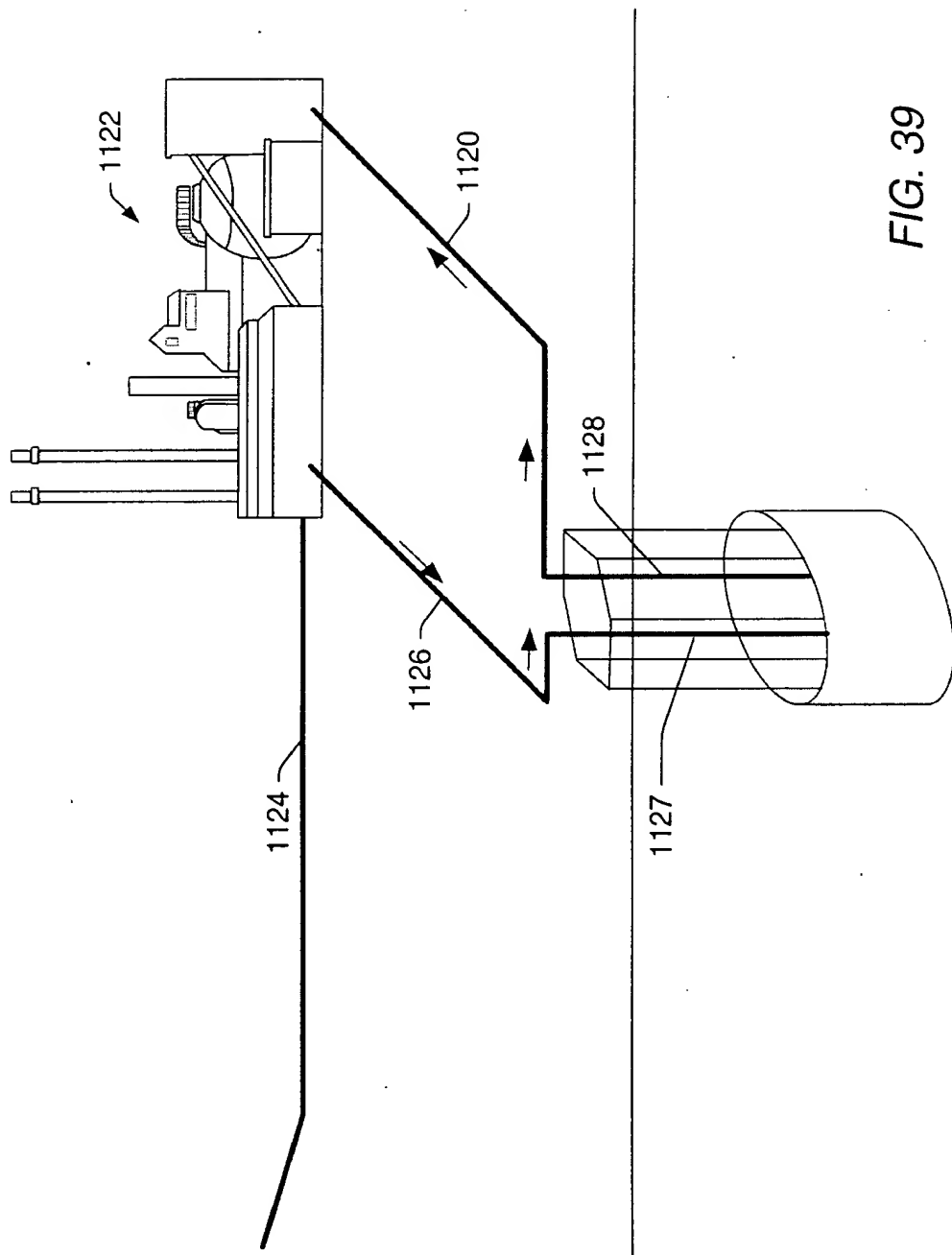


FIG. 39

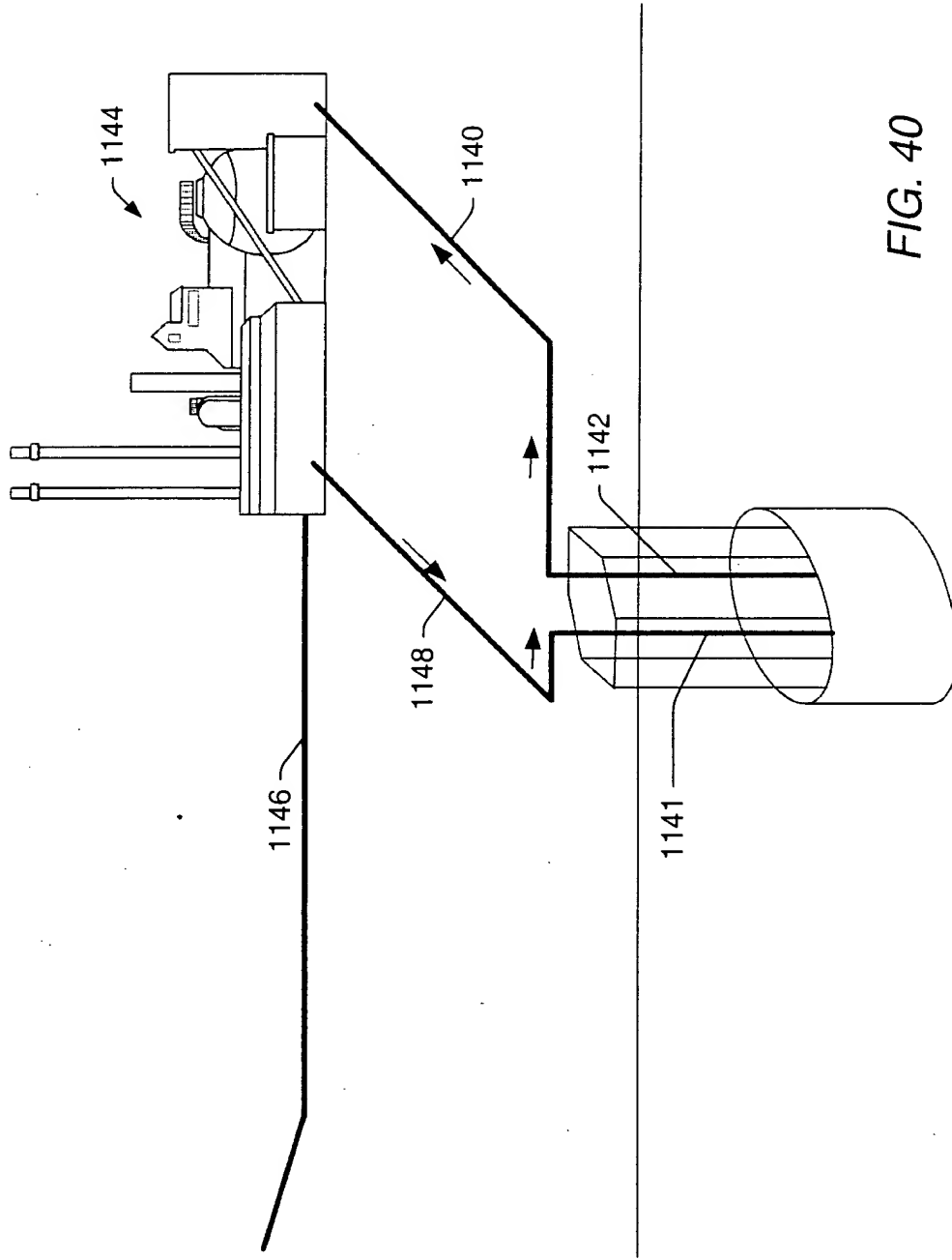


FIG. 40

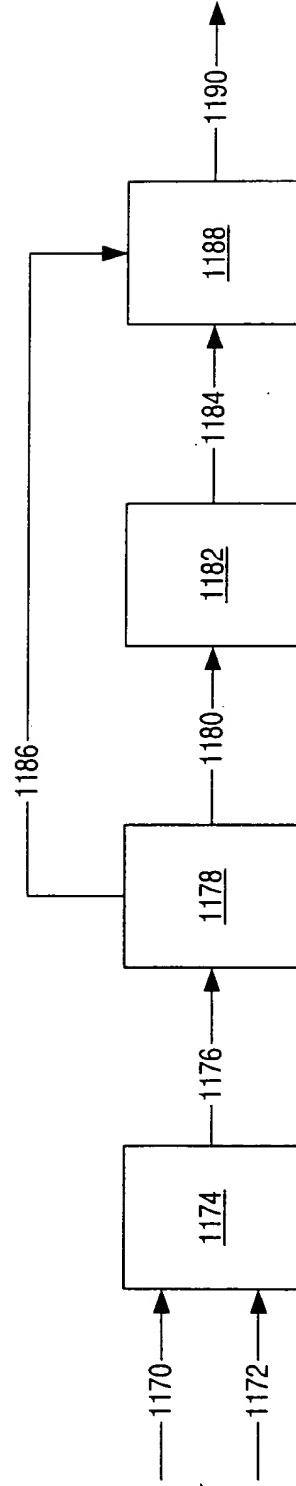


FIG. 41

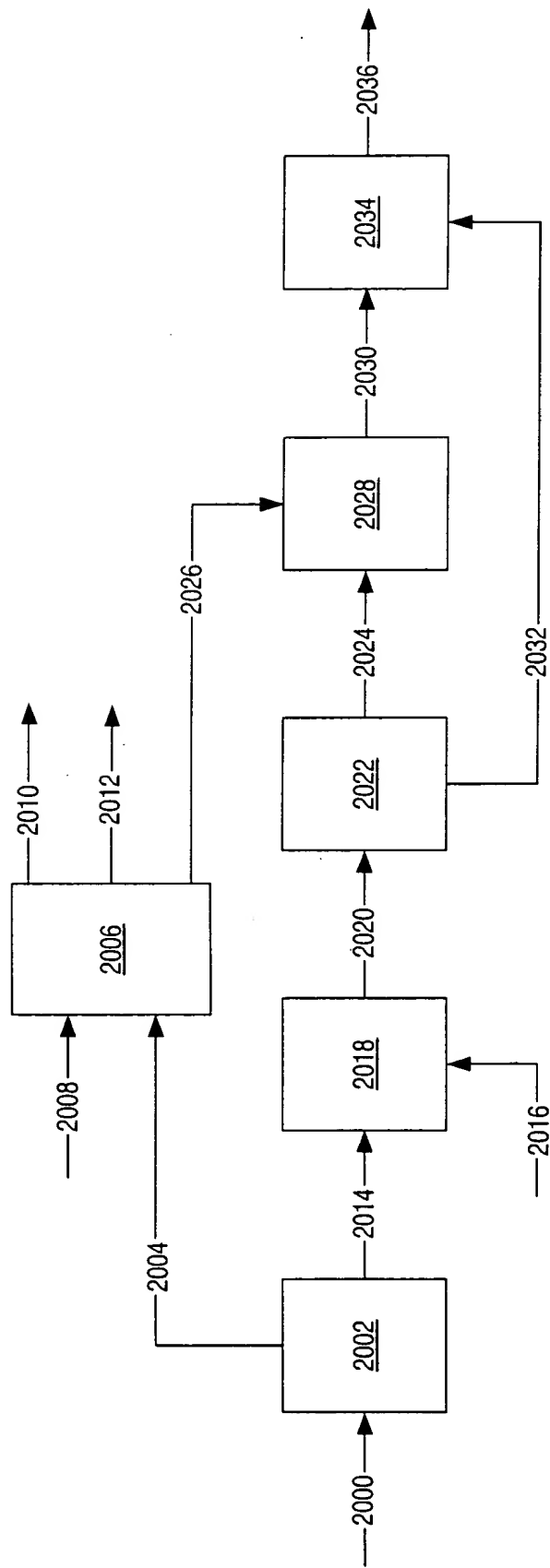


FIG. 42

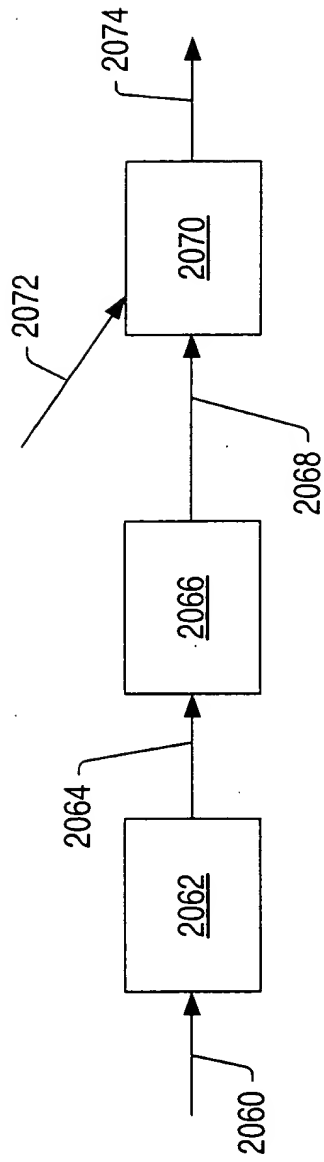


FIG. 43

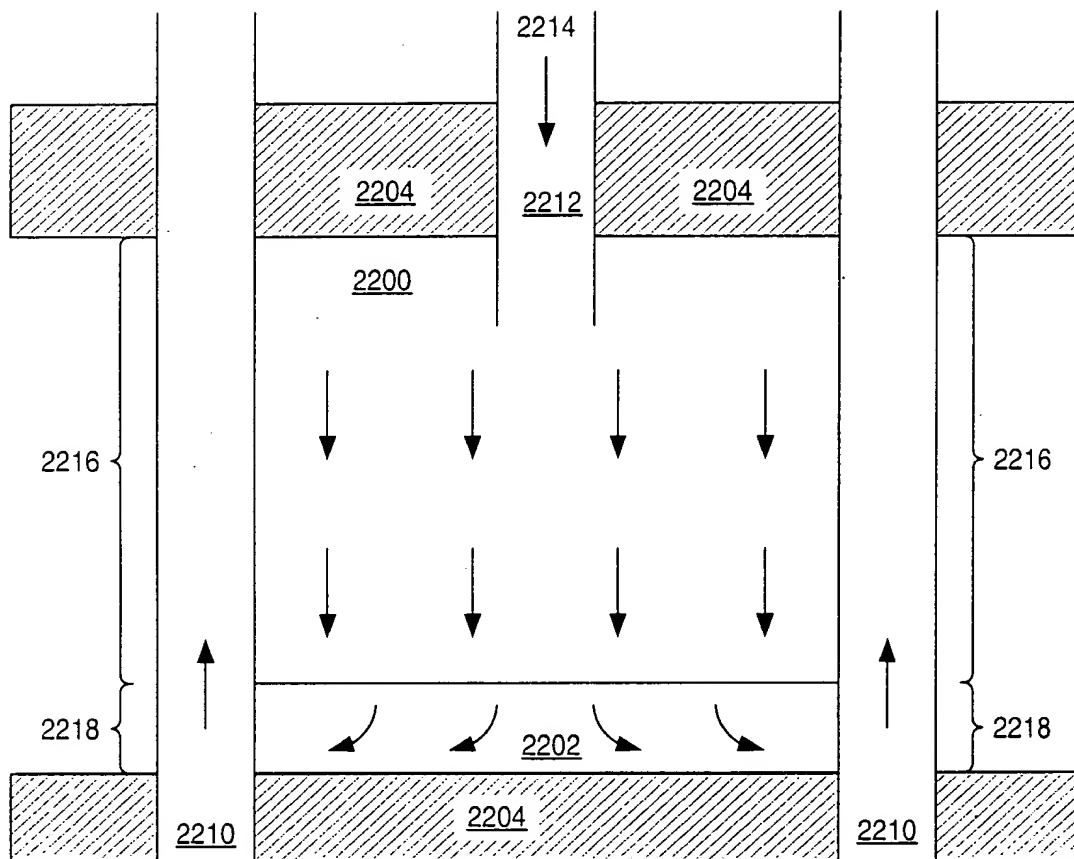


FIG. 44



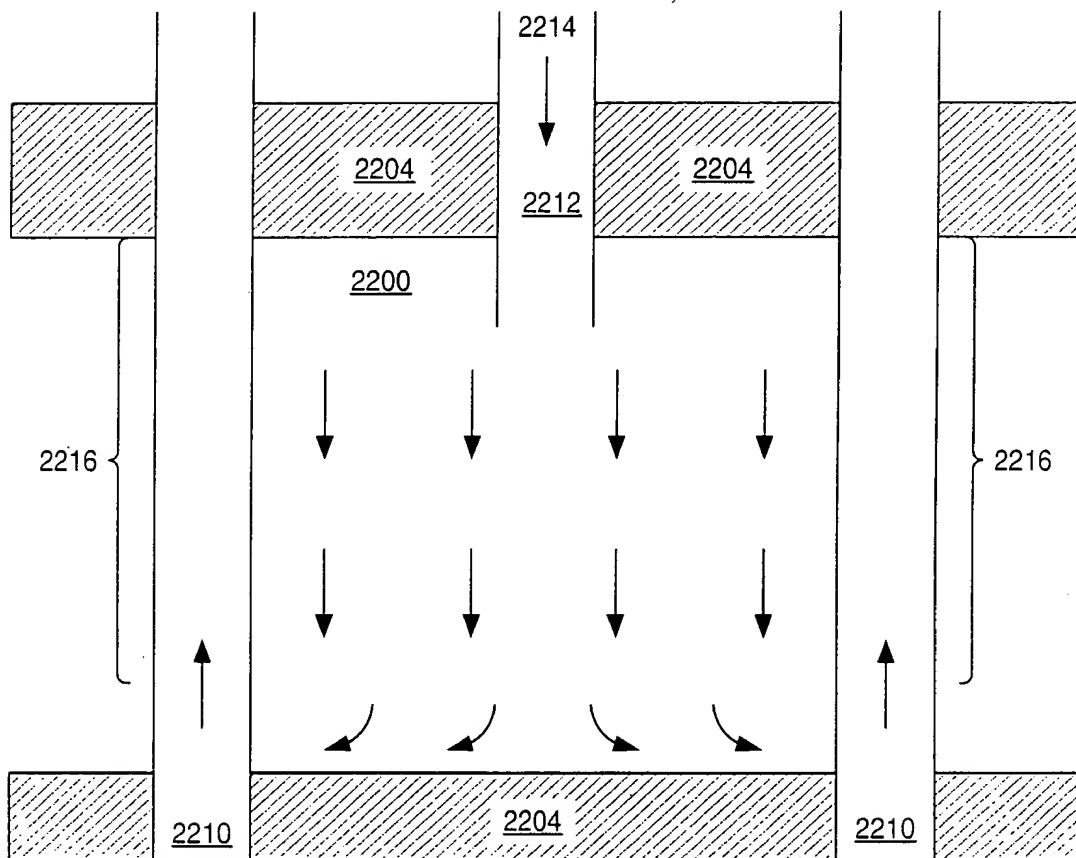


FIG. 45

FIG. 46

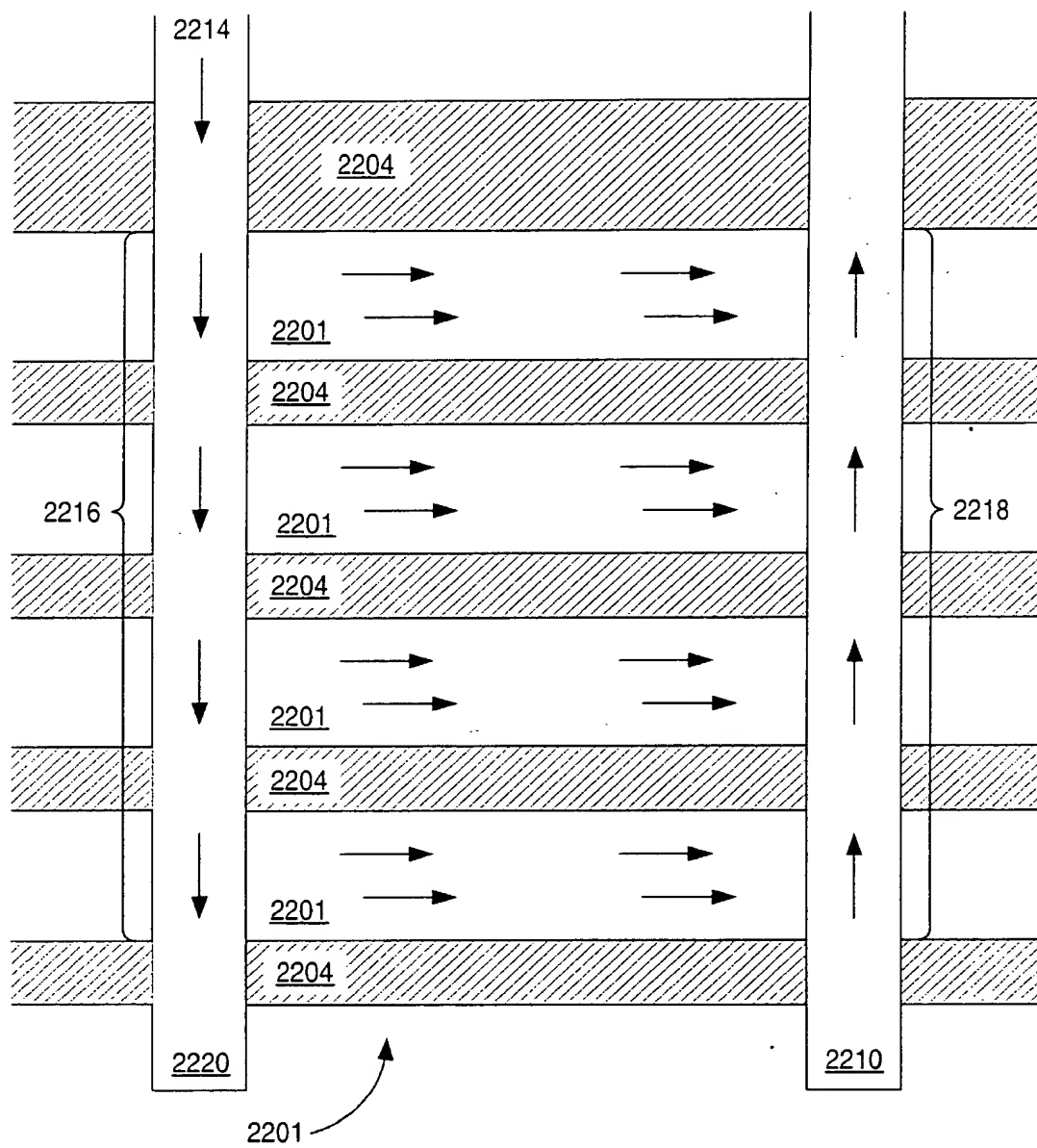


FIG. 46

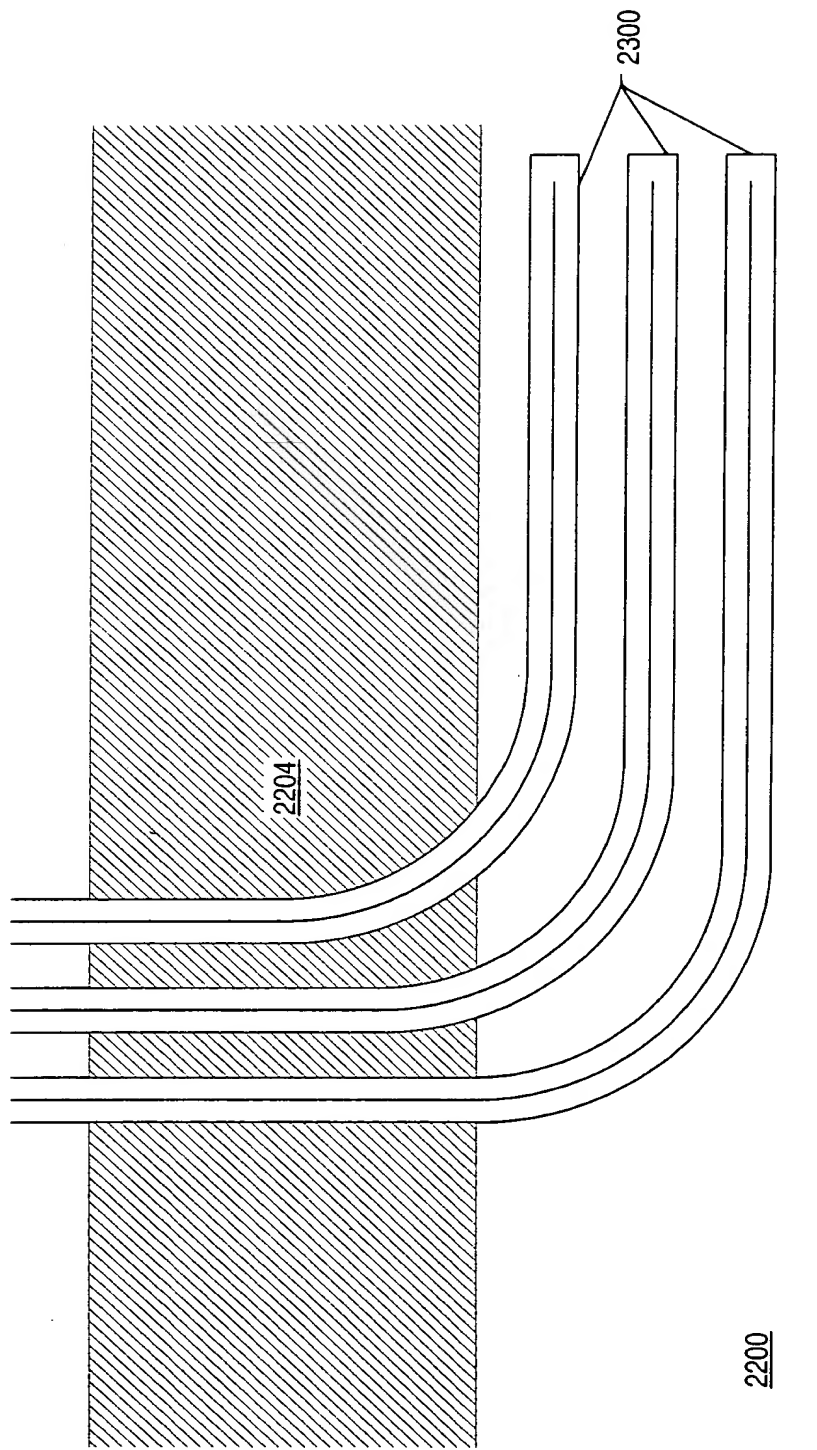


FIG. 47

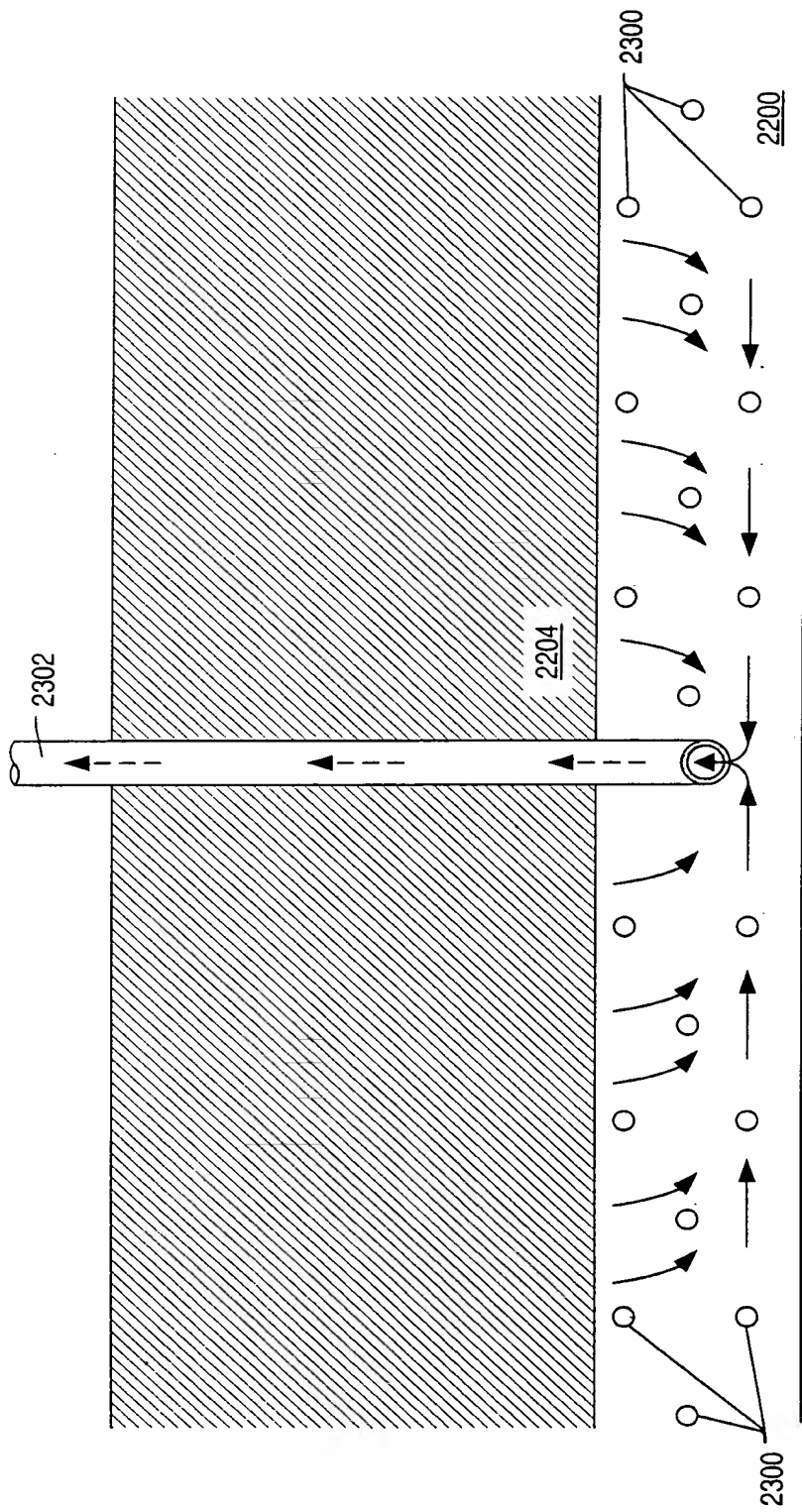


FIG. 48

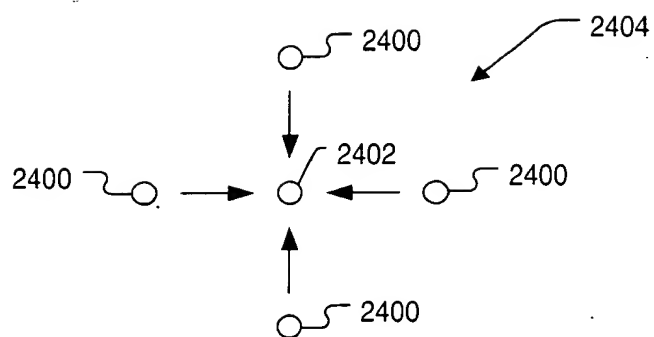


FIG. 49

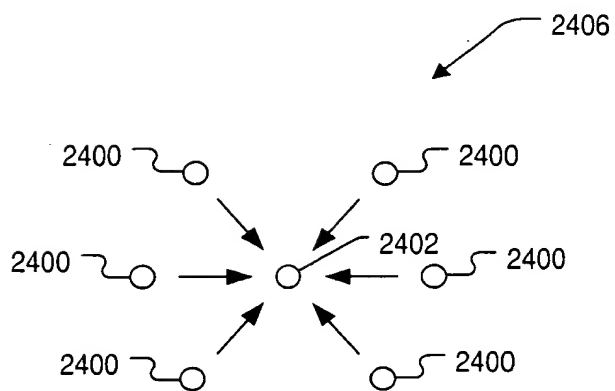


FIG. 50

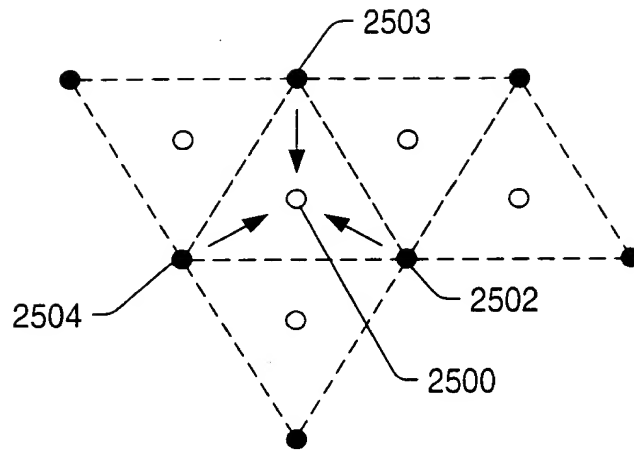


FIG. 51

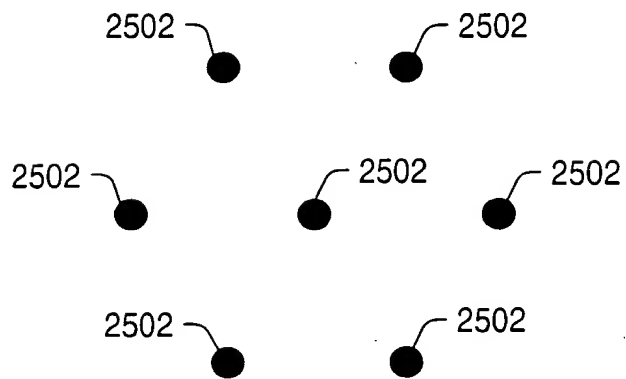


FIG. 52

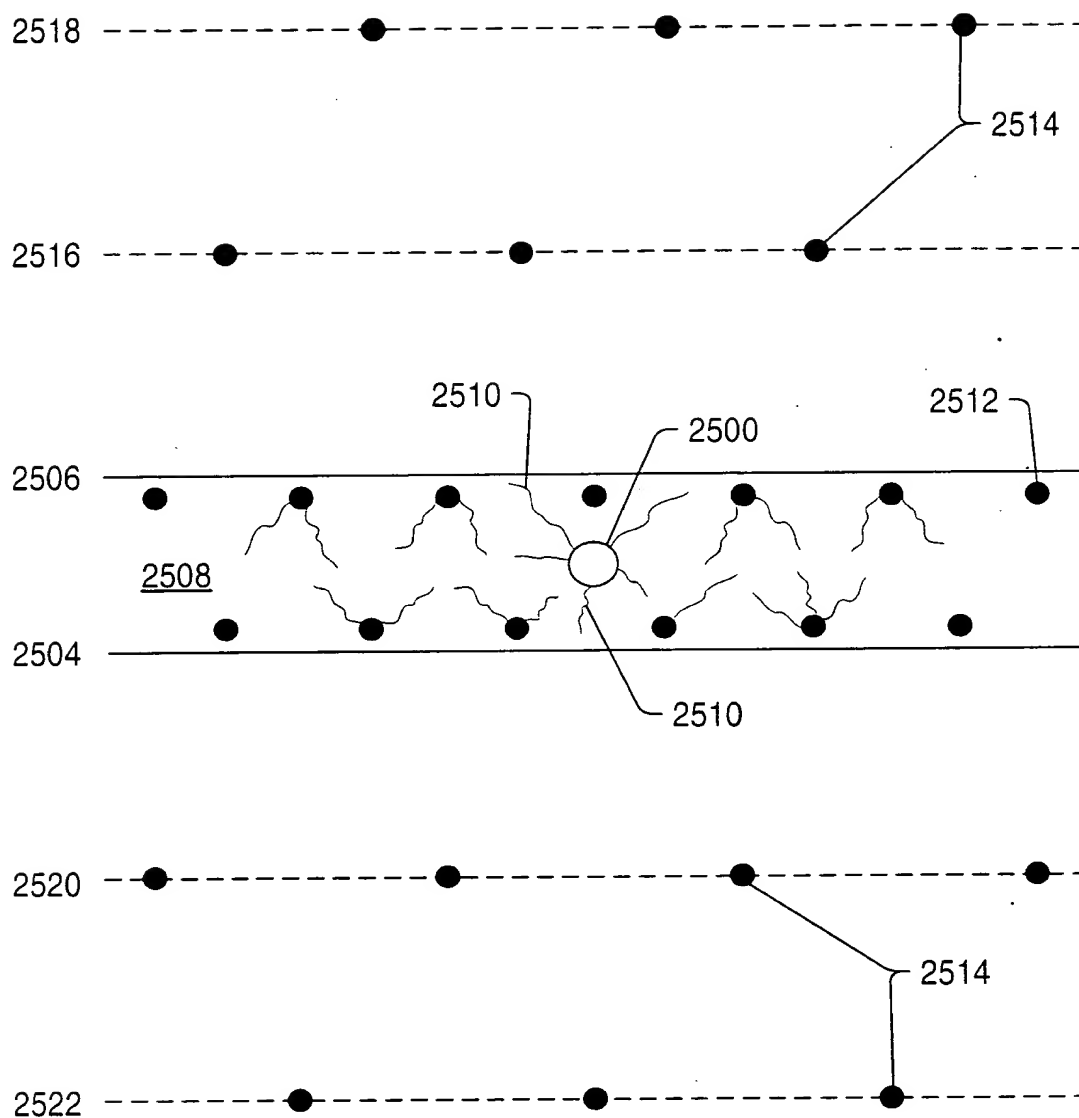


FIG. 53

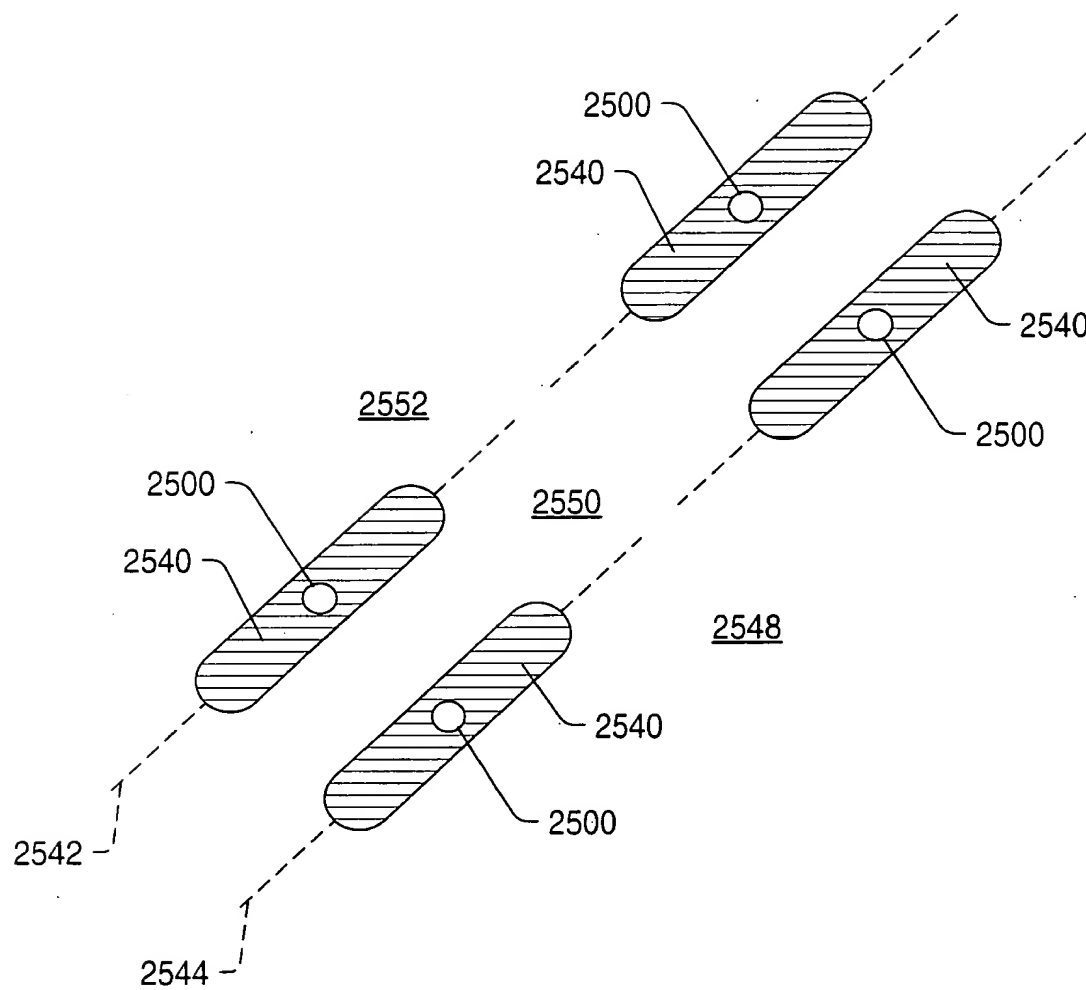


FIG. 54



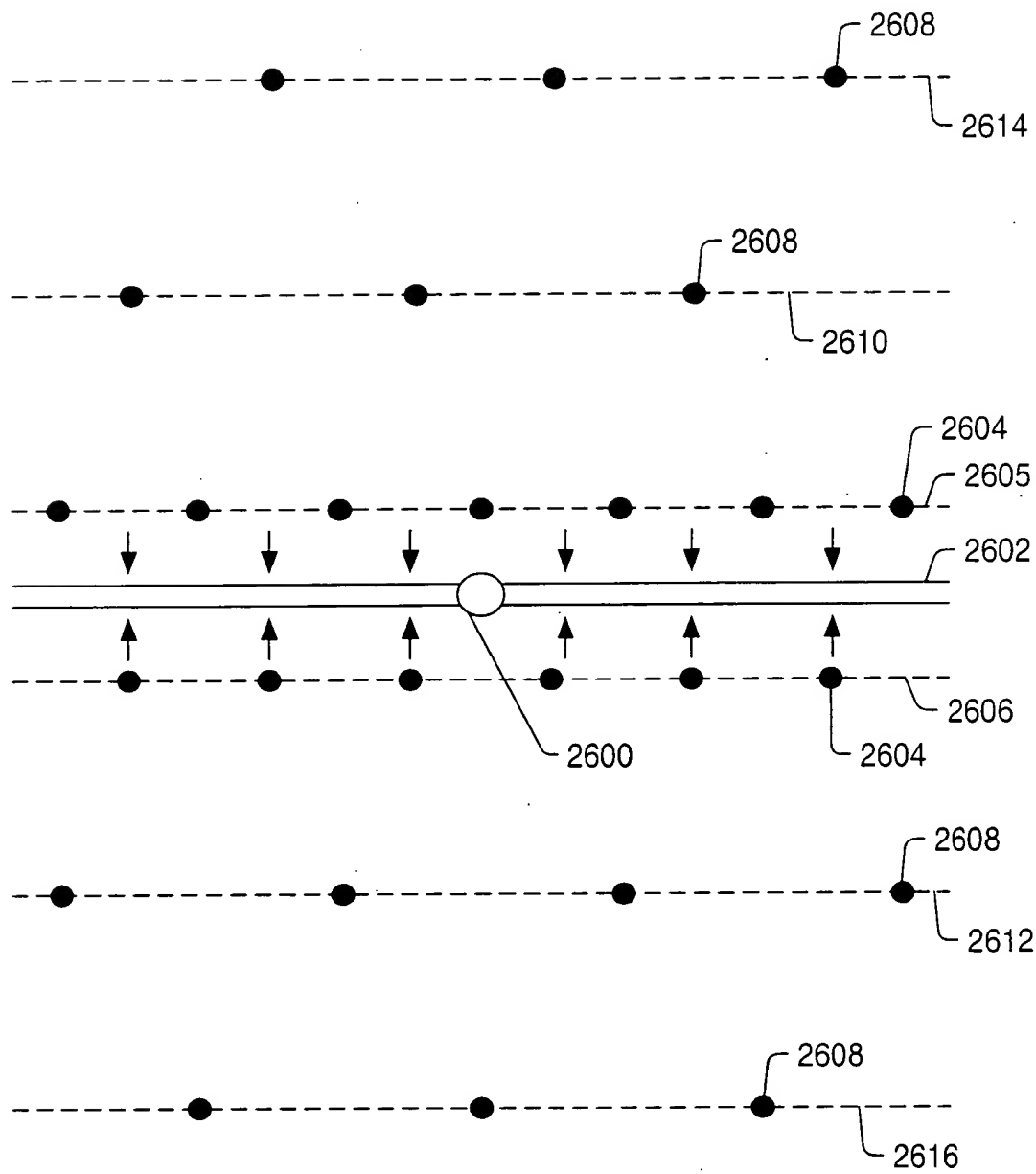


FIG. 55

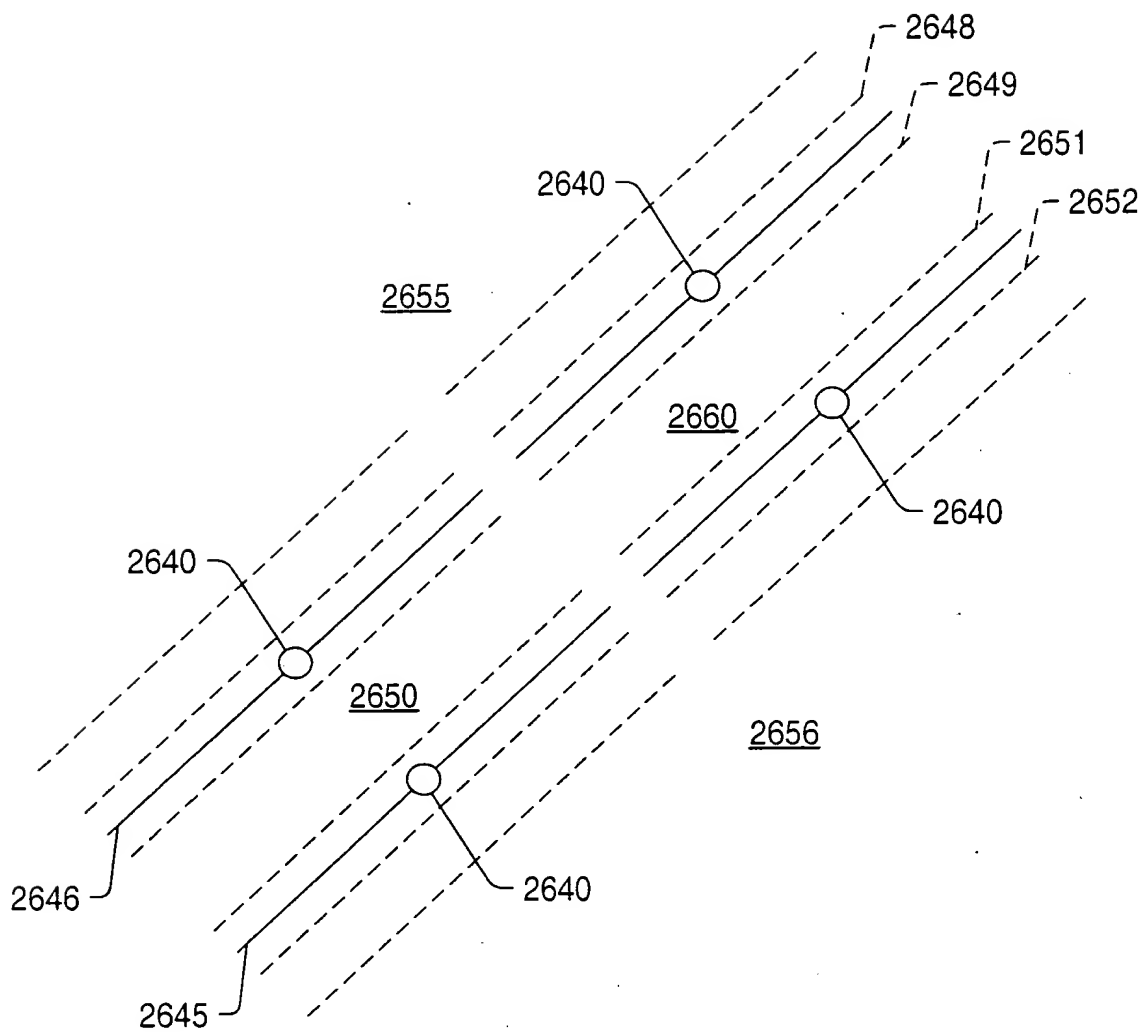


FIG. 56

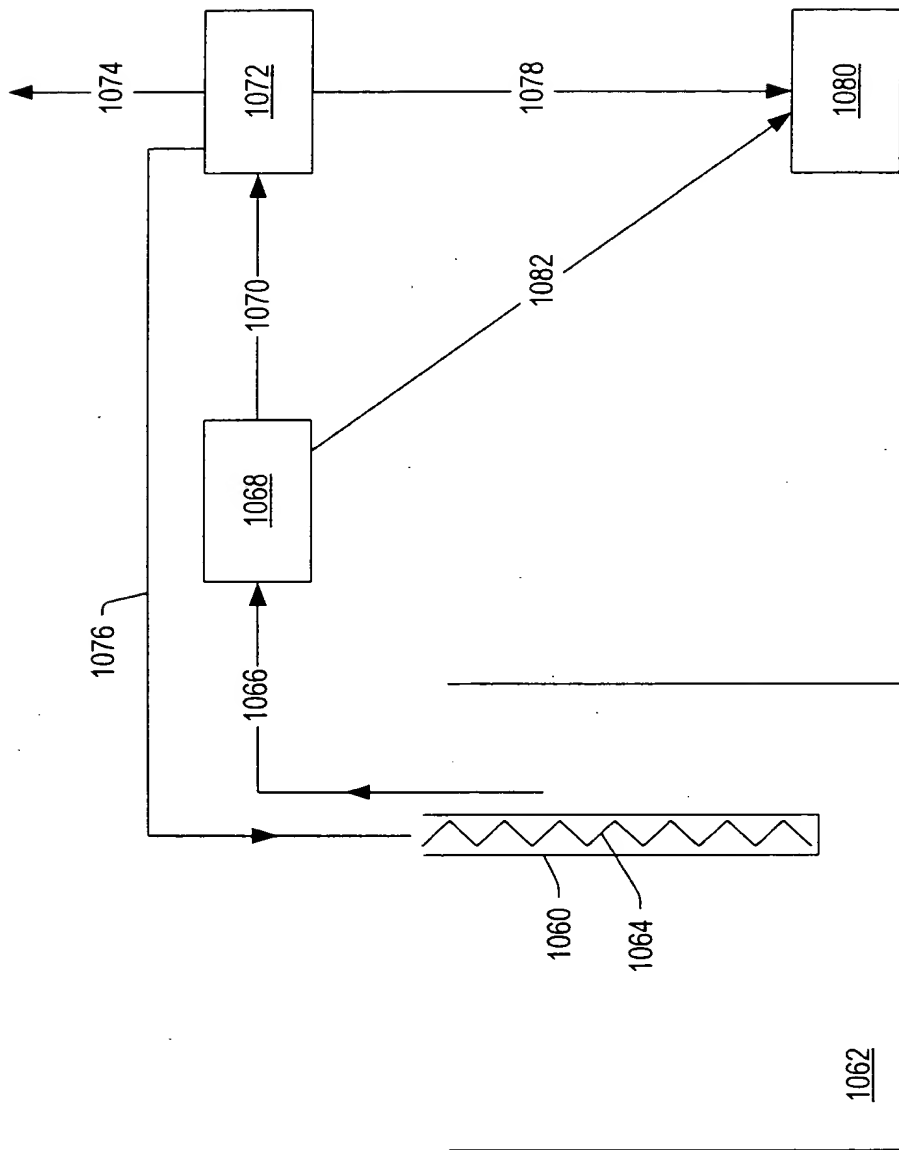


FIG. 37

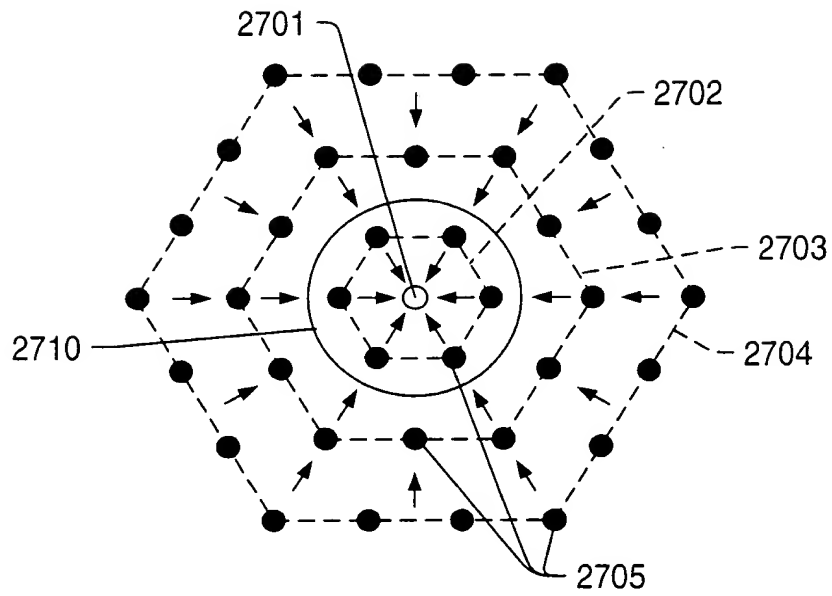


FIG. 57

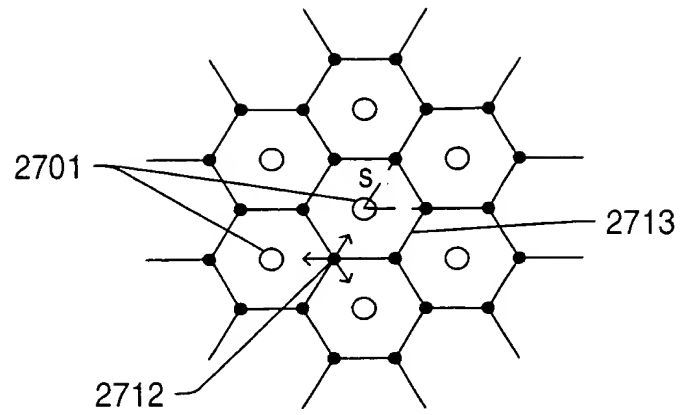


FIG. 58

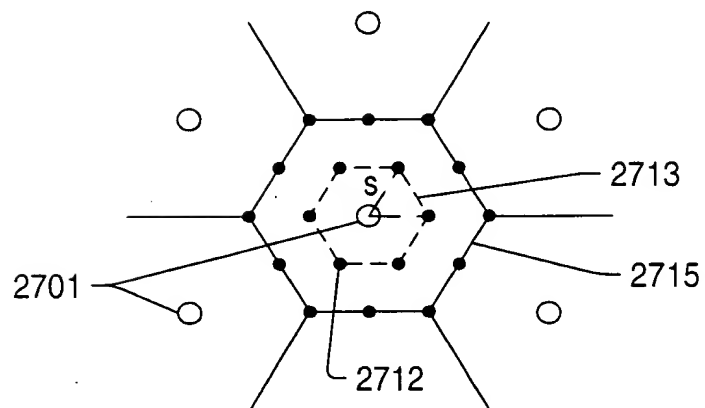


FIG. 59

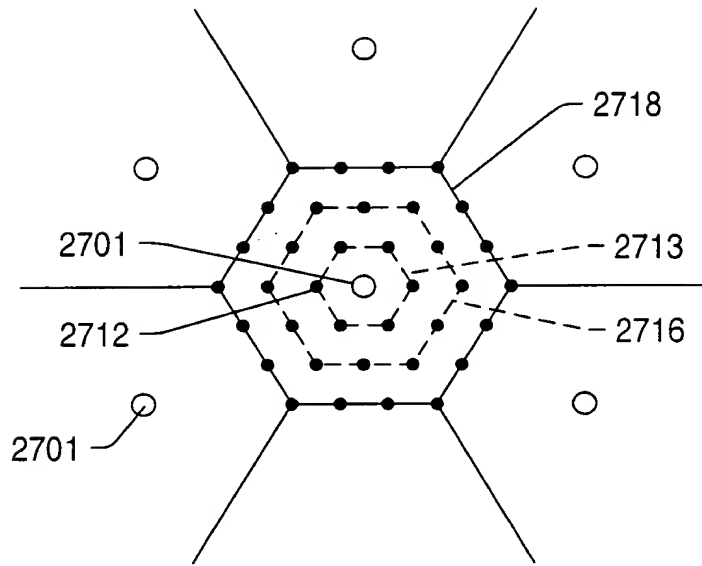


FIG. 60

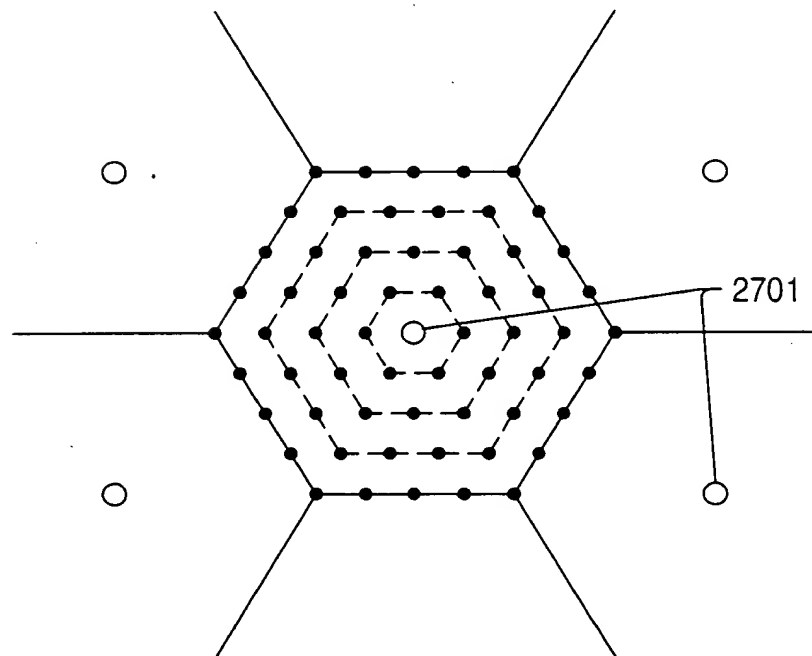


FIG. 61

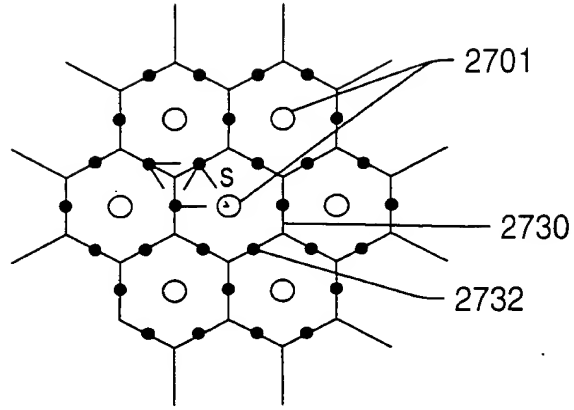


FIG. 62

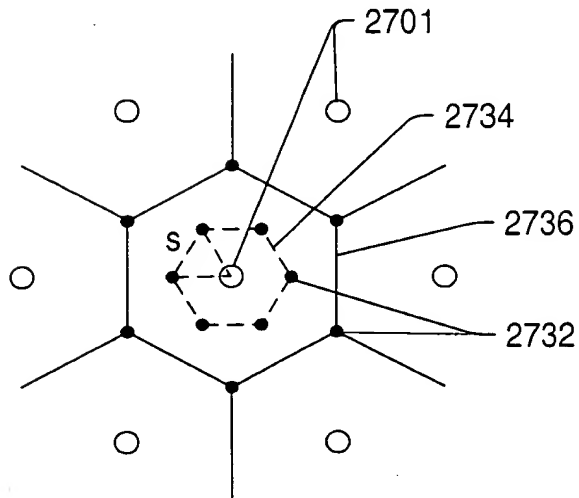


FIG. 63

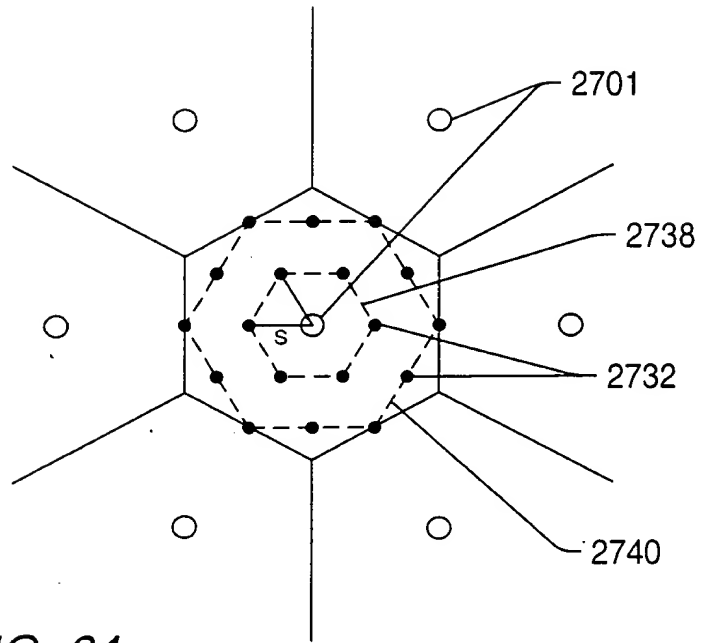


FIG. 64

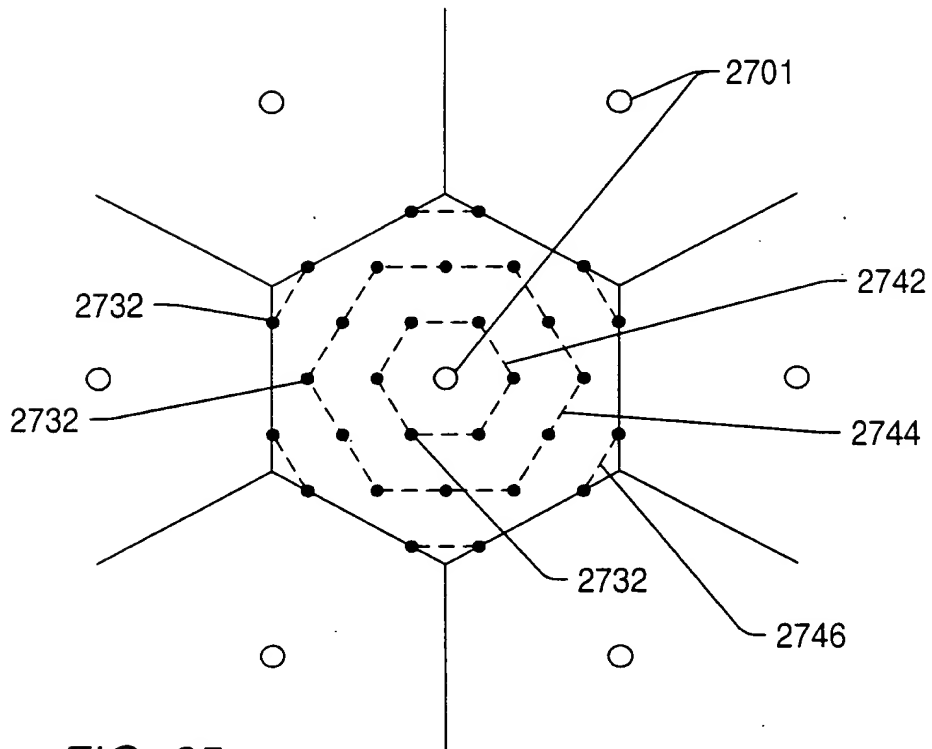


FIG. 65



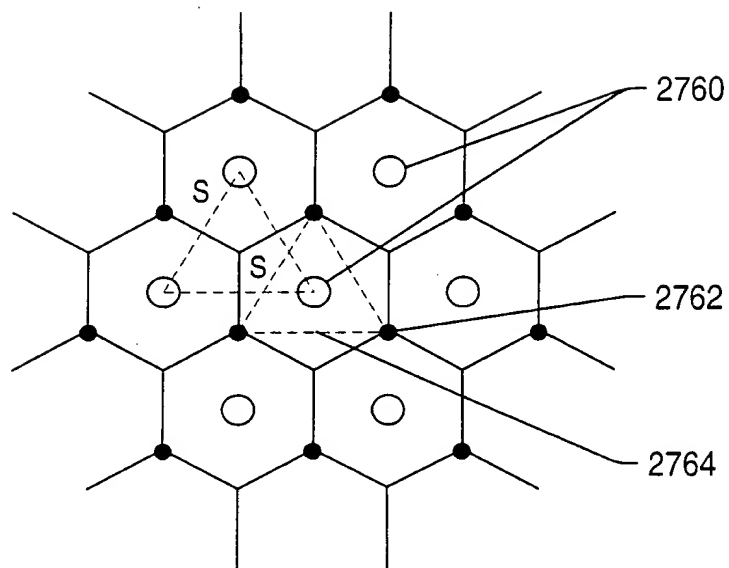


FIG. 66

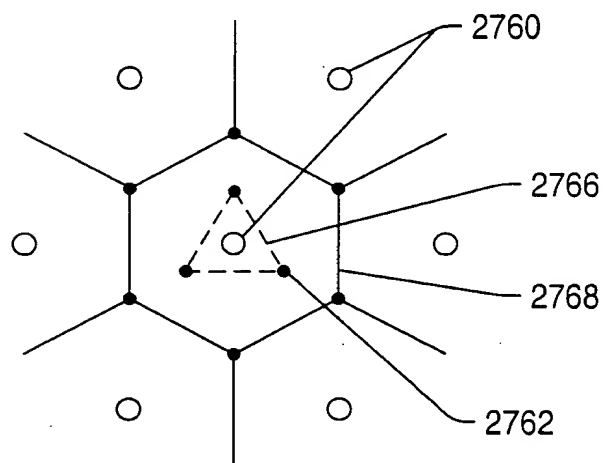


FIG. 67

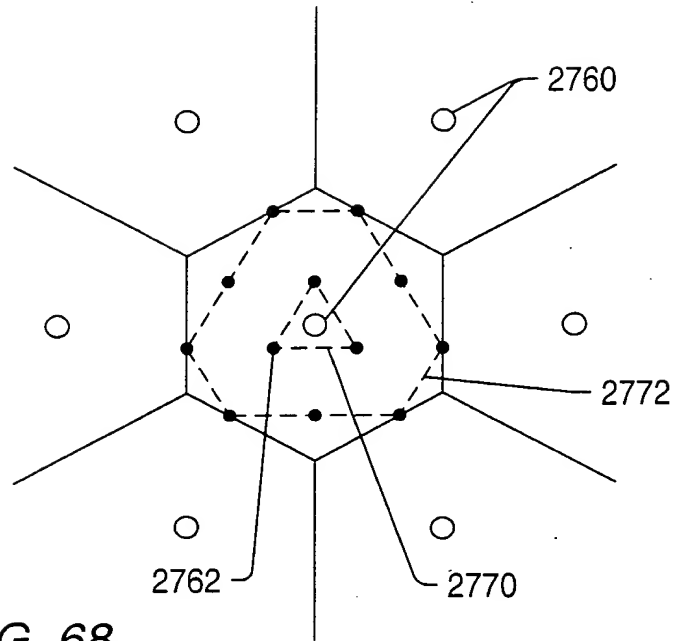


FIG. 68

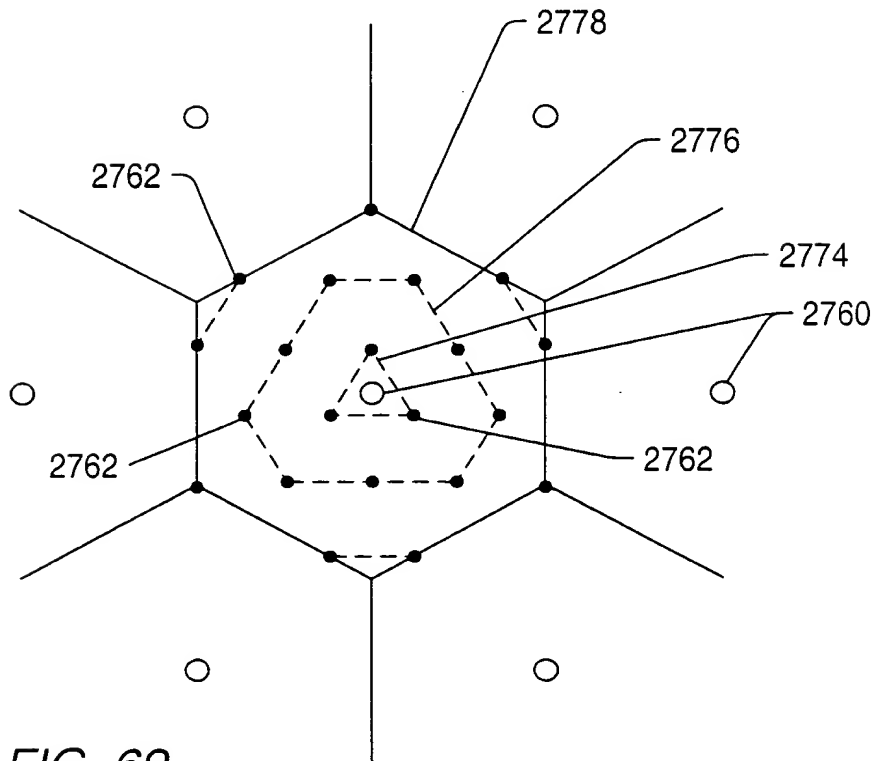


FIG. 69

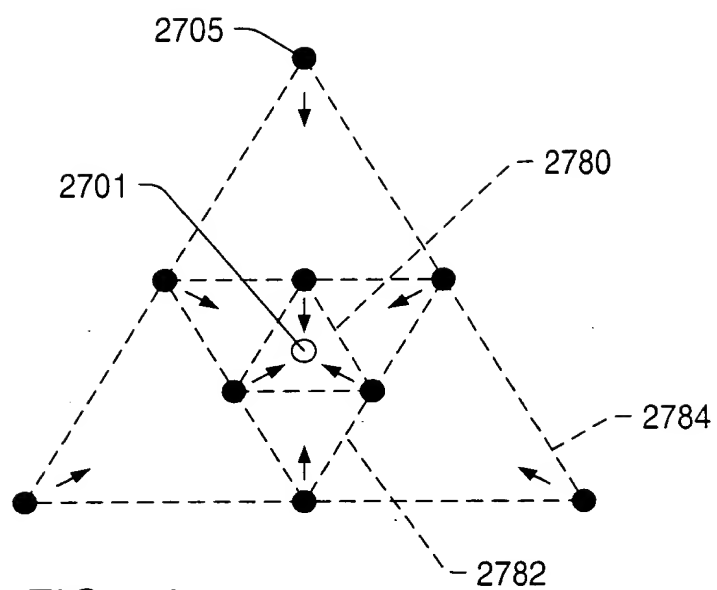


FIG. 70

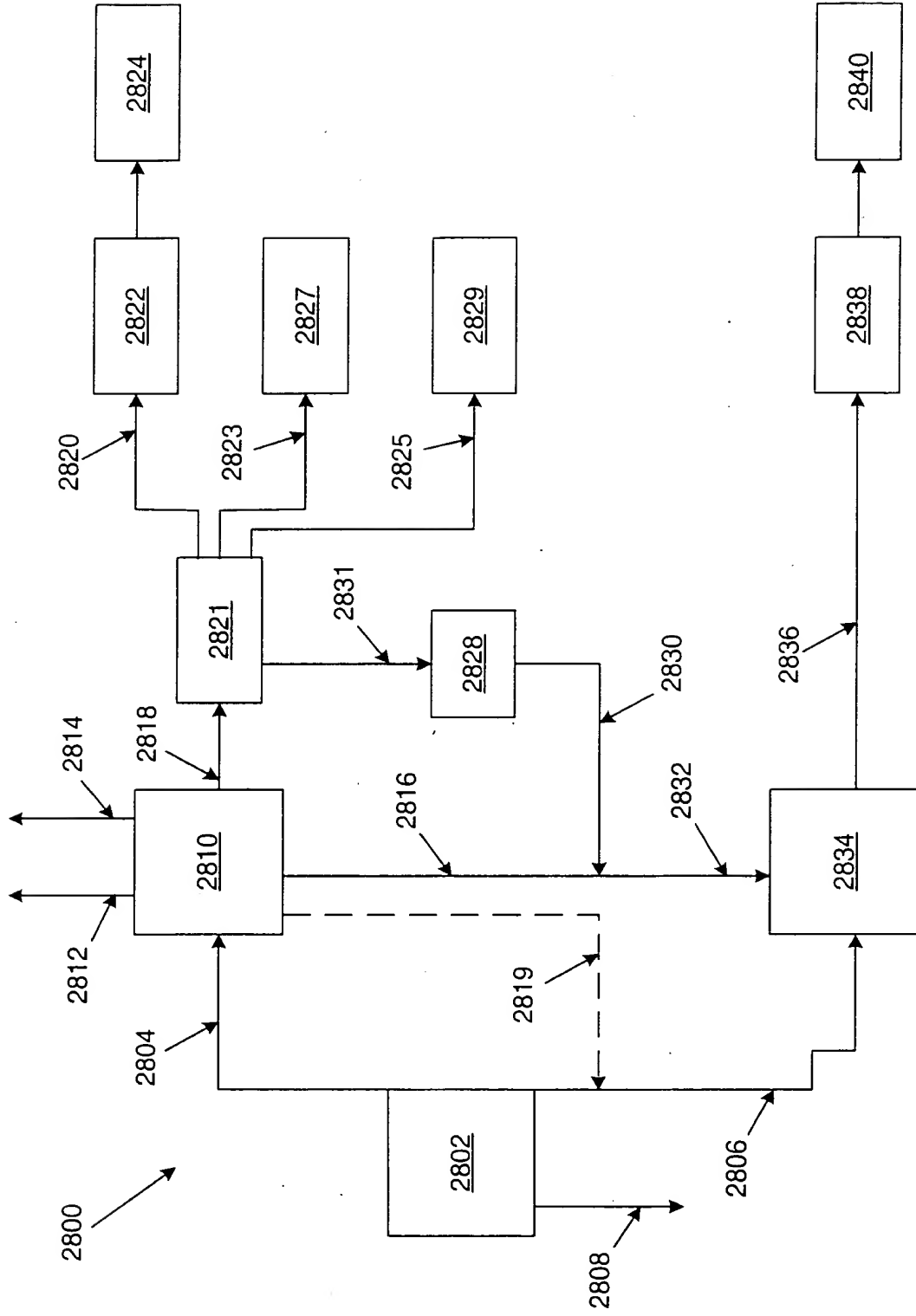


Fig. 71

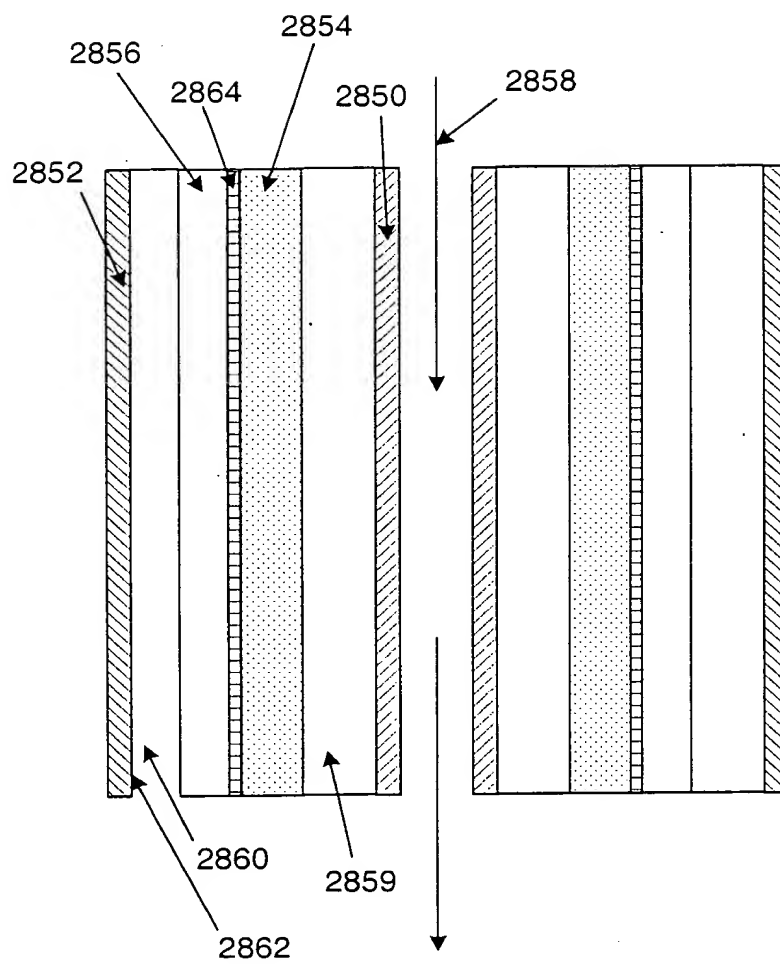


Fig. 72

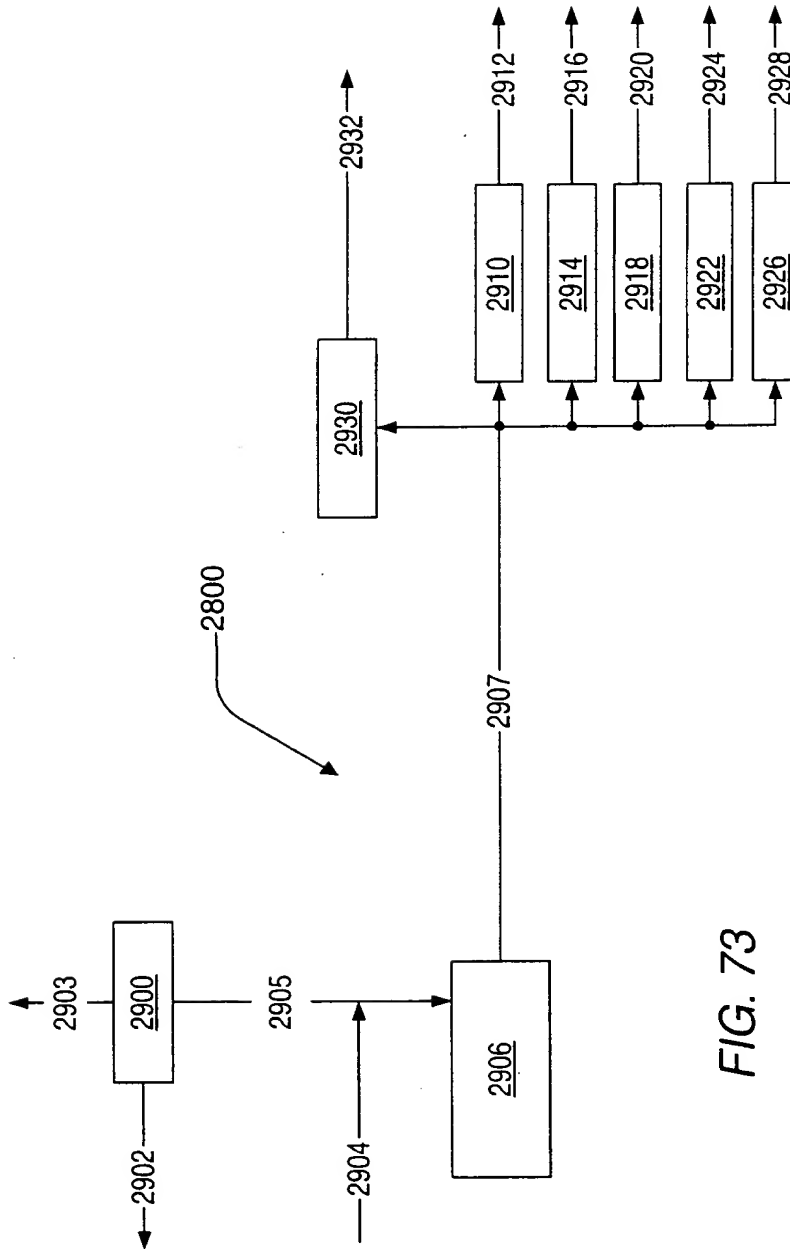


FIG. 73

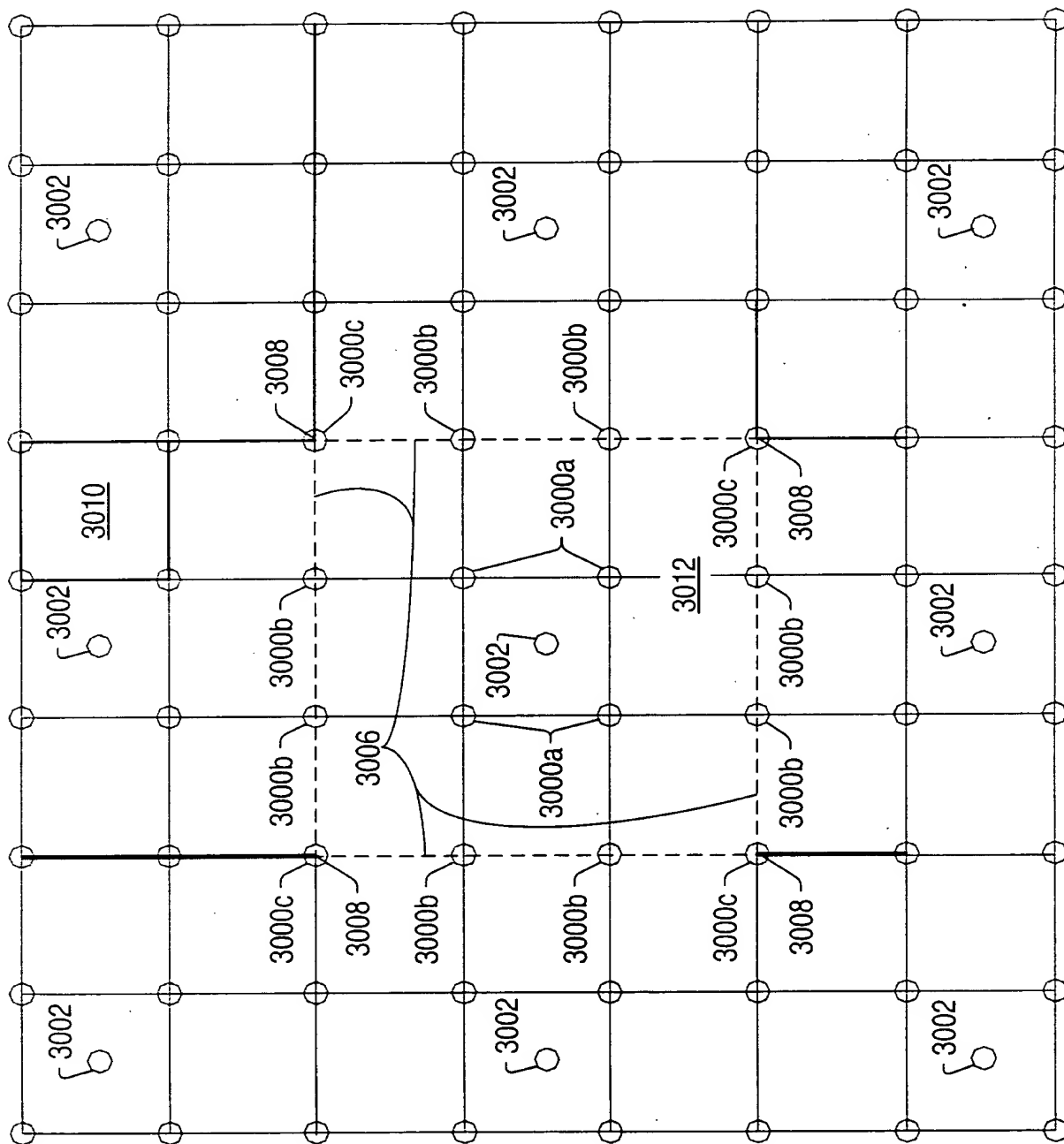


FIG. 74

FIG. 75



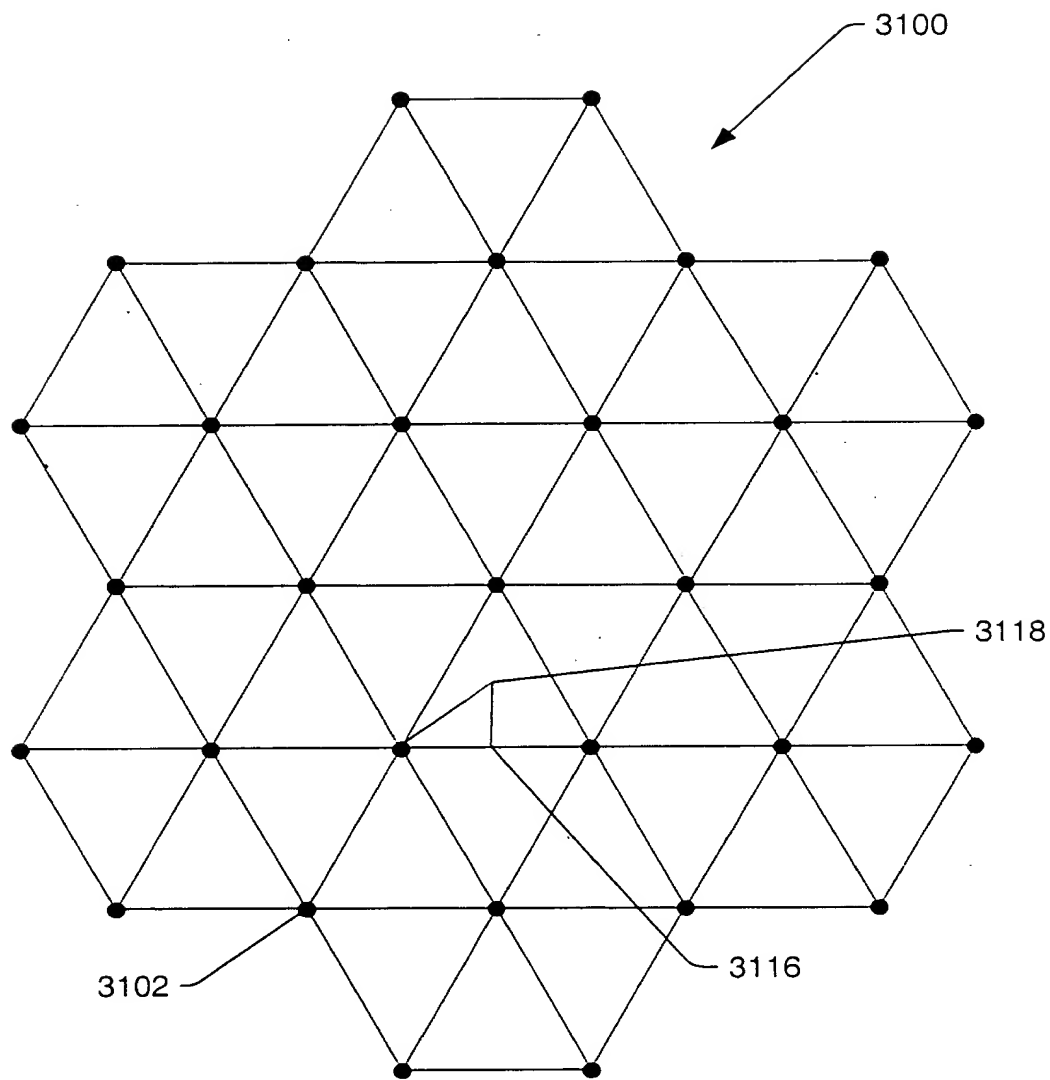
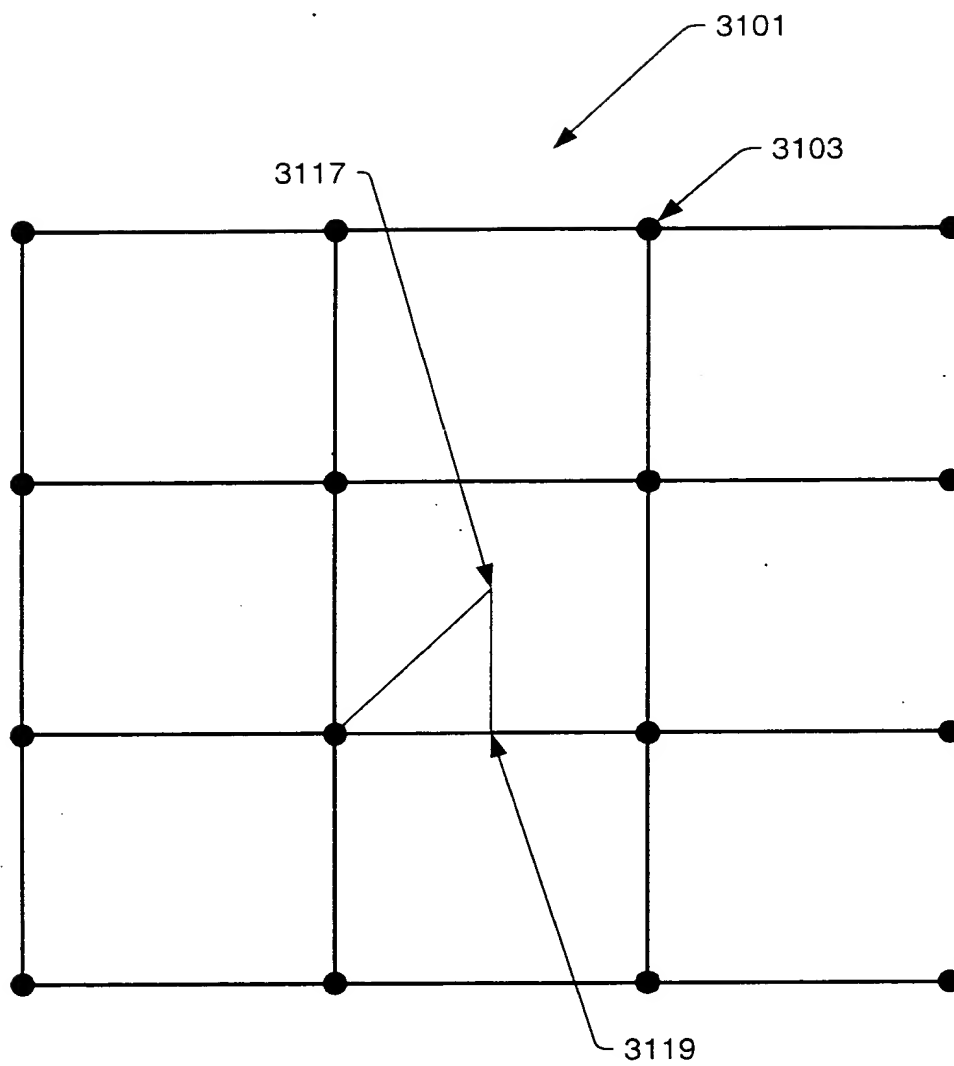


FIG. 76



*FIG. 76a*

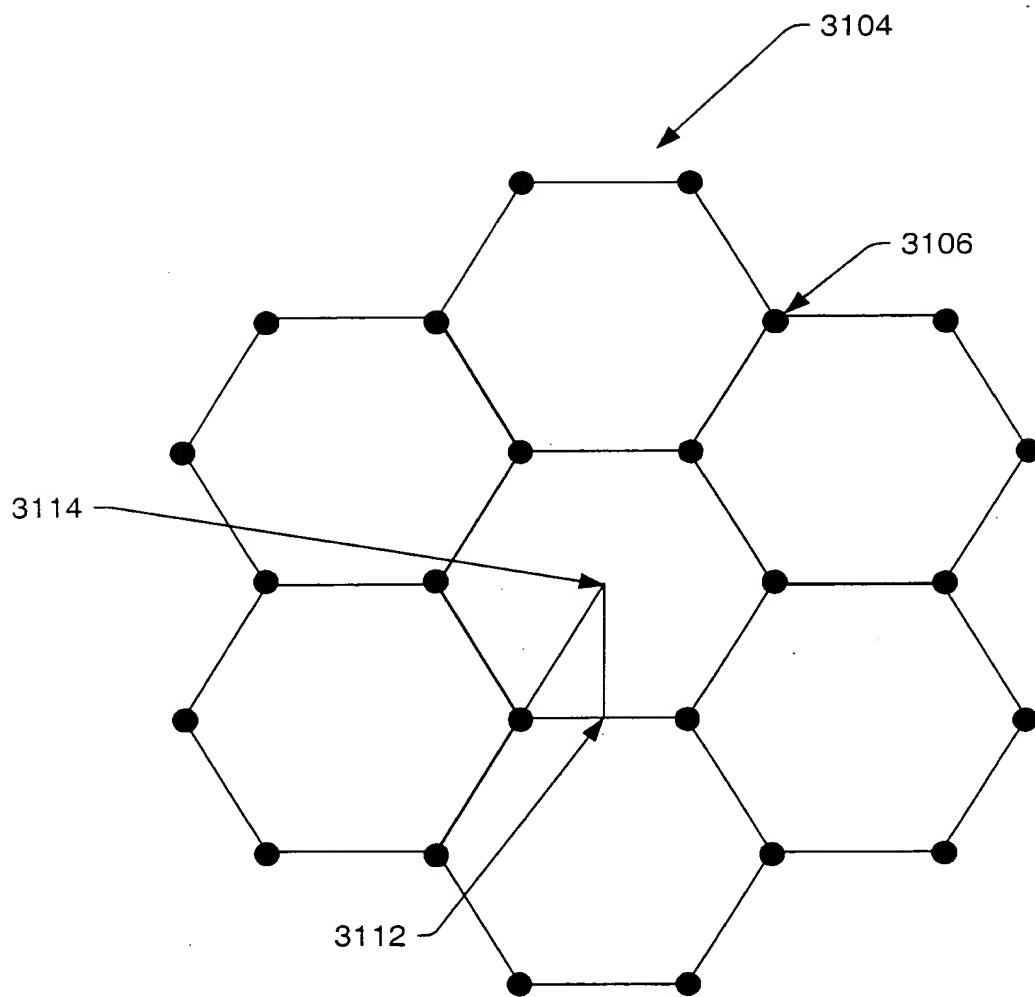


FIG. 77

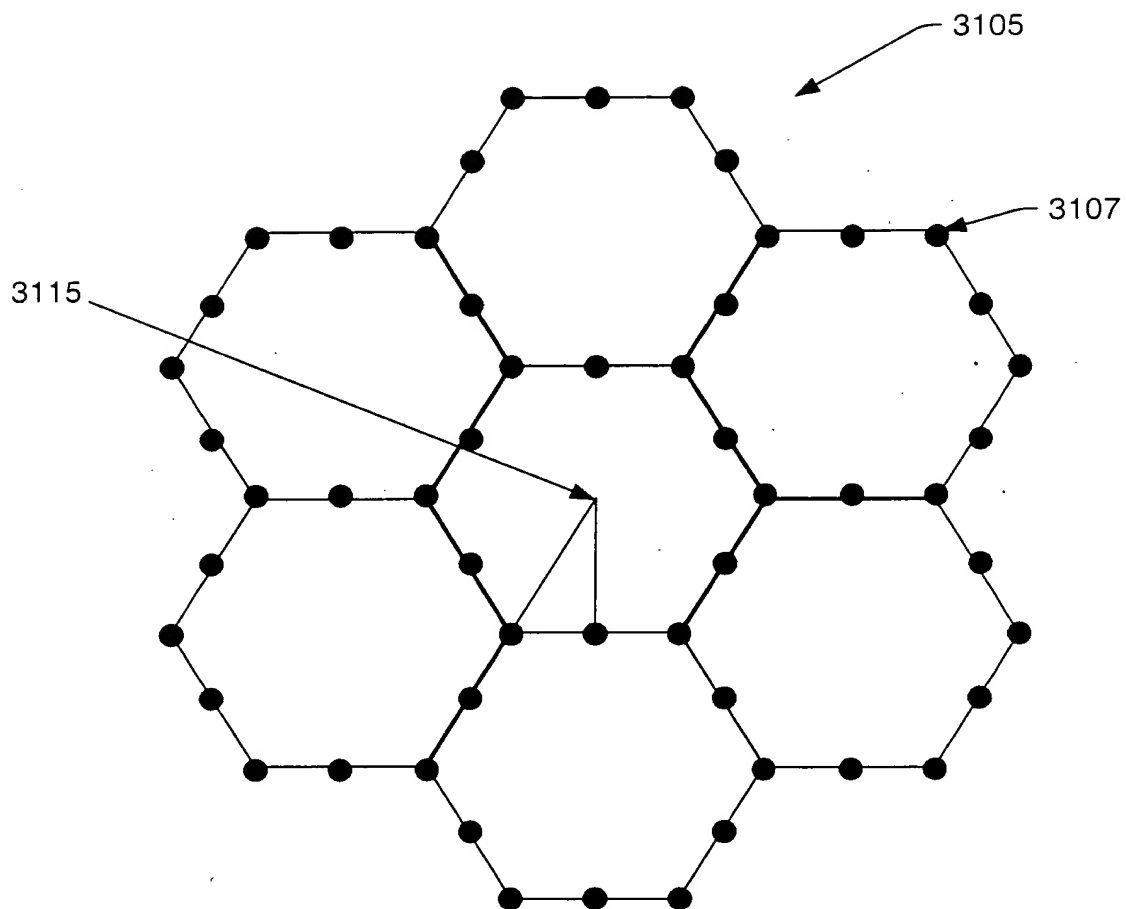


FIG. 77a

3110

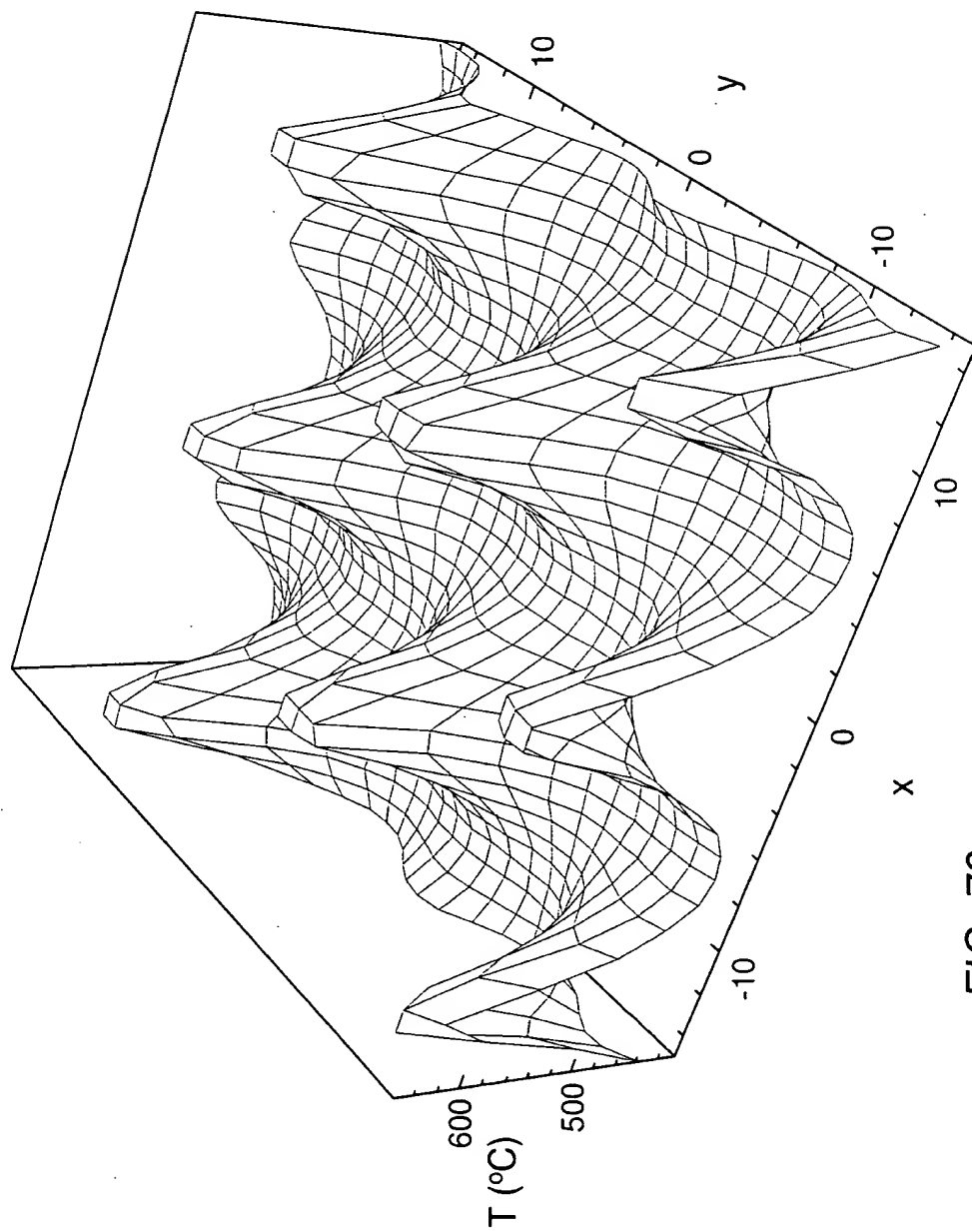


FIG. 78

3108

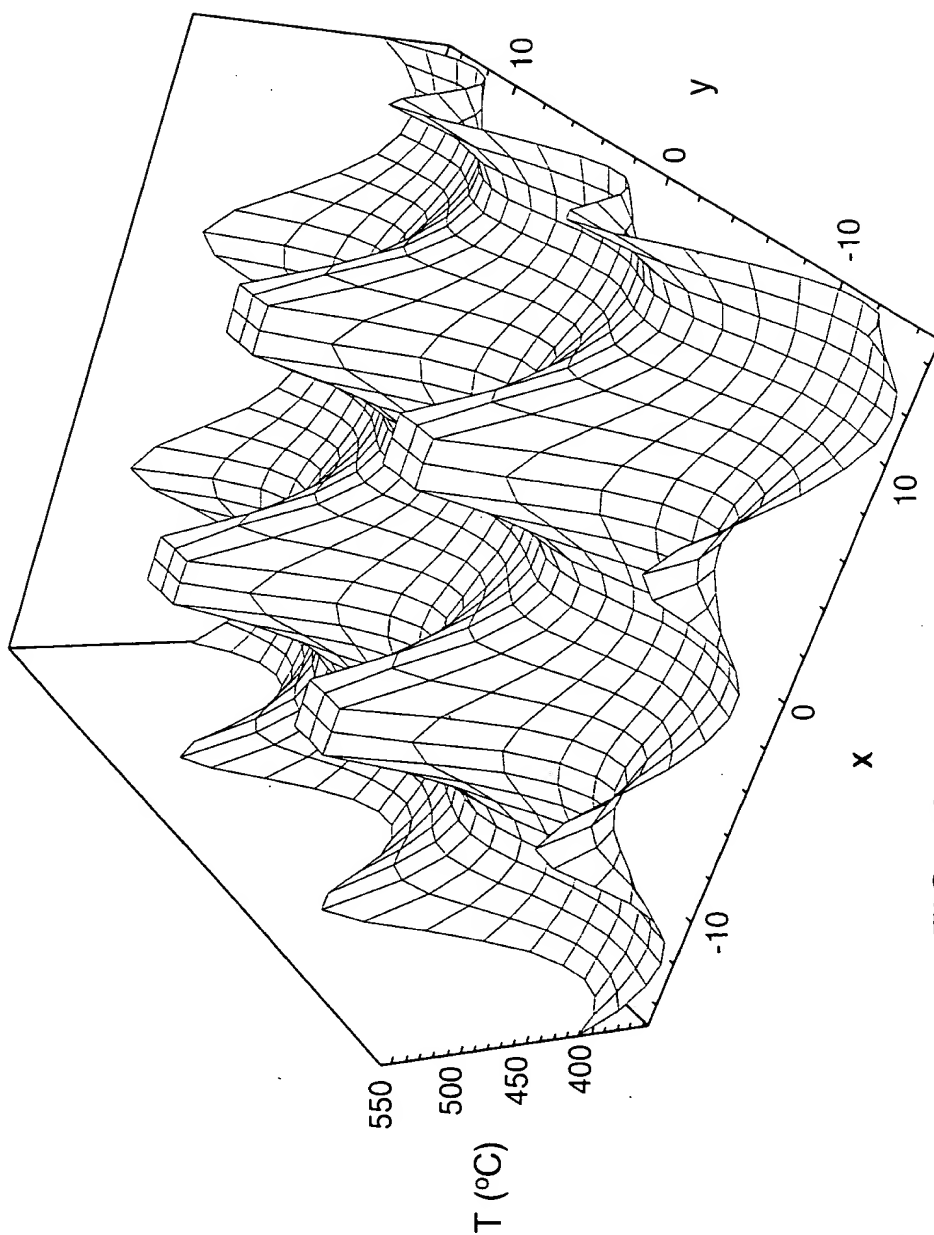


FIG. 79

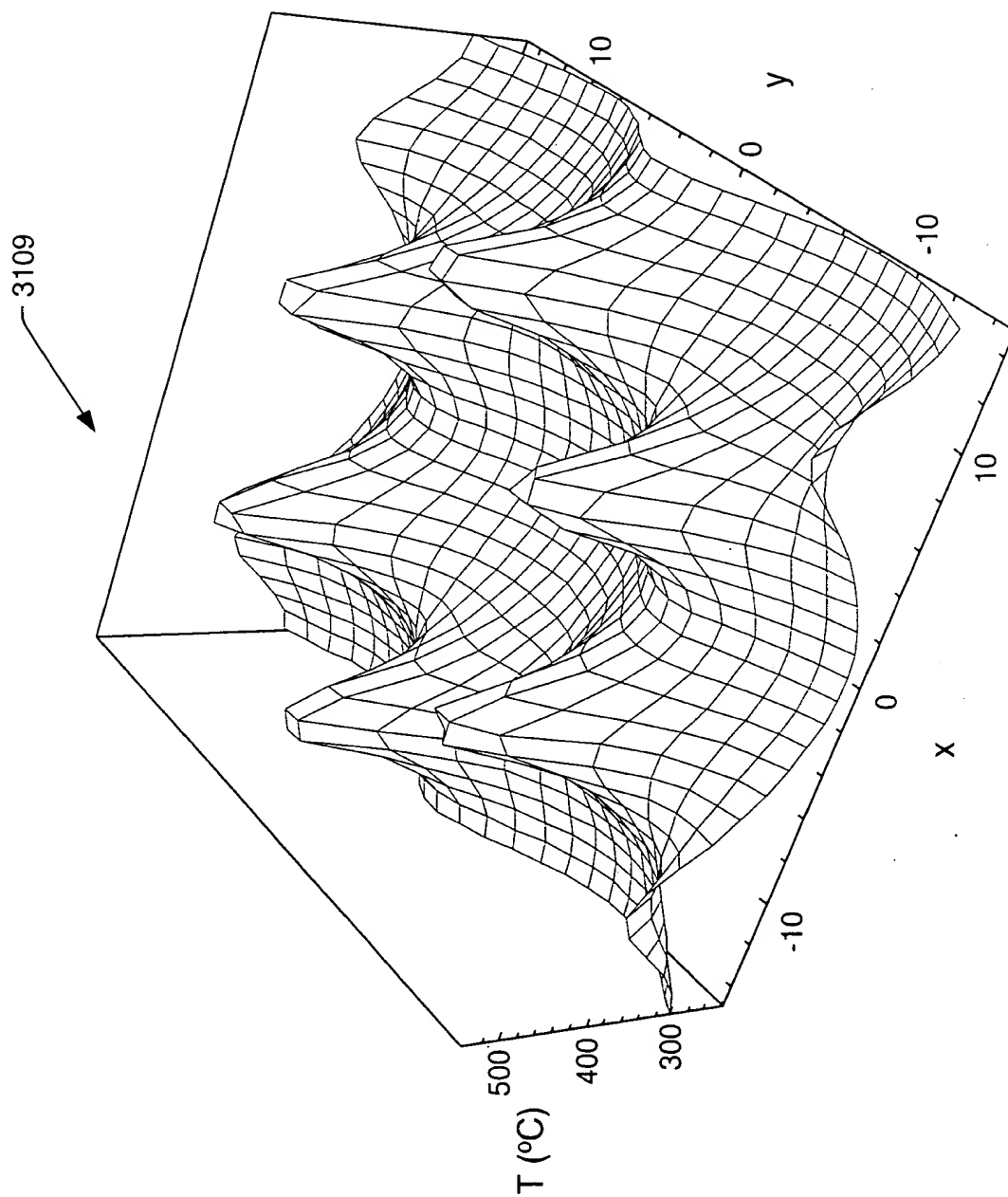


FIG. 79a

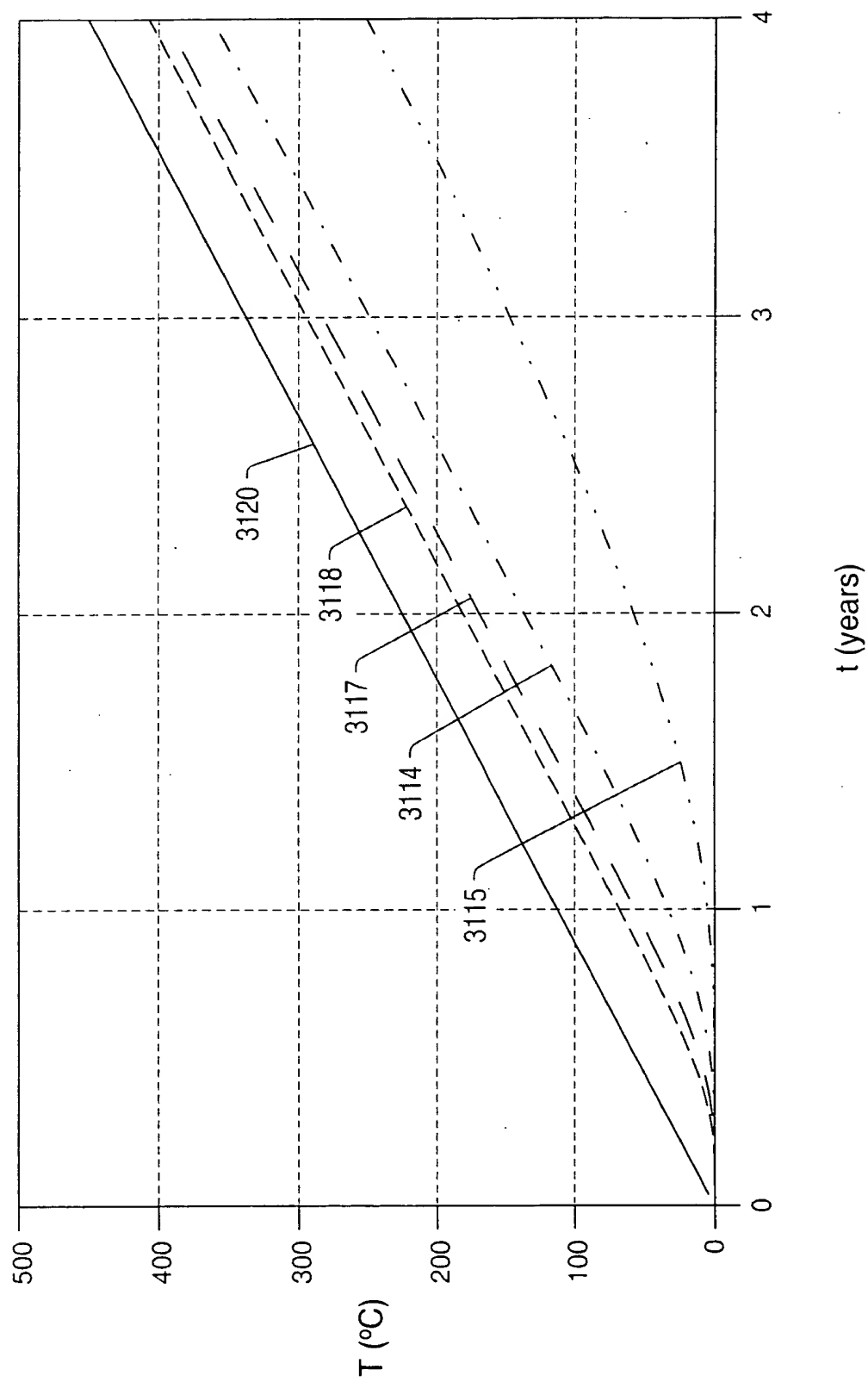


FIG. 80



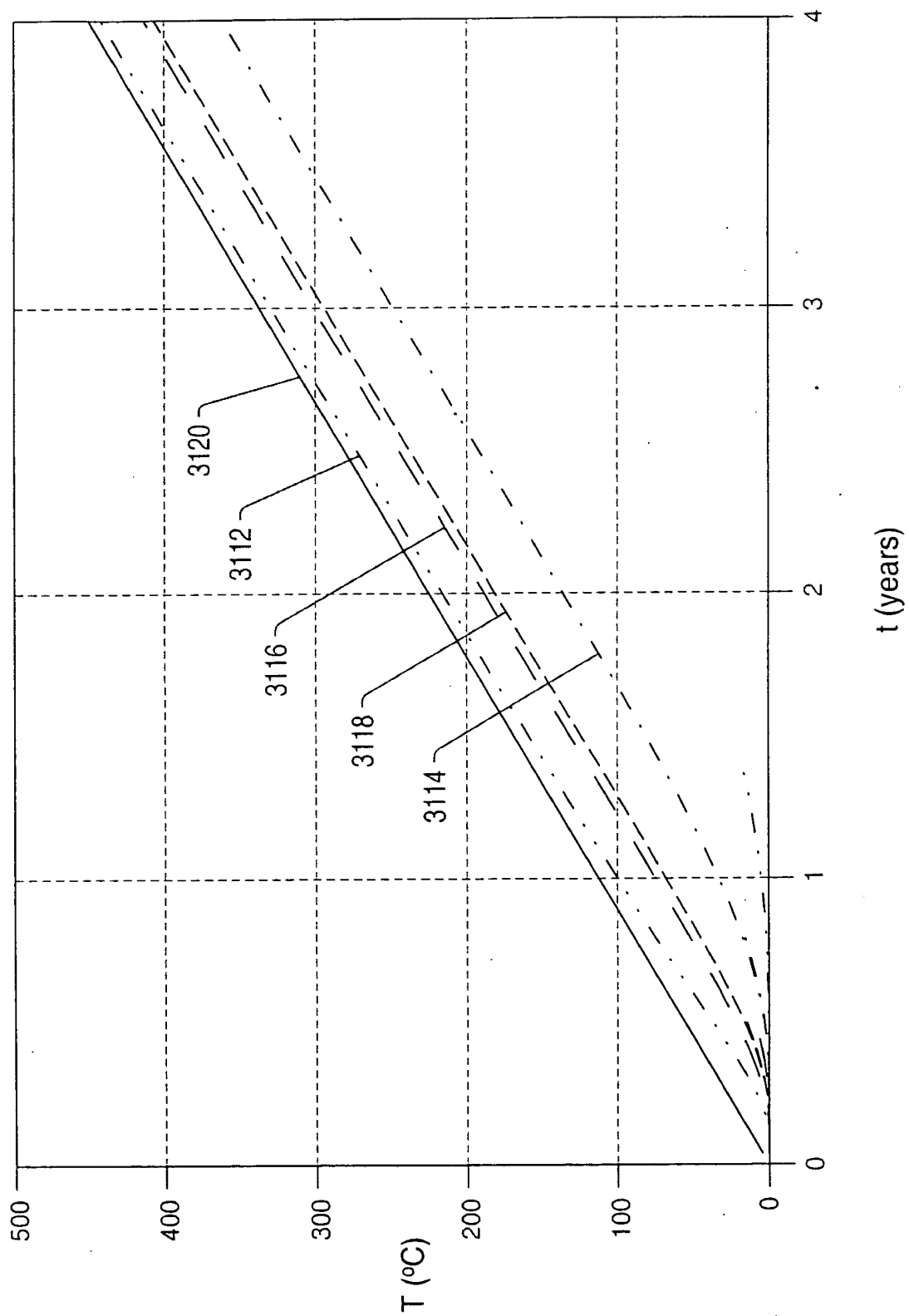


FIG. 81

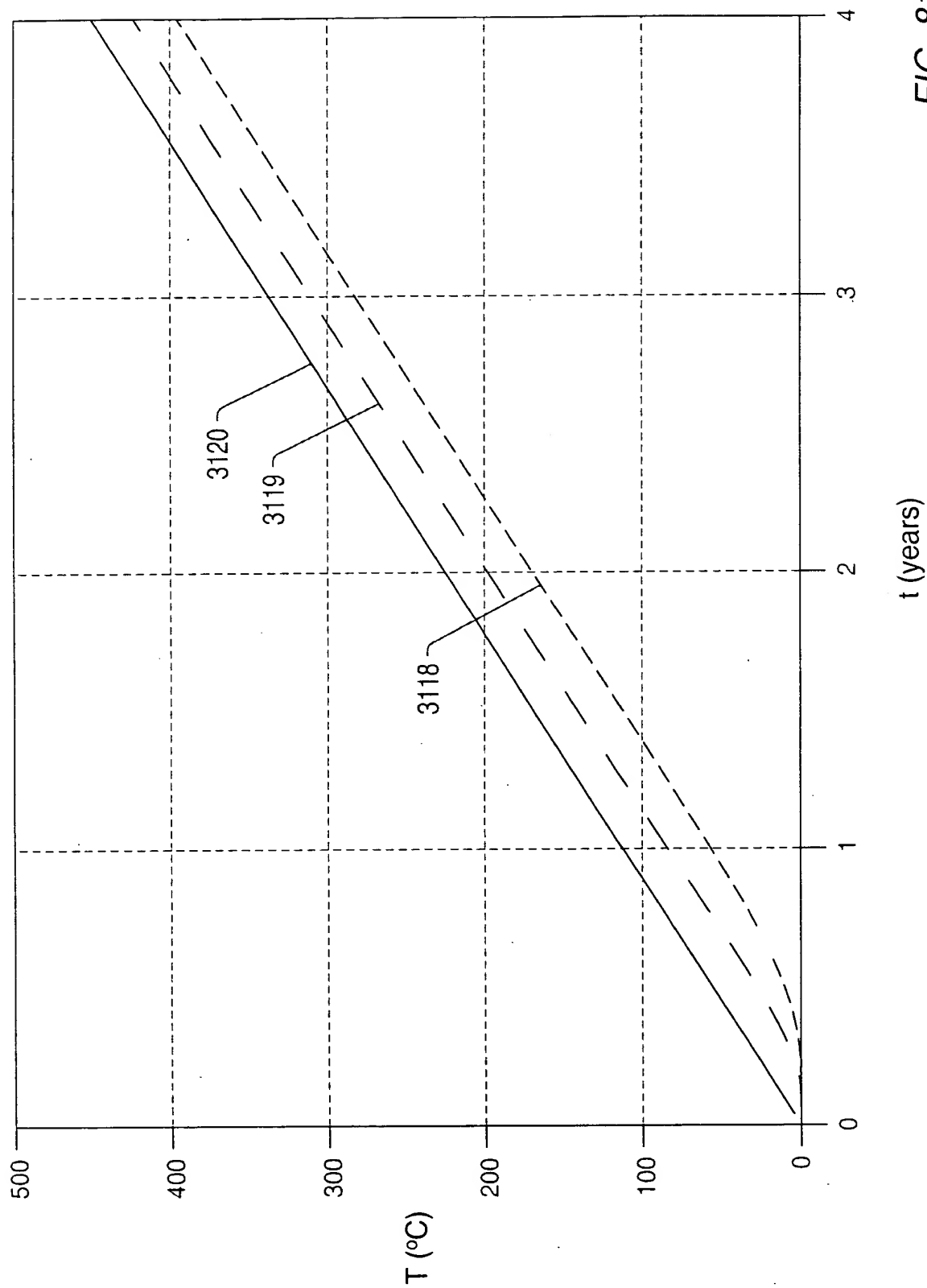


FIG. 81a

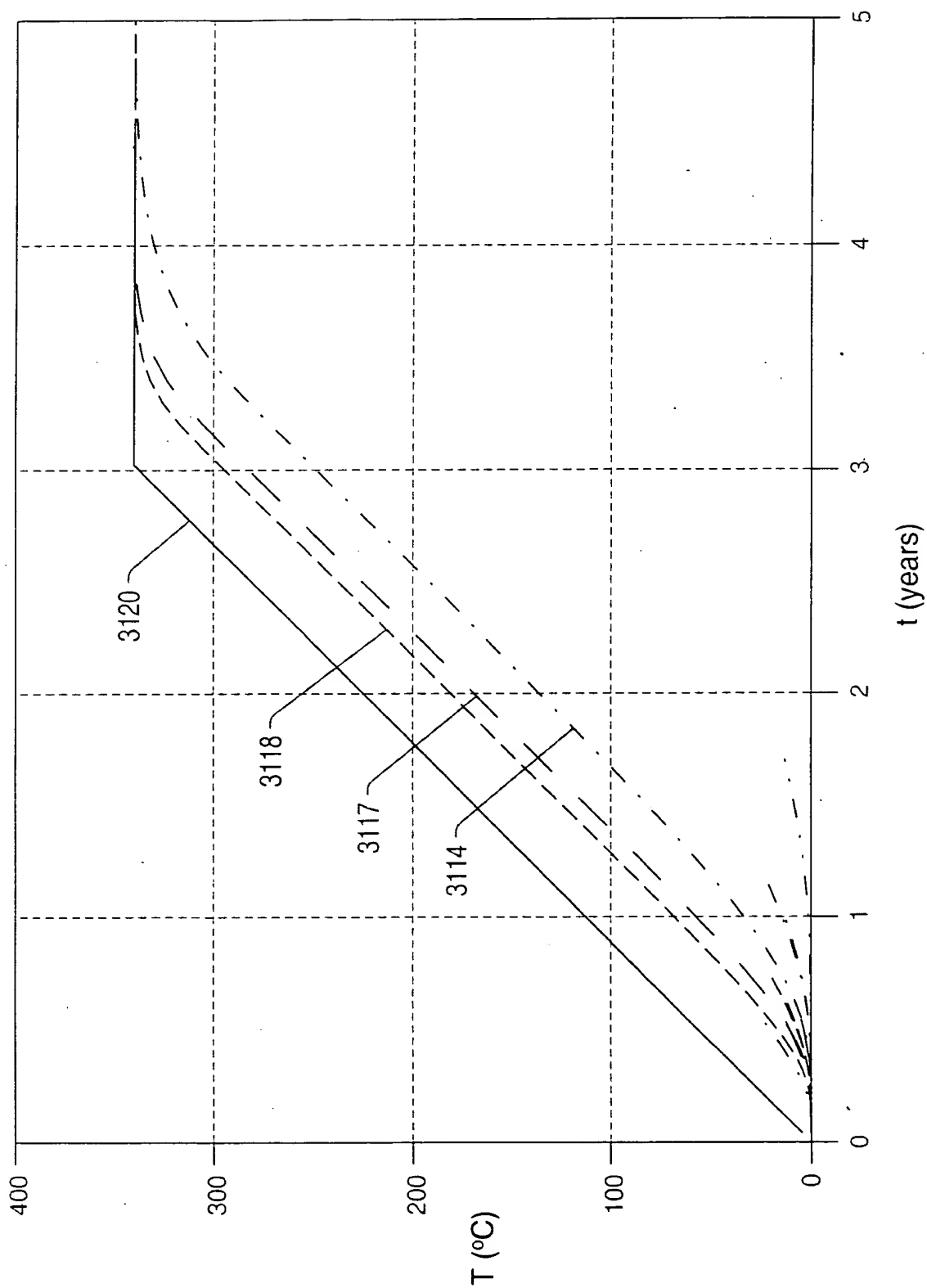


FIG. 81b

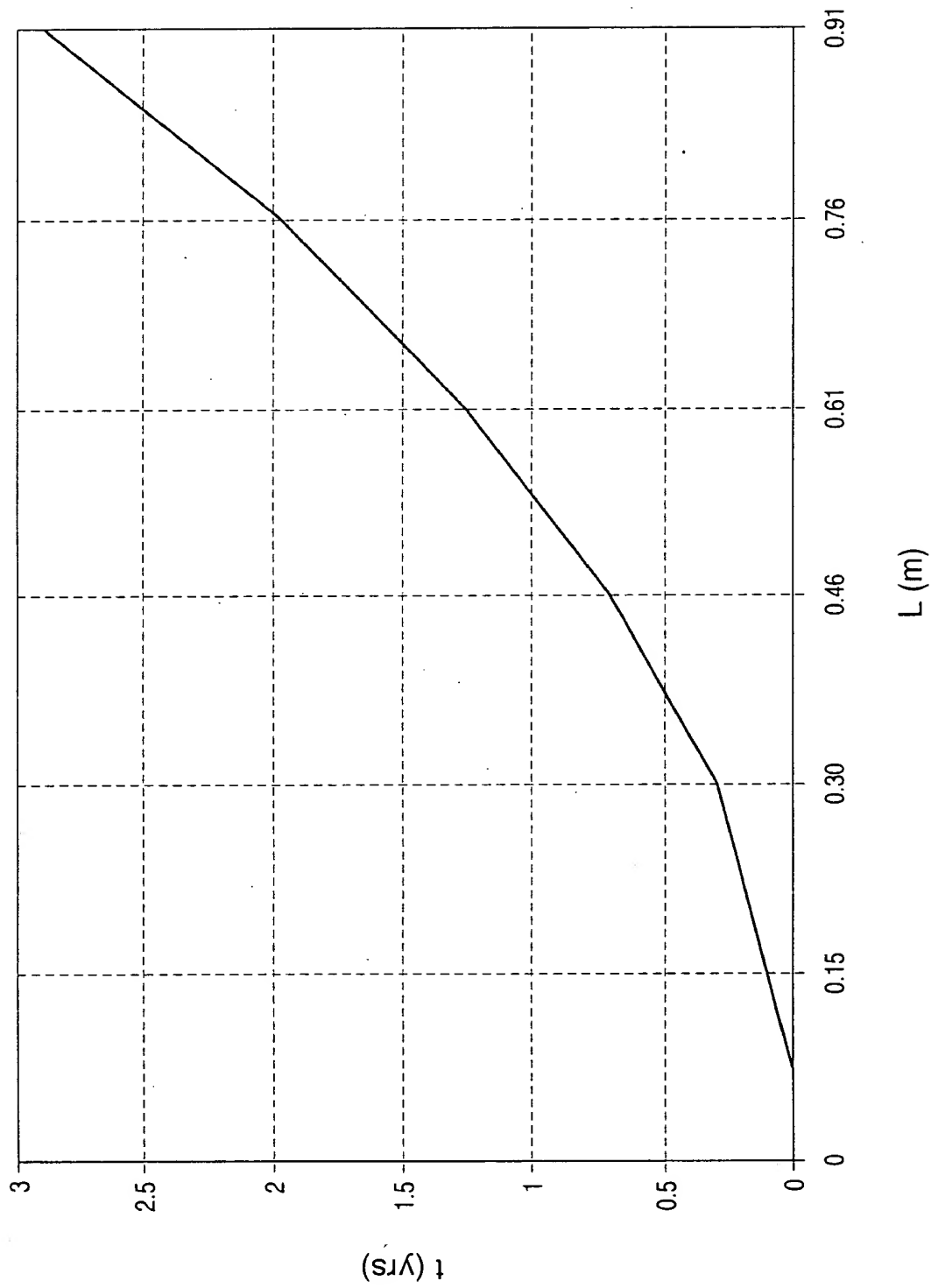
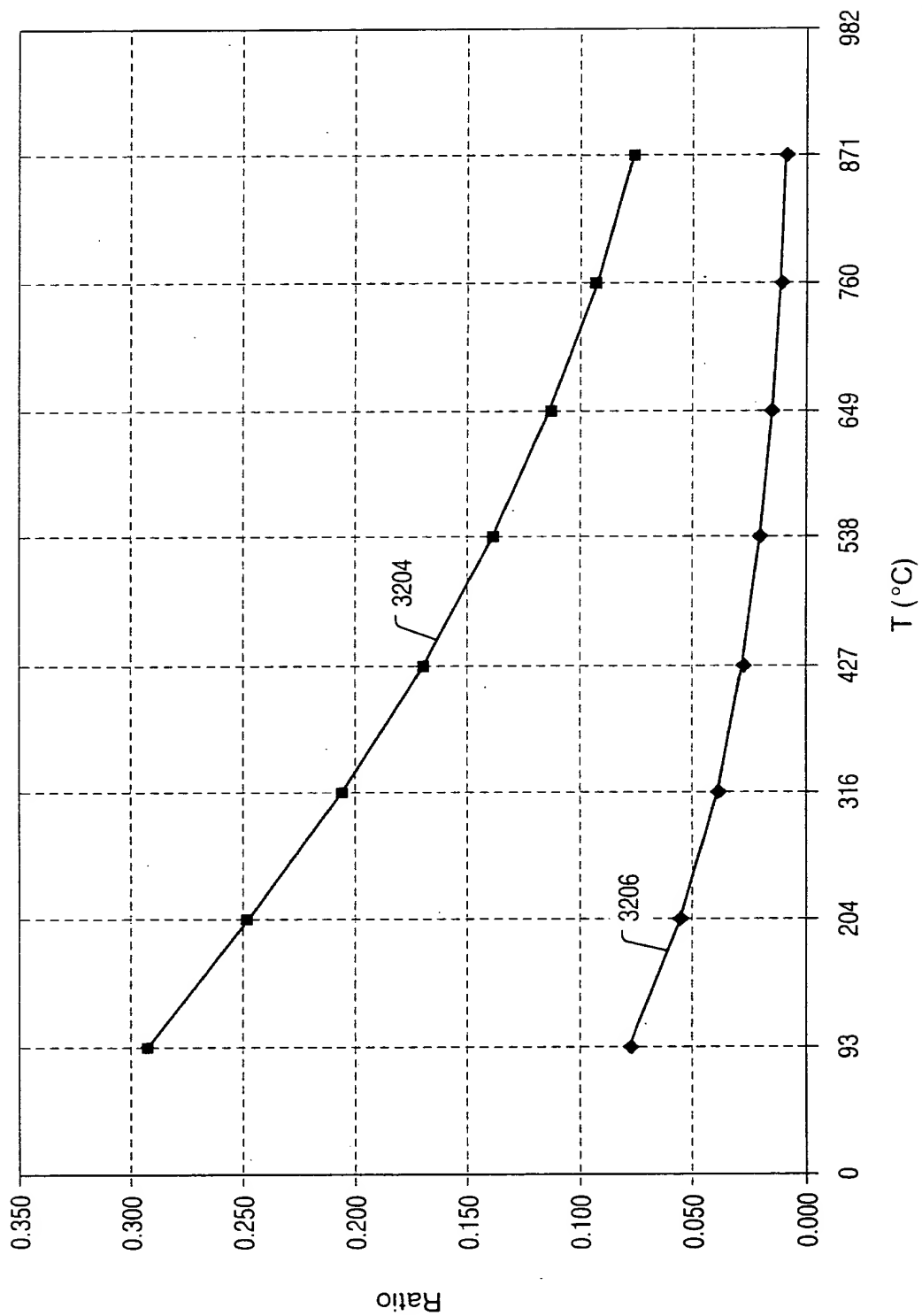


FIG. 82



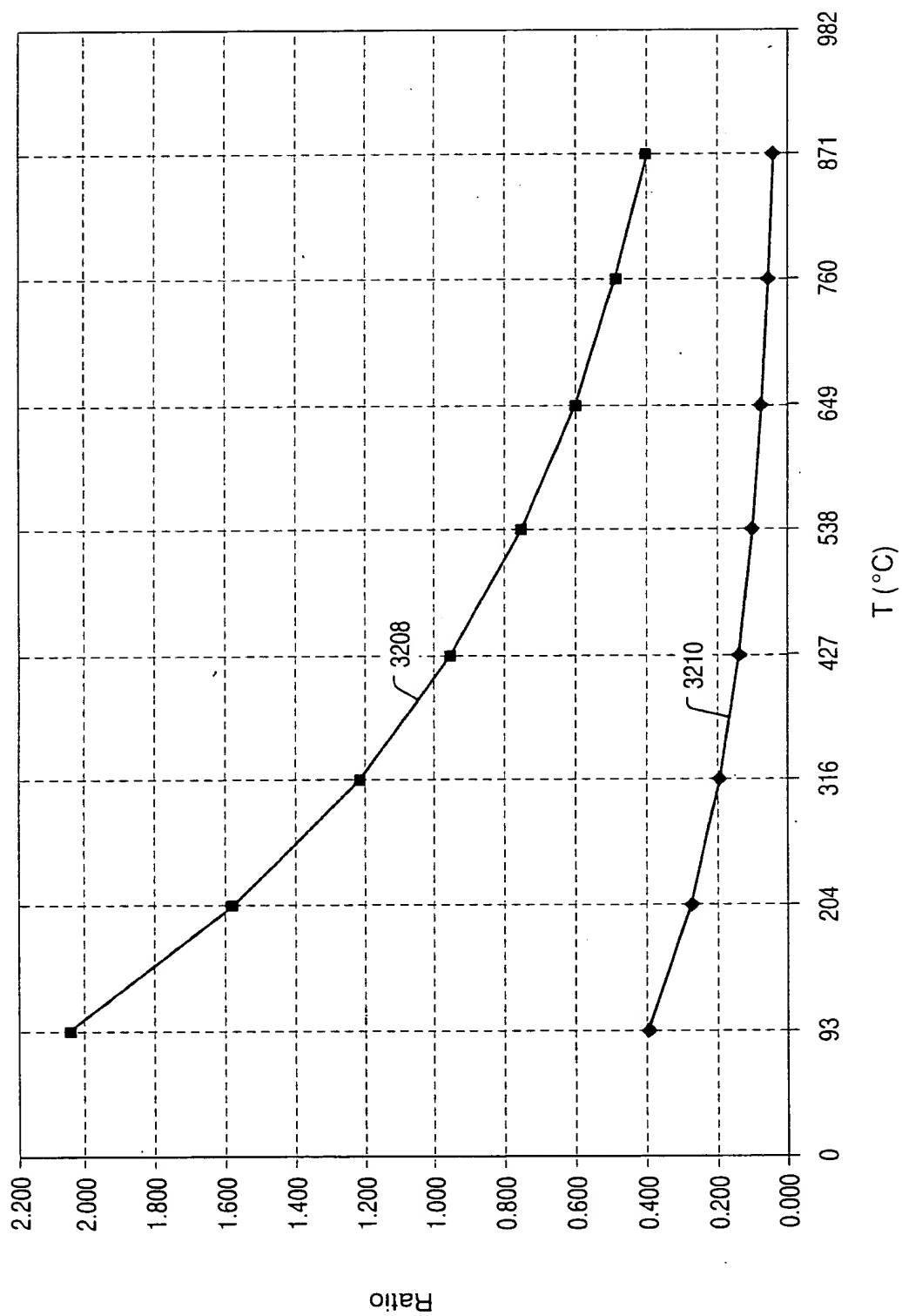


FIG. 84

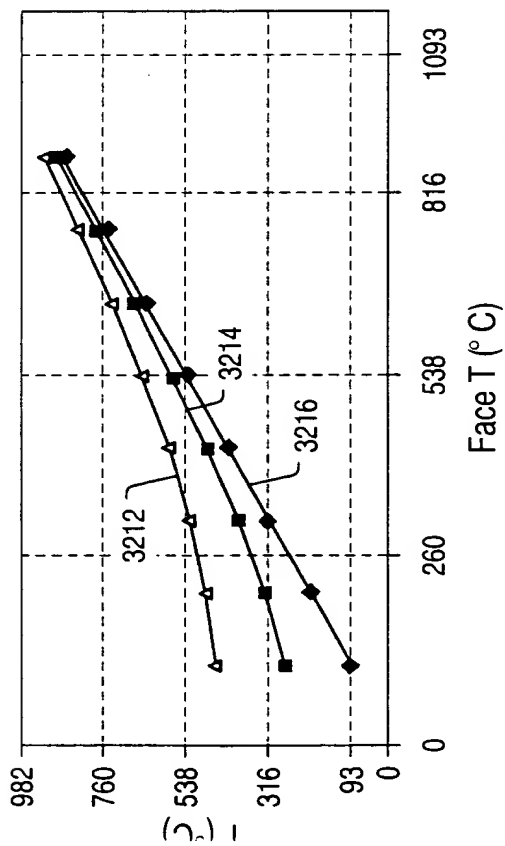


FIG. 85

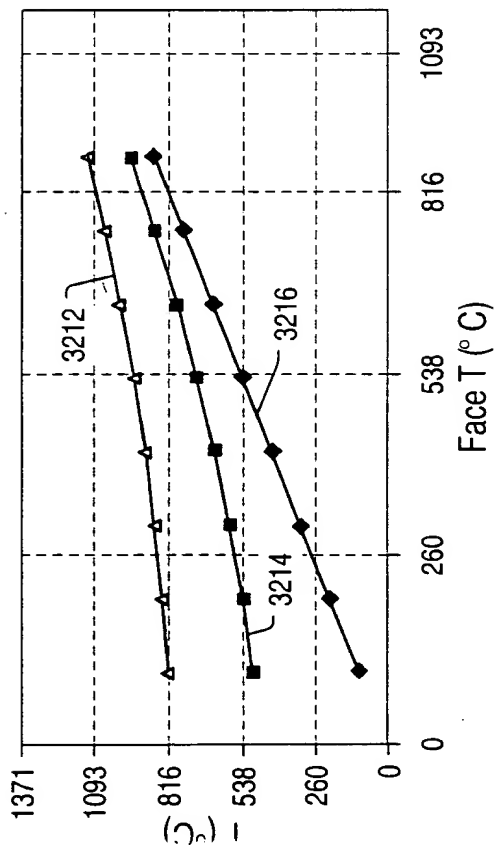
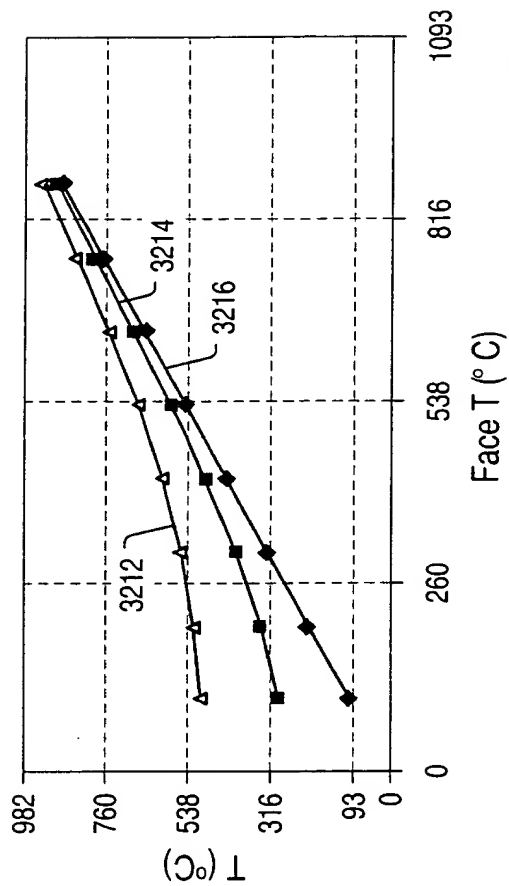
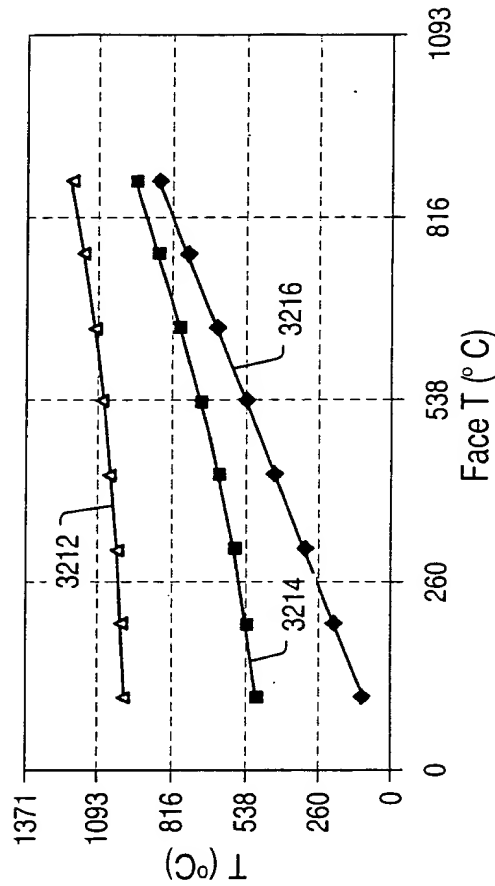


FIG. 87



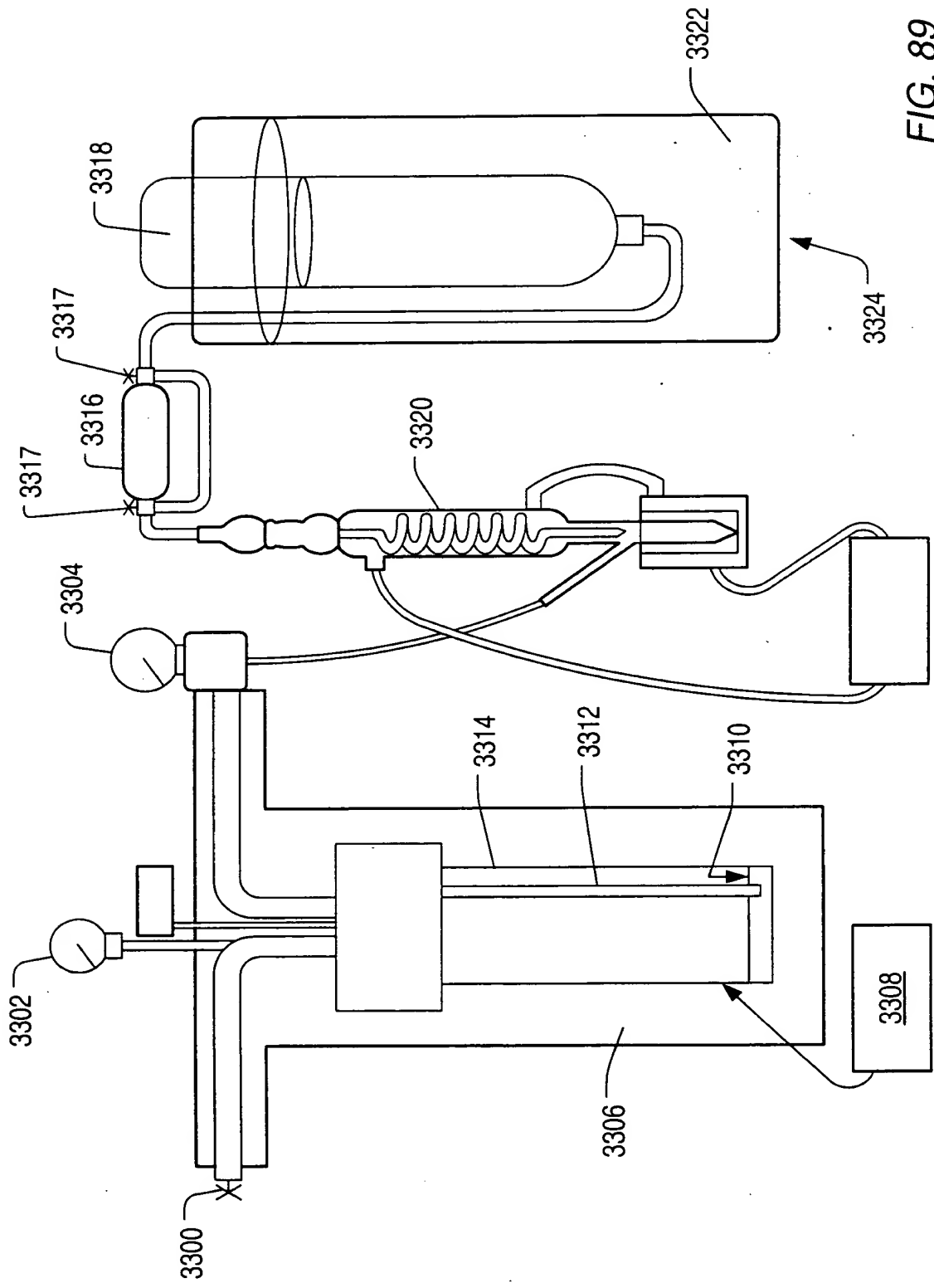


FIG. 89



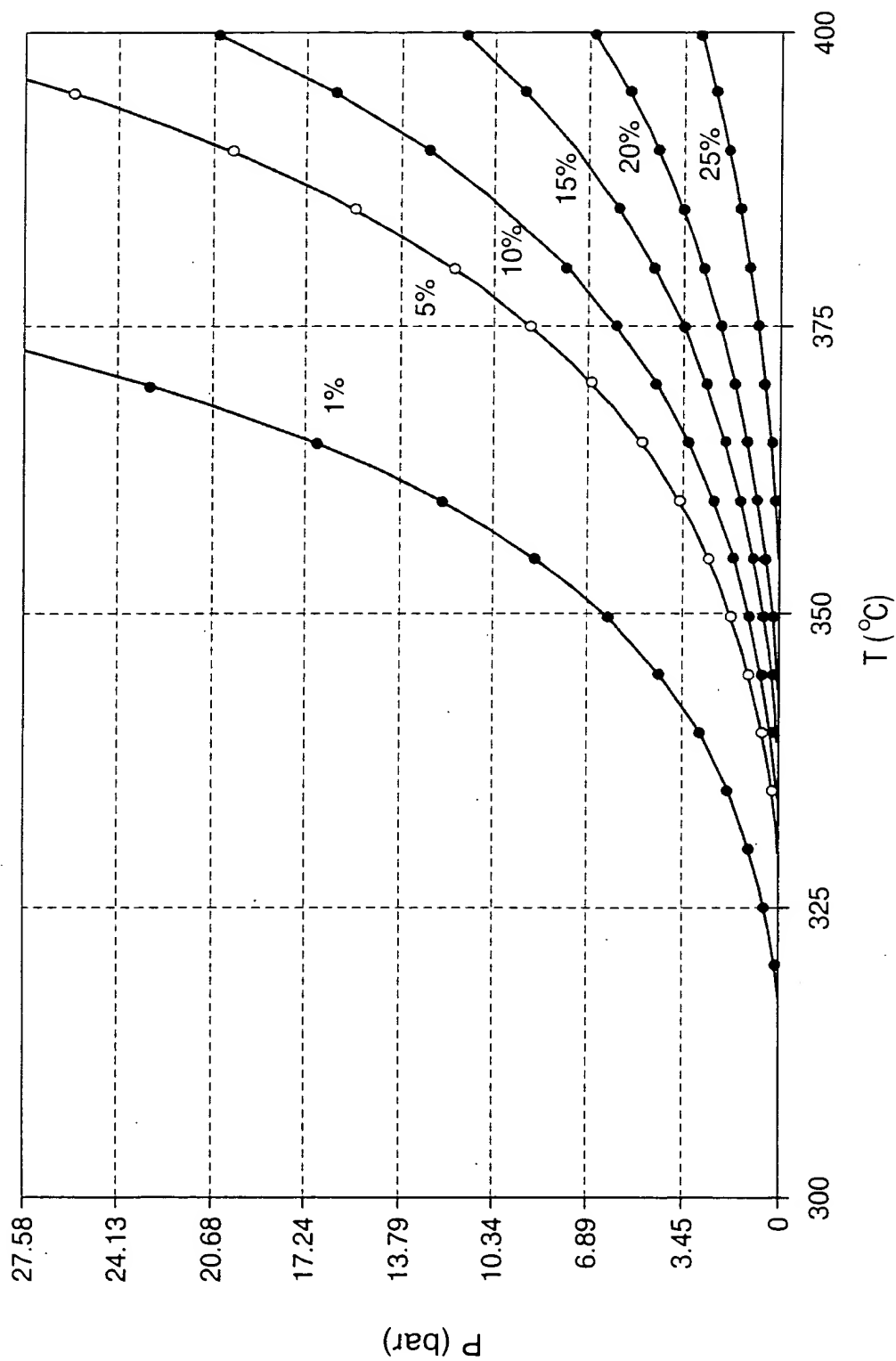


FIG. 90

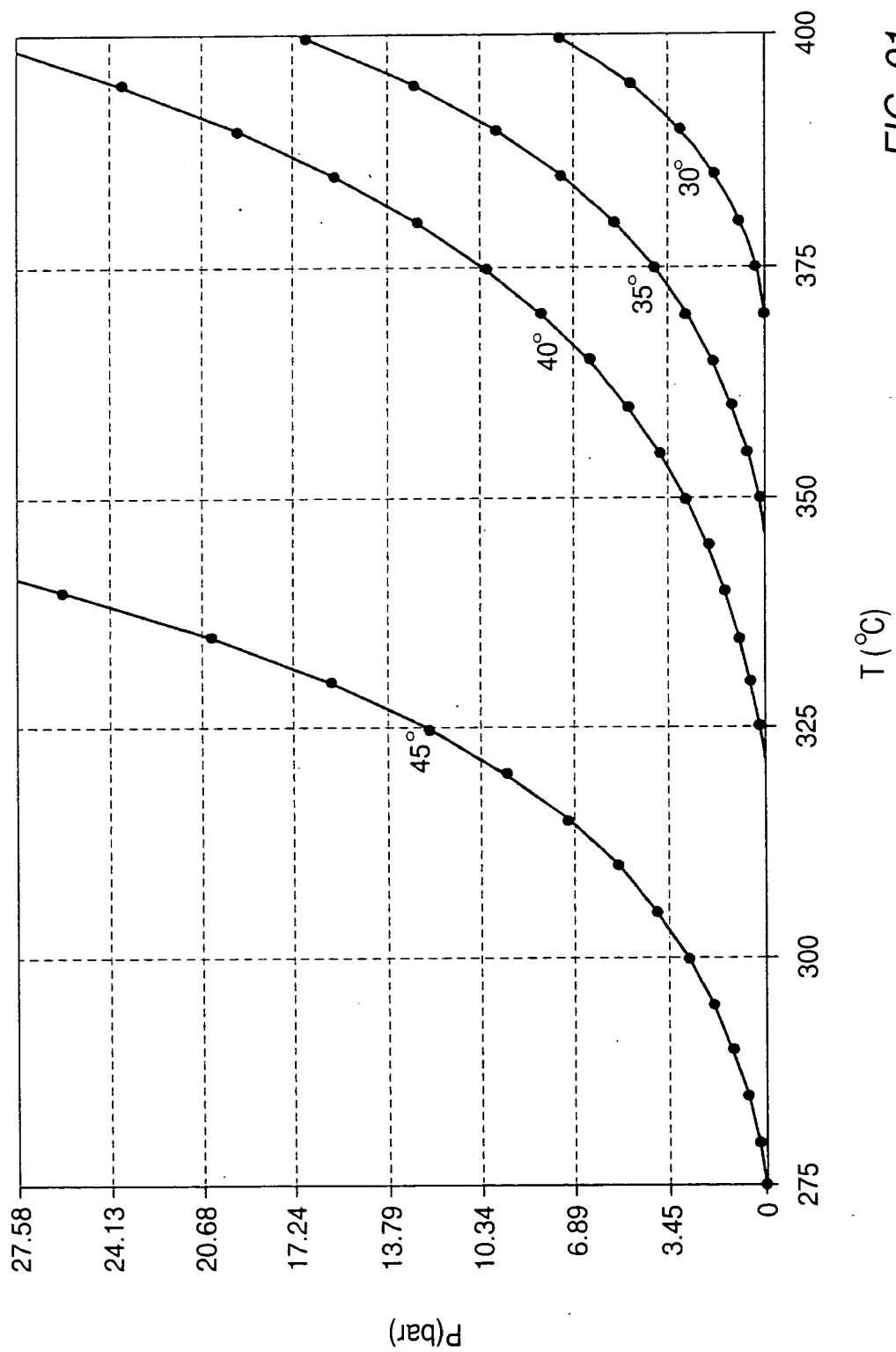


FIG. 91

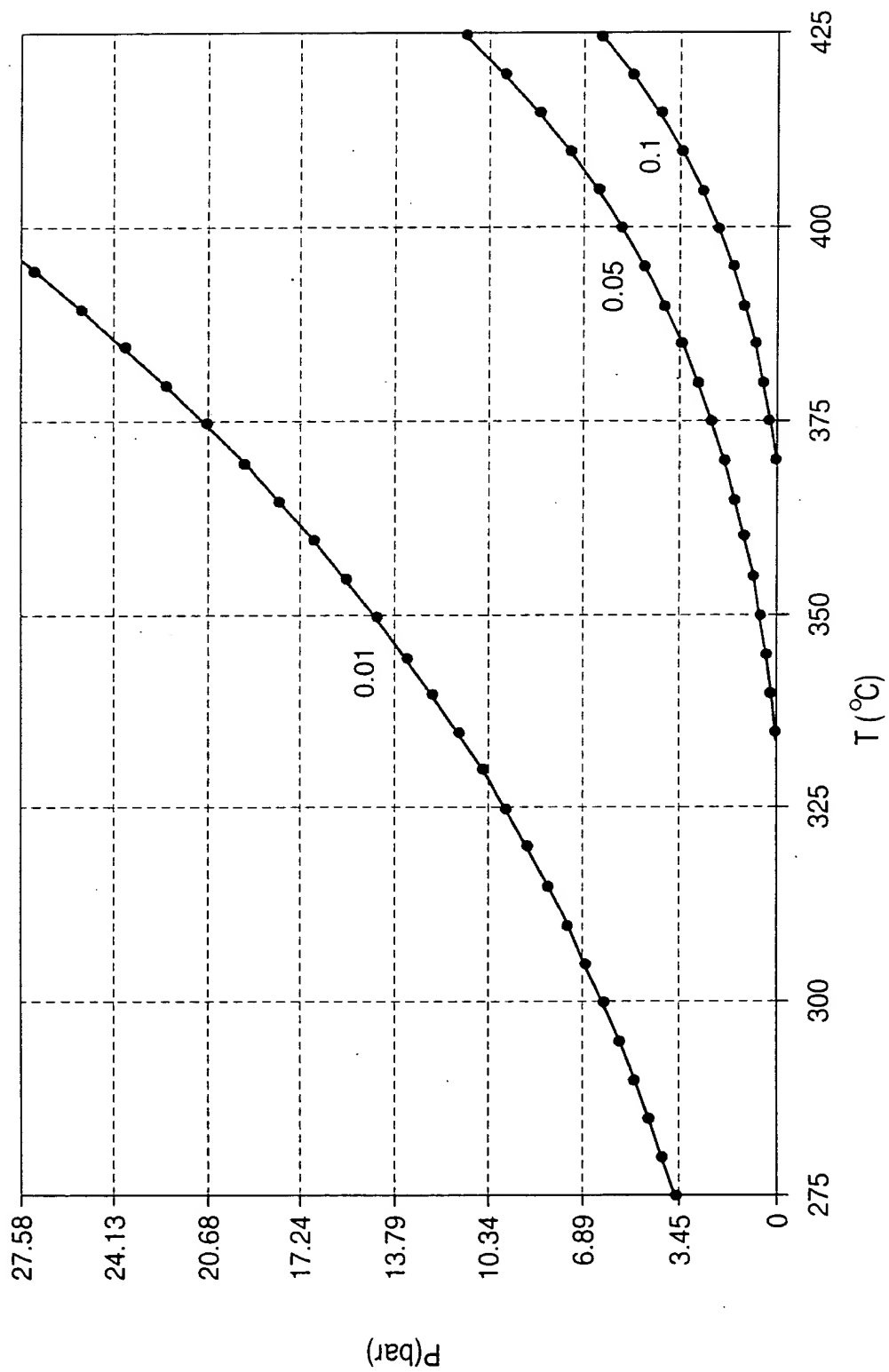


FIG. 92

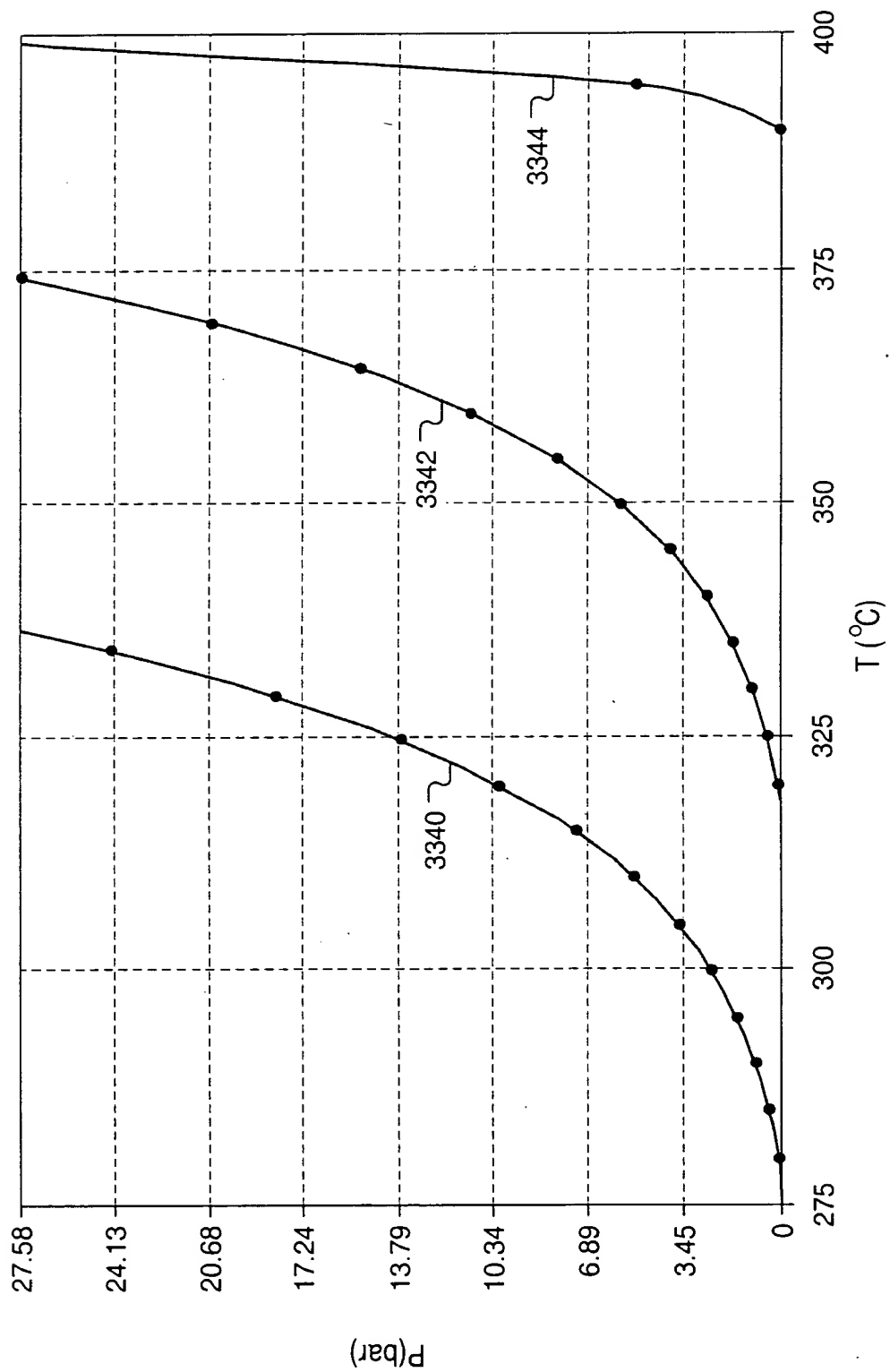


FIG. 93

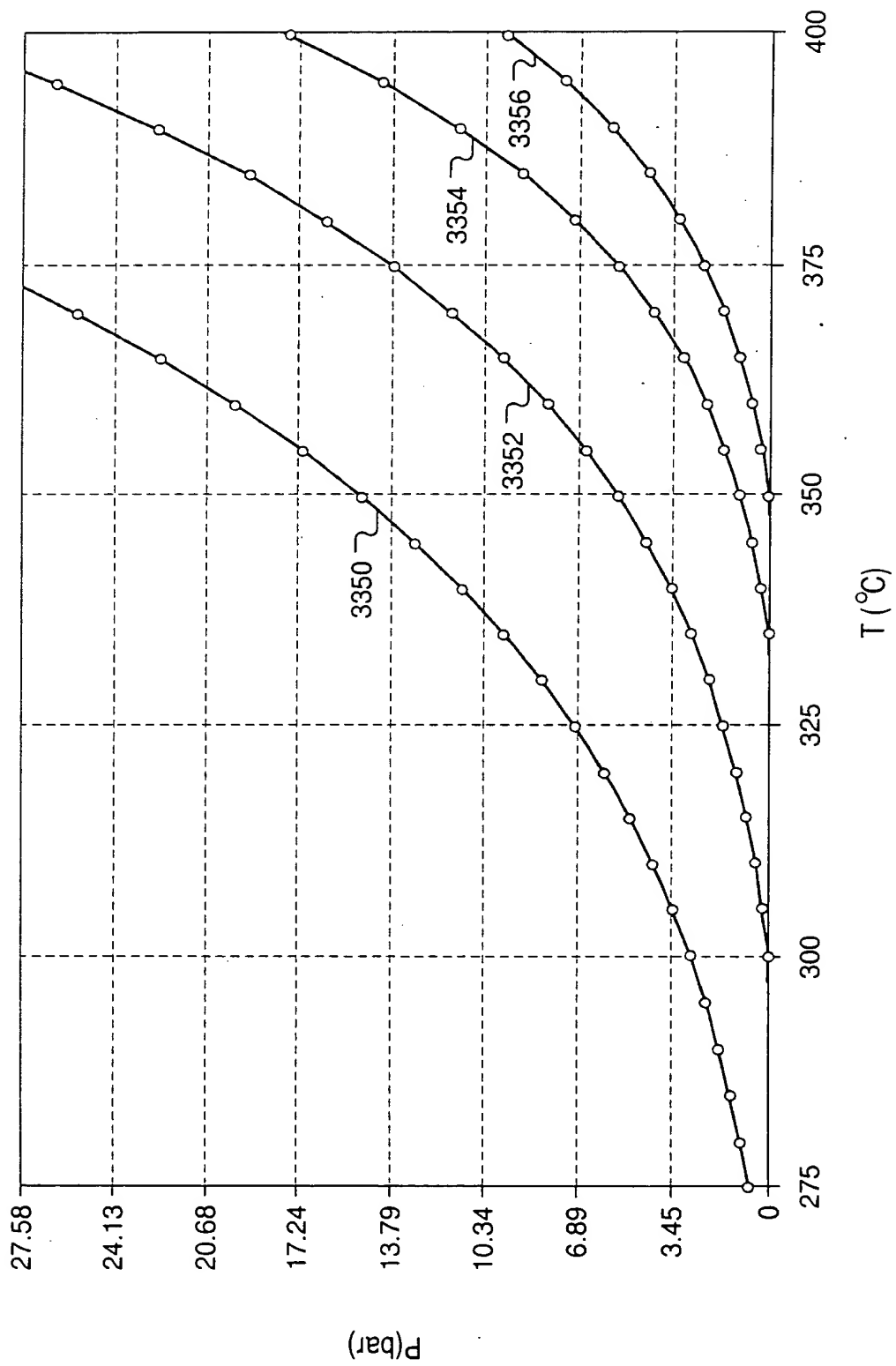


FIG. 94

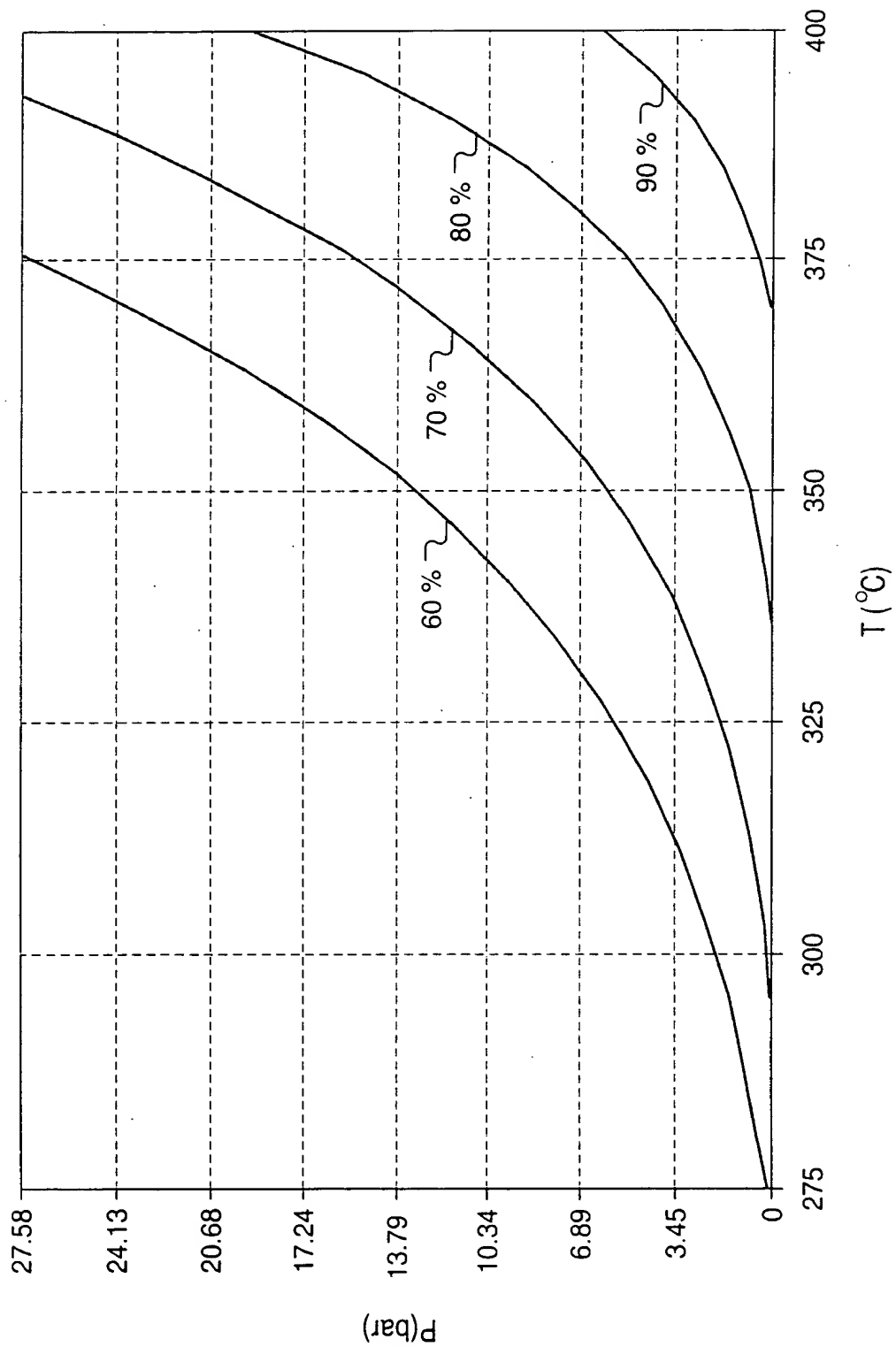


FIG. 95

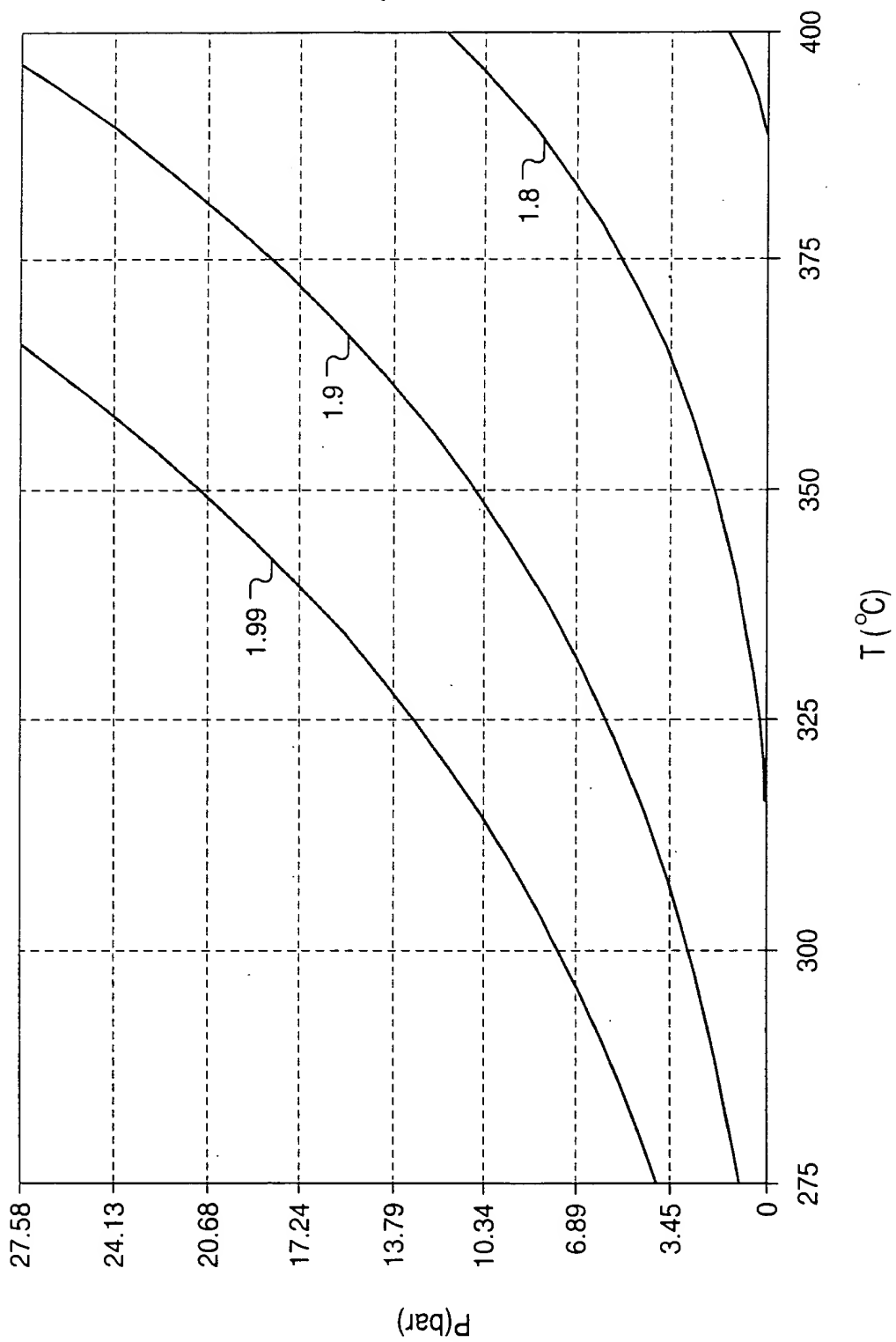


FIG. 96

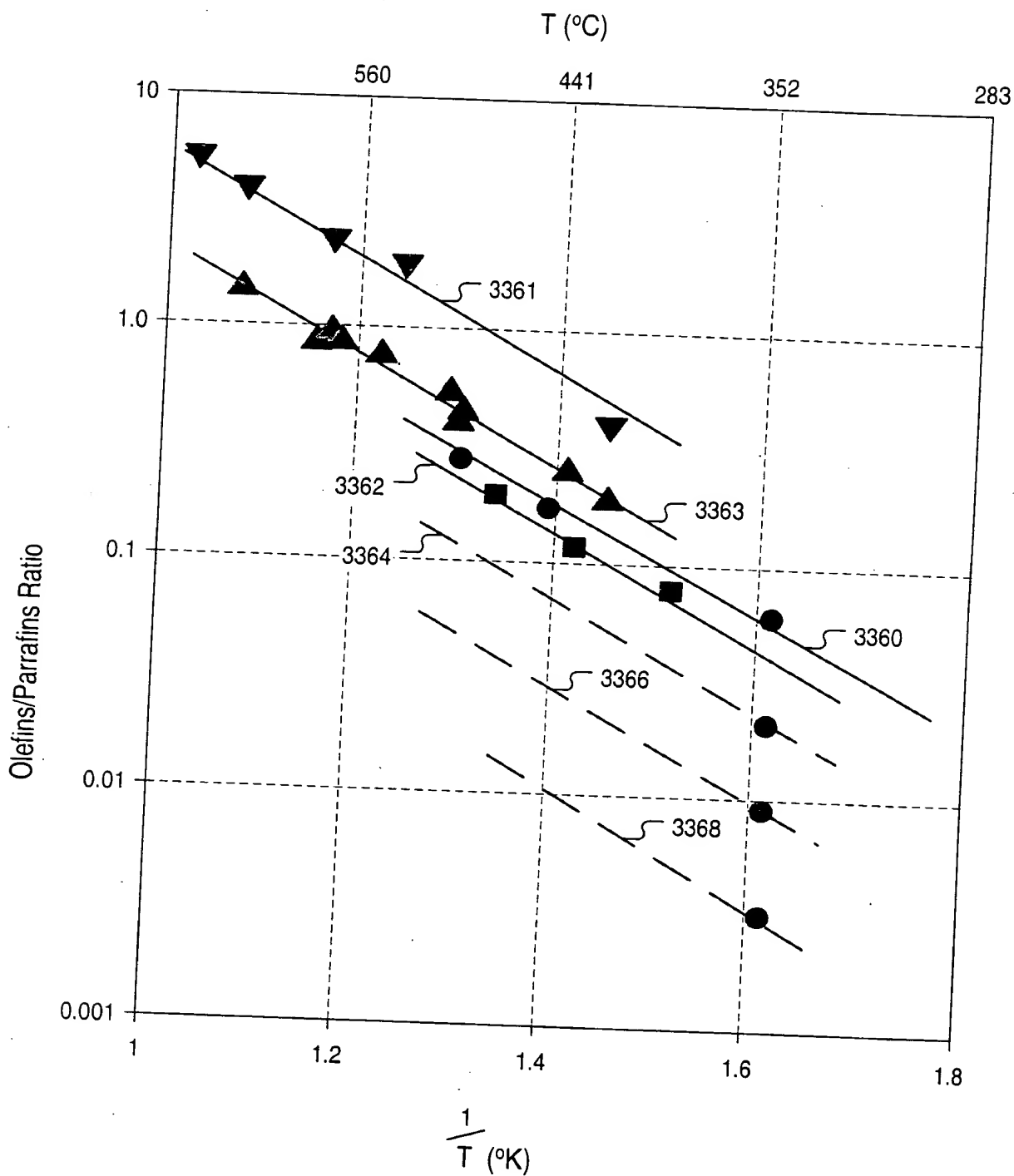


FIG. 97



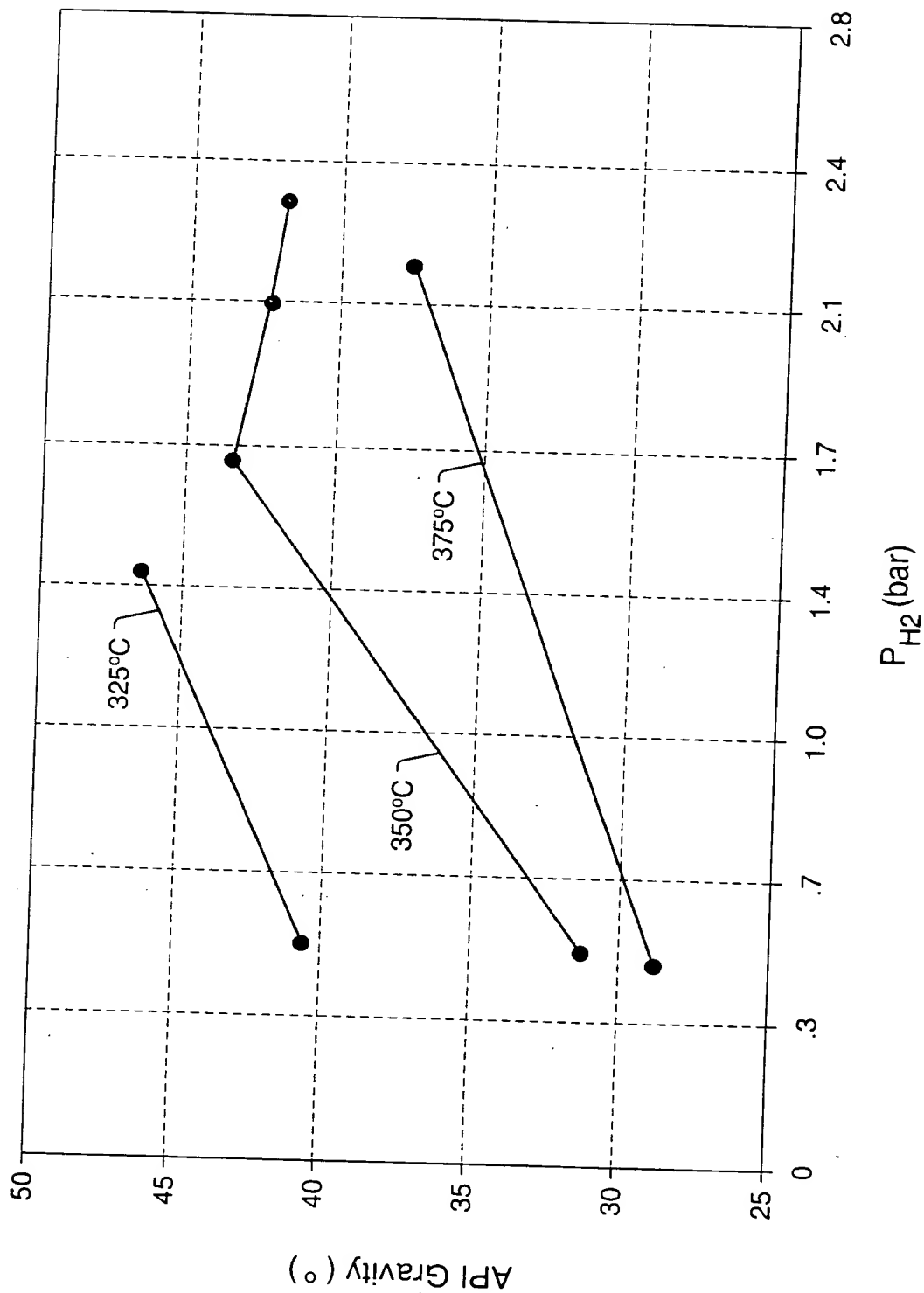


FIG. 98

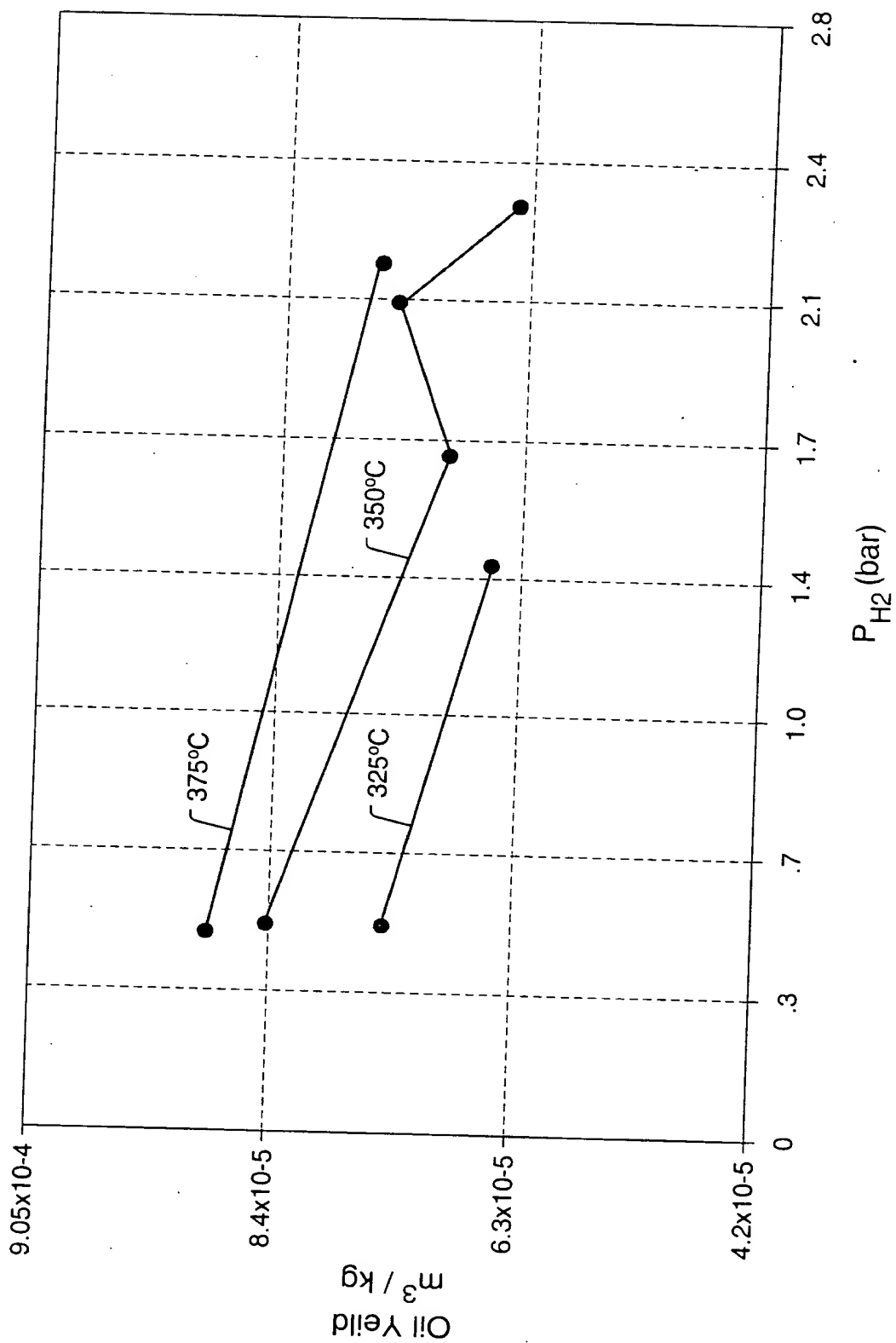


FIG. 99

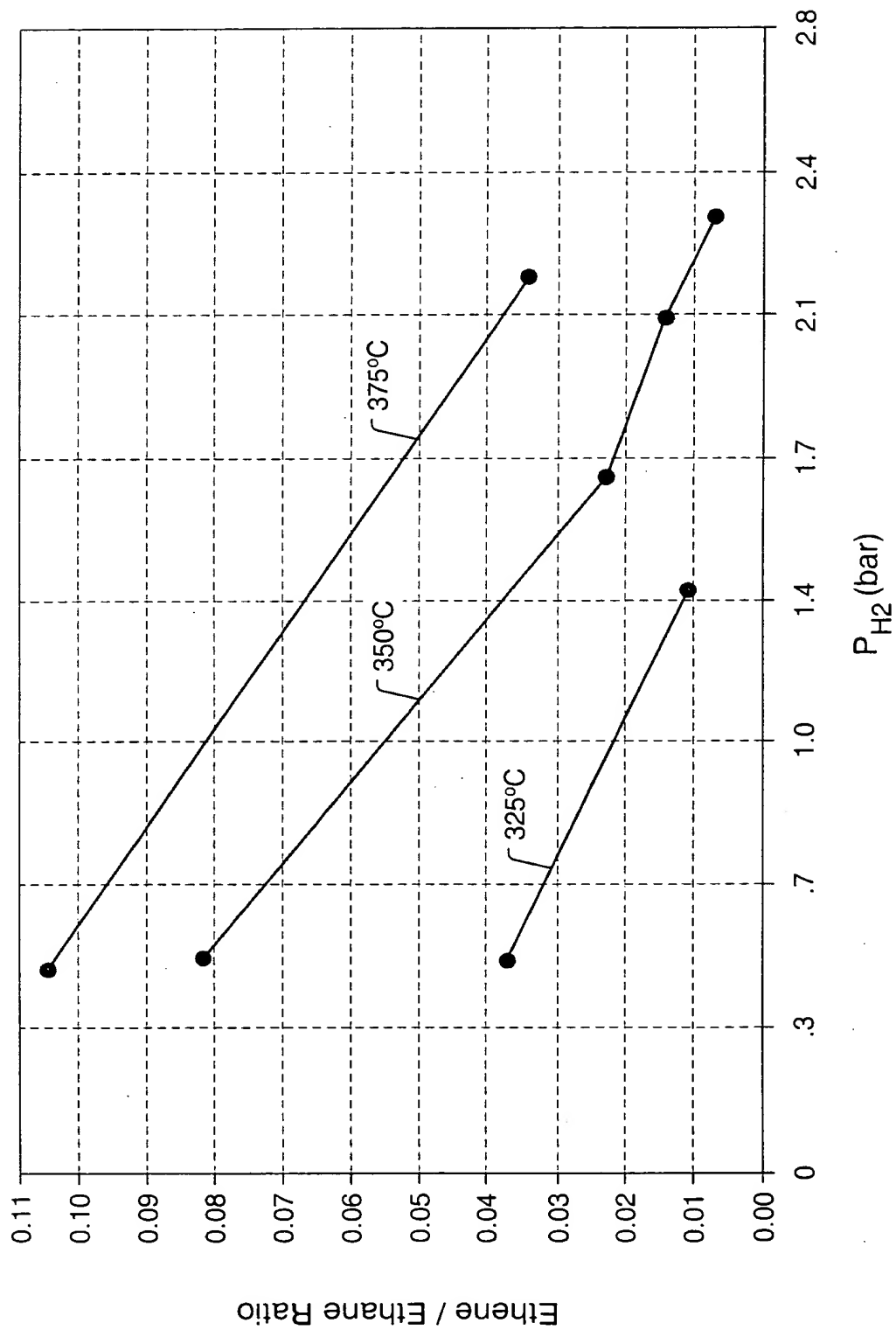


FIG. 100

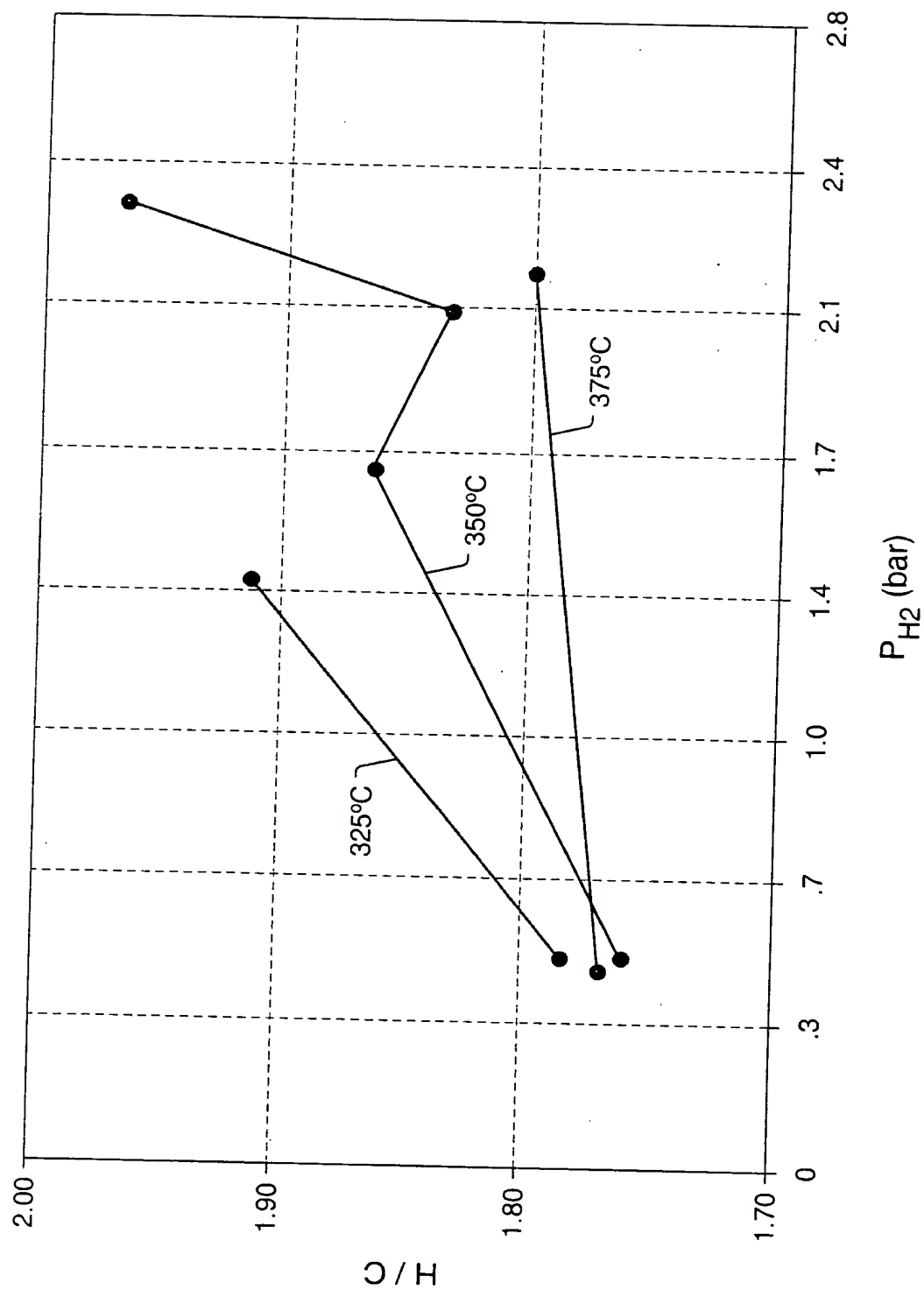


FIG. 101

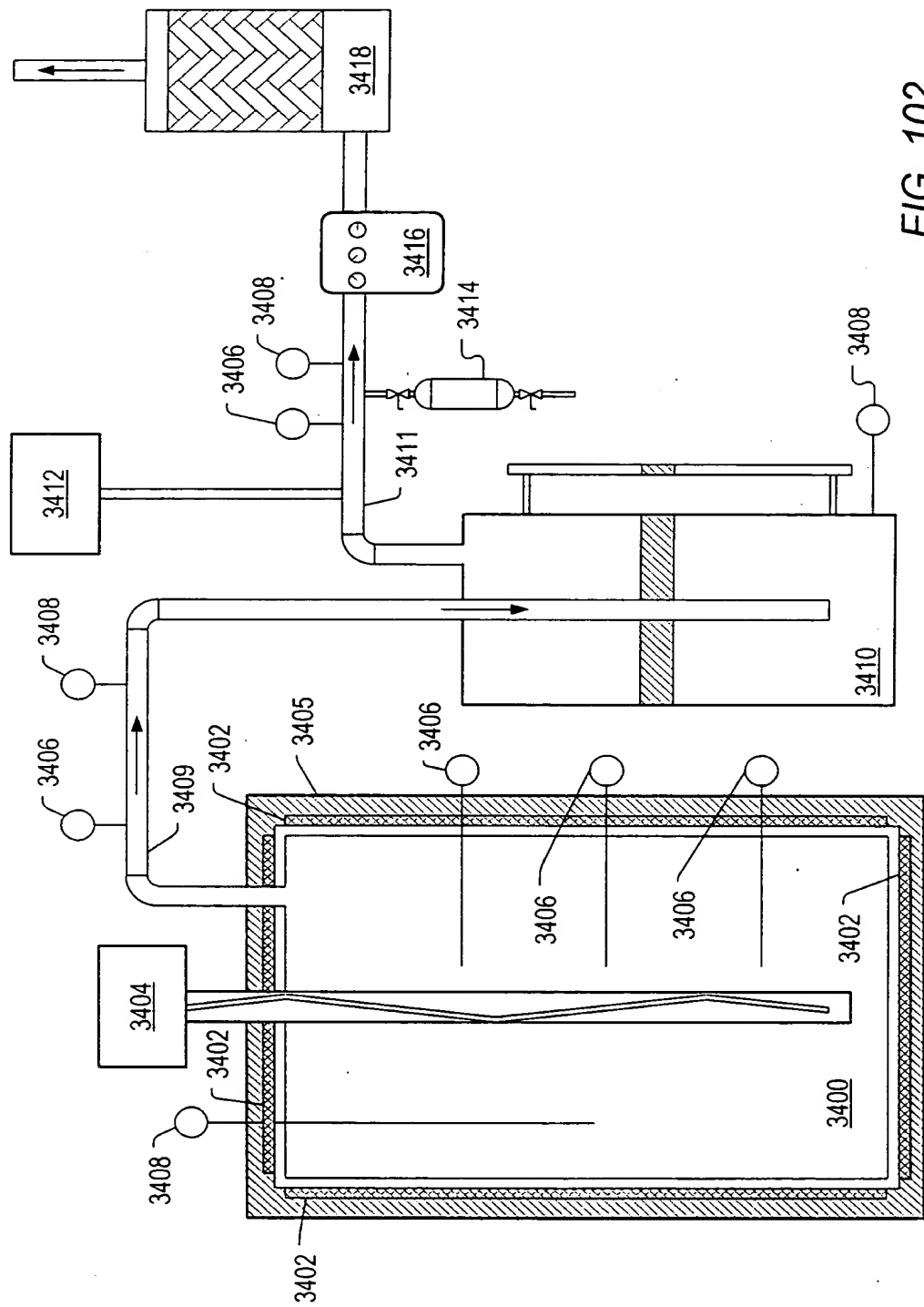


FIG. 102

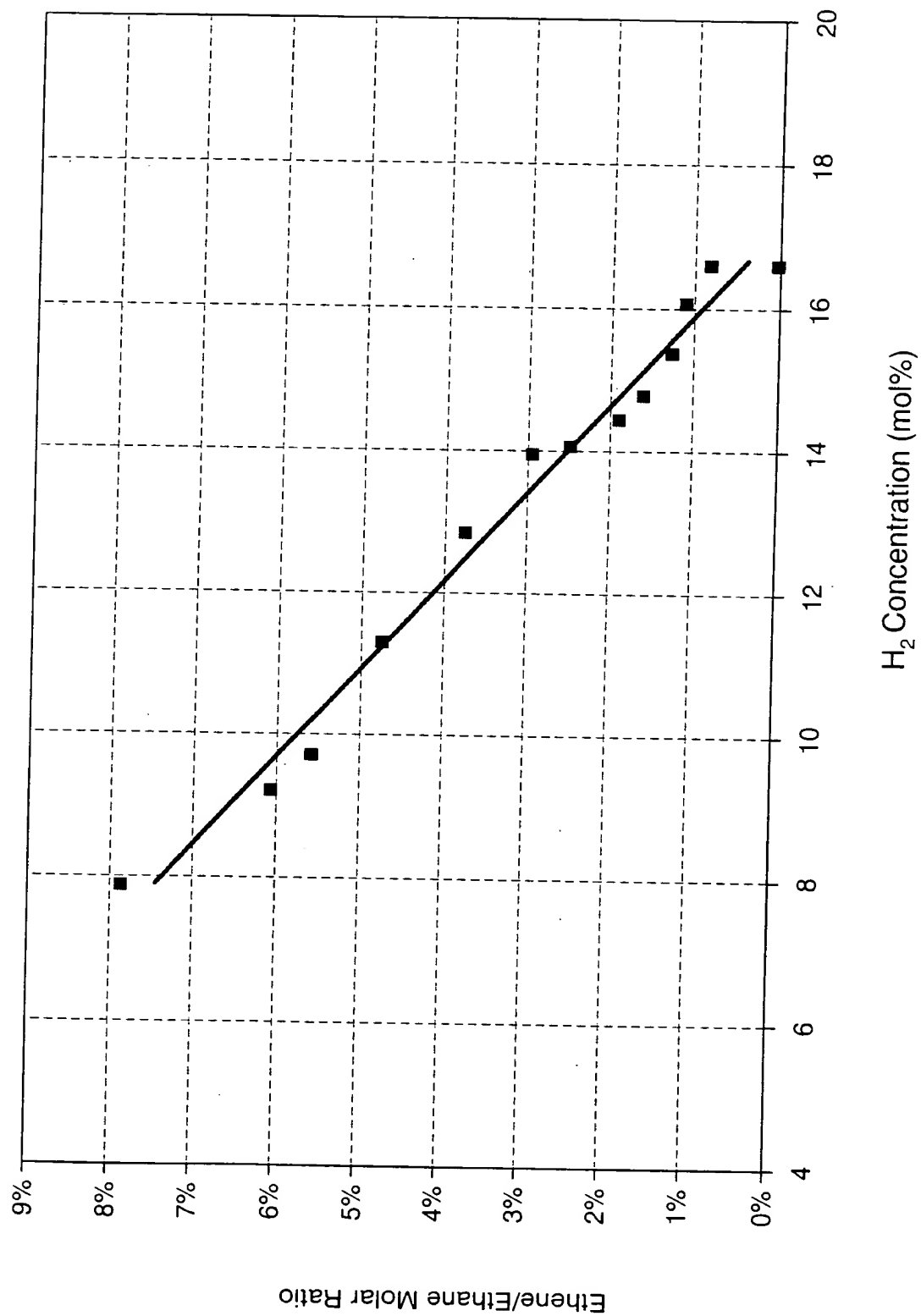
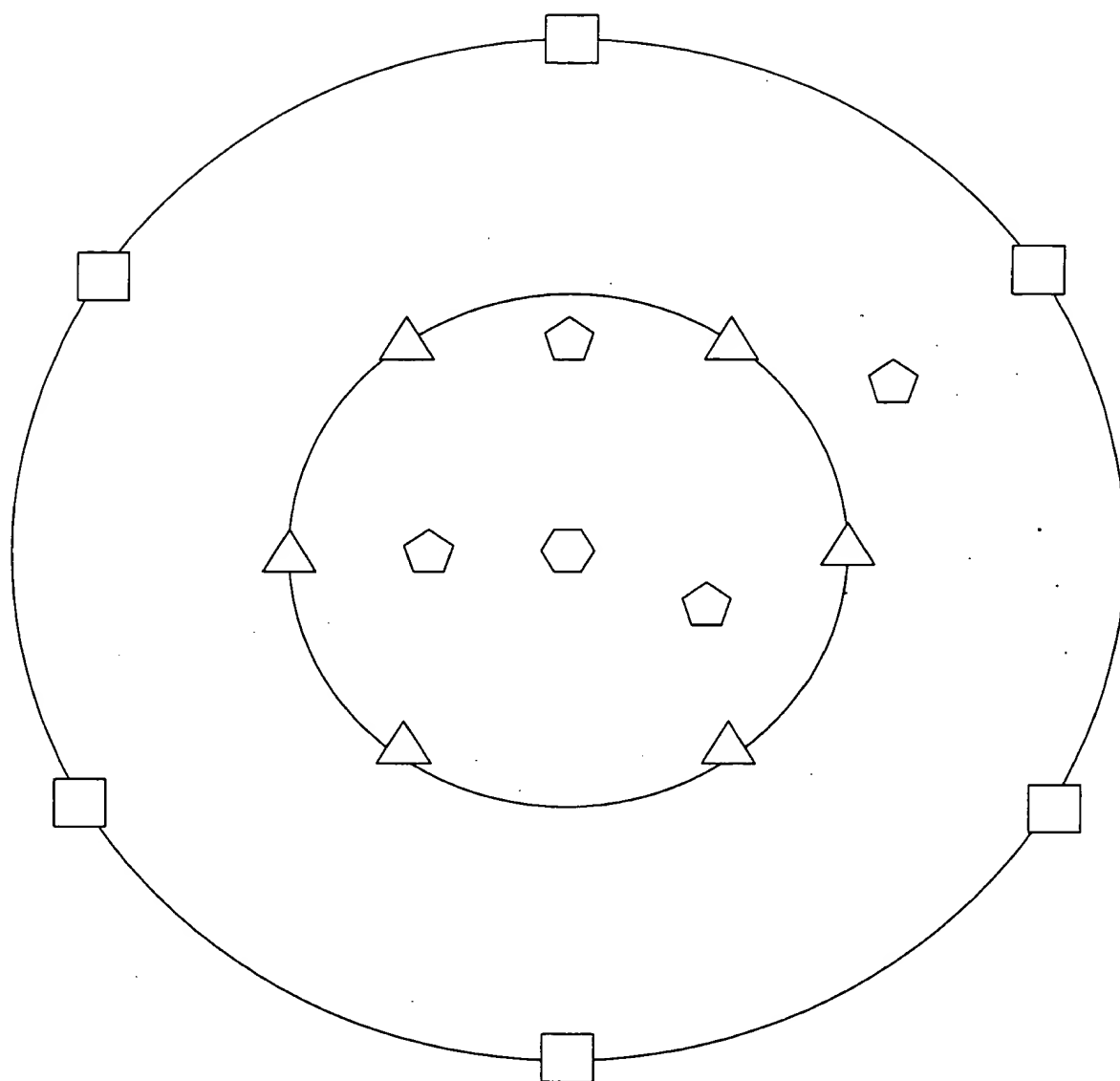


FIG. 103



△ - 3600

⬠ - 3603

□ - 3604

⬡ - 3602

FIG. 104

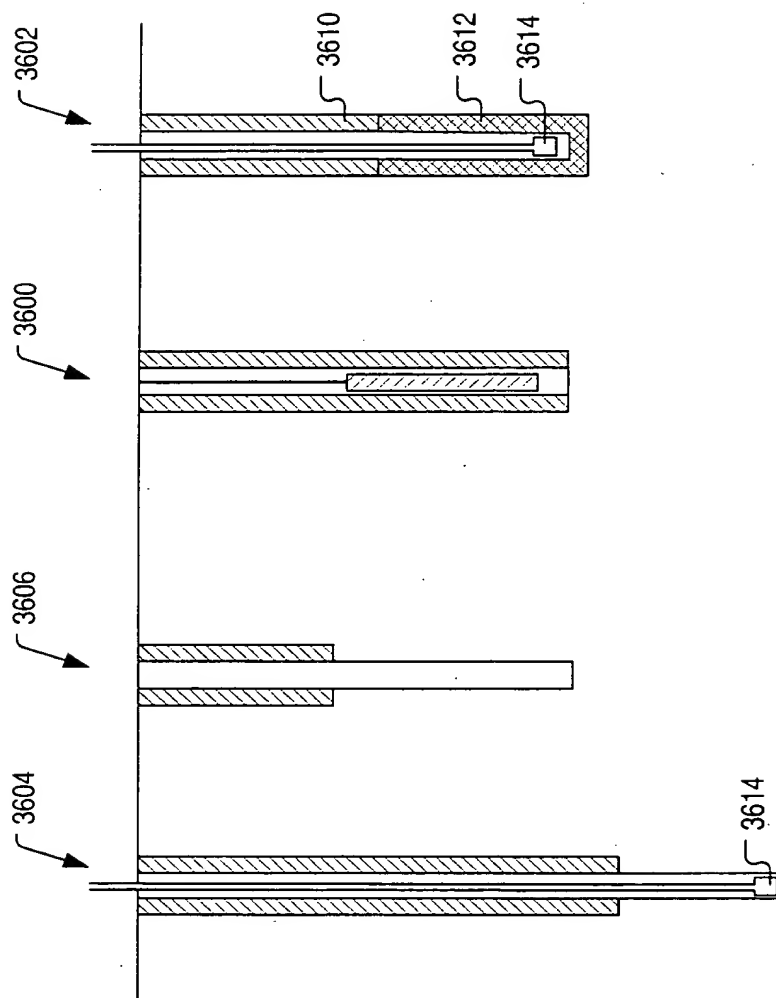


FIG. 105



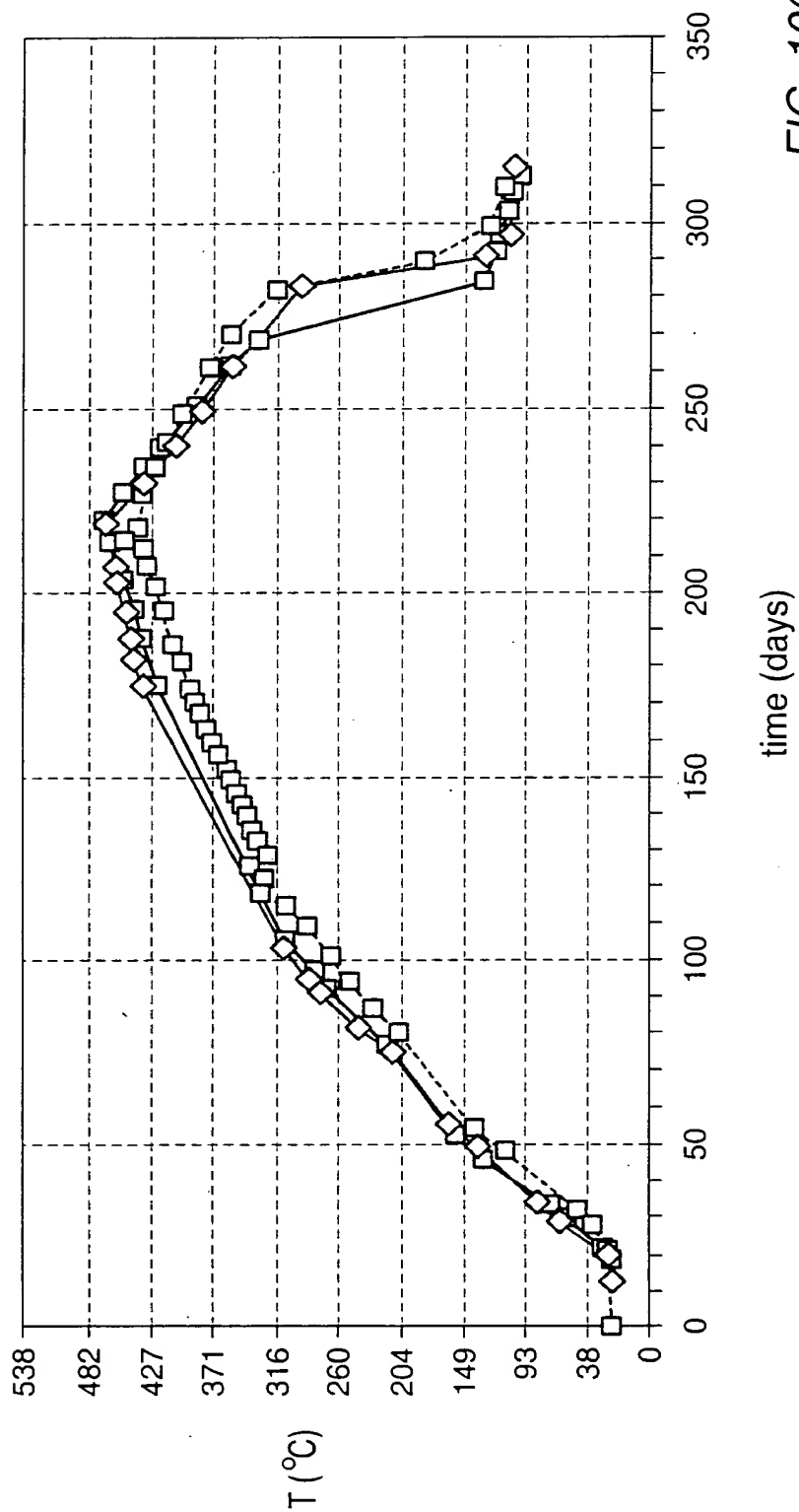


FIG. 106

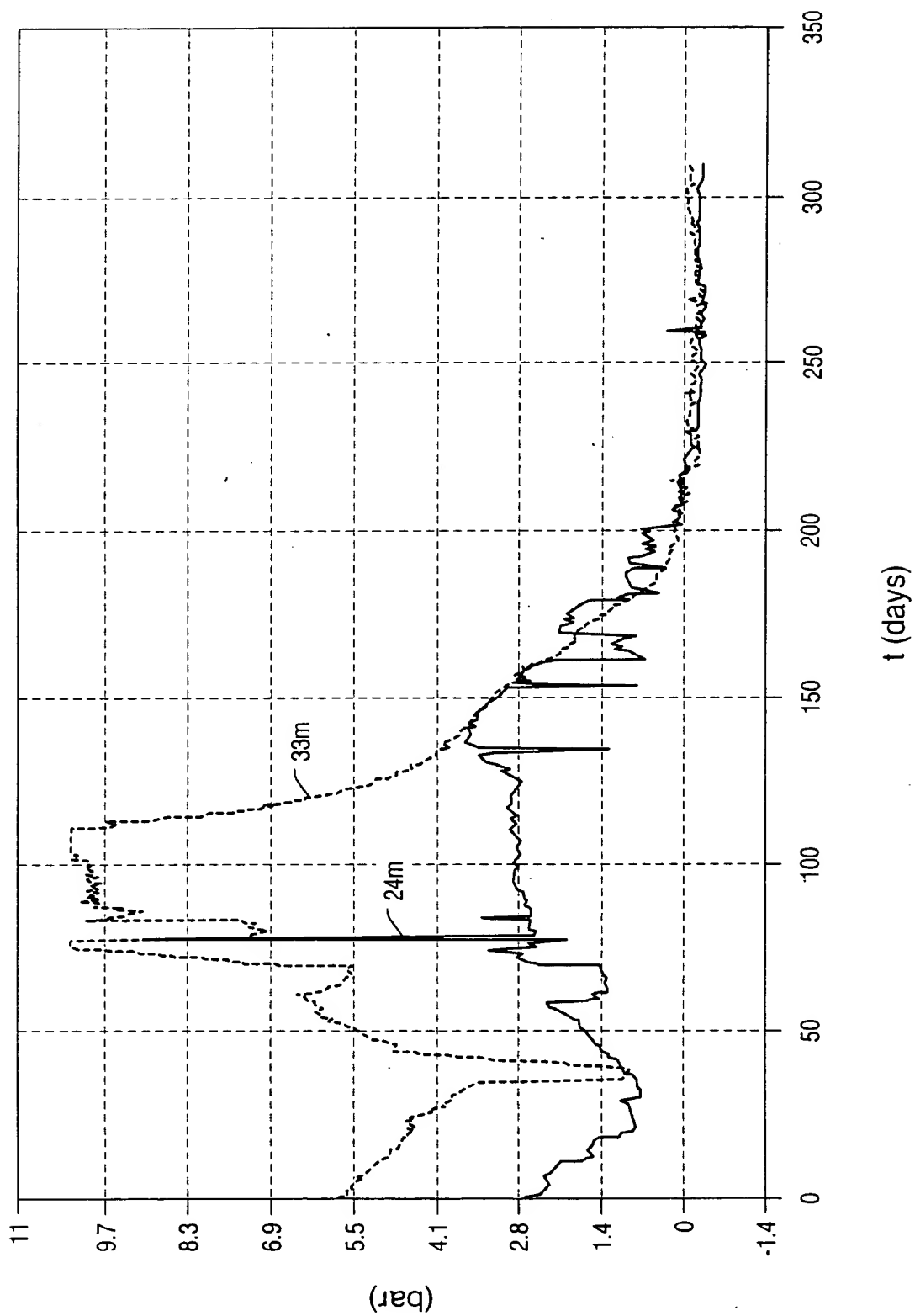


FIG. 107

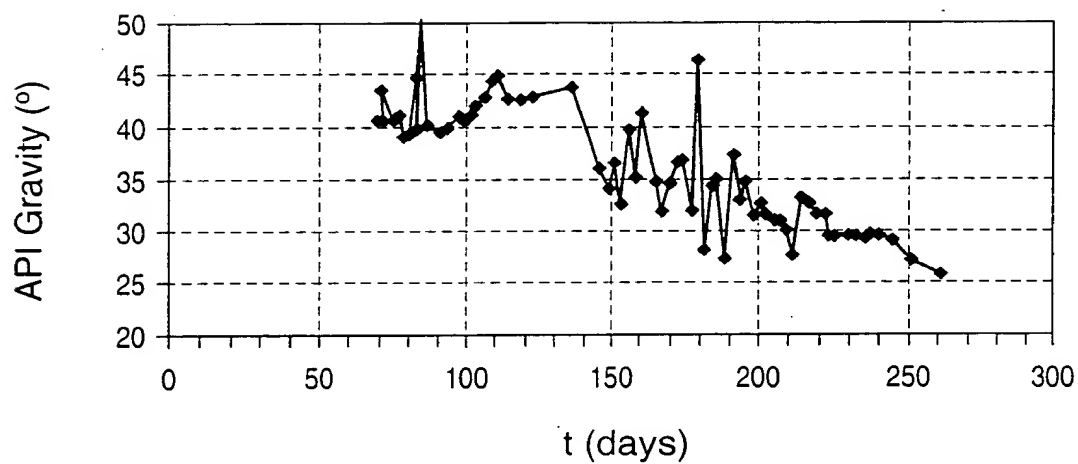


FIG. 108

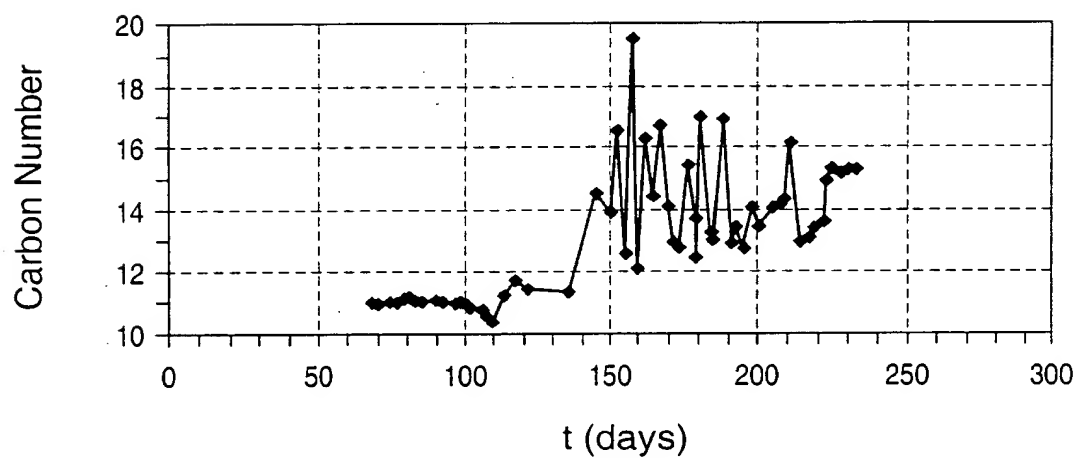


FIG. 109

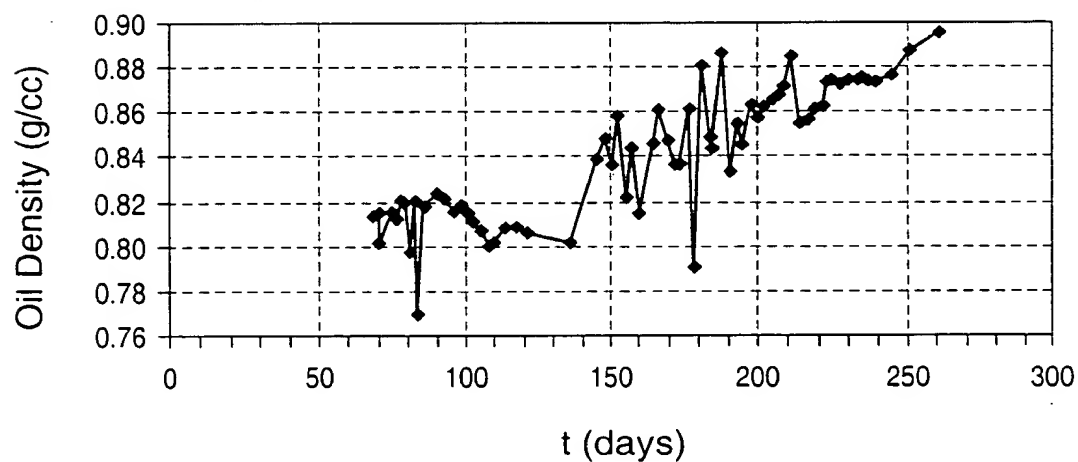


FIG. 110

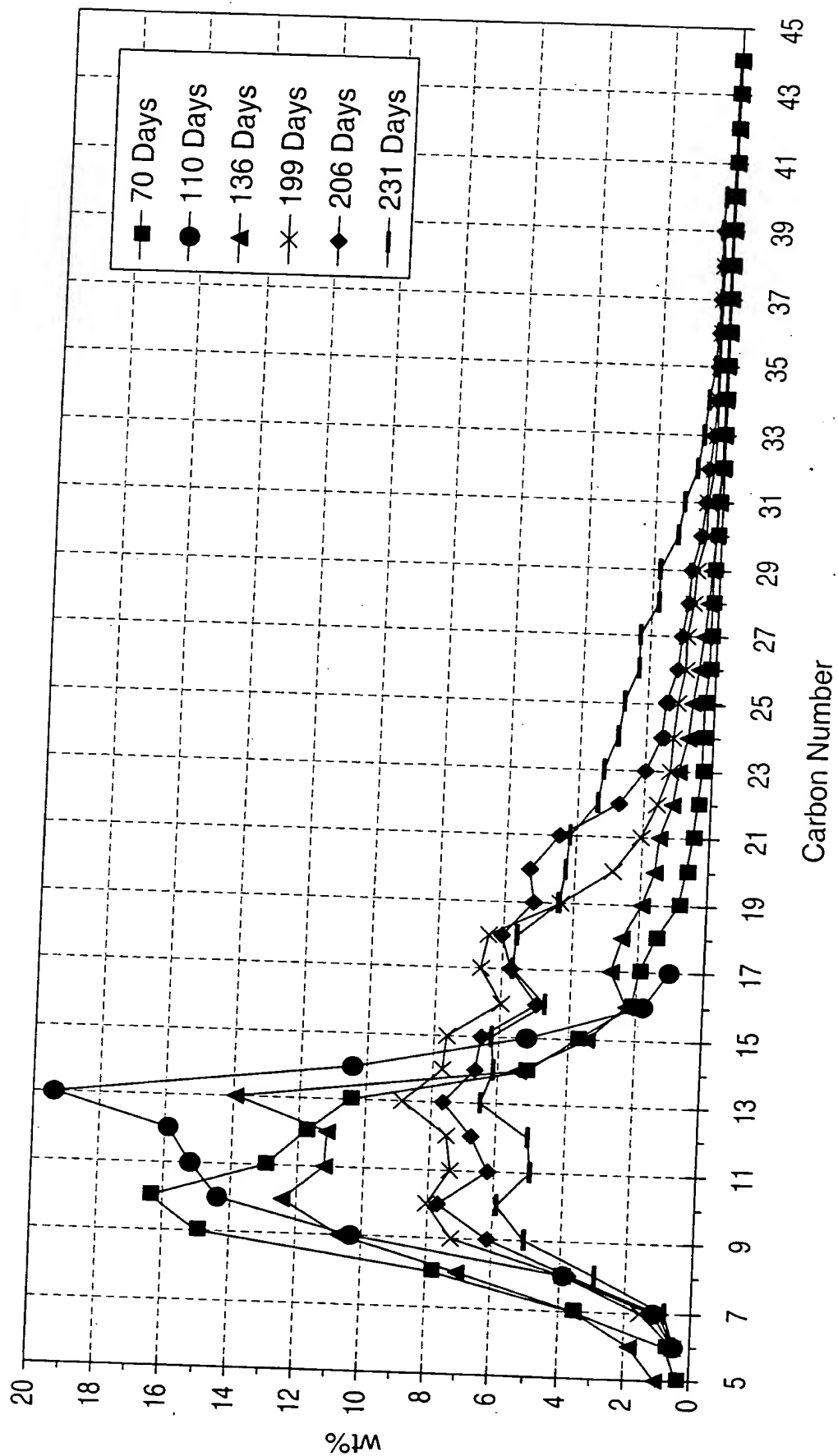


FIG. 111

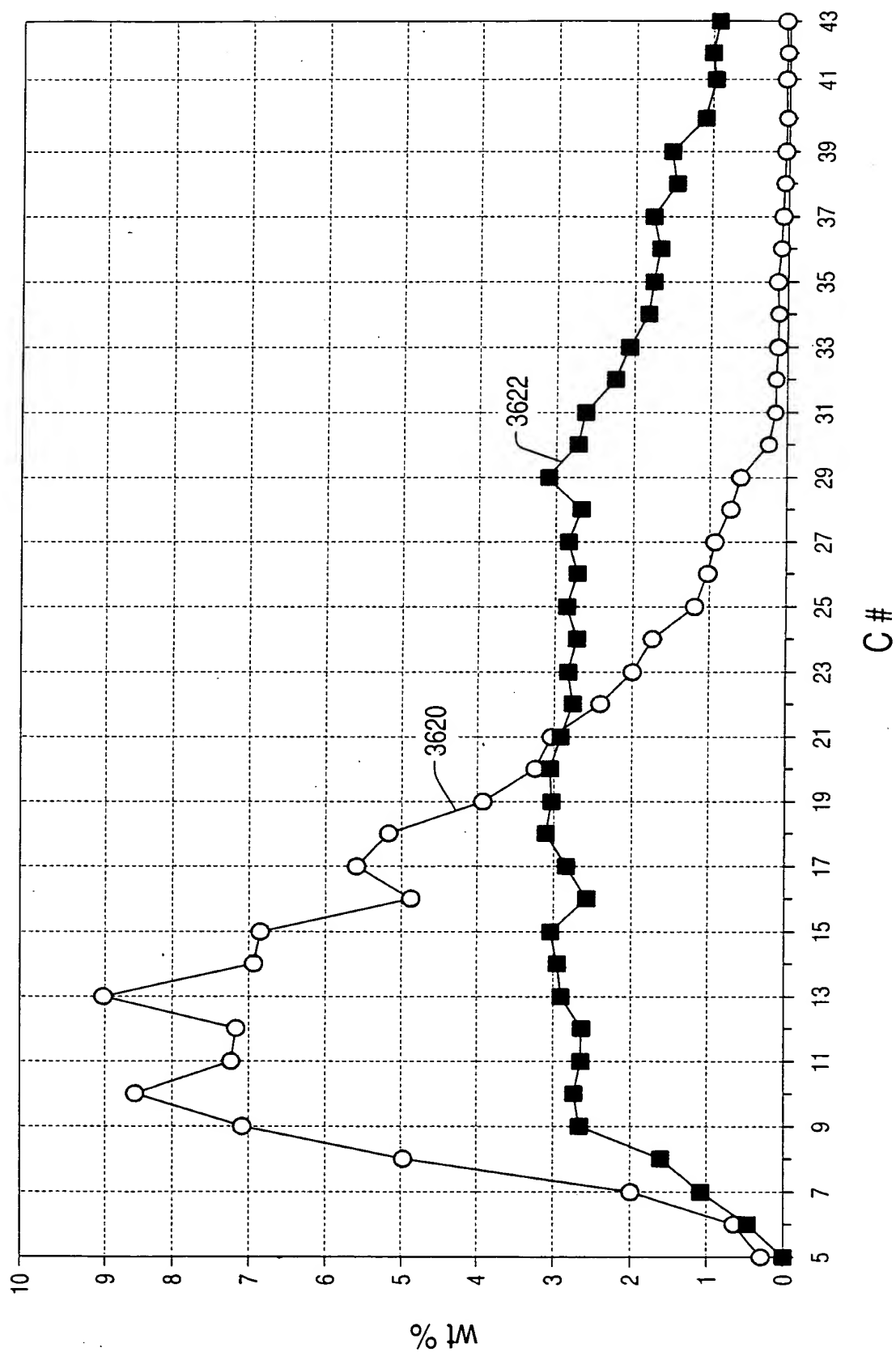


FIG. 112

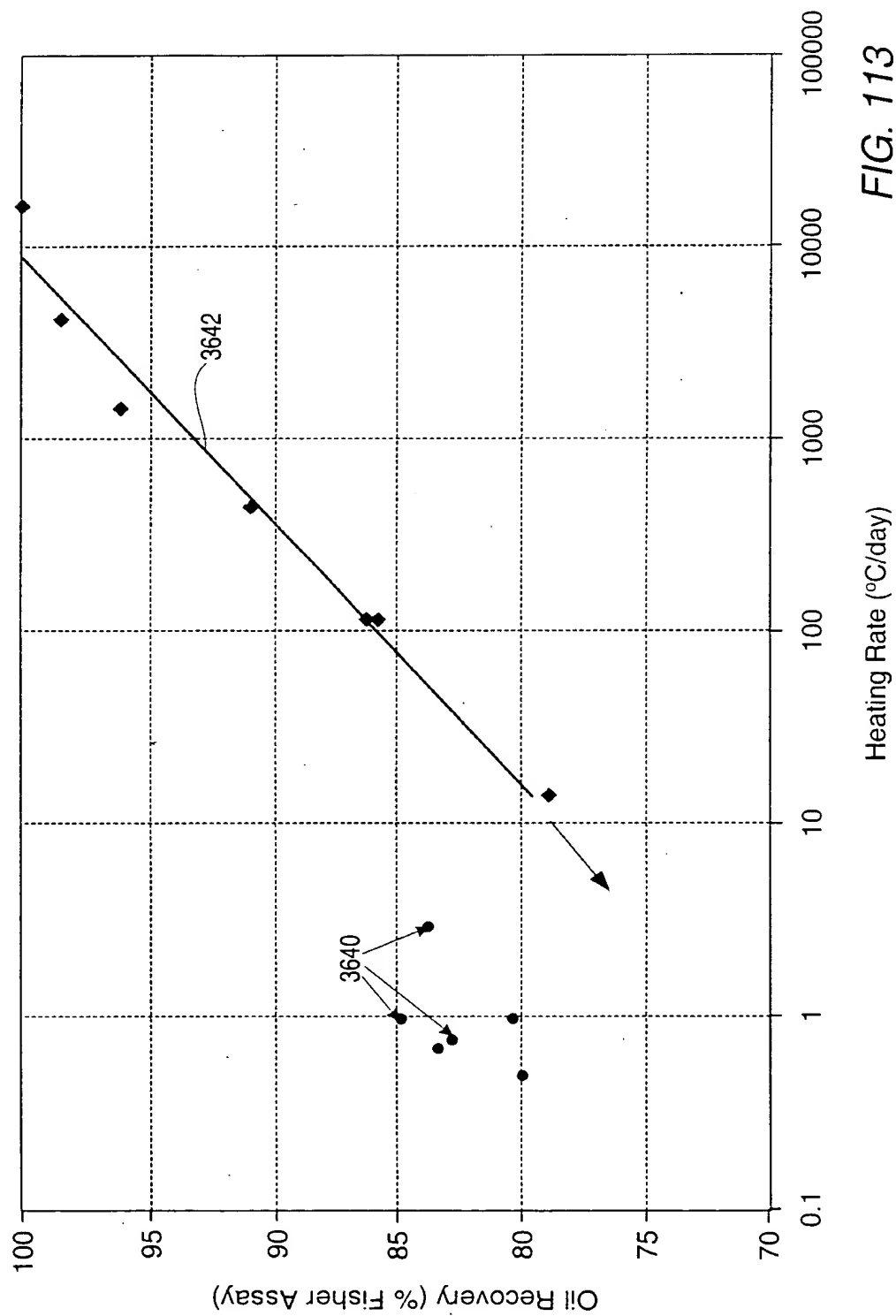


FIG. 113

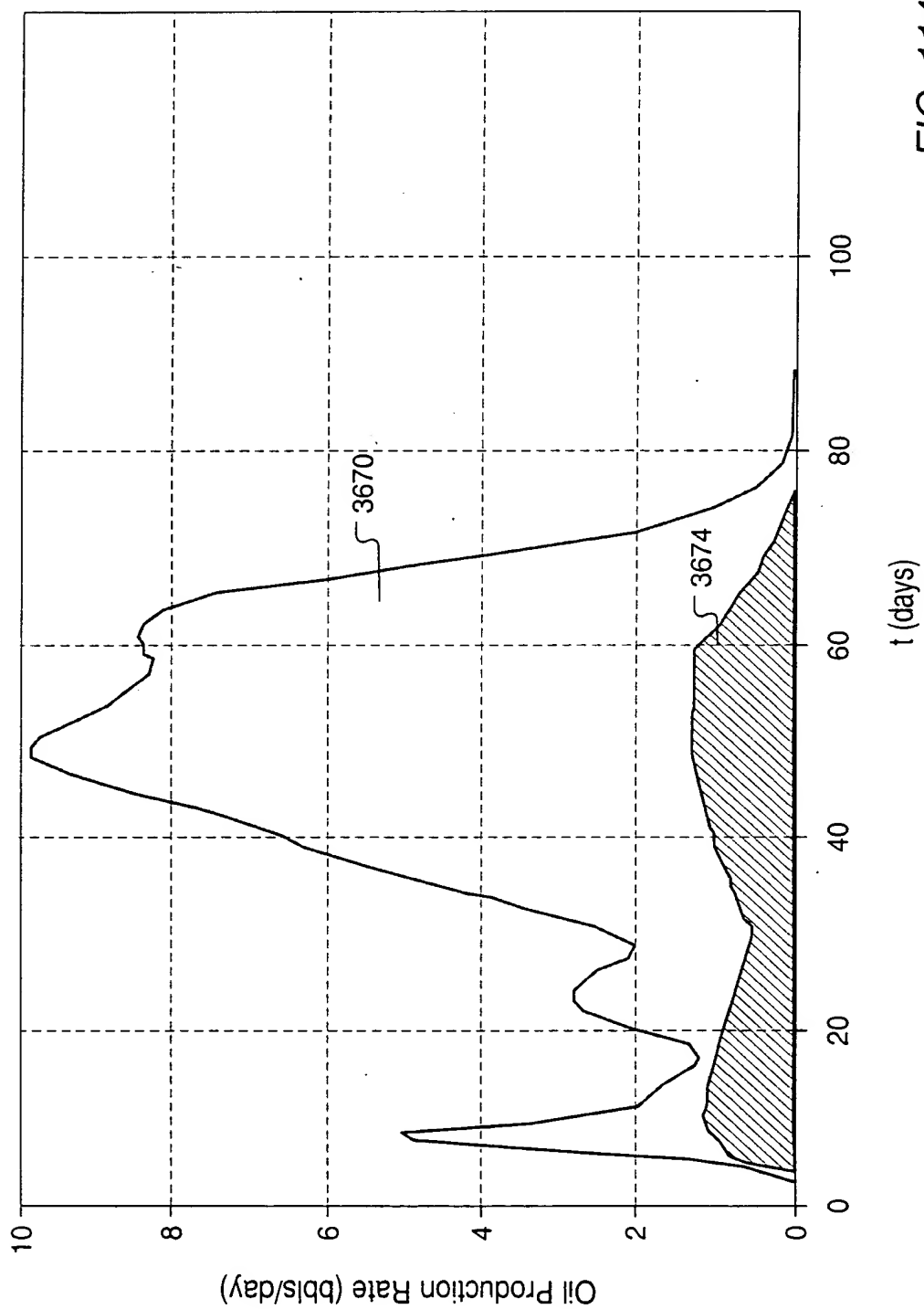
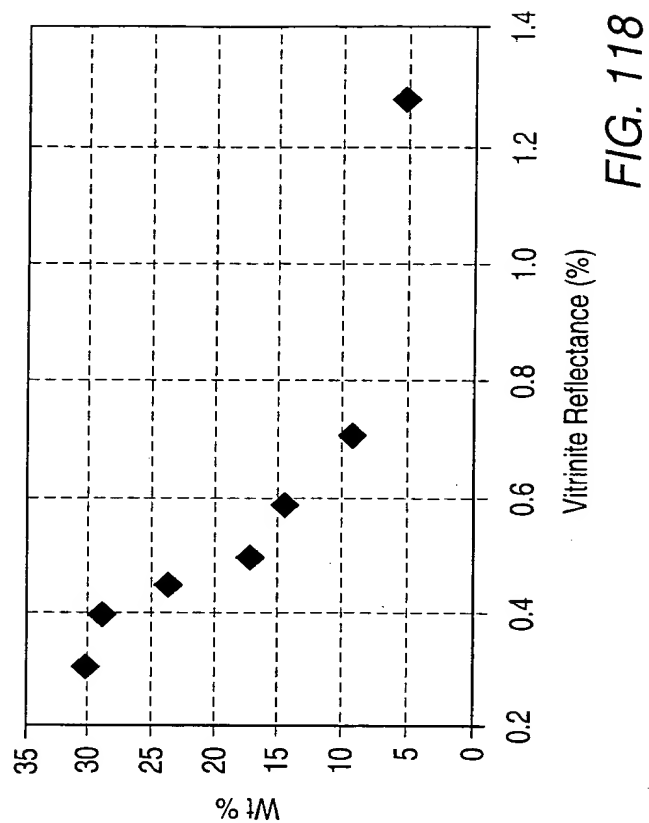
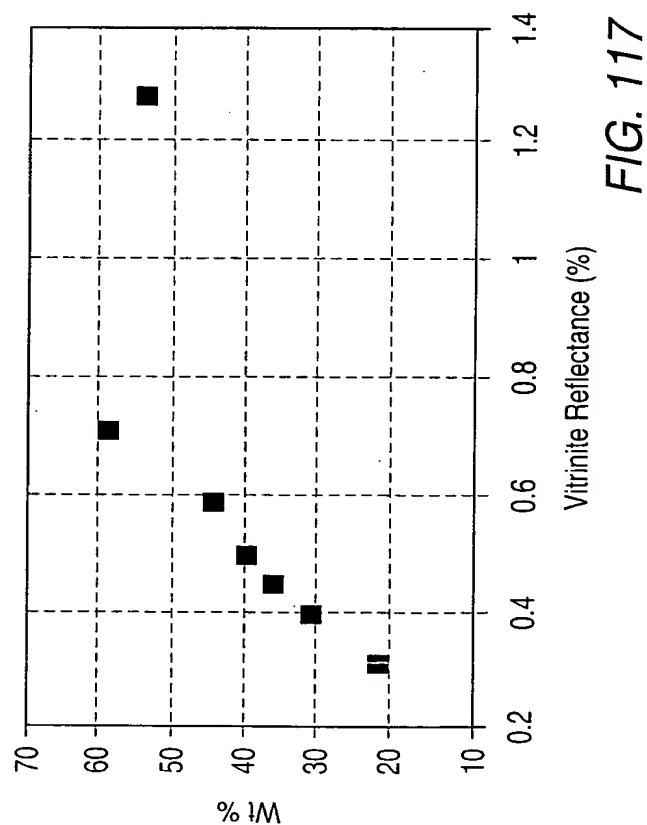
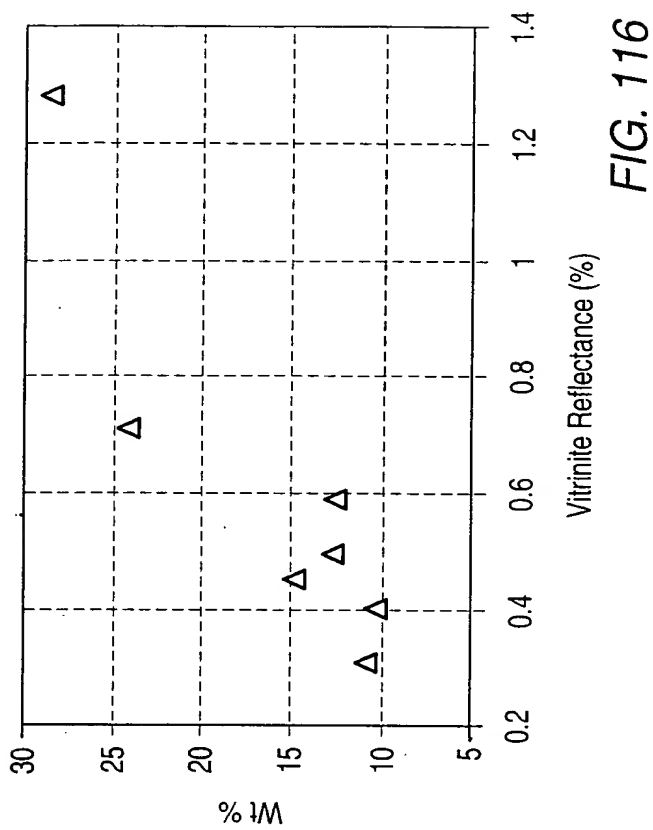
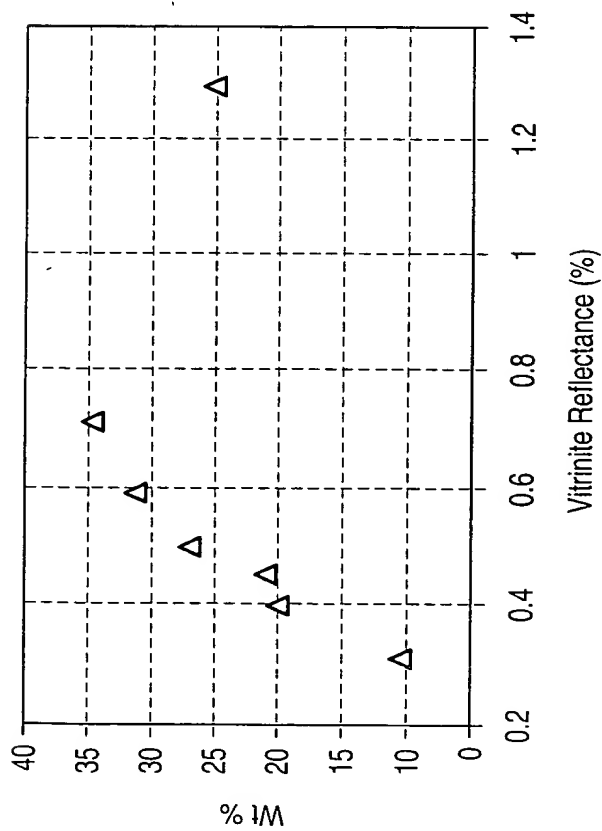


FIG. 114





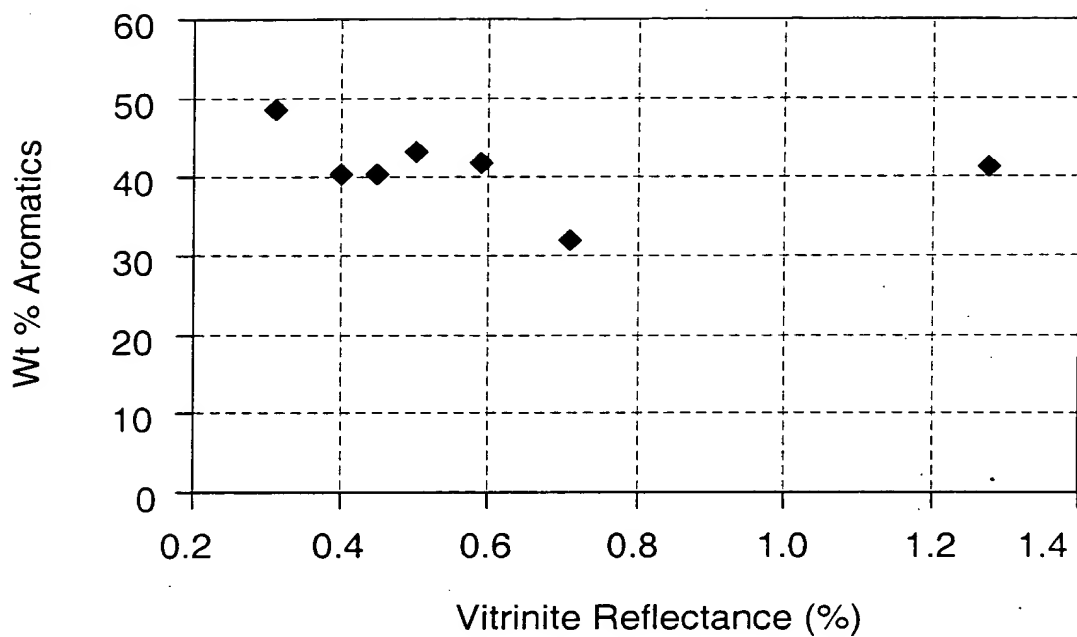


FIG. 119

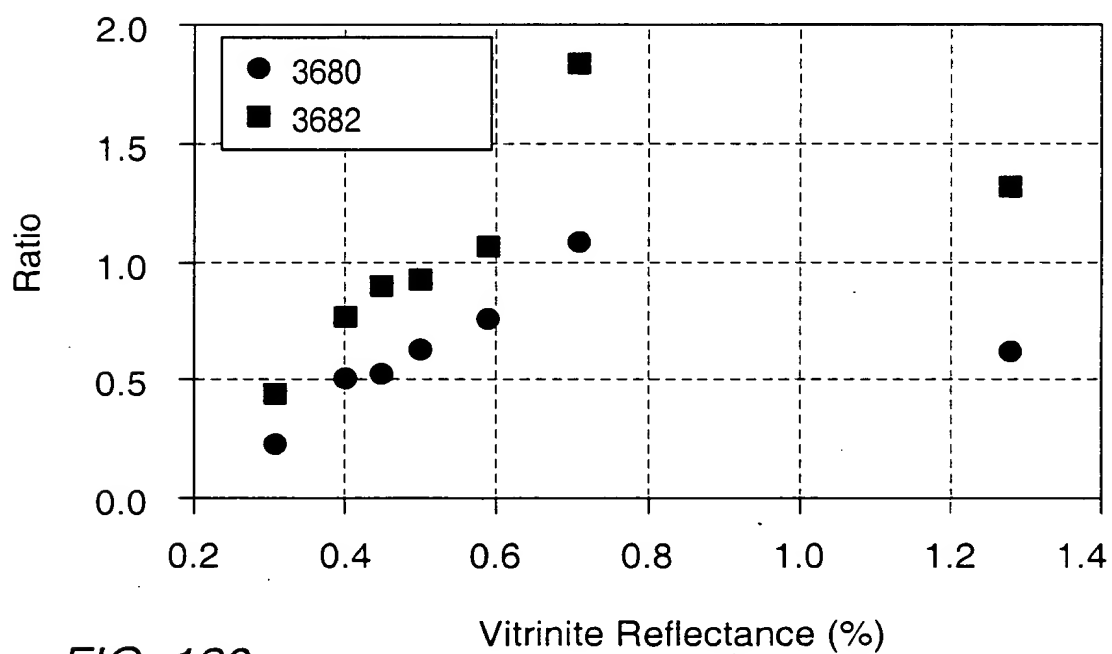
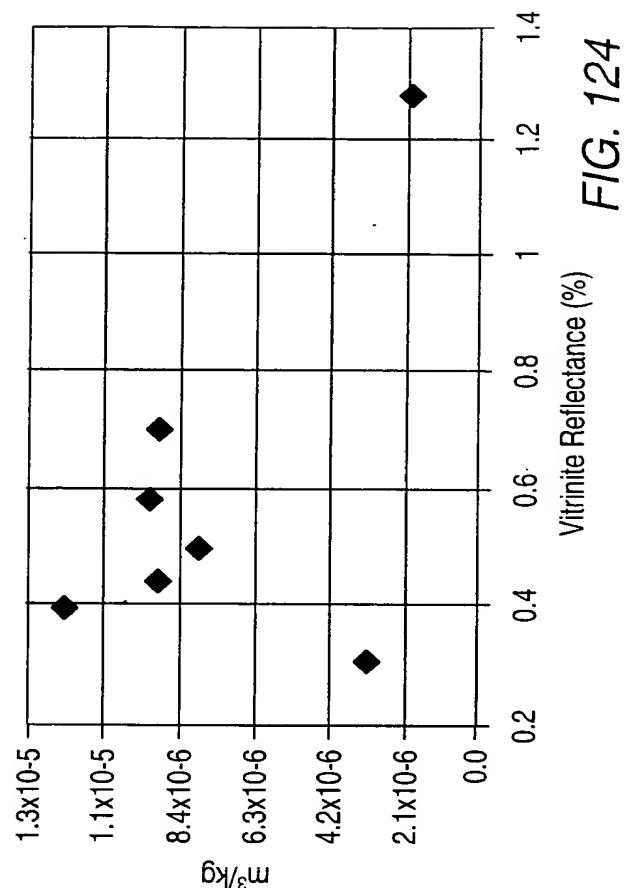
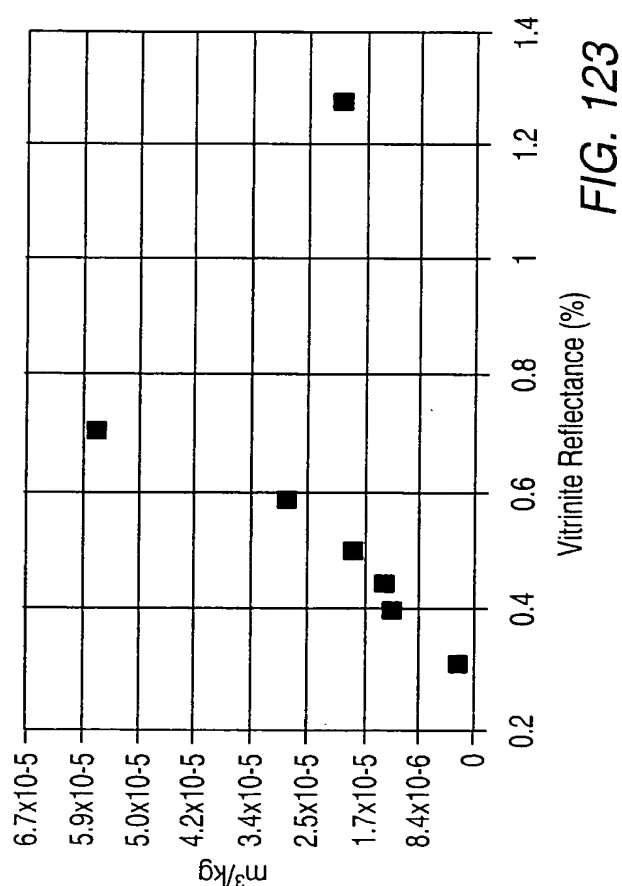
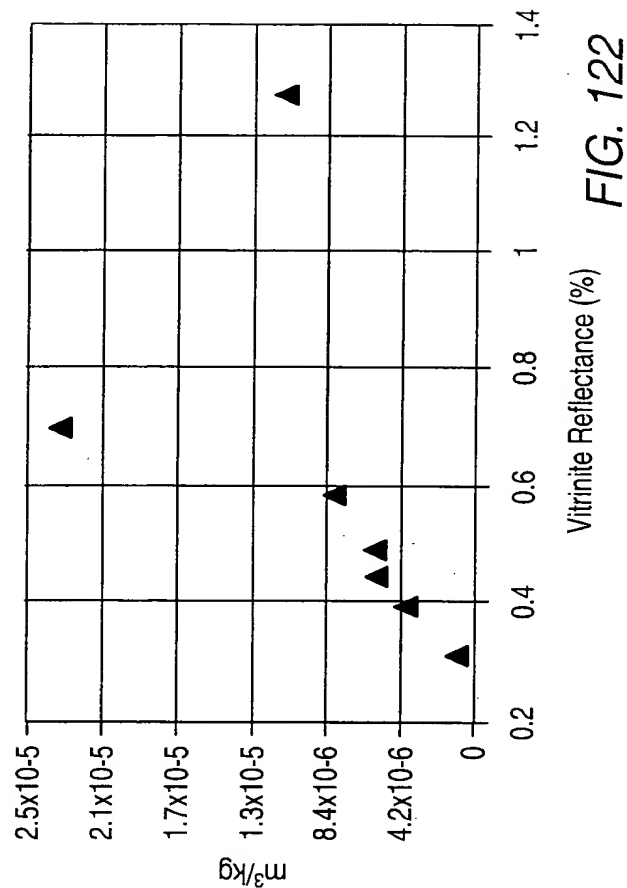
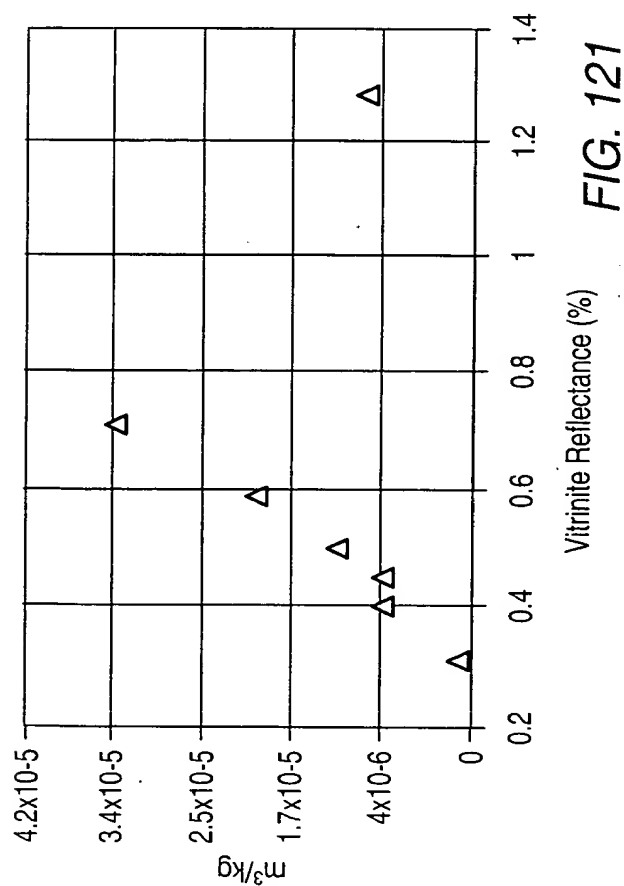


FIG. 120



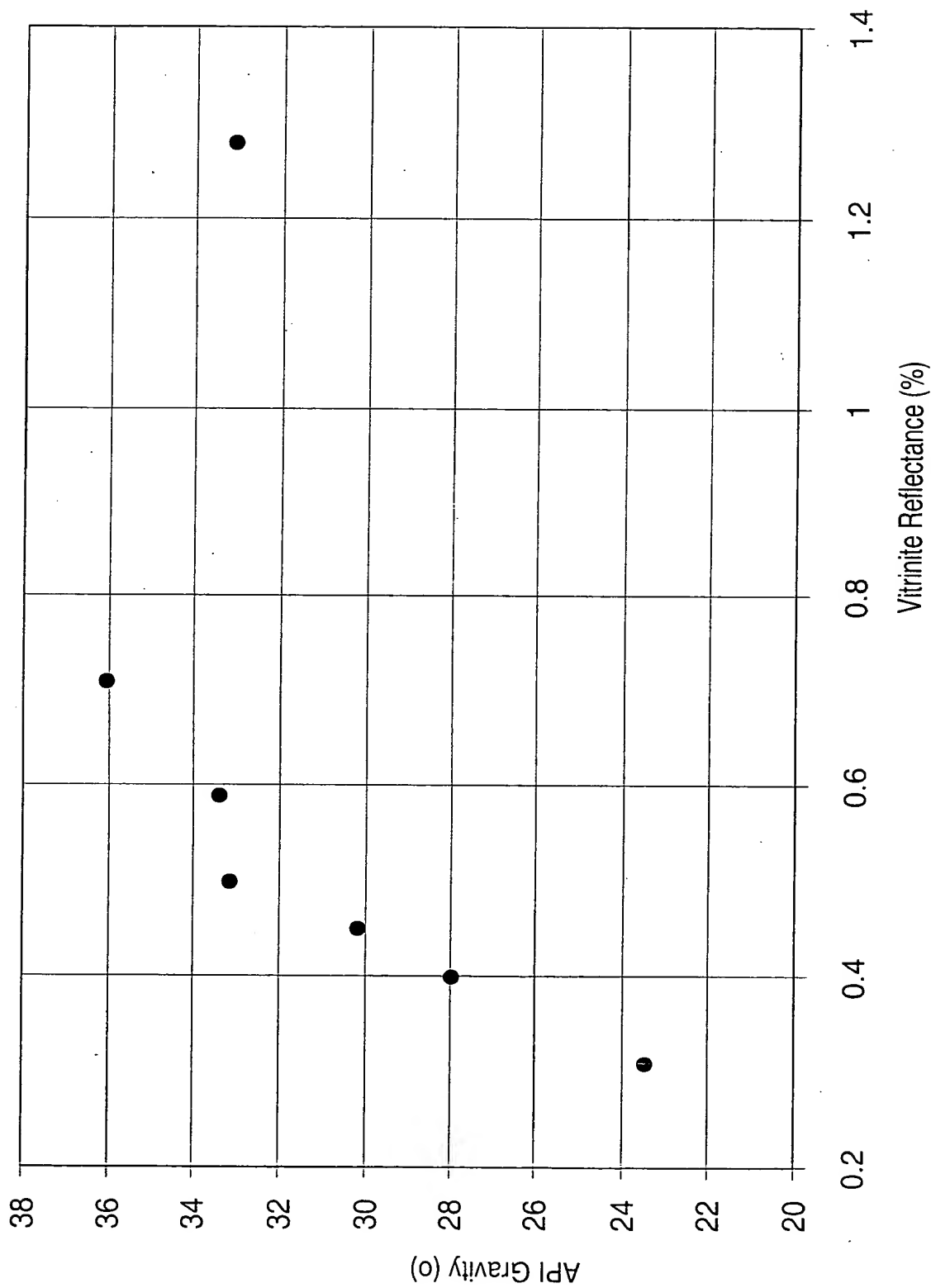
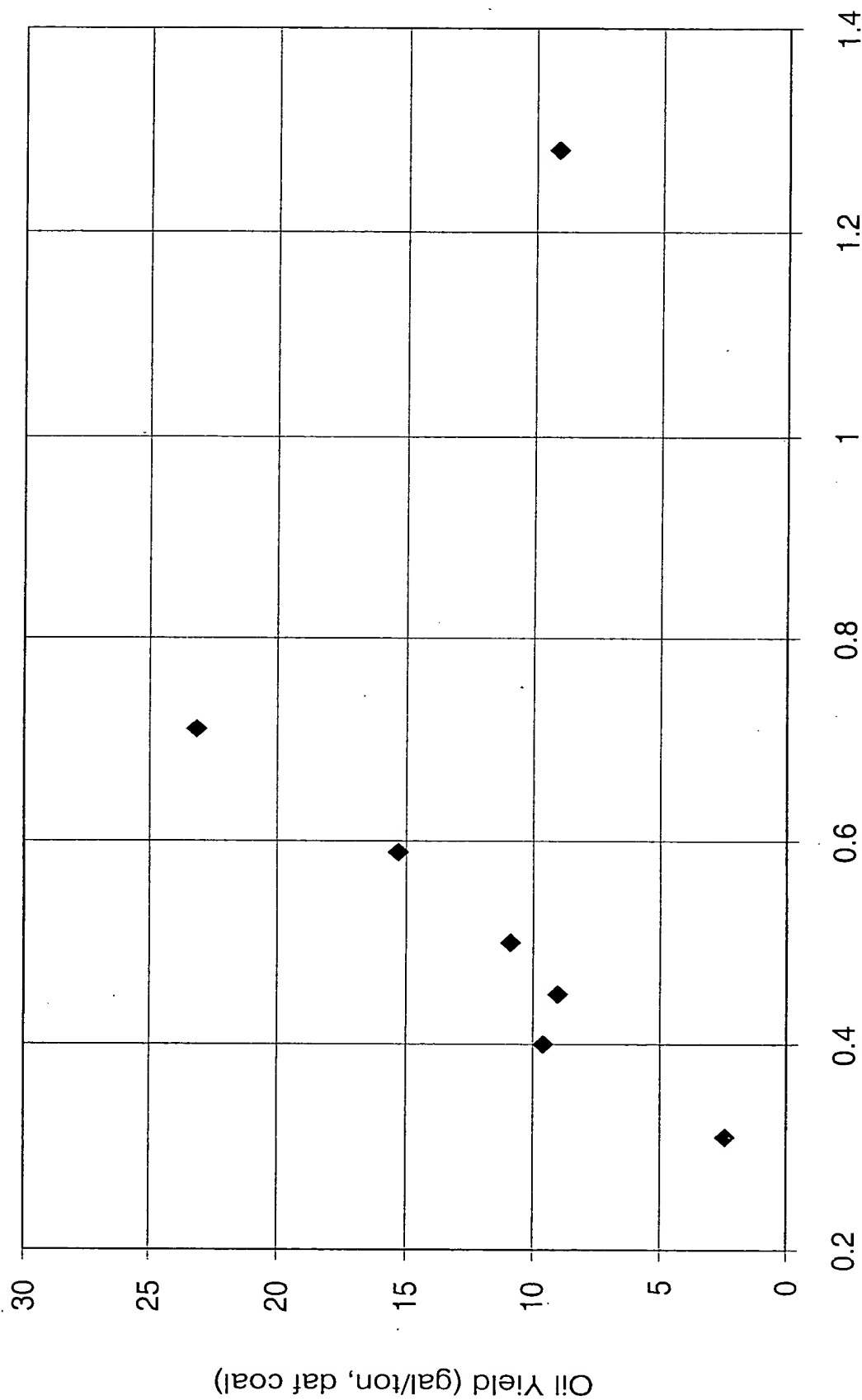


FIG. 125



Vitrinite Reflectance (%)

FIG. 126

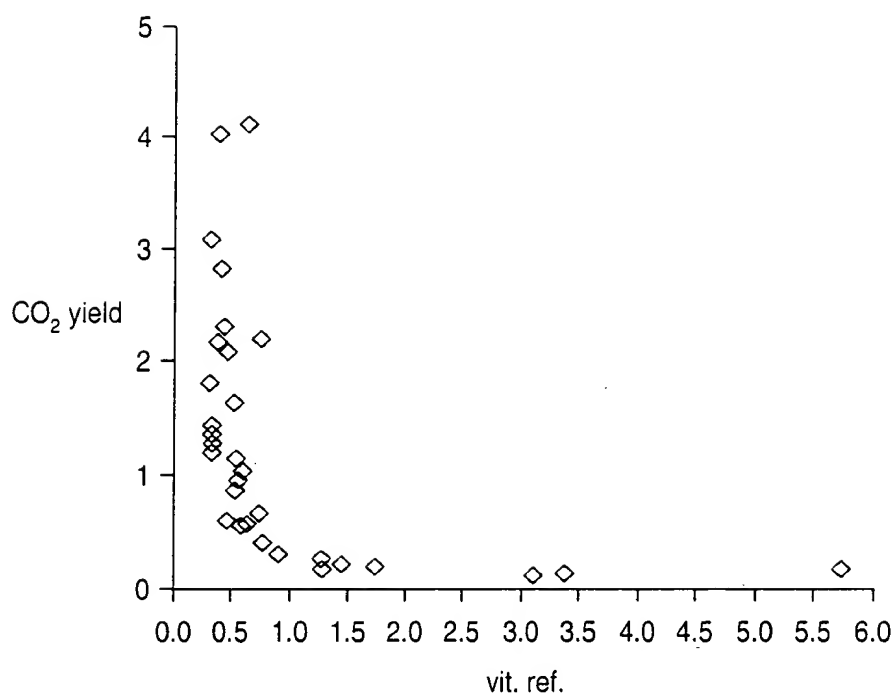
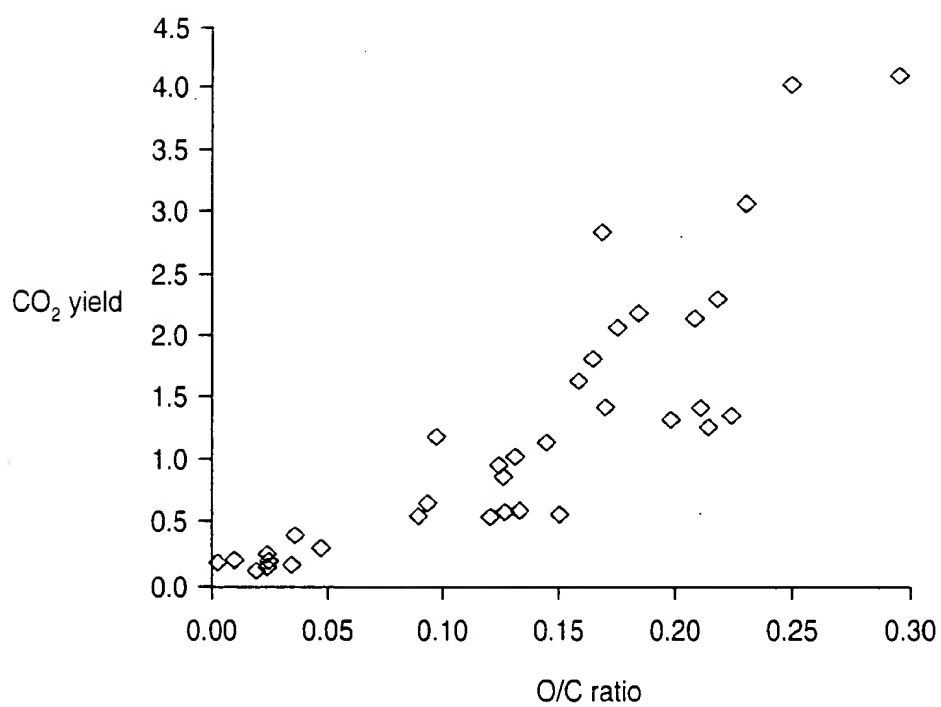


FIG. 127



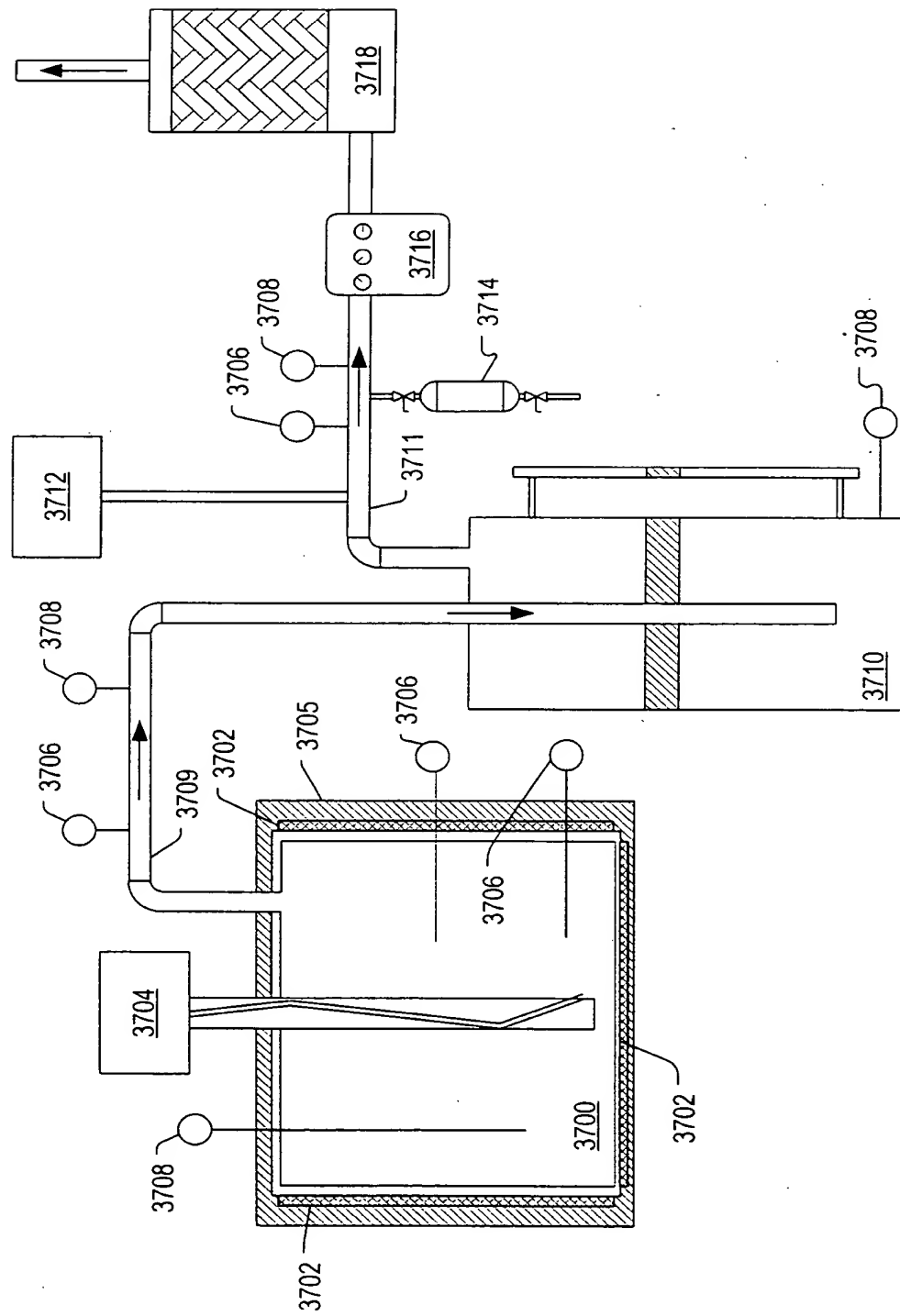


FIG. 129

TD4240- TDE F1860

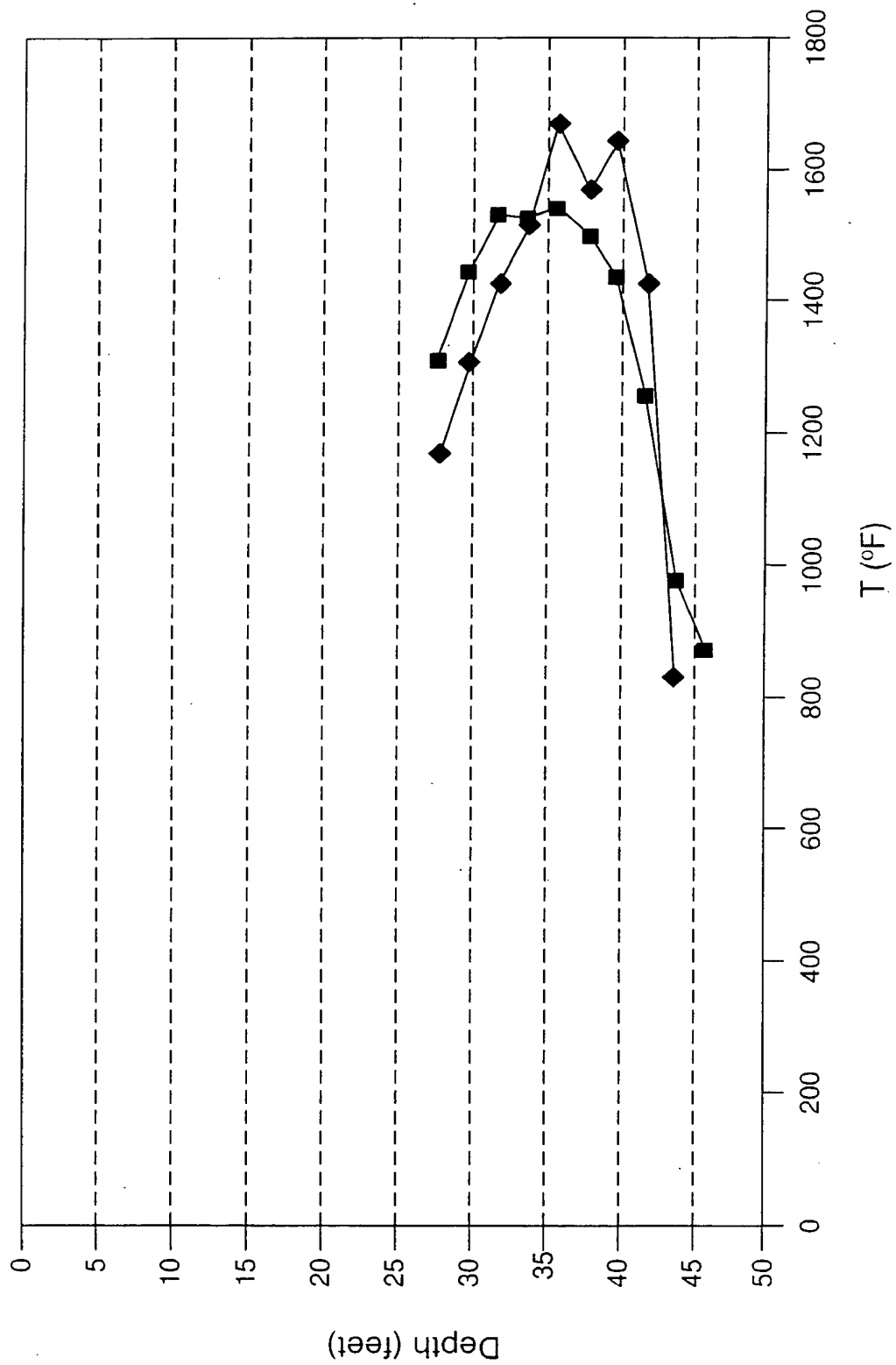


FIG. 130

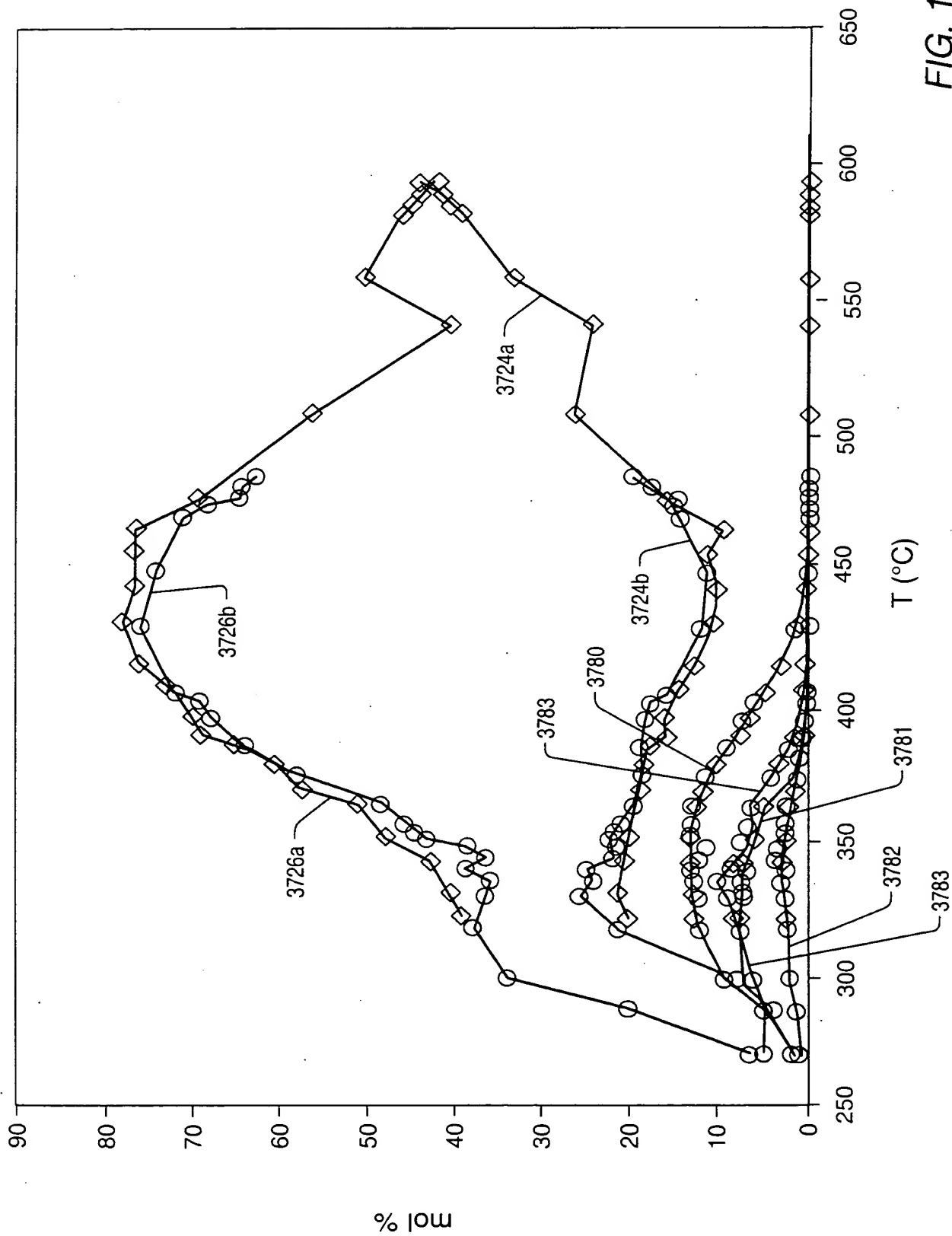


FIG. 131



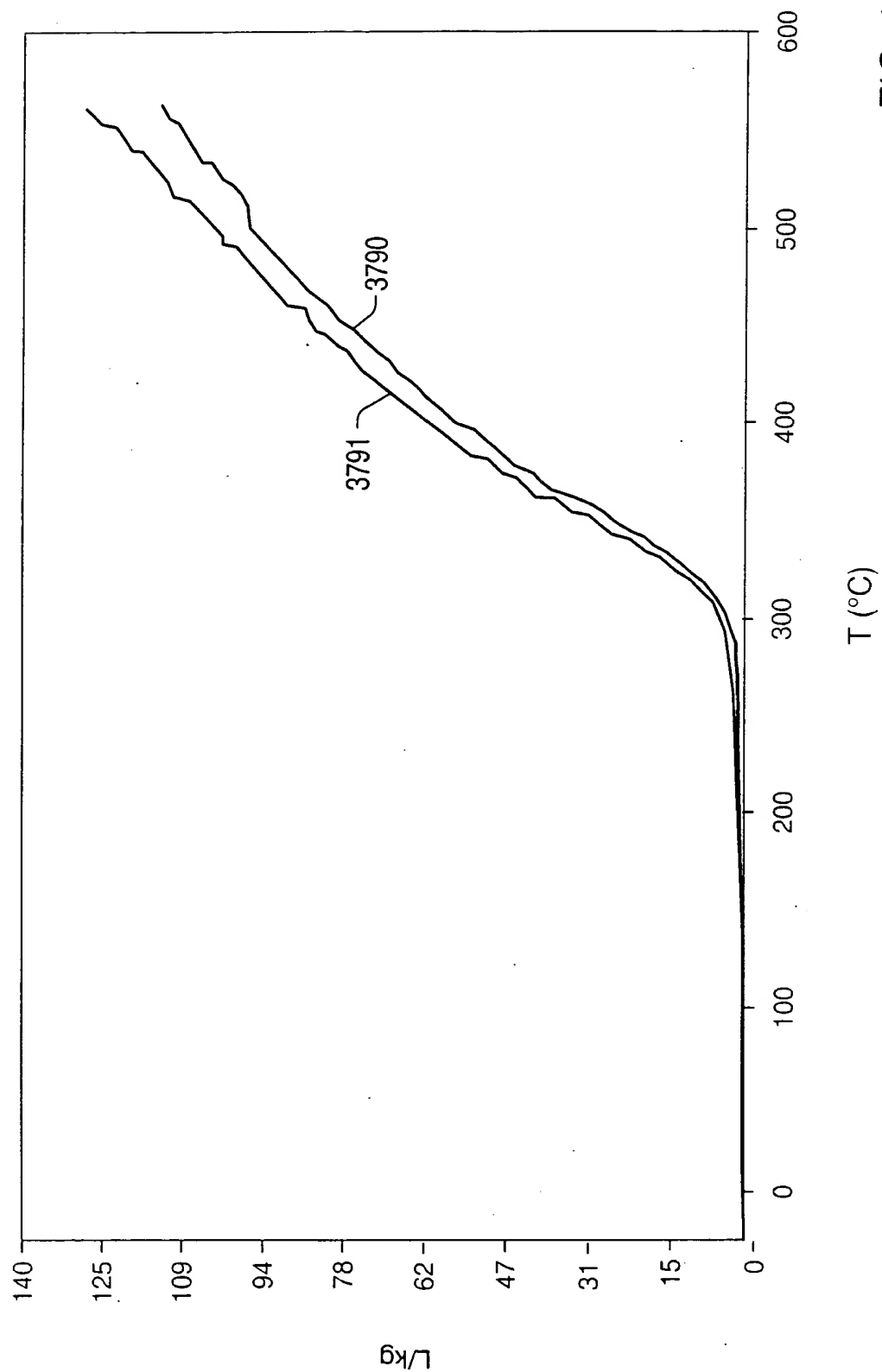


FIG. 132

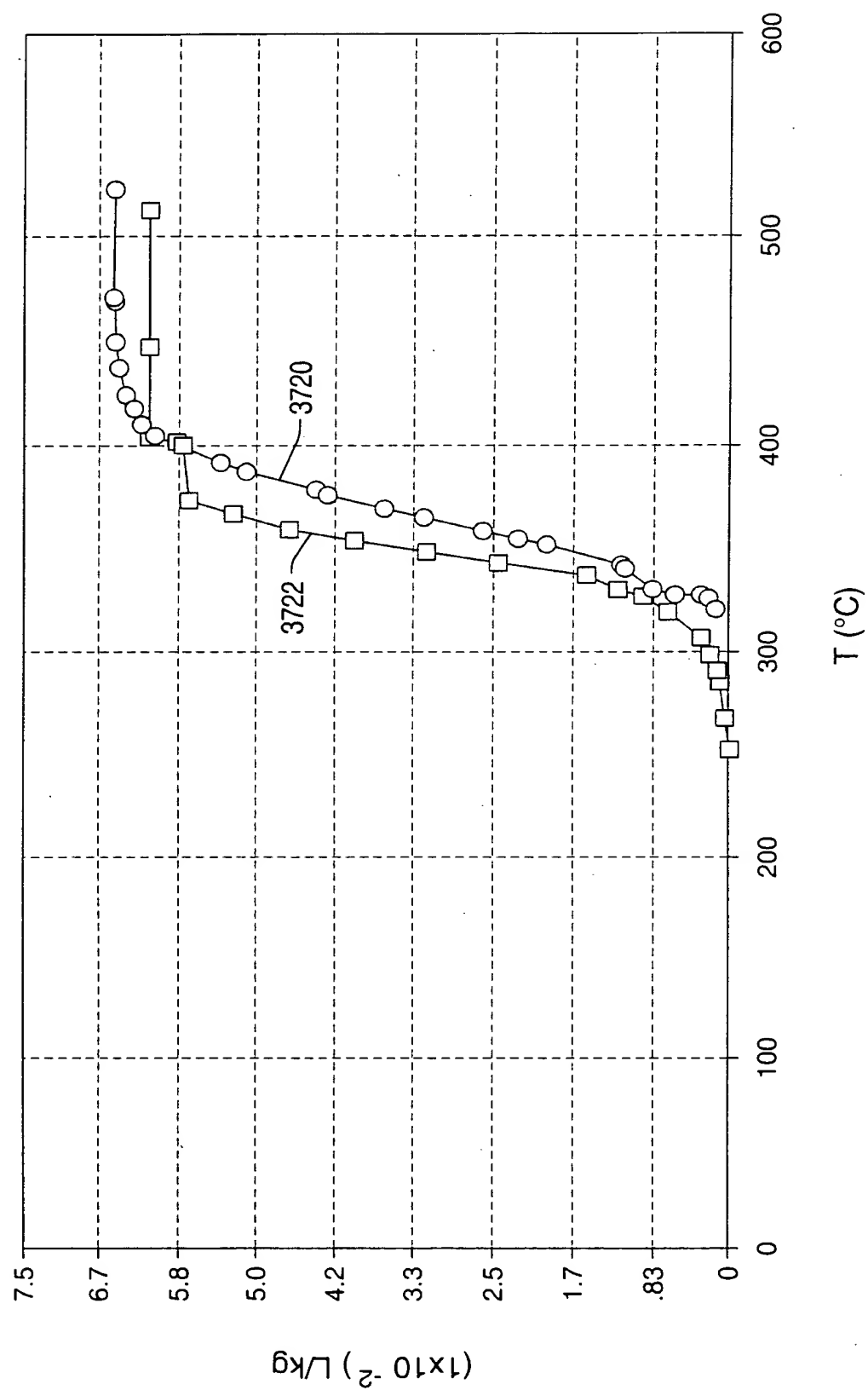


FIG. 133

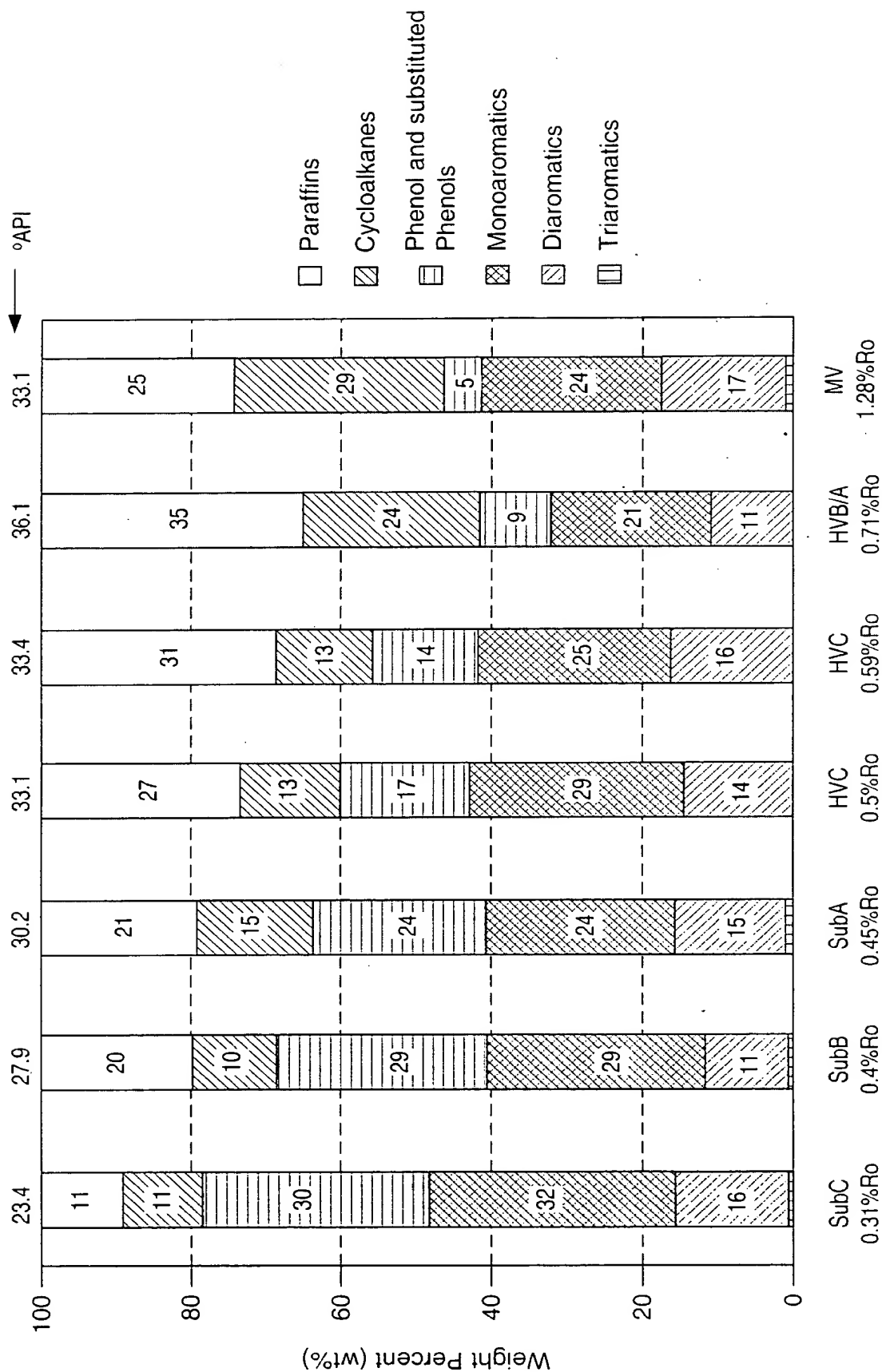
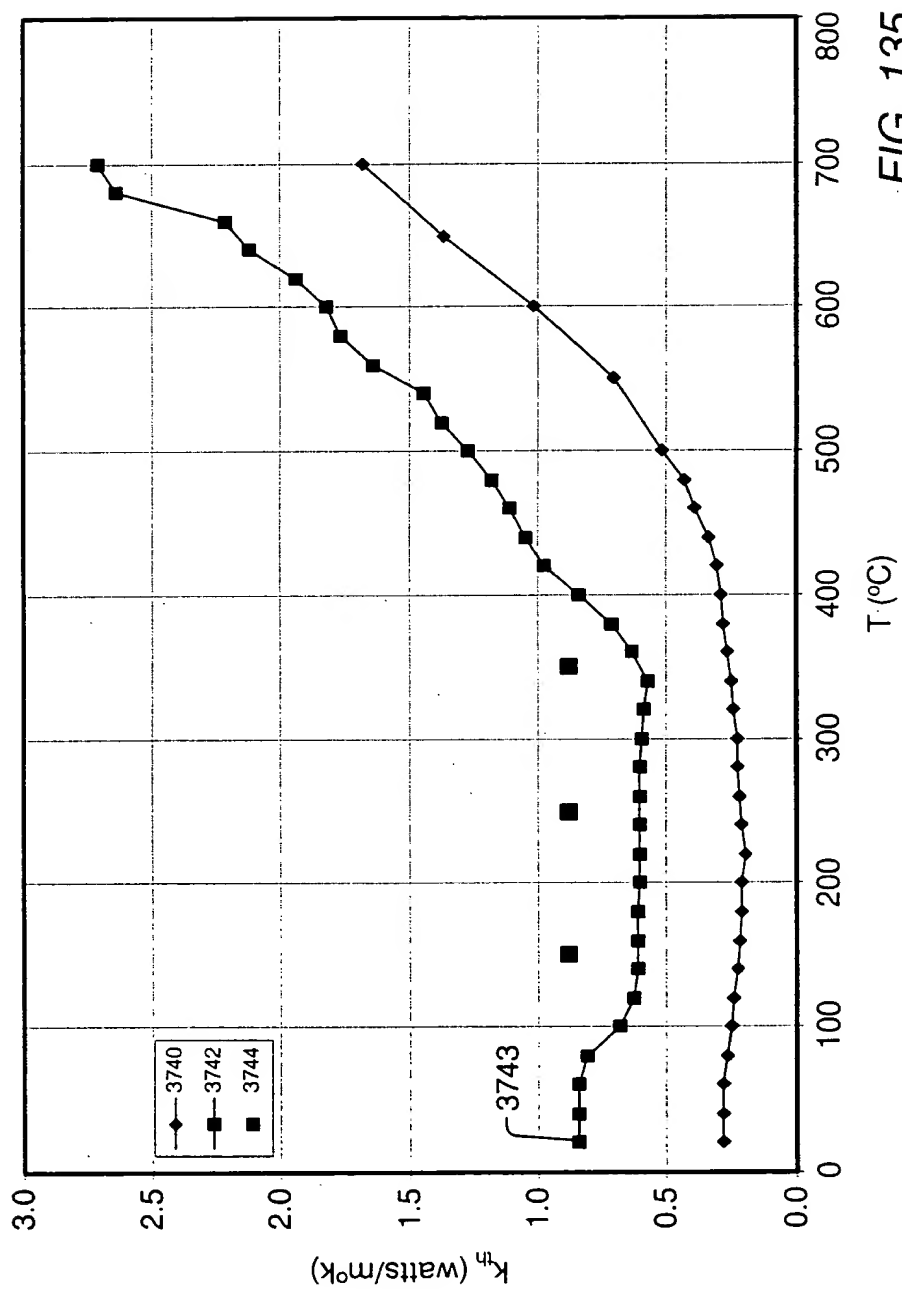


FIG. 134



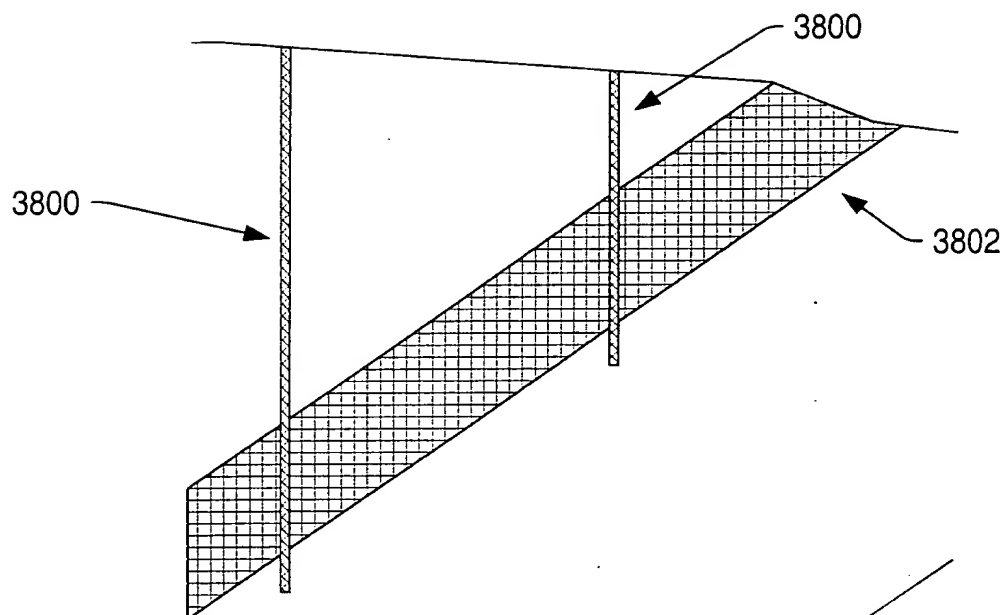


FIG. 136

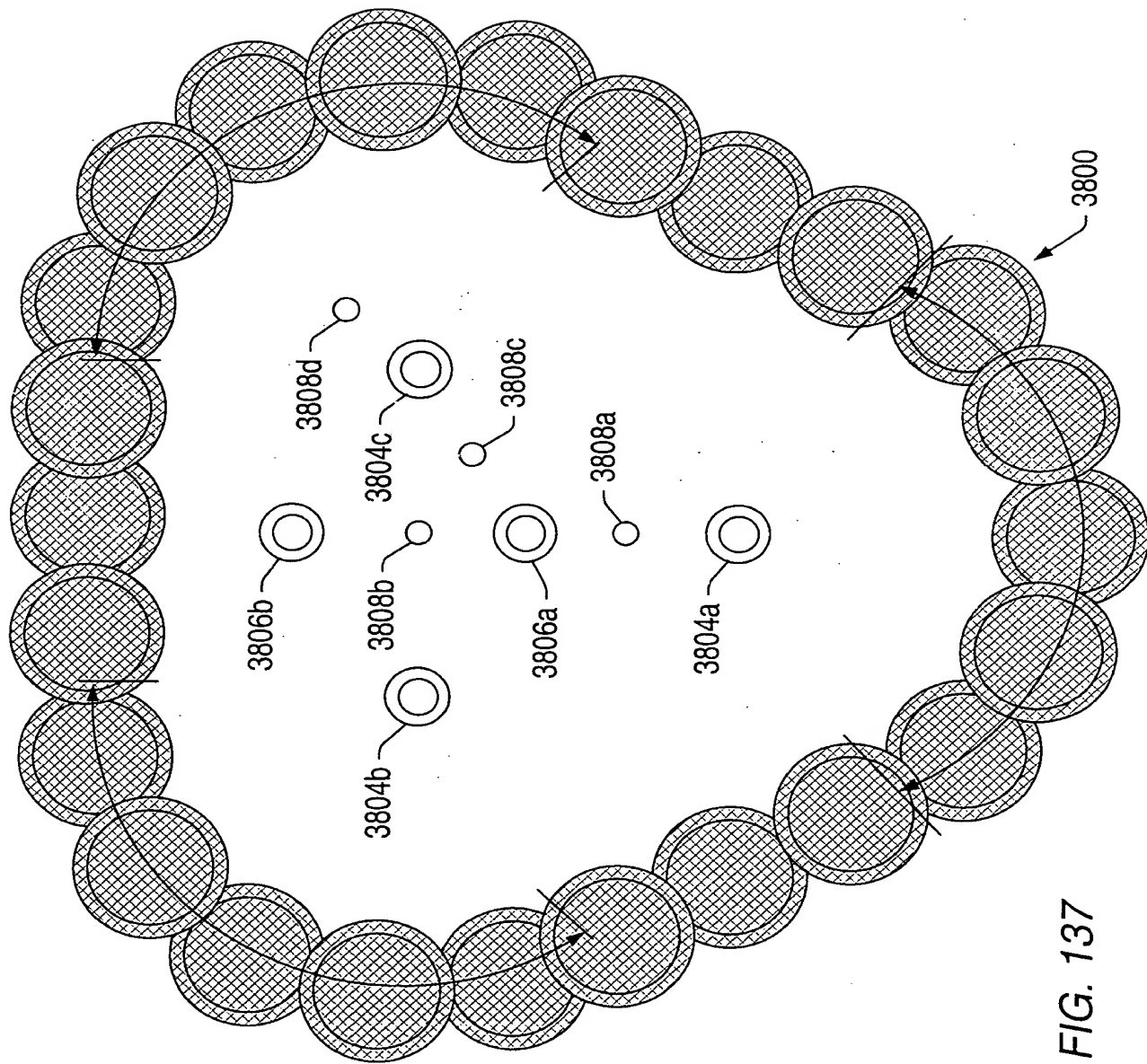


FIG. 137

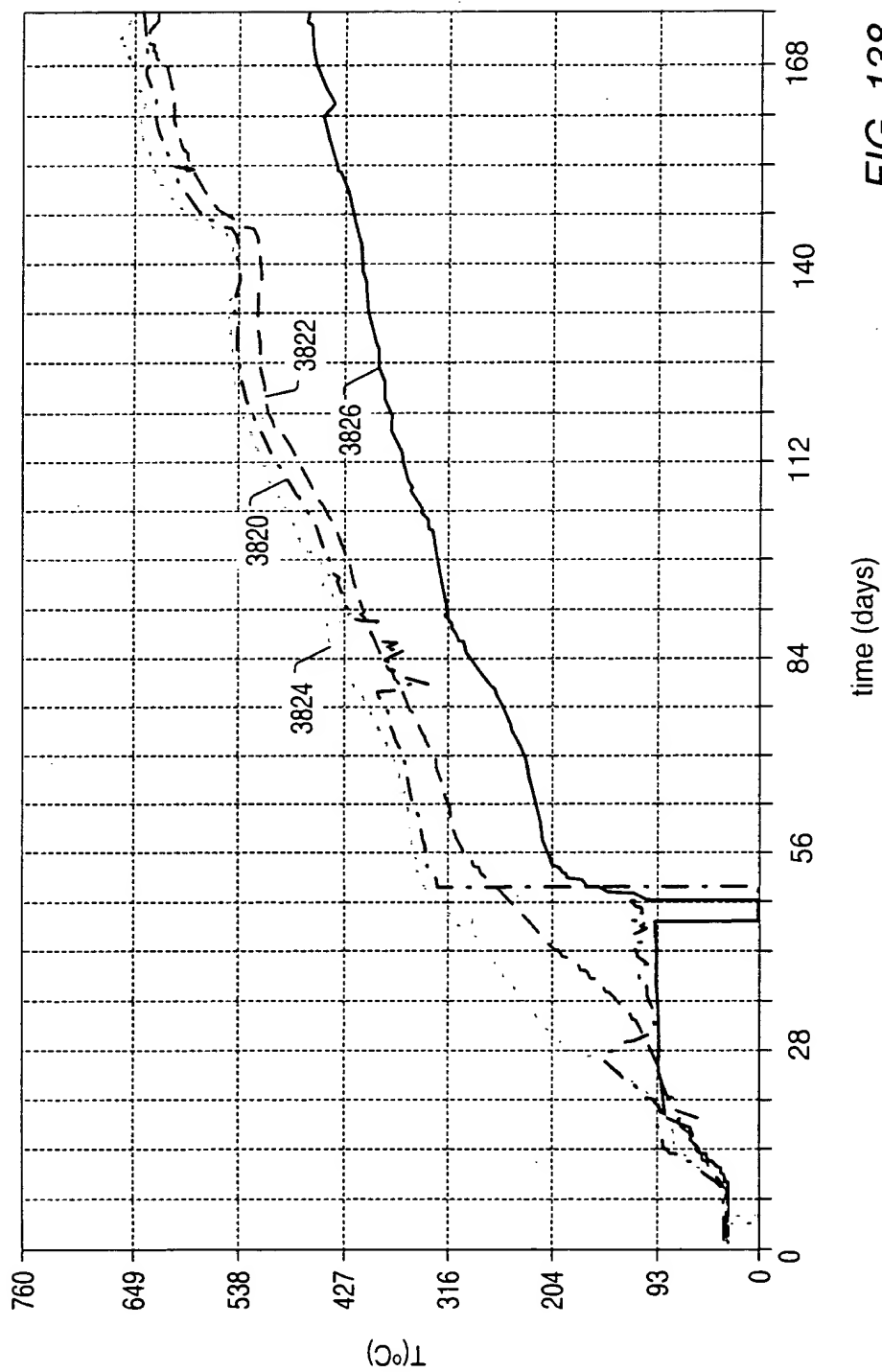


FIG. 138

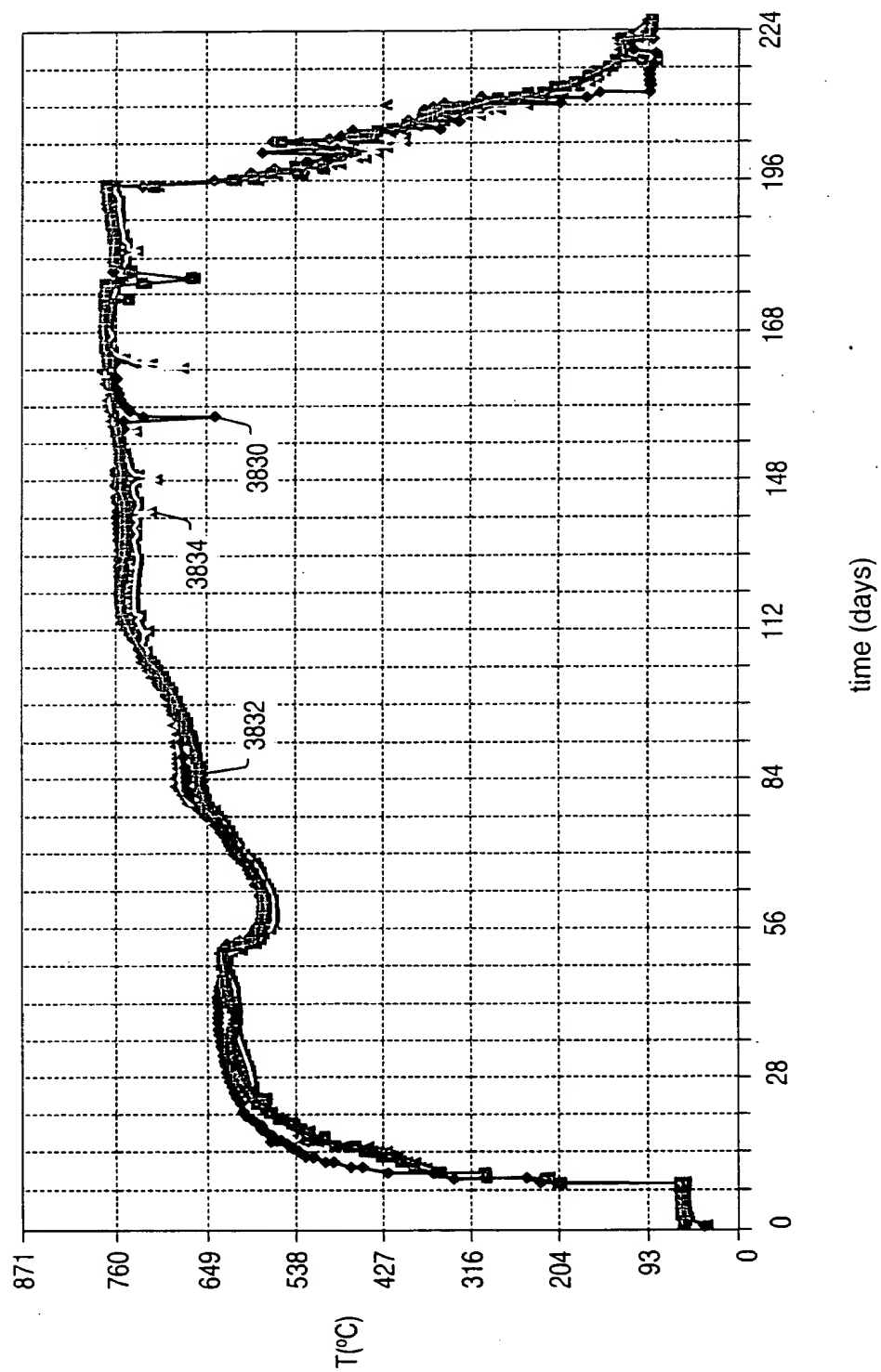


FIG. 139



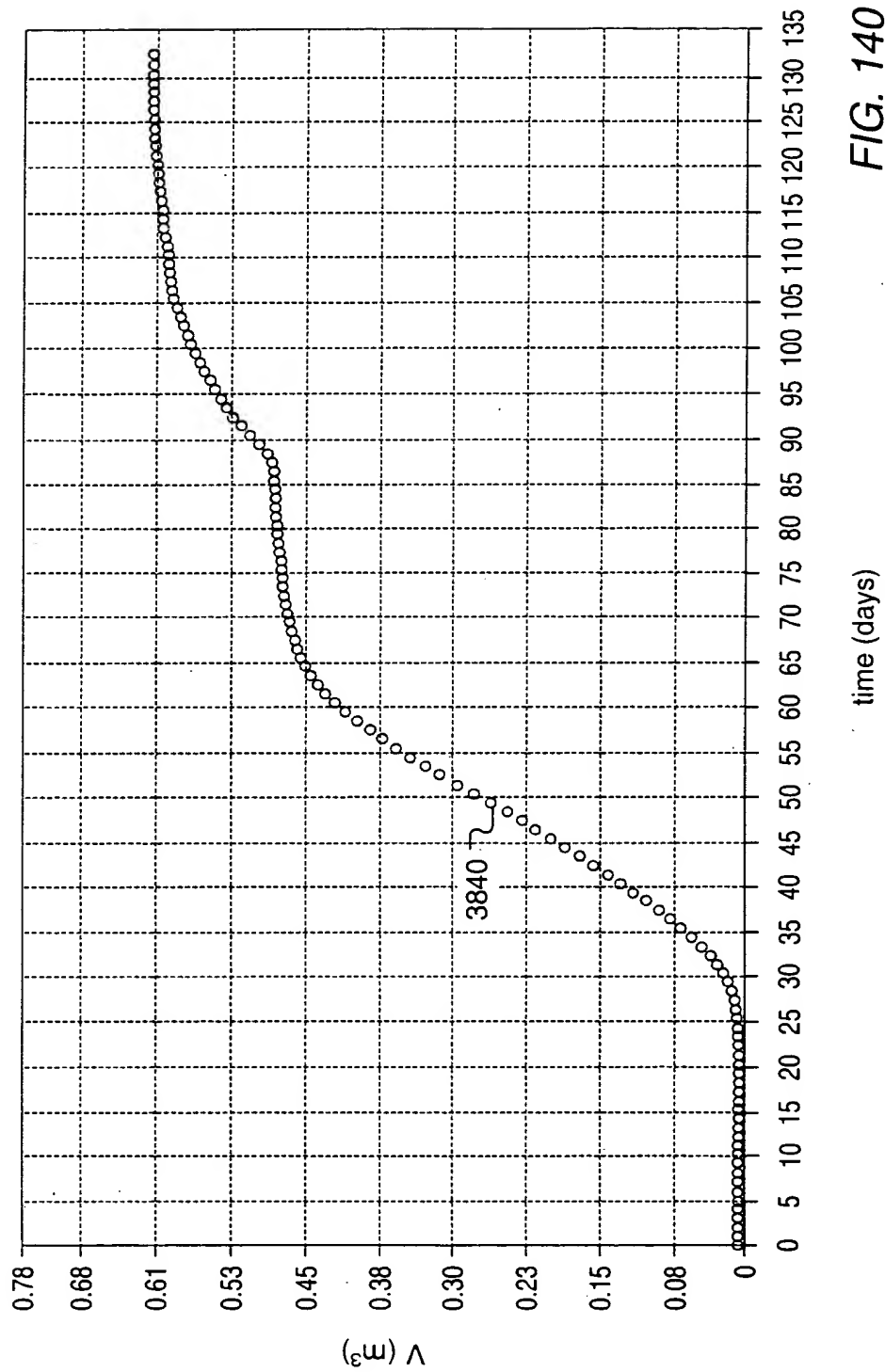


FIG. 140

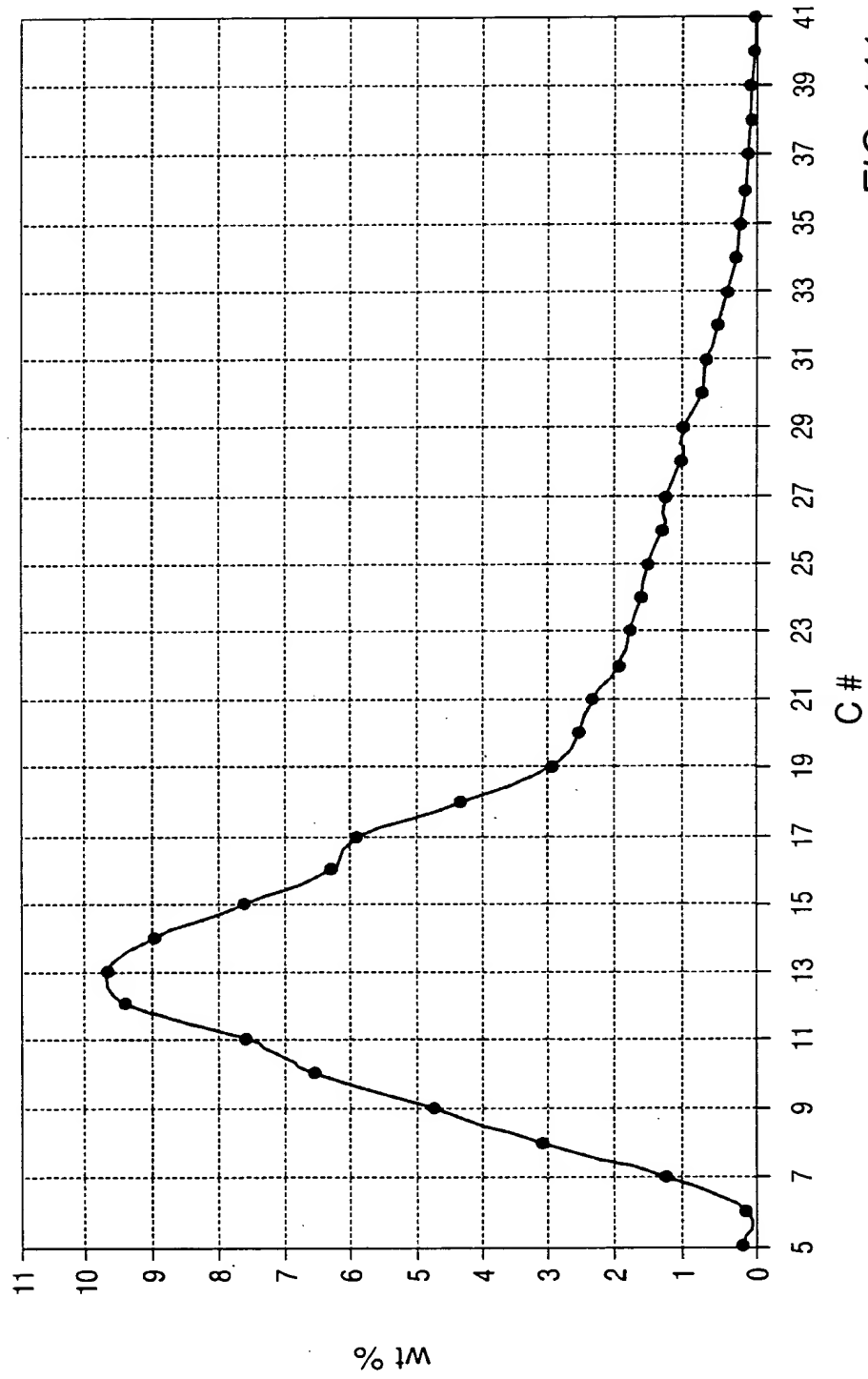


FIG. 141

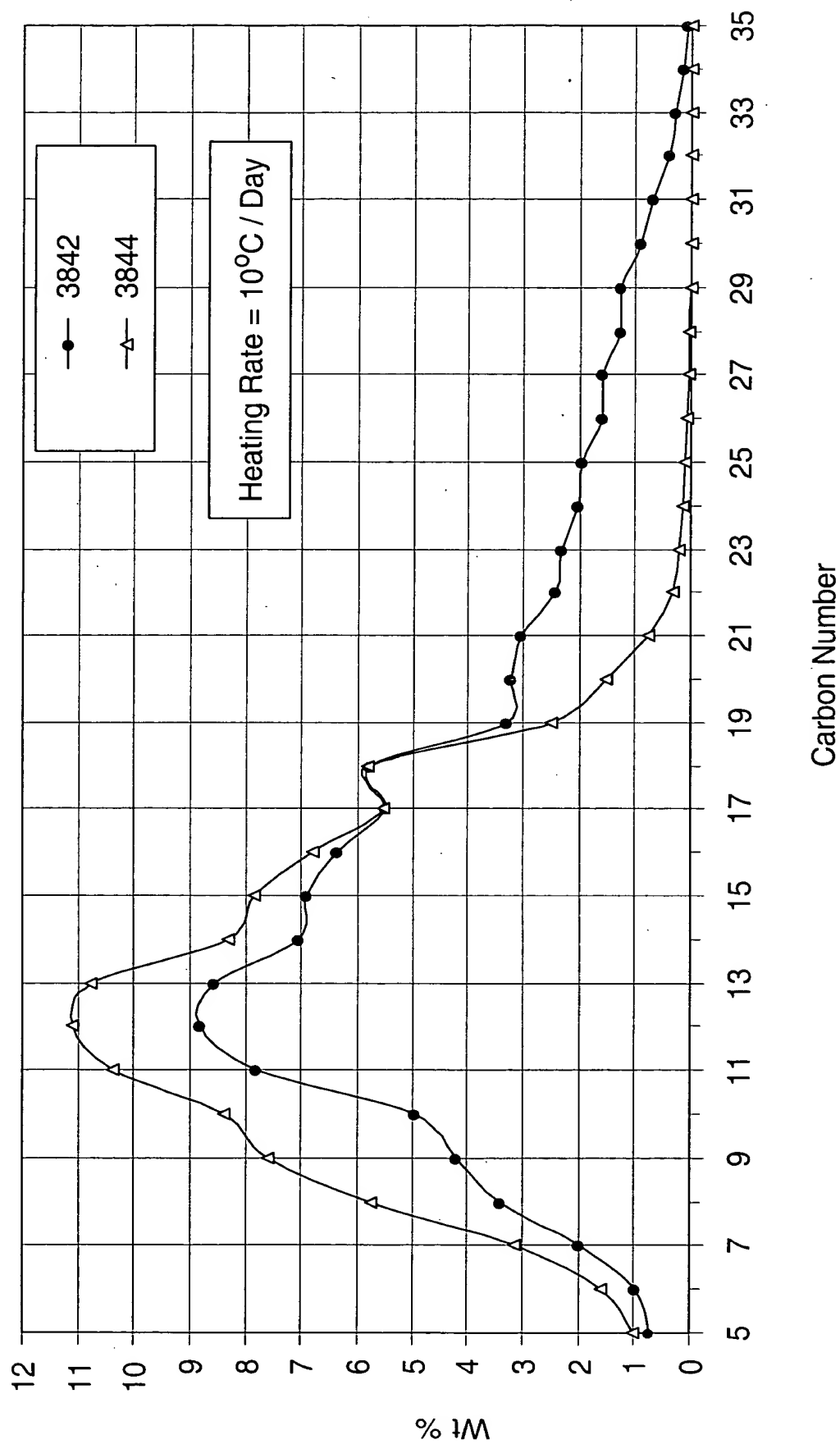


FIG. 142

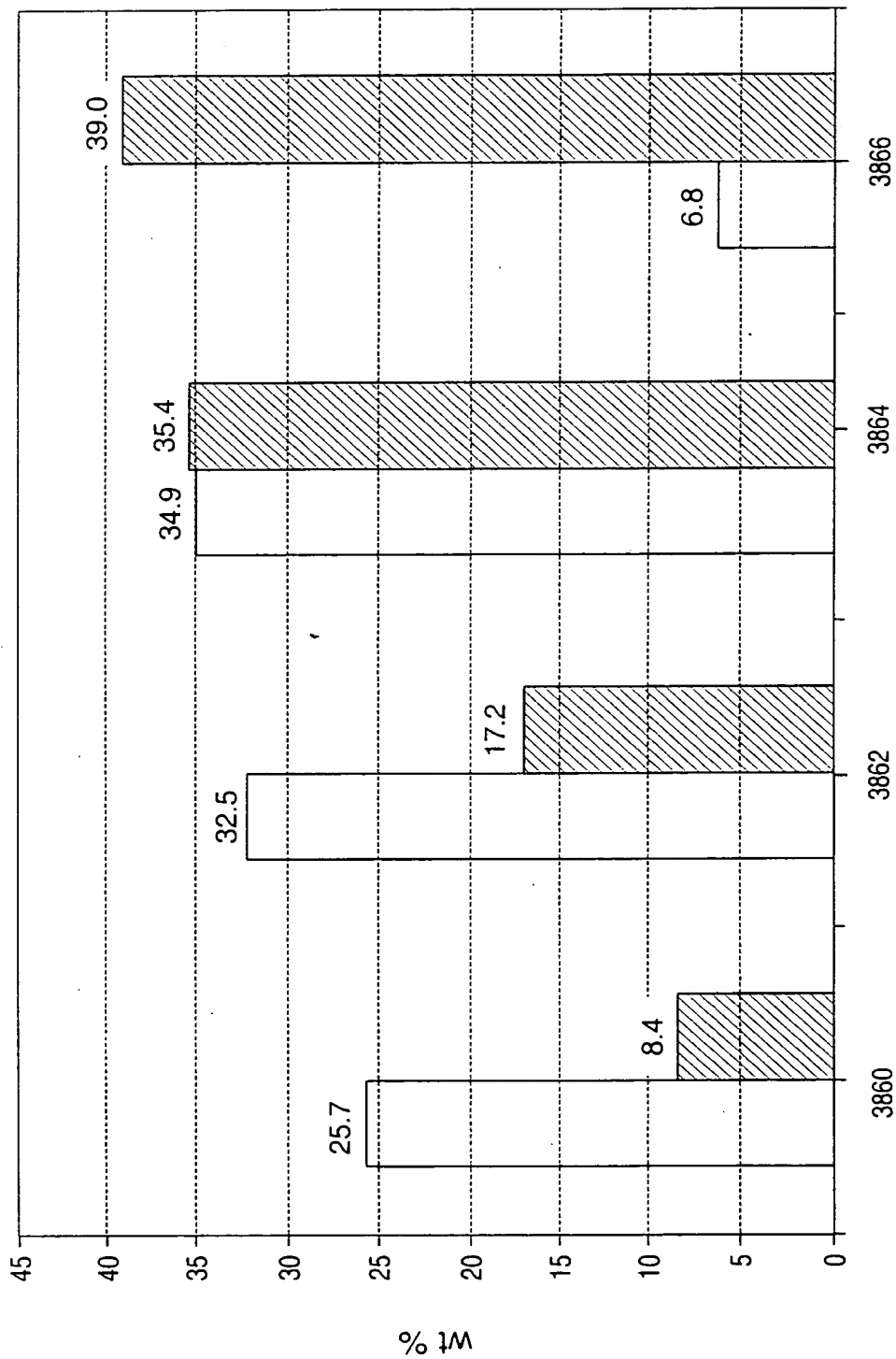


FIG. 143

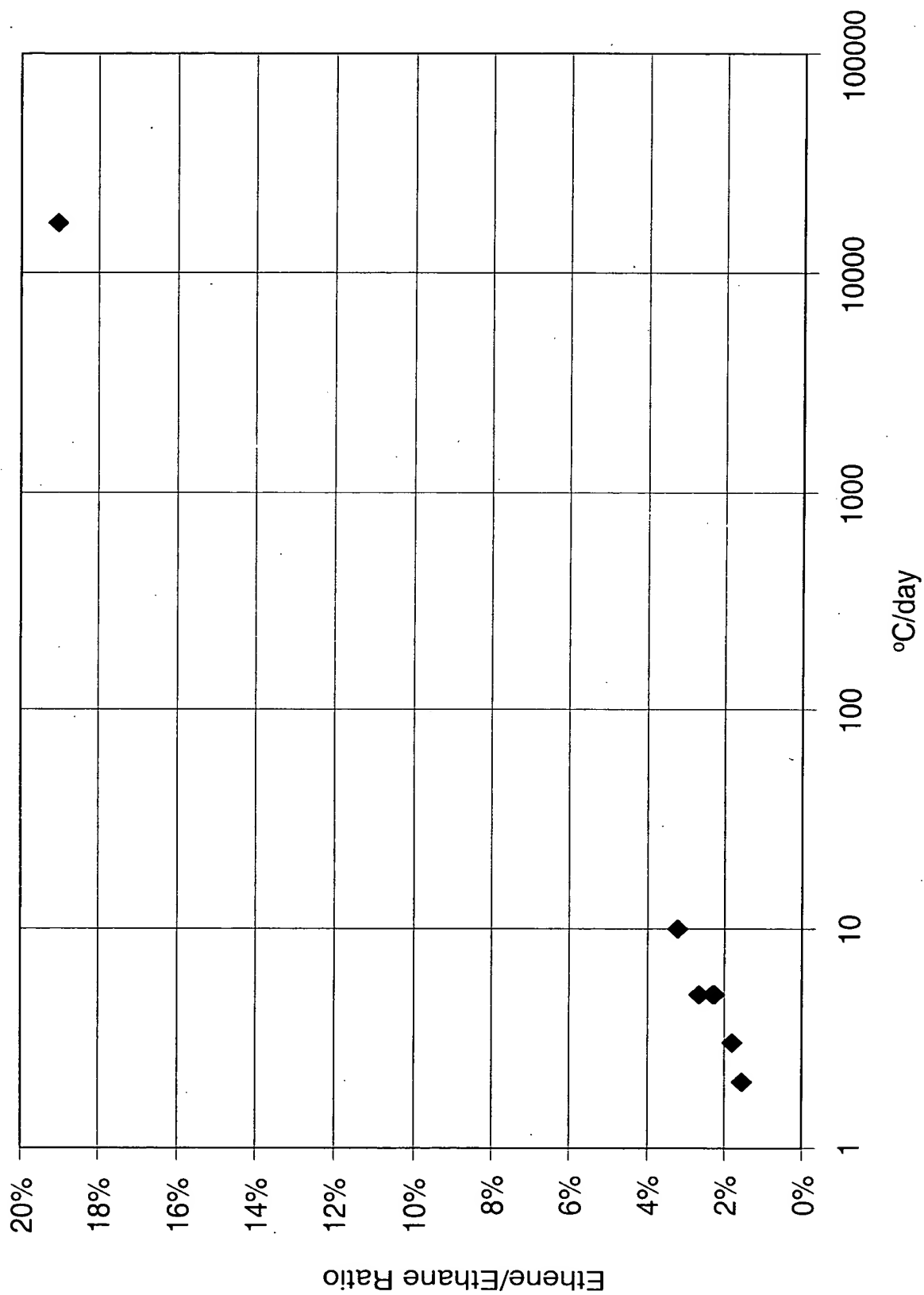


FIG. 144

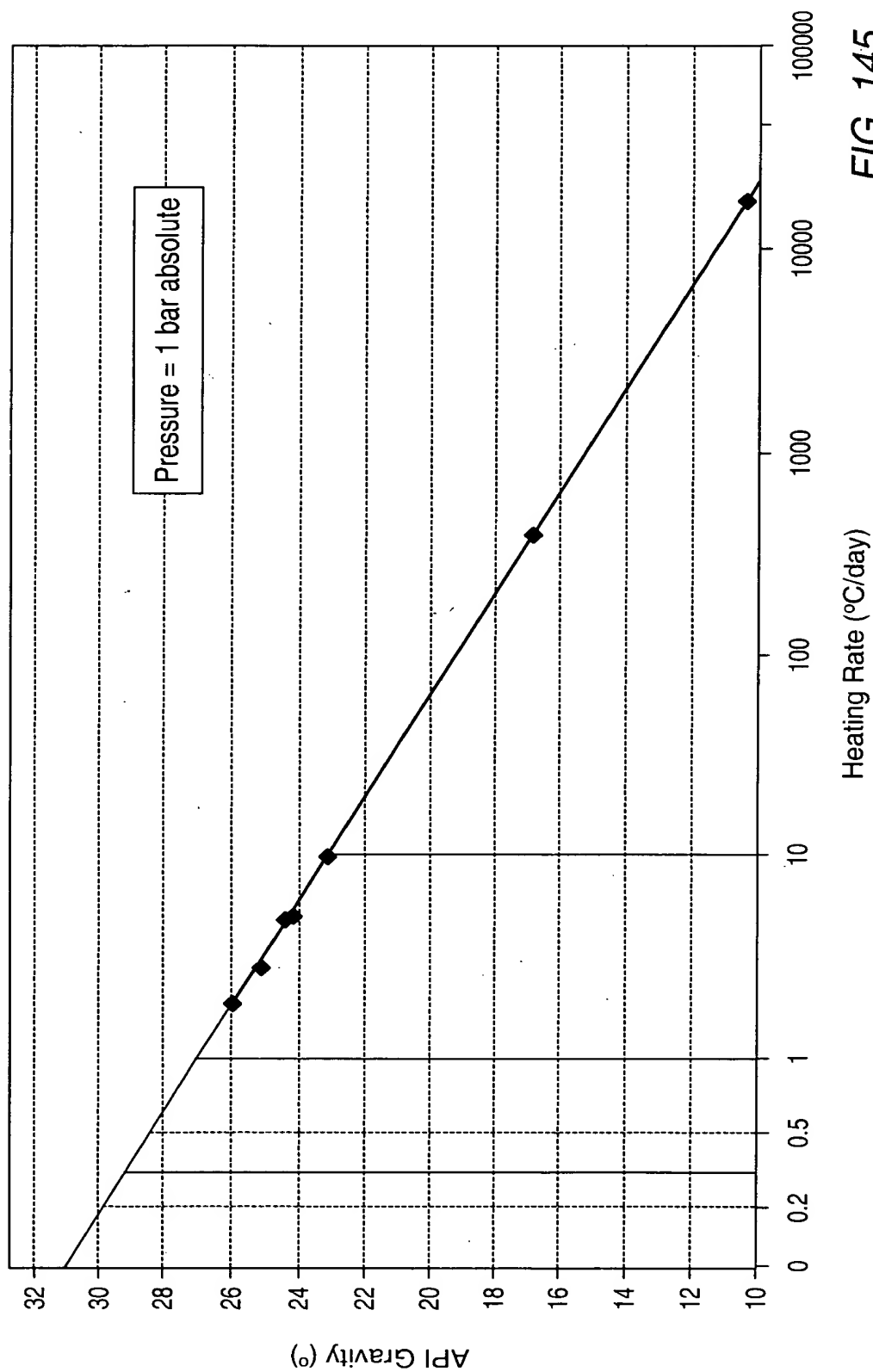


FIG. 145

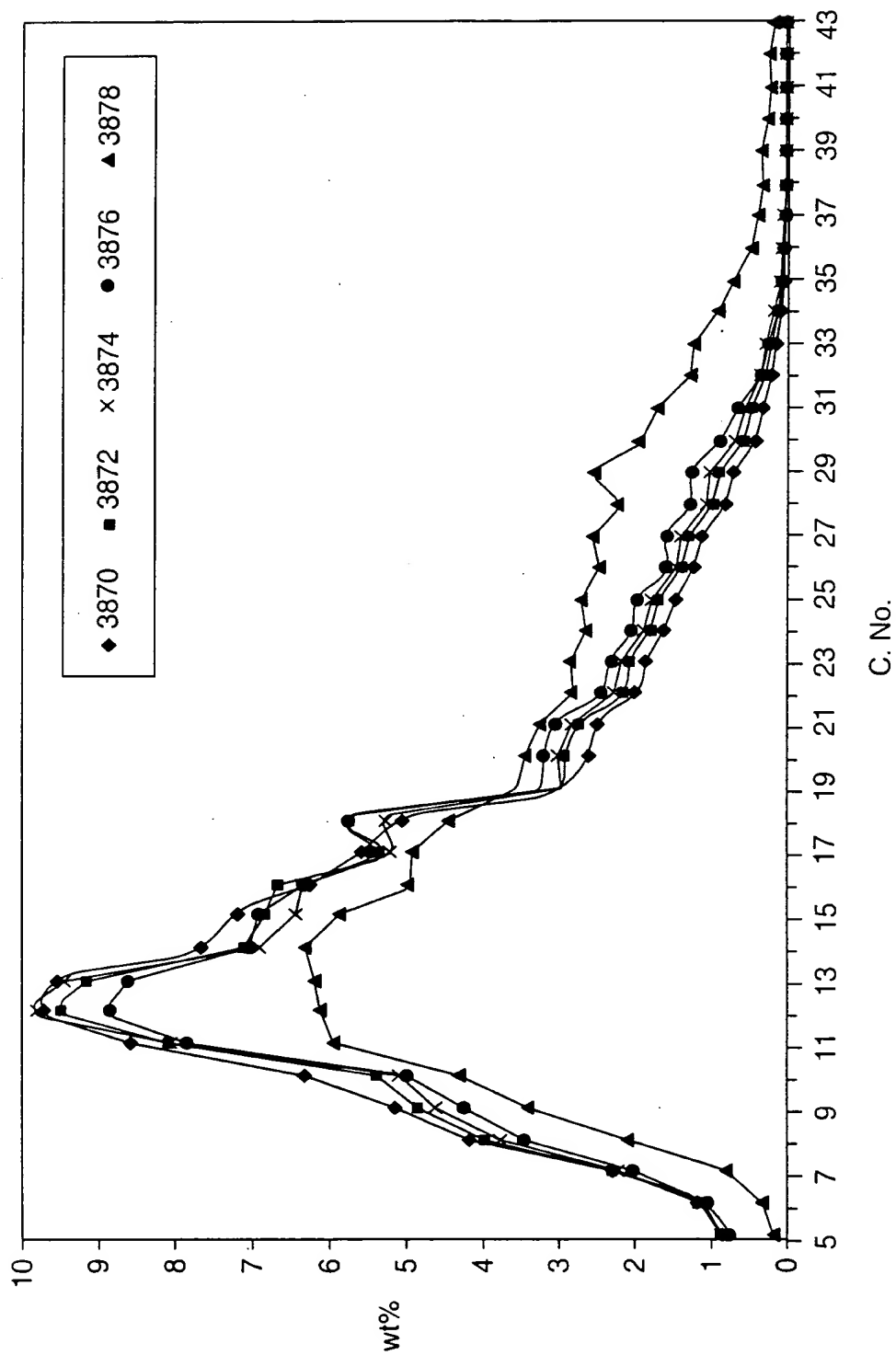


FIG. 146

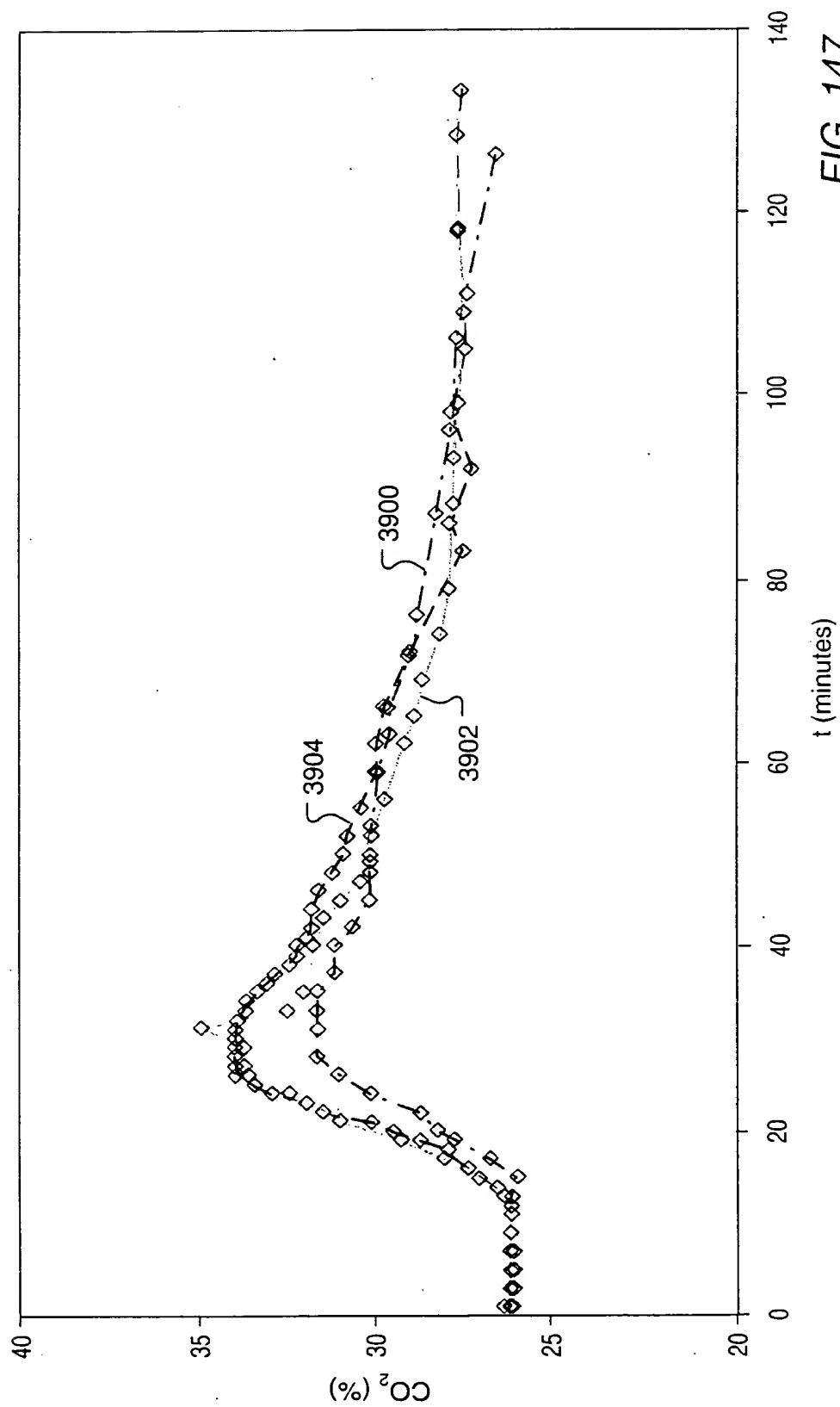


FIG. 147



TONnage TOE T4860

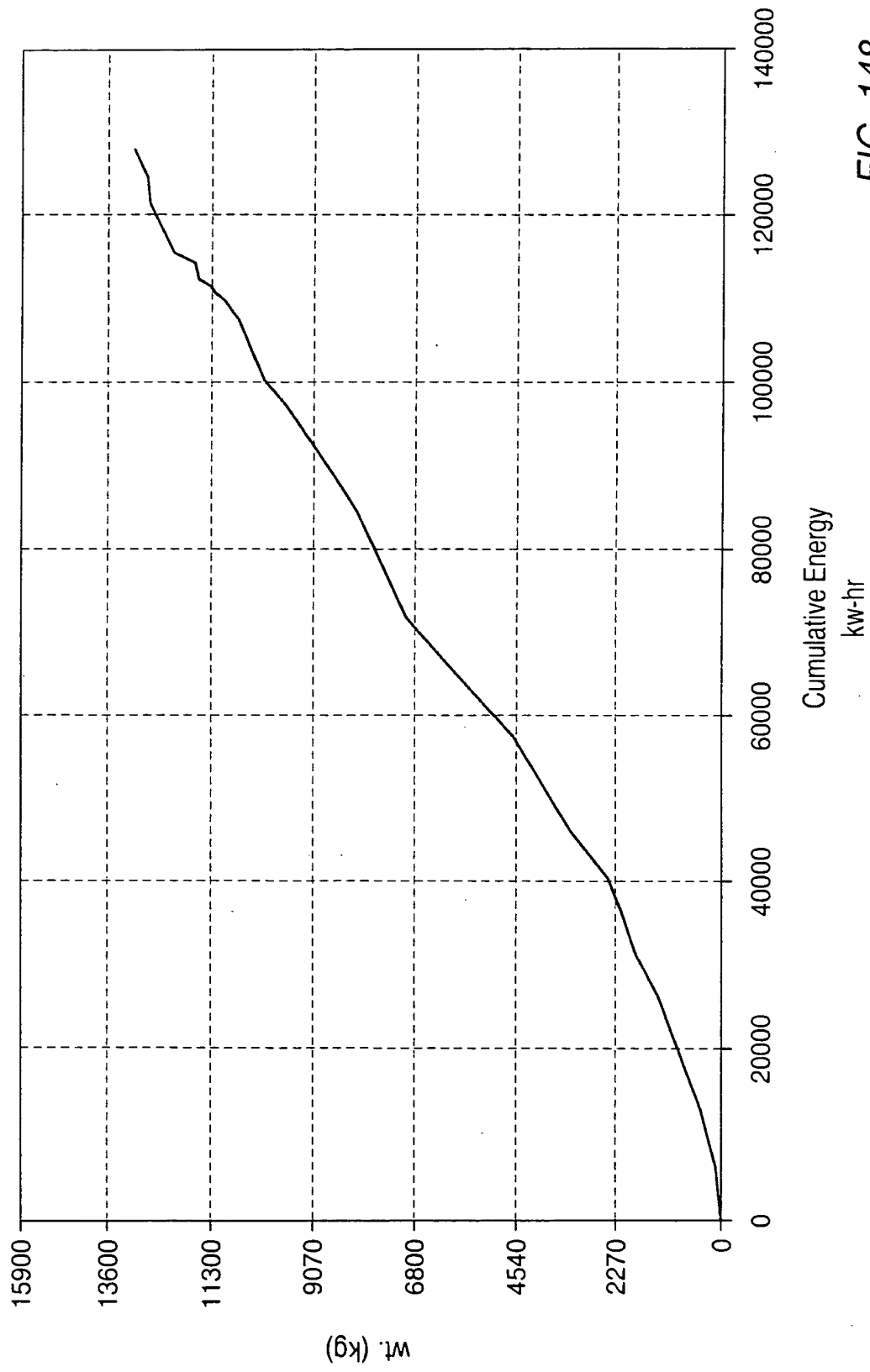


FIG. 148

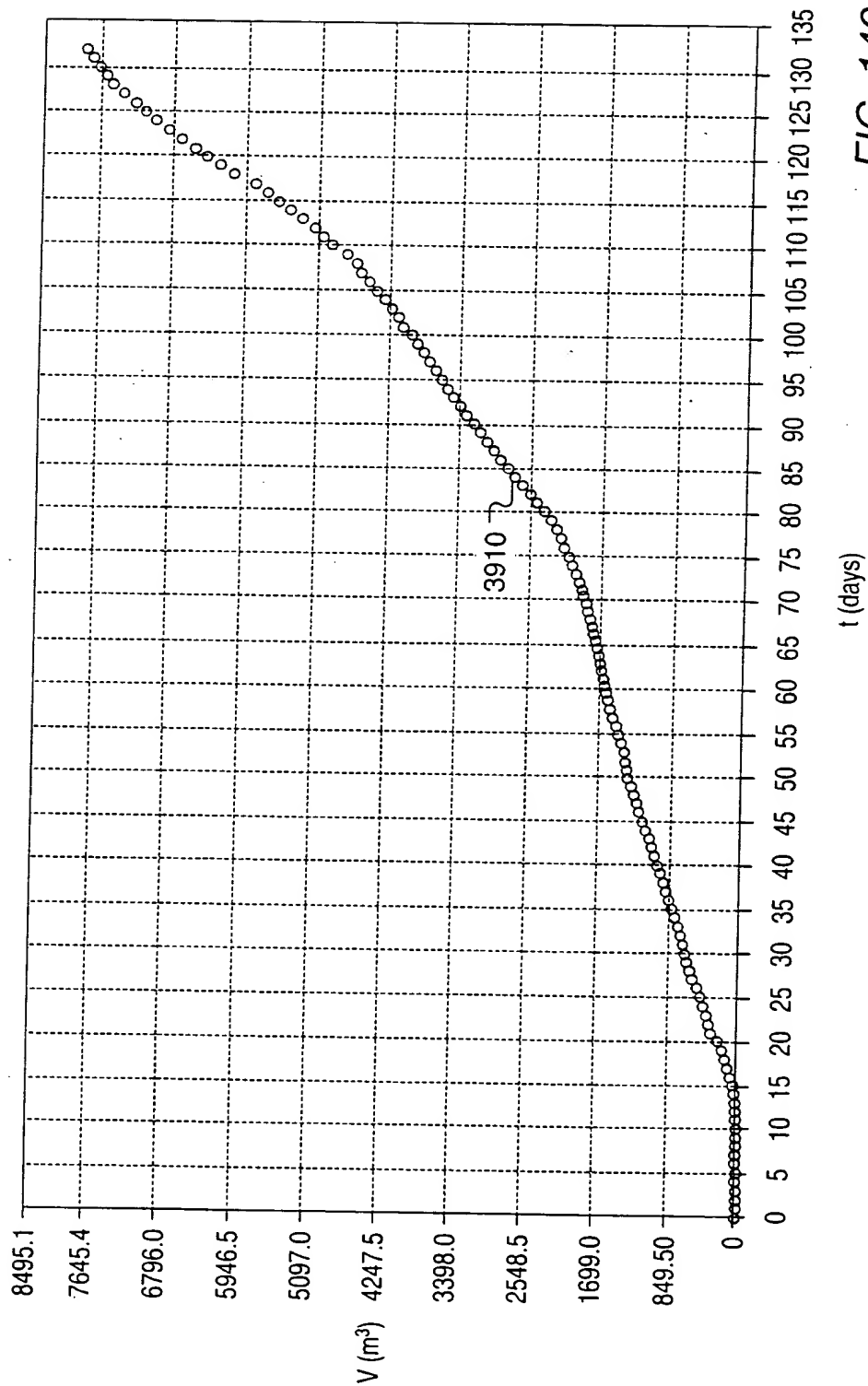


FIG. 149

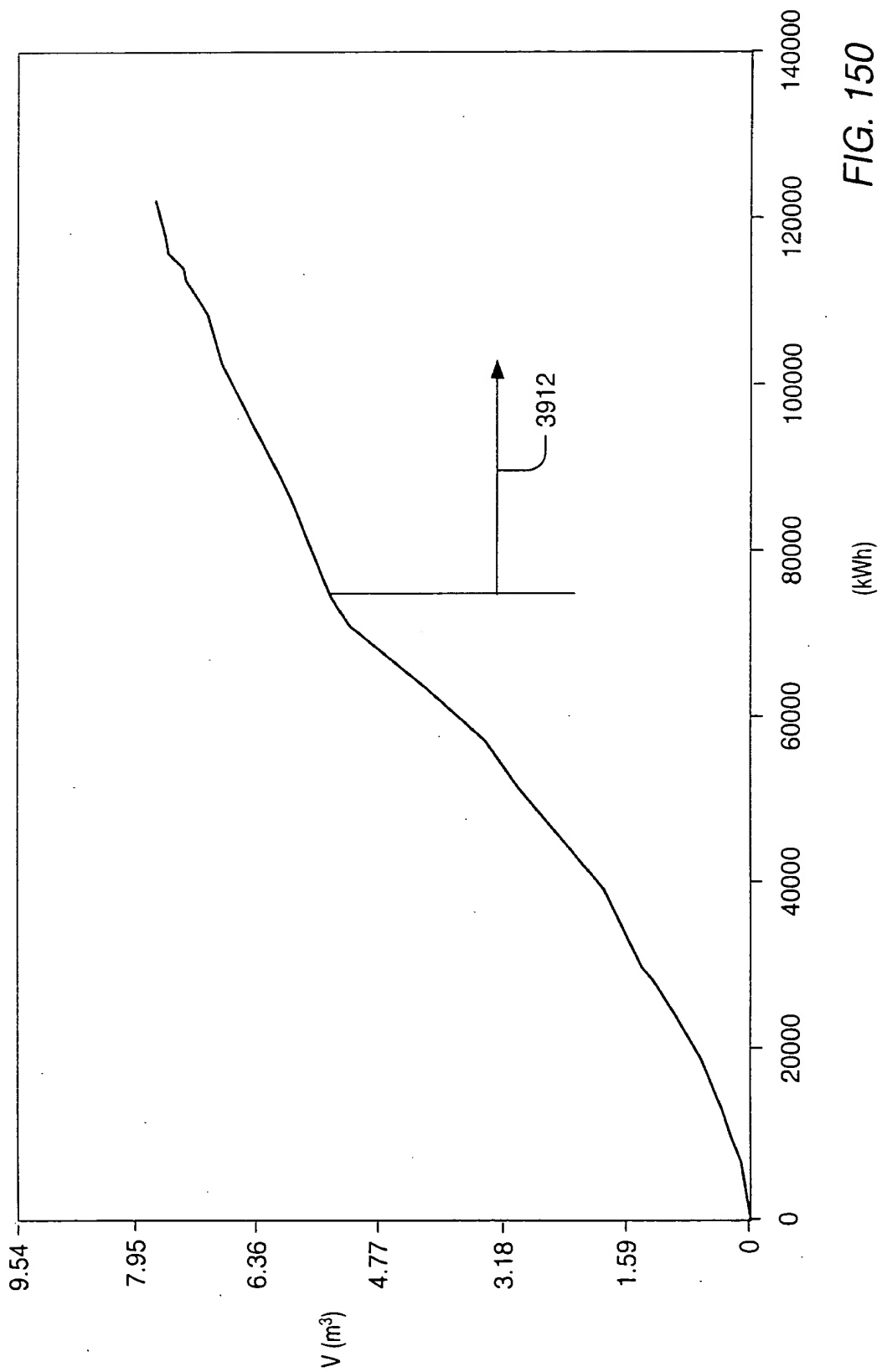


FIG. 150

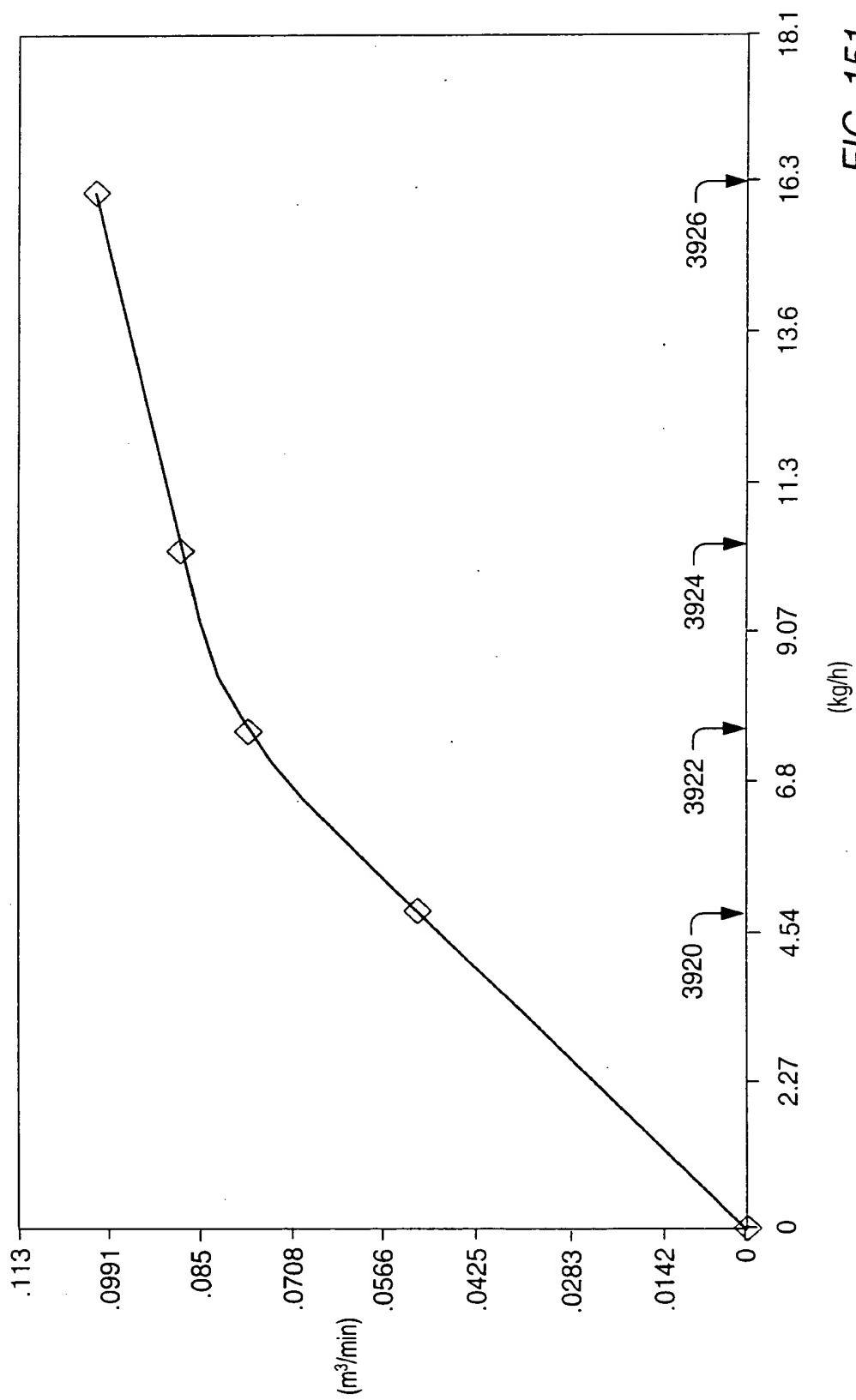


FIG. 151

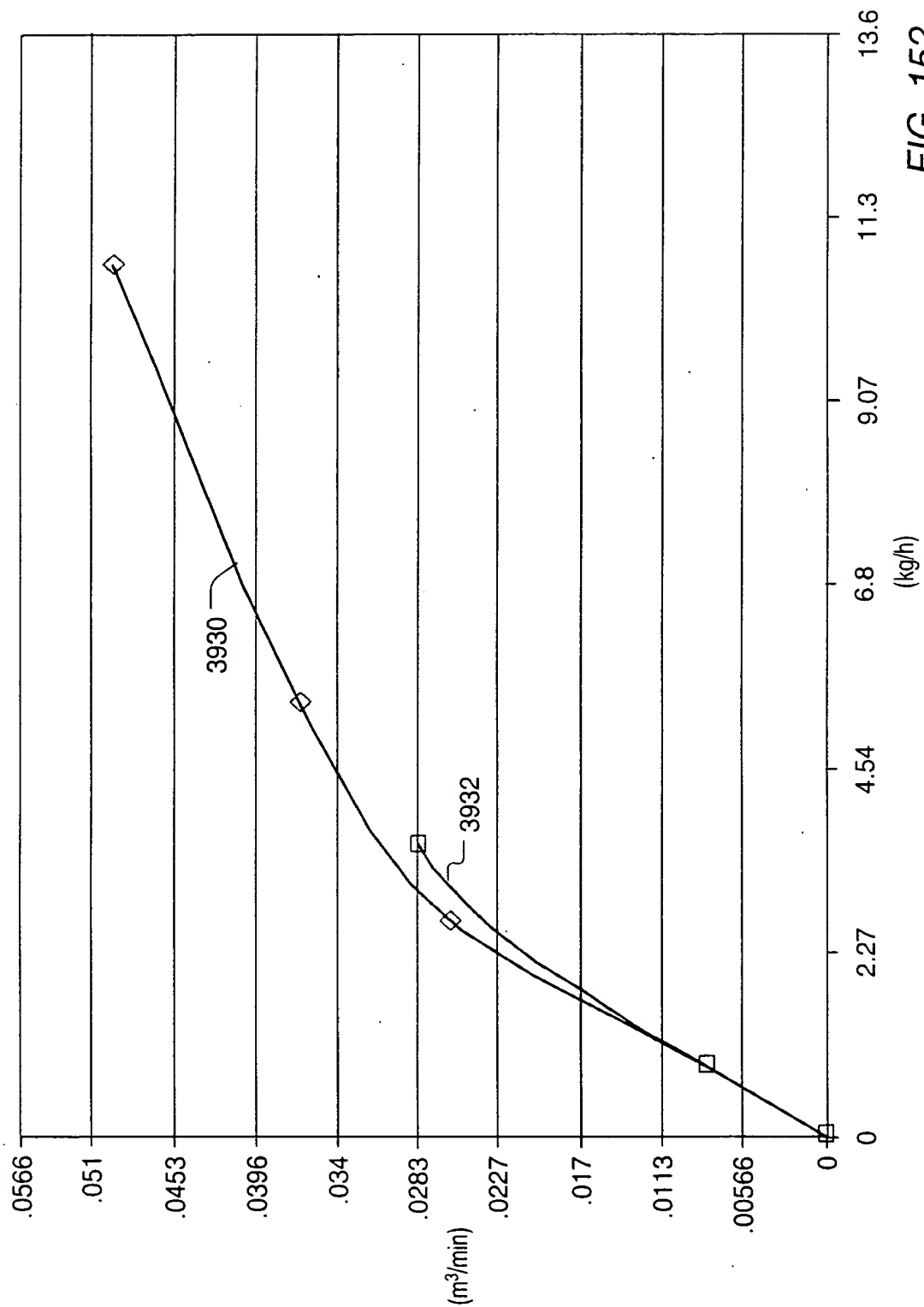


FIG. 152

A scatter plot showing Flow Rate (Y-axis) versus Methane Injection Rate (X-axis) for two cases, 3940 and 3942. The Y-axis ranges from 0 to 8.495 with major ticks every 1.416. The X-axis ranges from 0 to 16.99 with major ticks every 2.832. Case 3940 is represented by square markers and Case 3942 by diamond markers. Both cases show a similar trend where the flow rate increases with the methane injection rate, peaking around 14.16 m³/hr before slightly decreasing.

Methane Injection Rate (m³/hr)	Flow Rate (Case 3940)	Flow Rate (Case 3942)
0	0.0	0.0
0.5	0.5	0.5
1.0	1.0	1.0
14.16	7.0	6.5
14.6	7.5	7.0
15.1	7.0	6.5

Methane Injection Rate ( $\text{m}^3/\text{hr}$ )

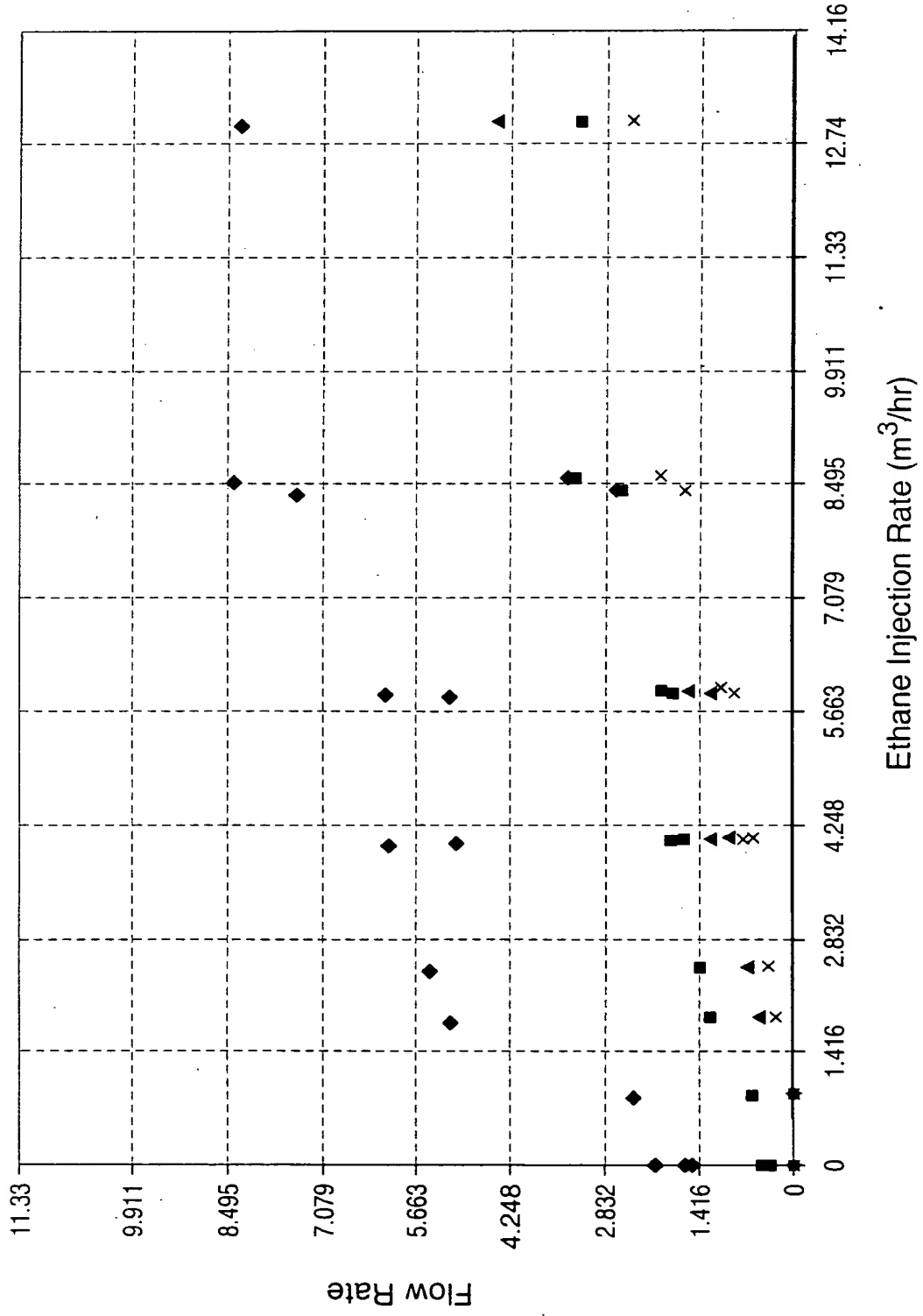


FIG. 154

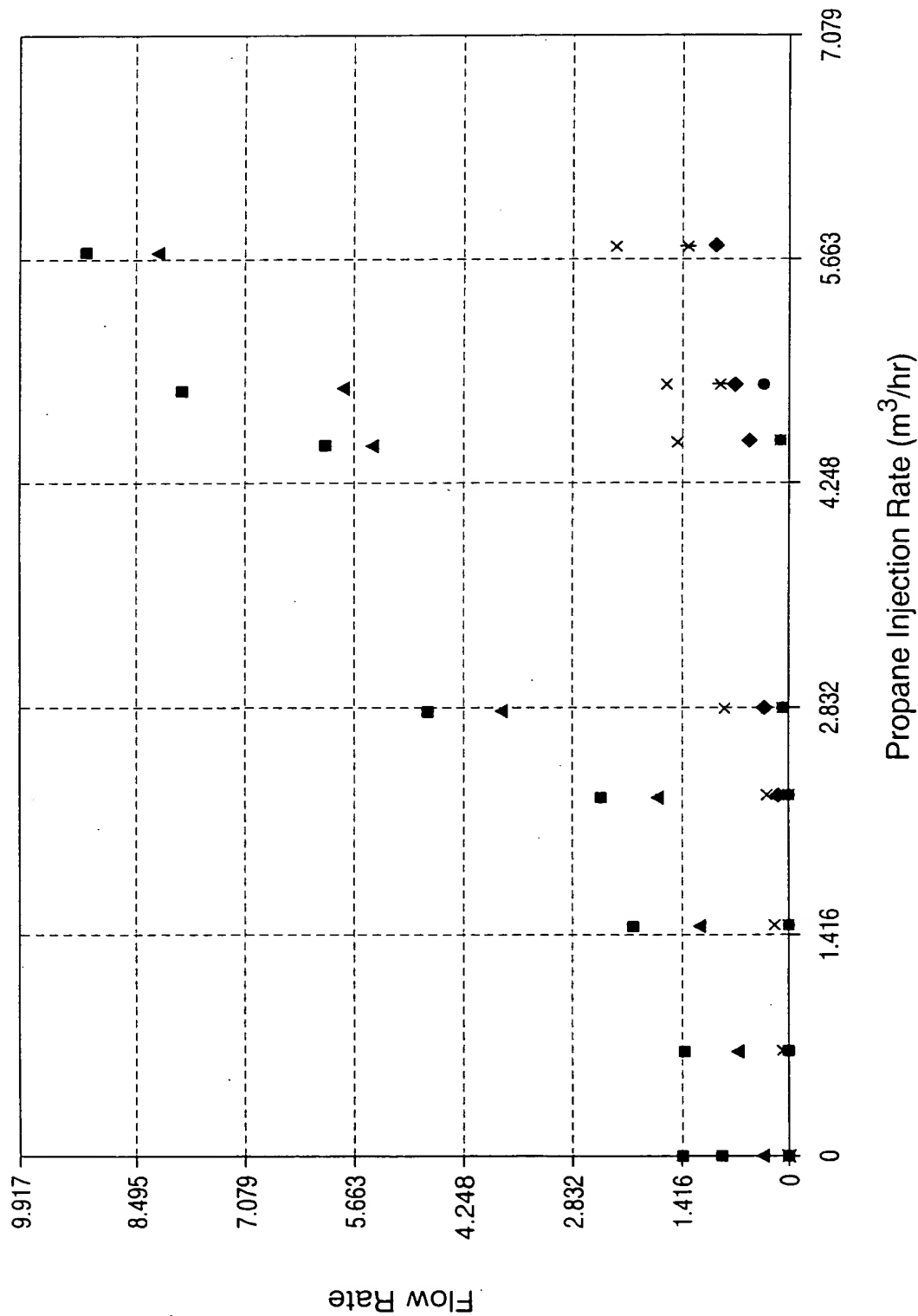


FIG. 155



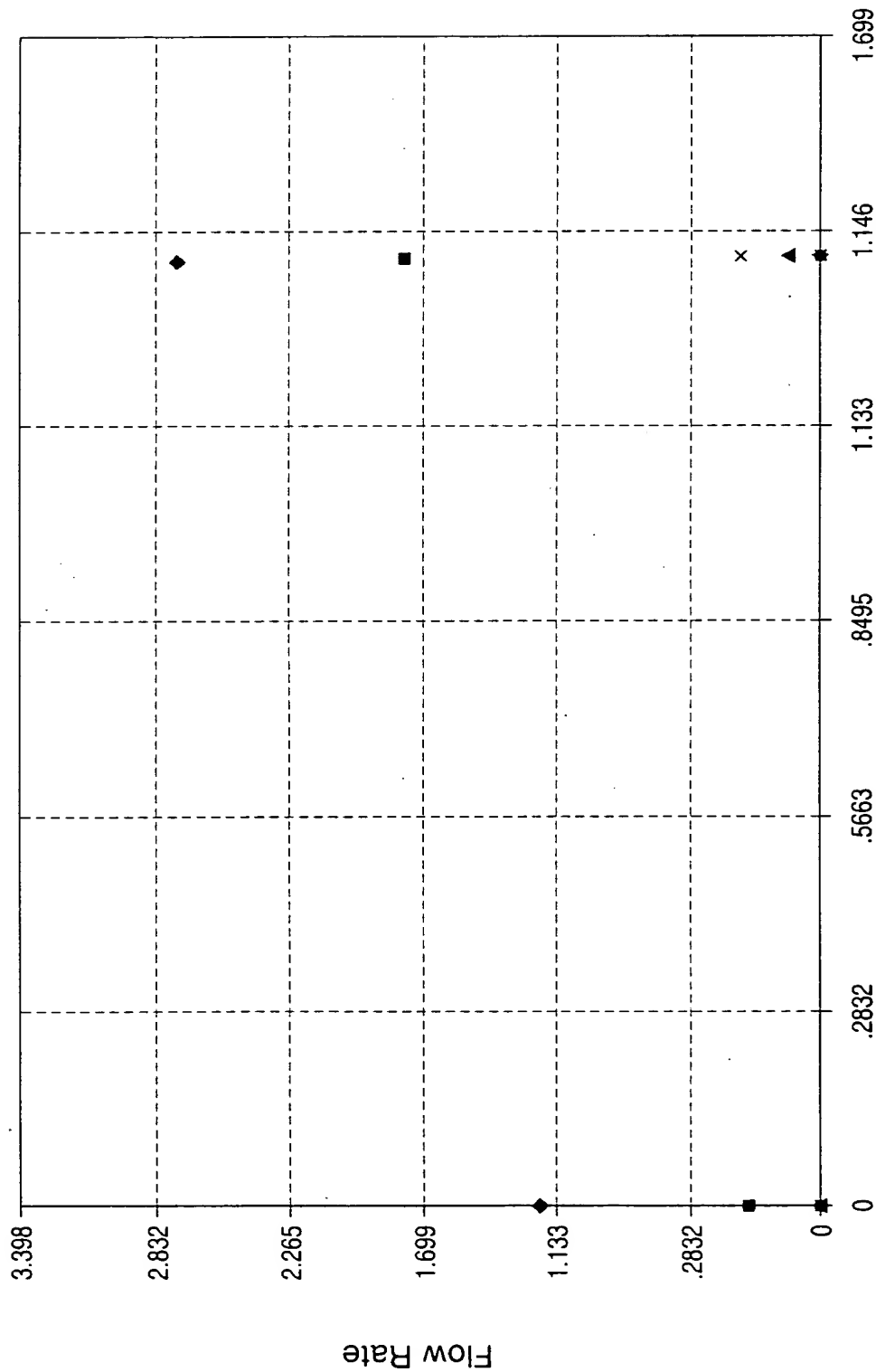


FIG. 156

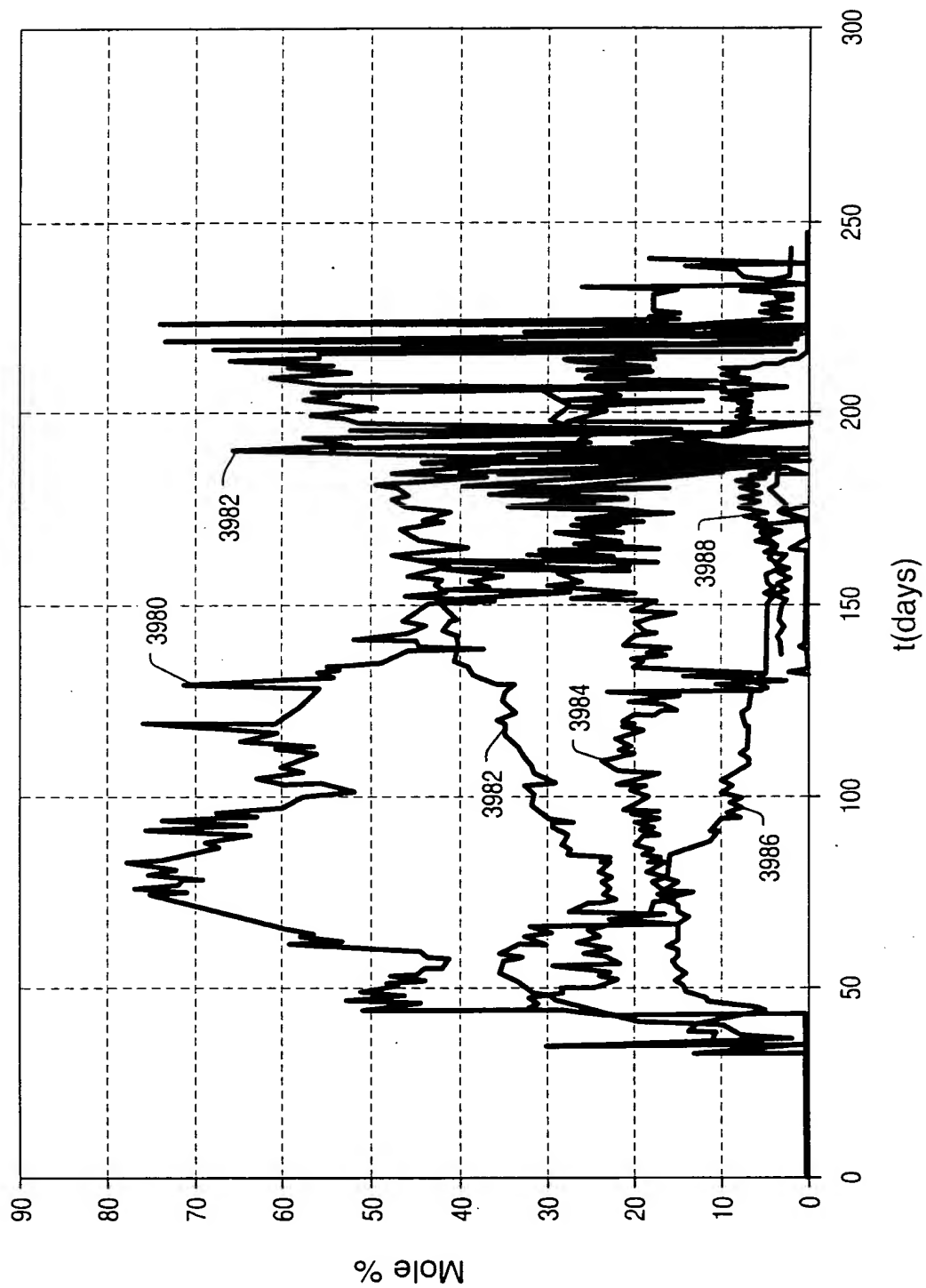


FIG. 157

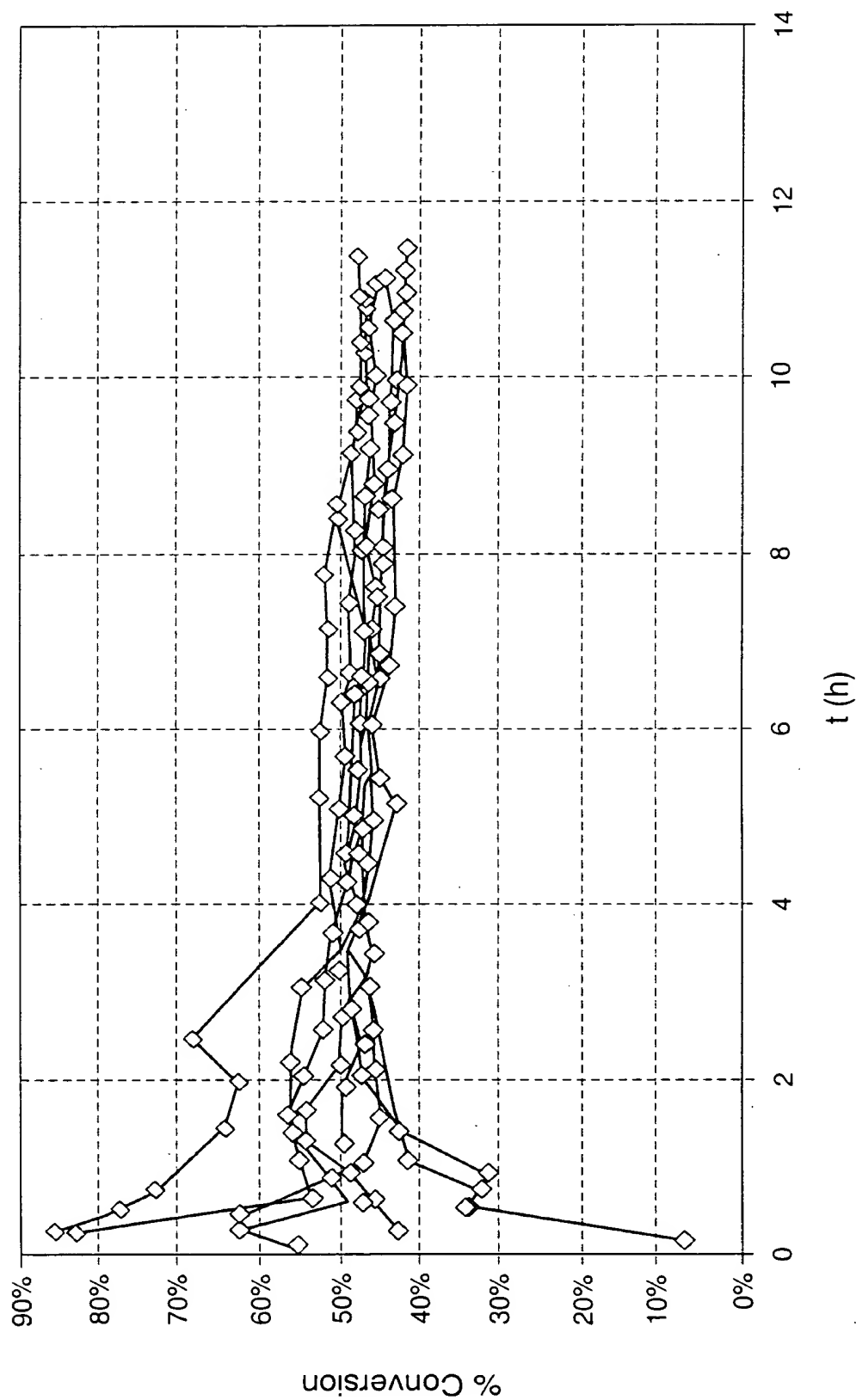


FIG. 158

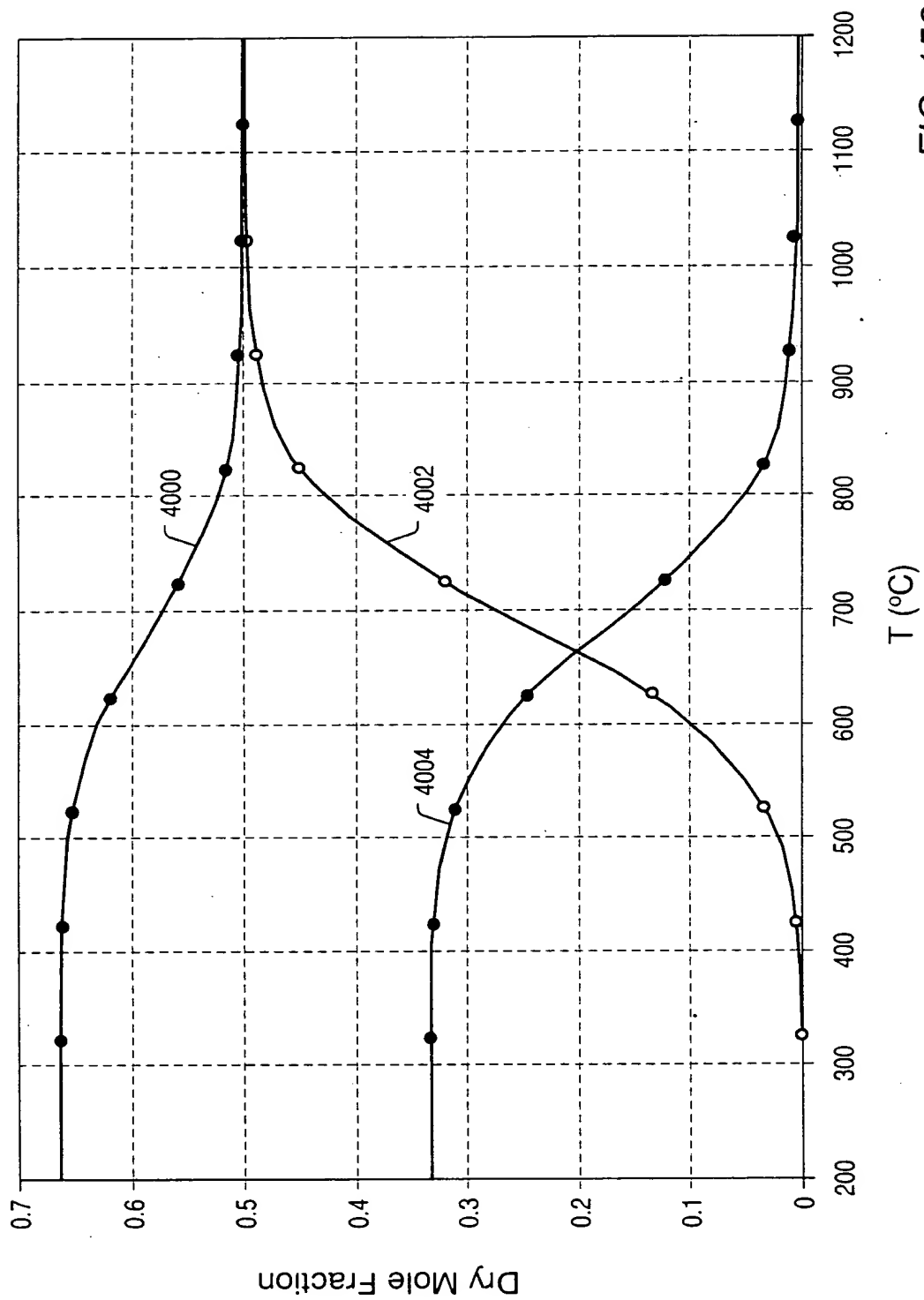


FIG. 159

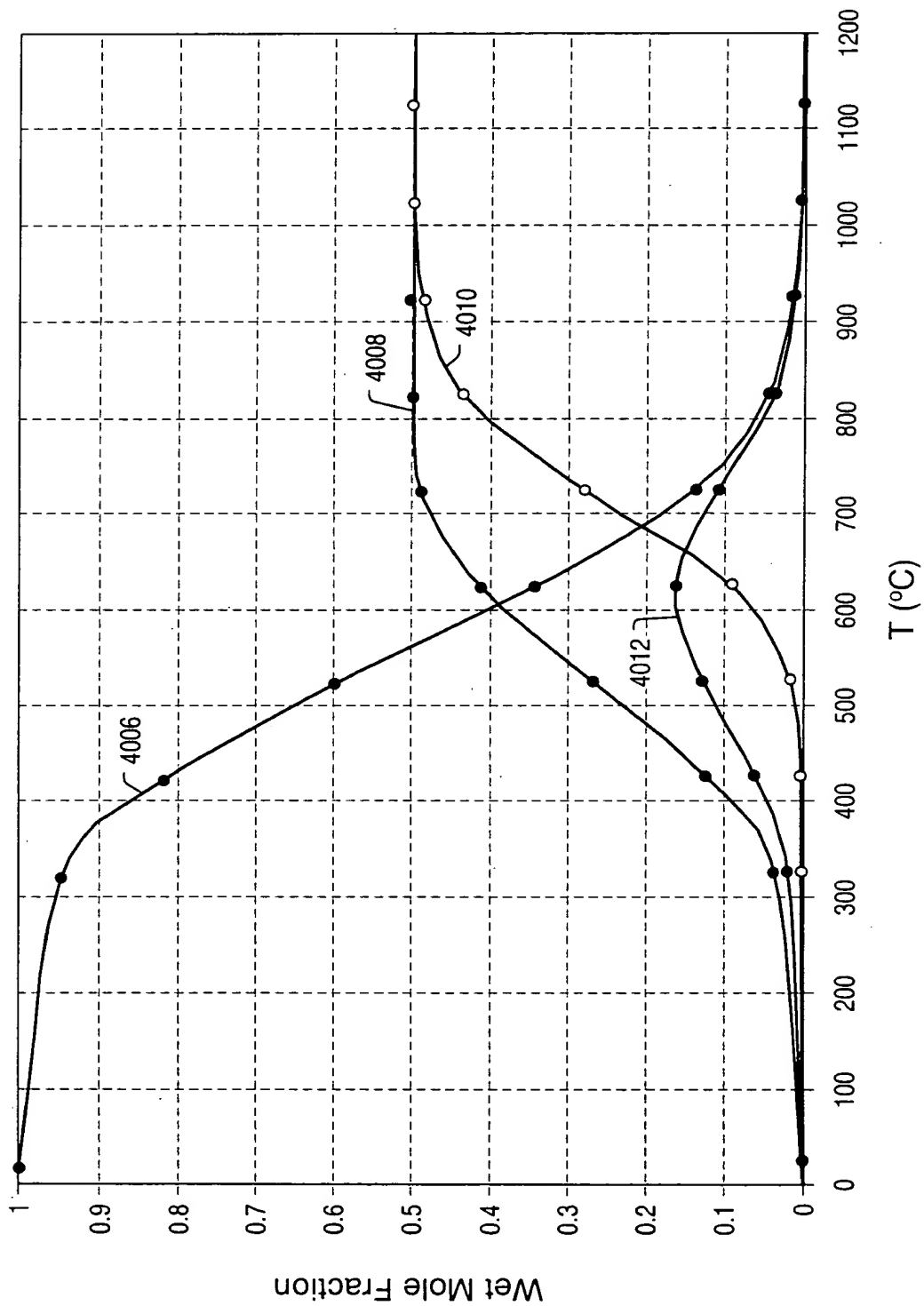


FIG. 160

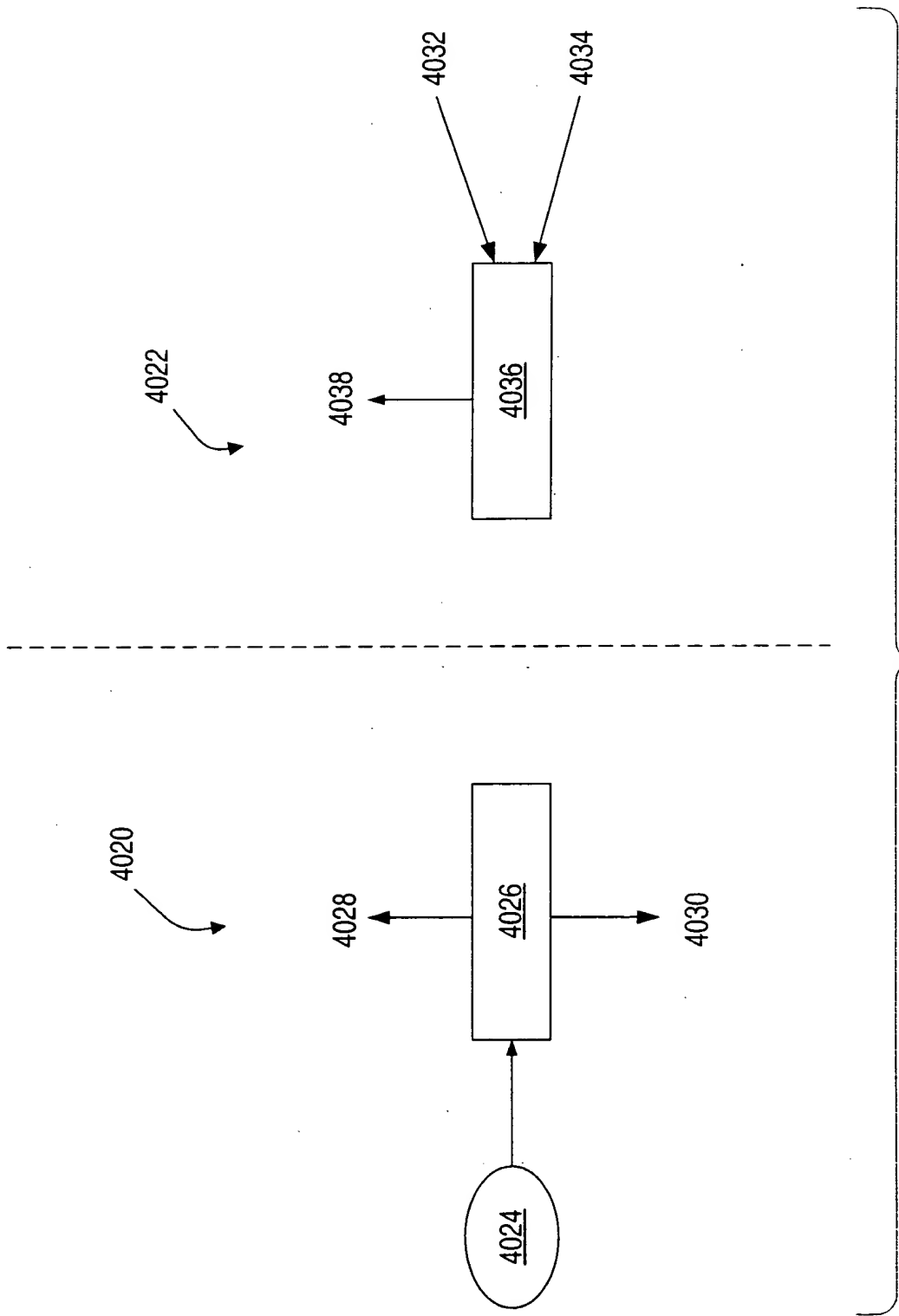


FIG. 161

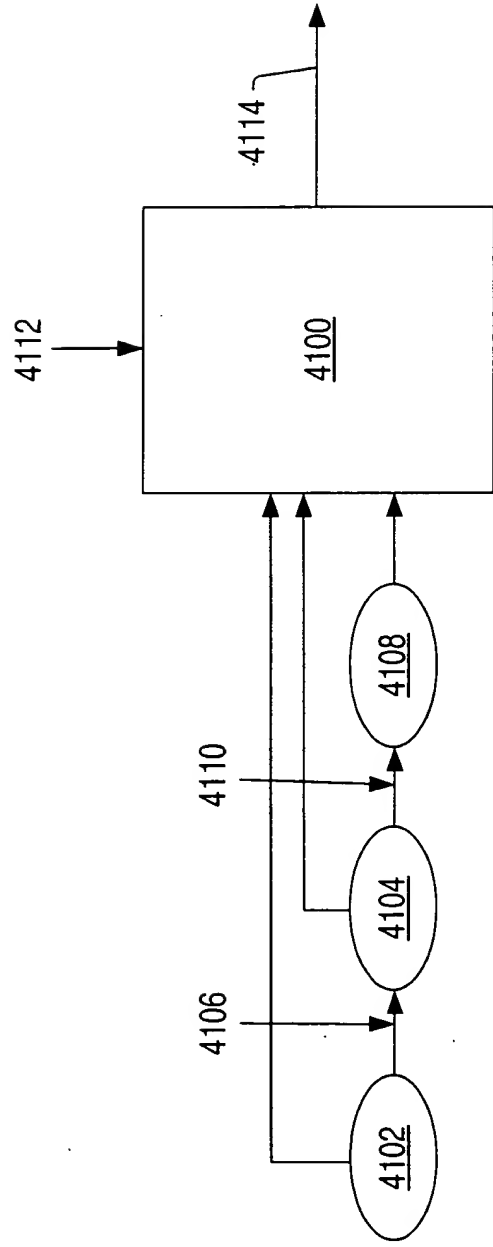


FIG. 162

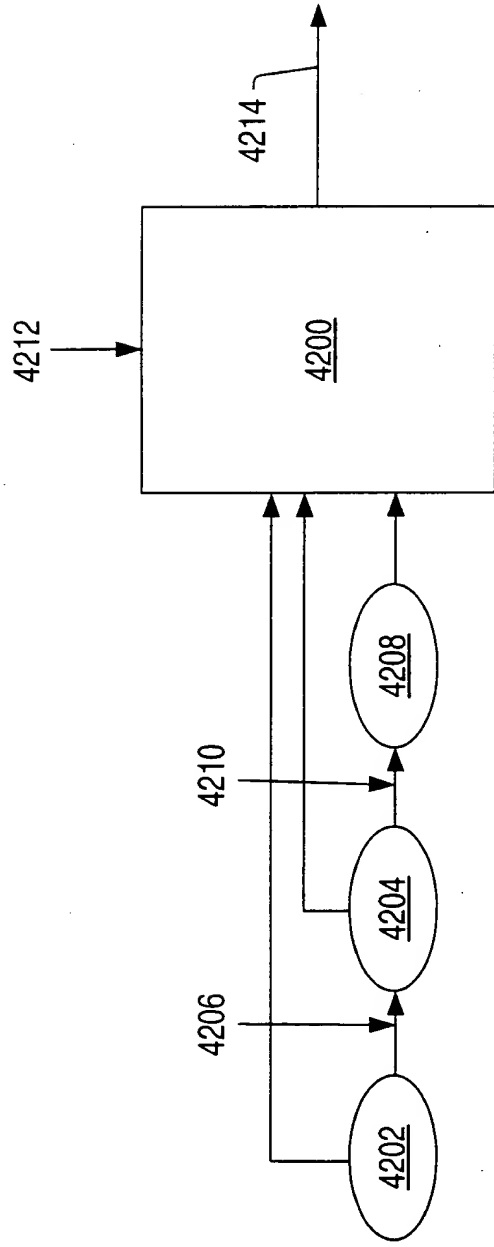


FIG. 163



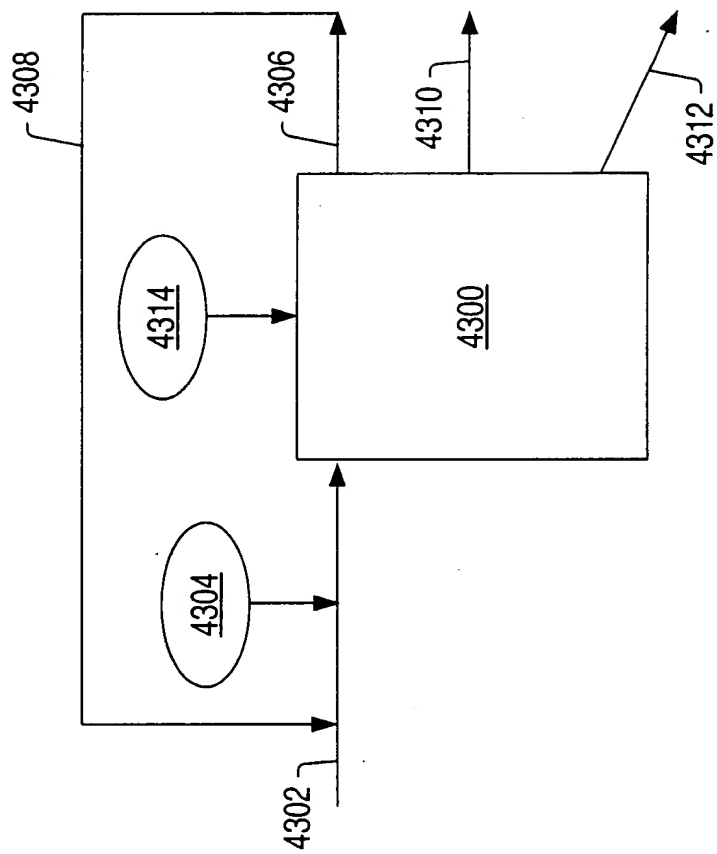


FIG. 164

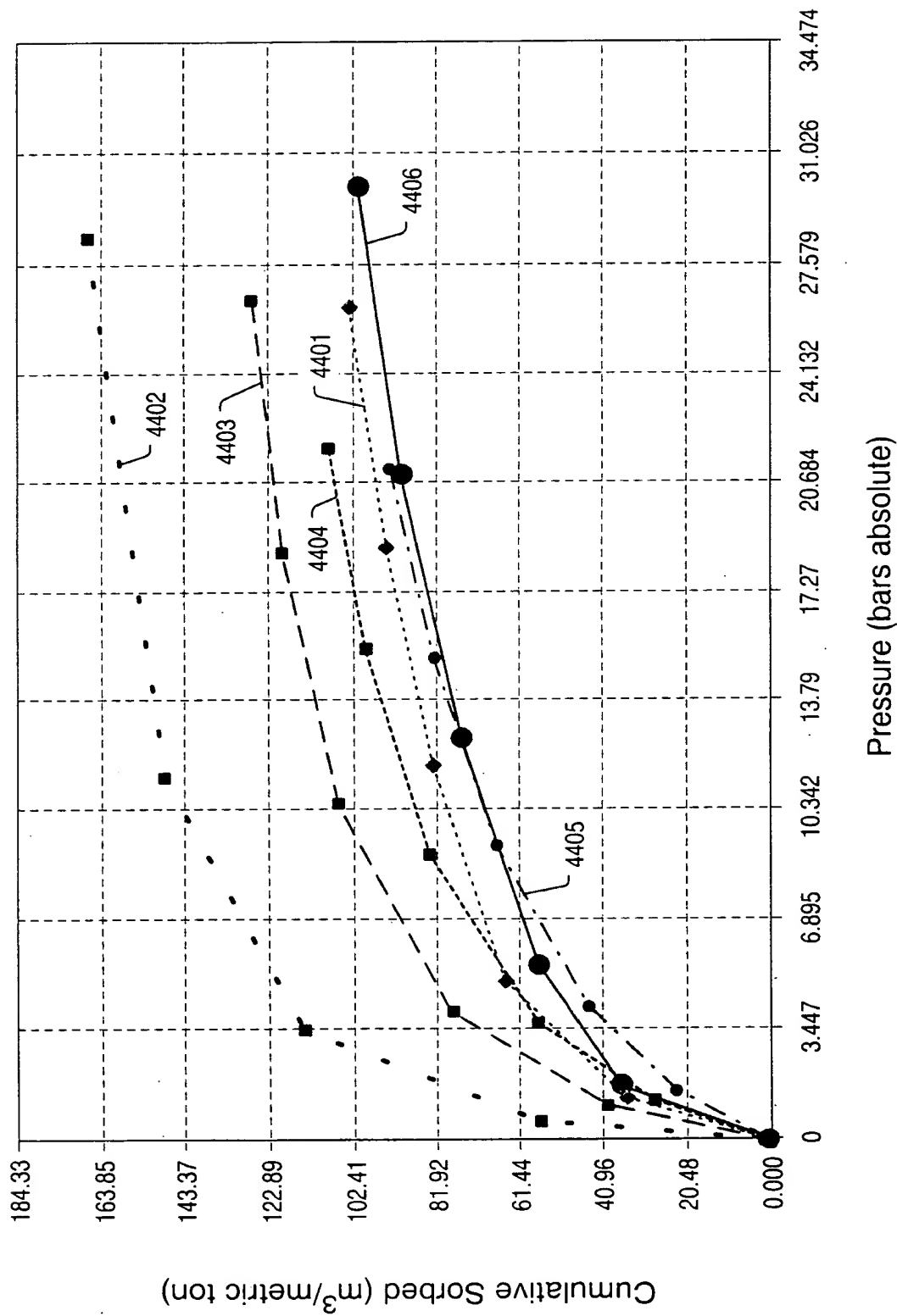


FIG. 165

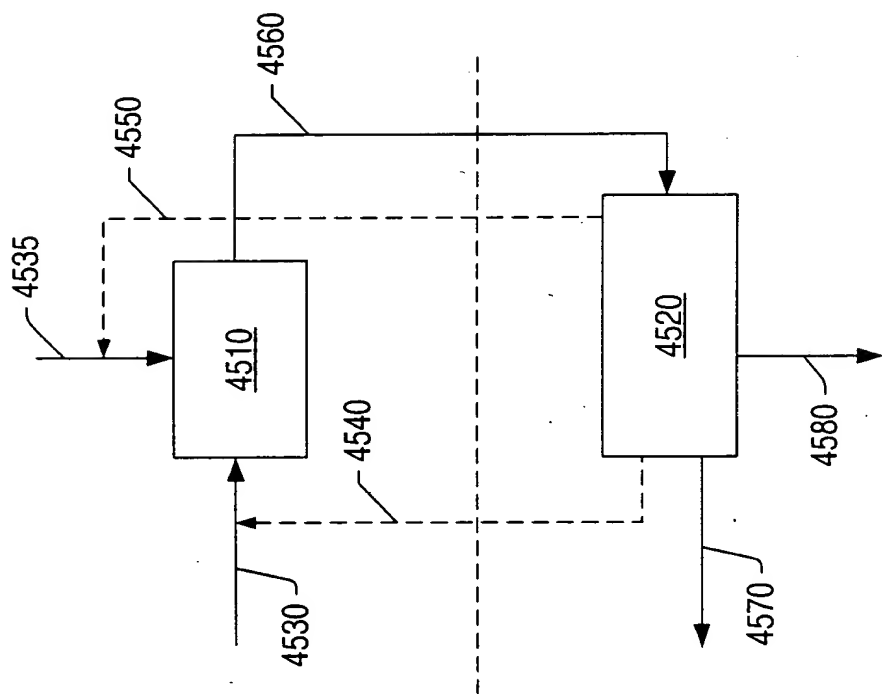


FIG. 166

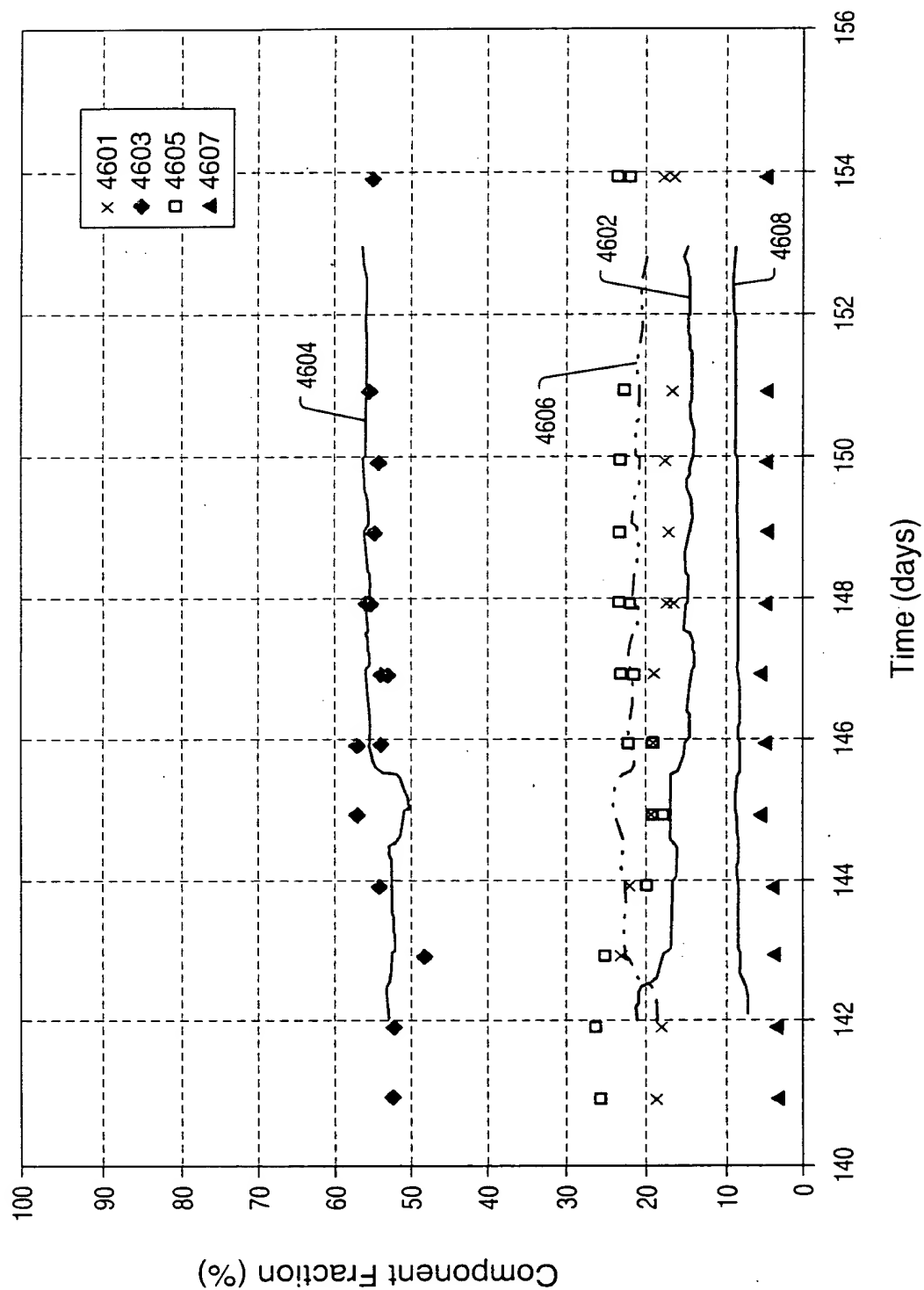


FIG. 167

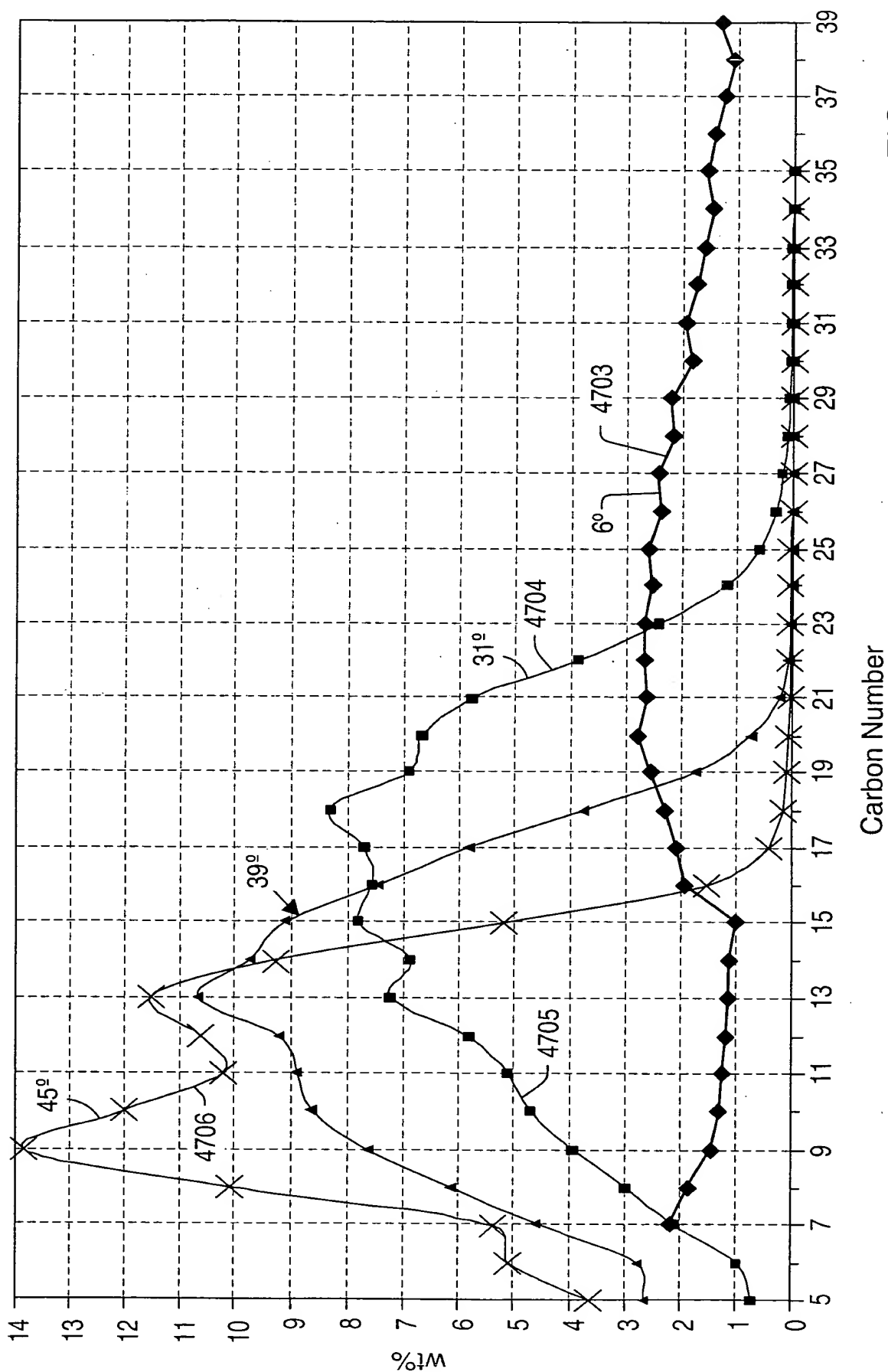


FIG. 168

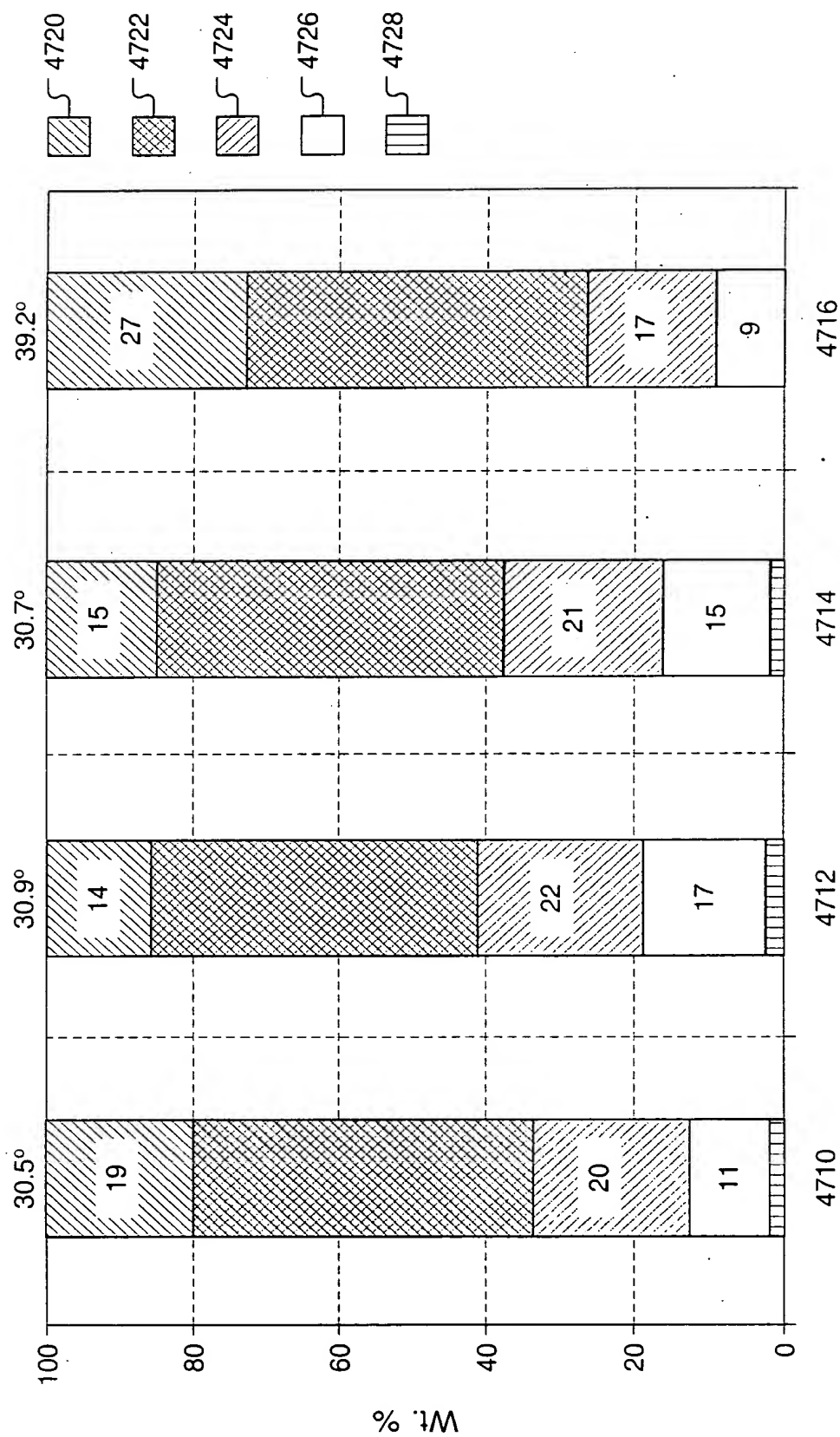


FIG. 169

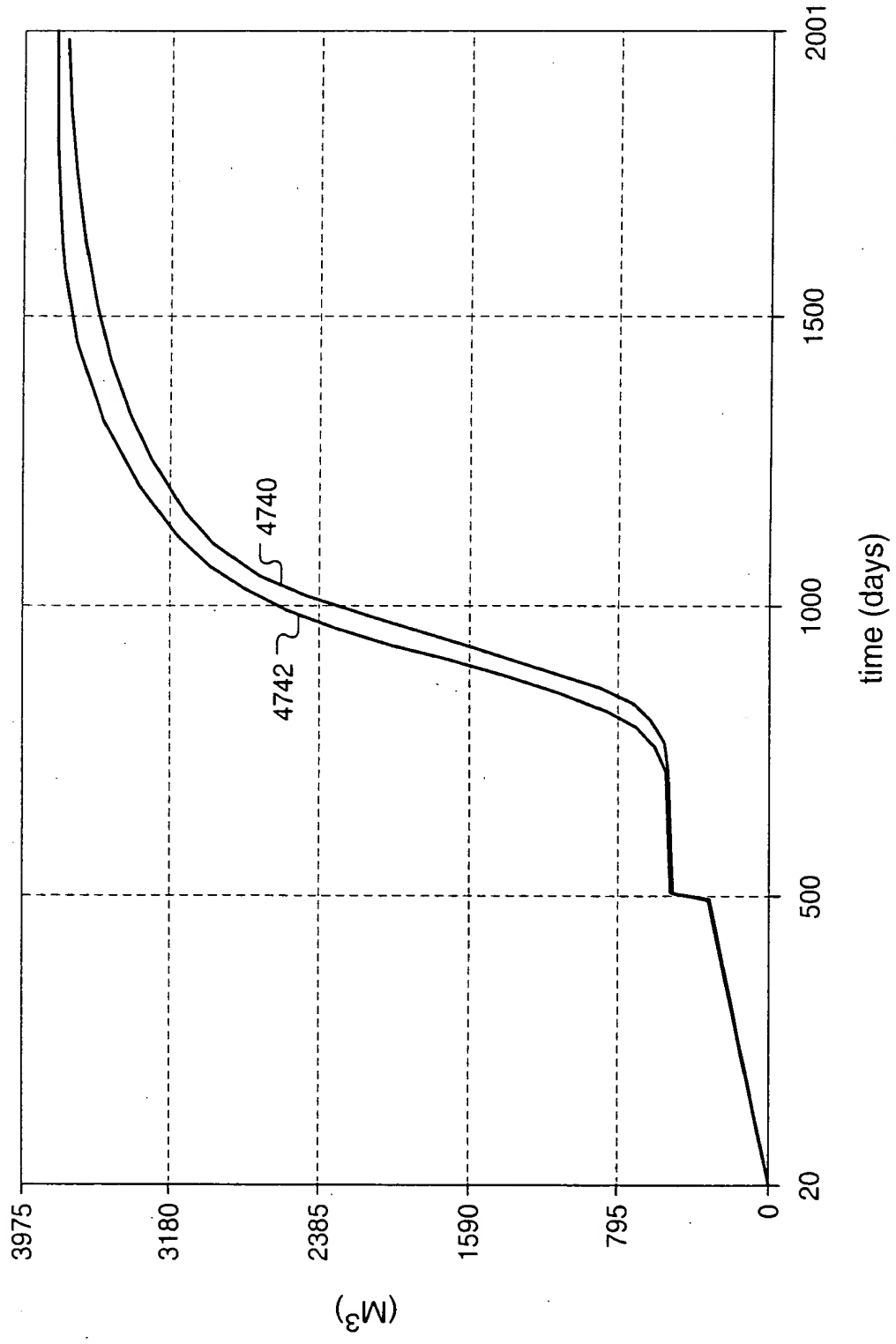


FIG. 170

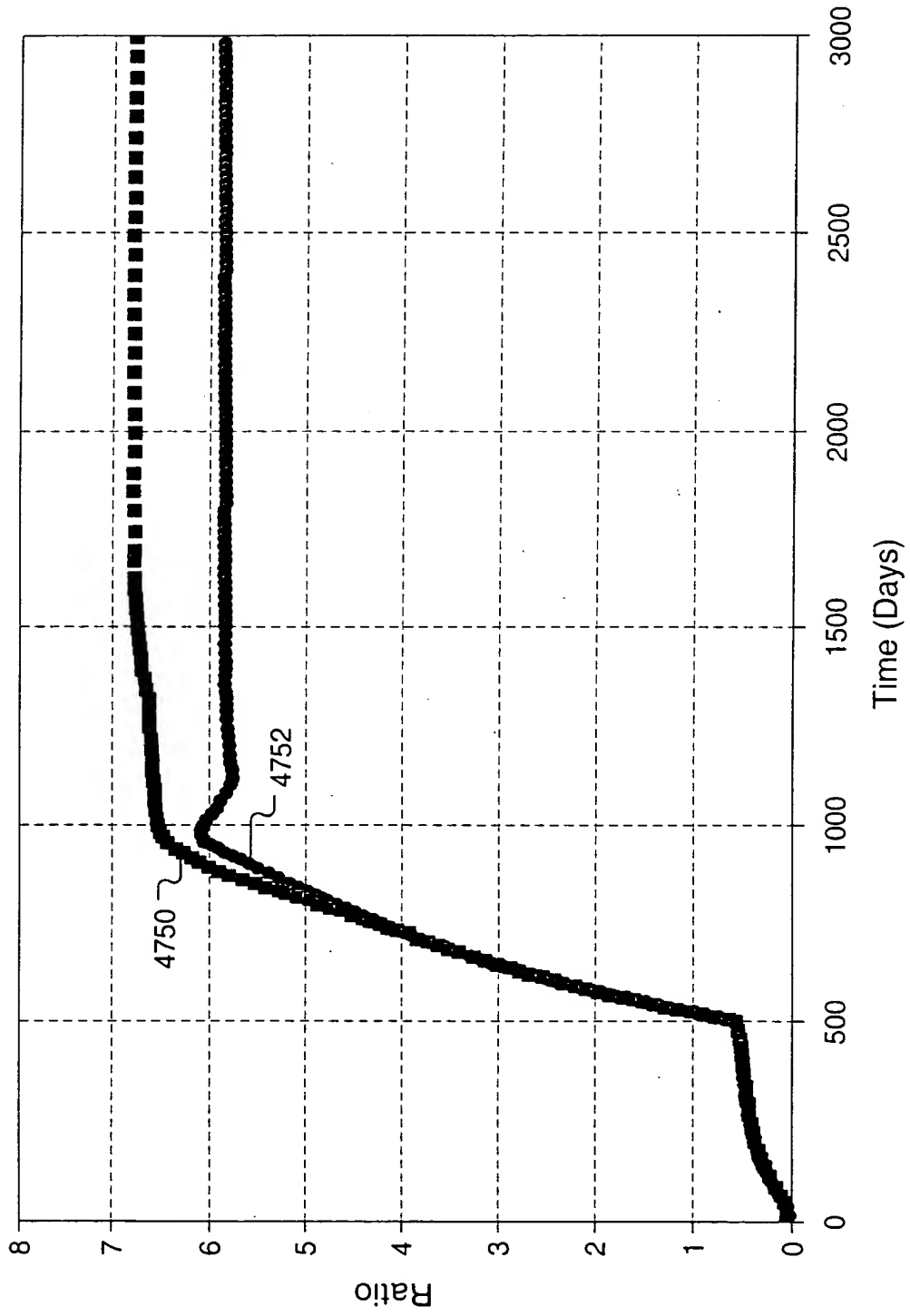


FIG. 171



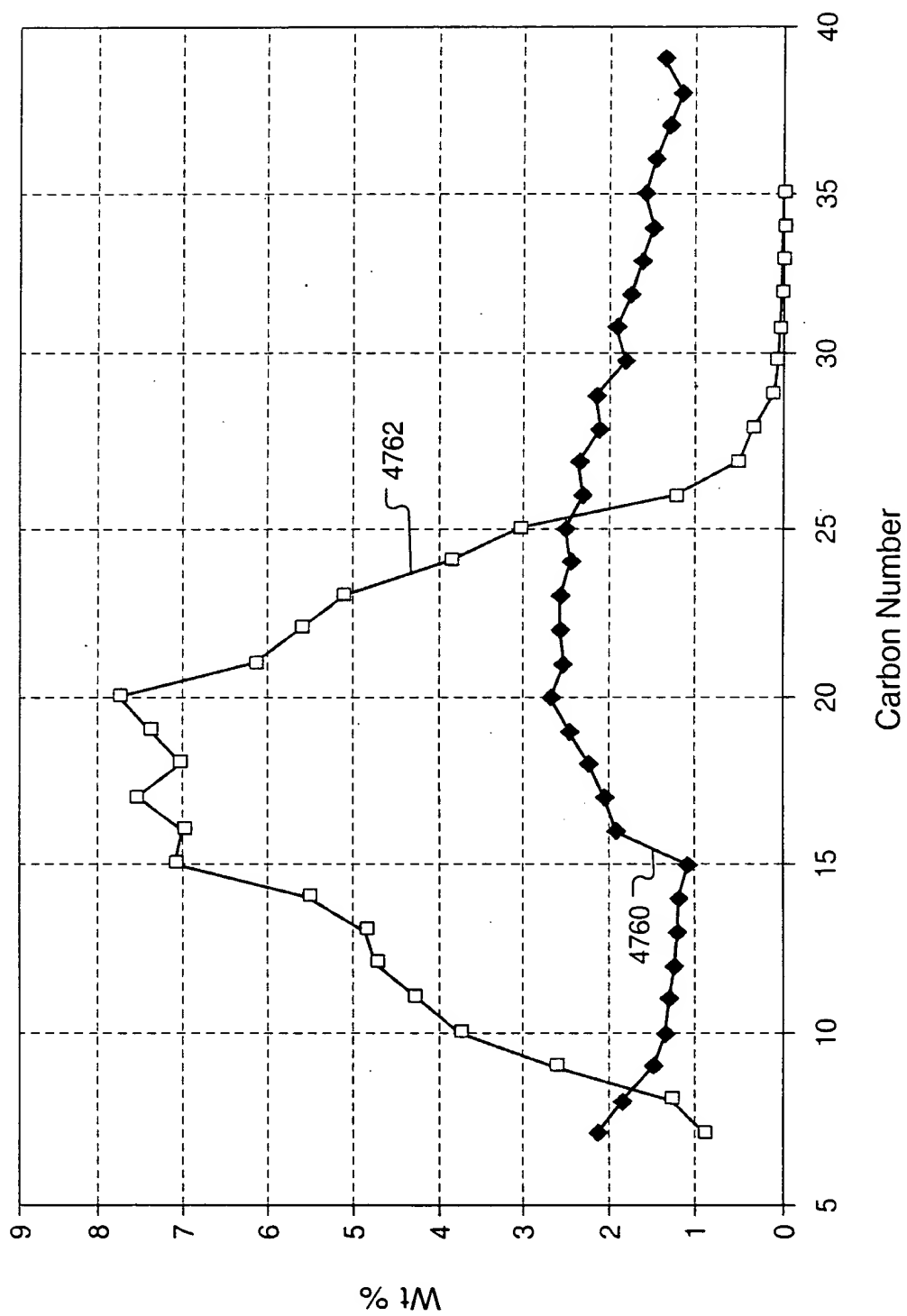


FIG. 172

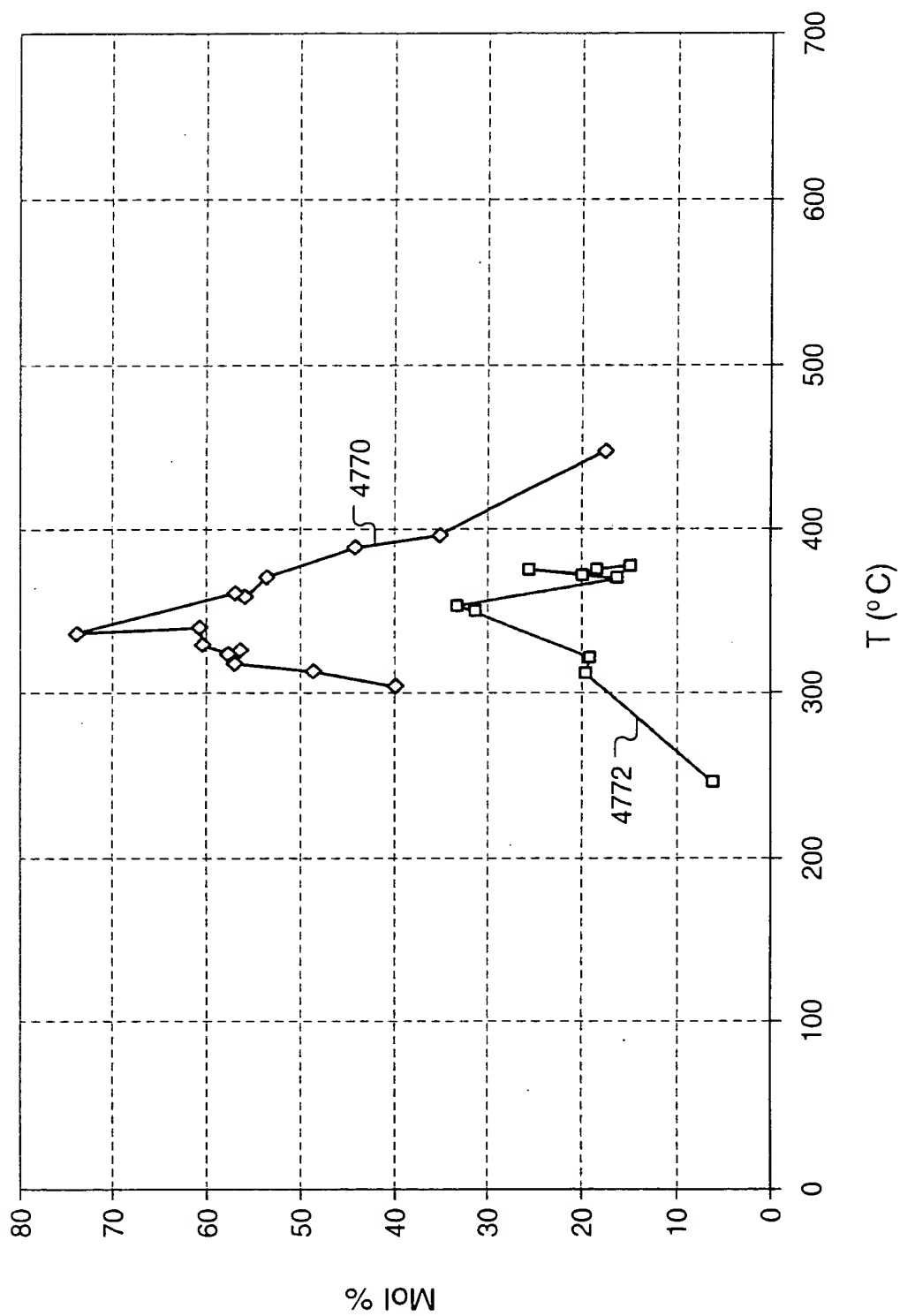


FIG. 173

T04210: T02ETH860

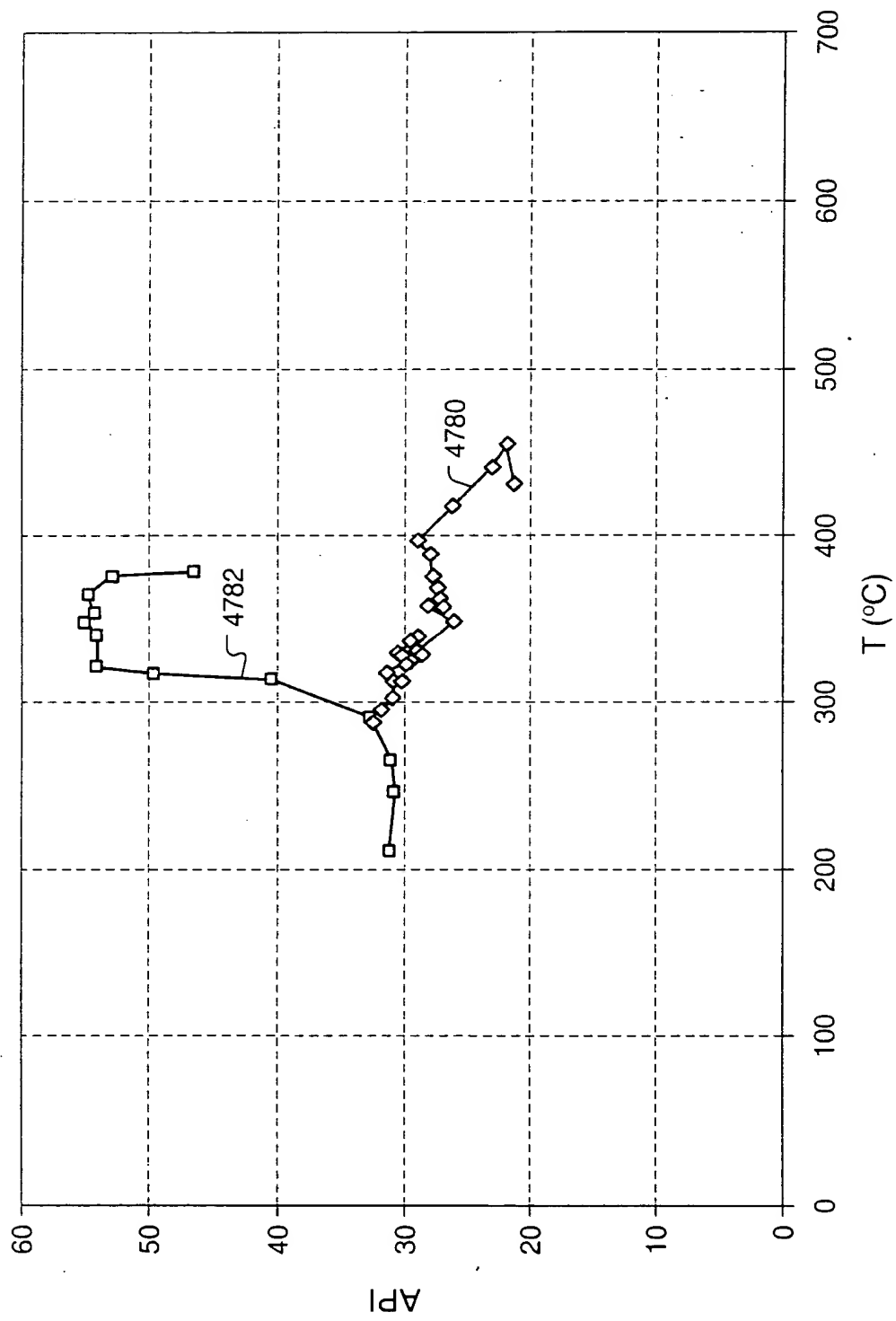


FIG. 174

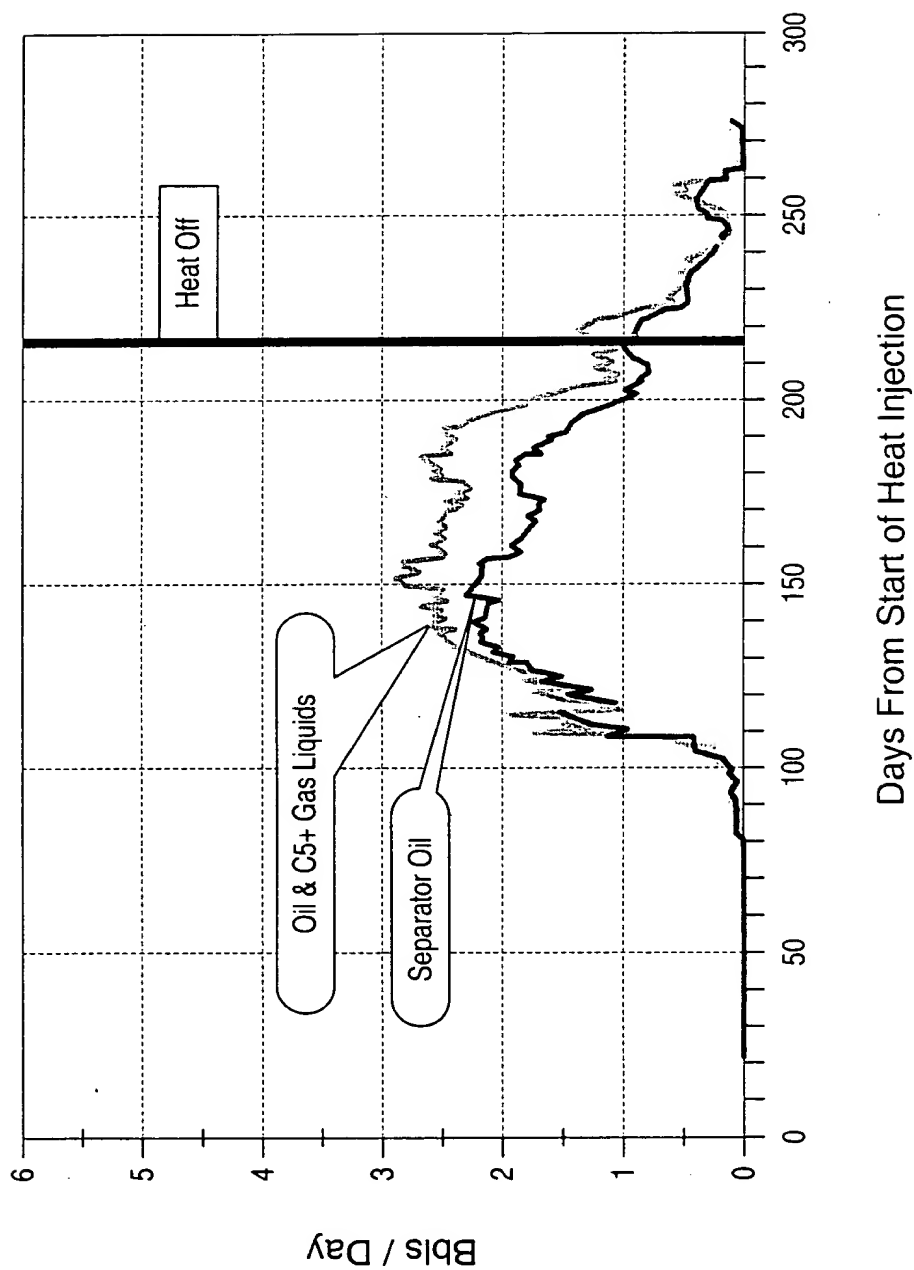


FIG. 175

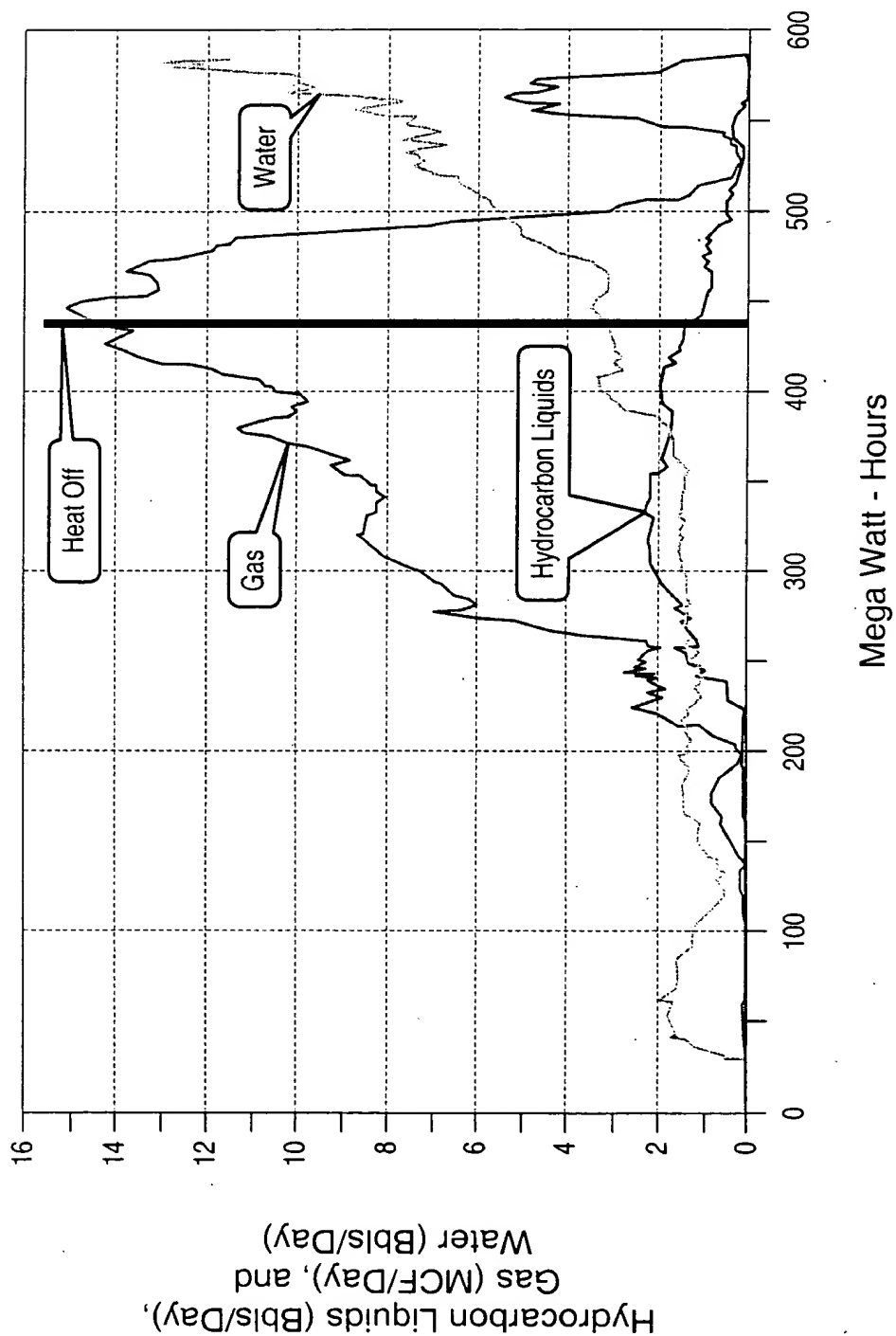


FIG. 176

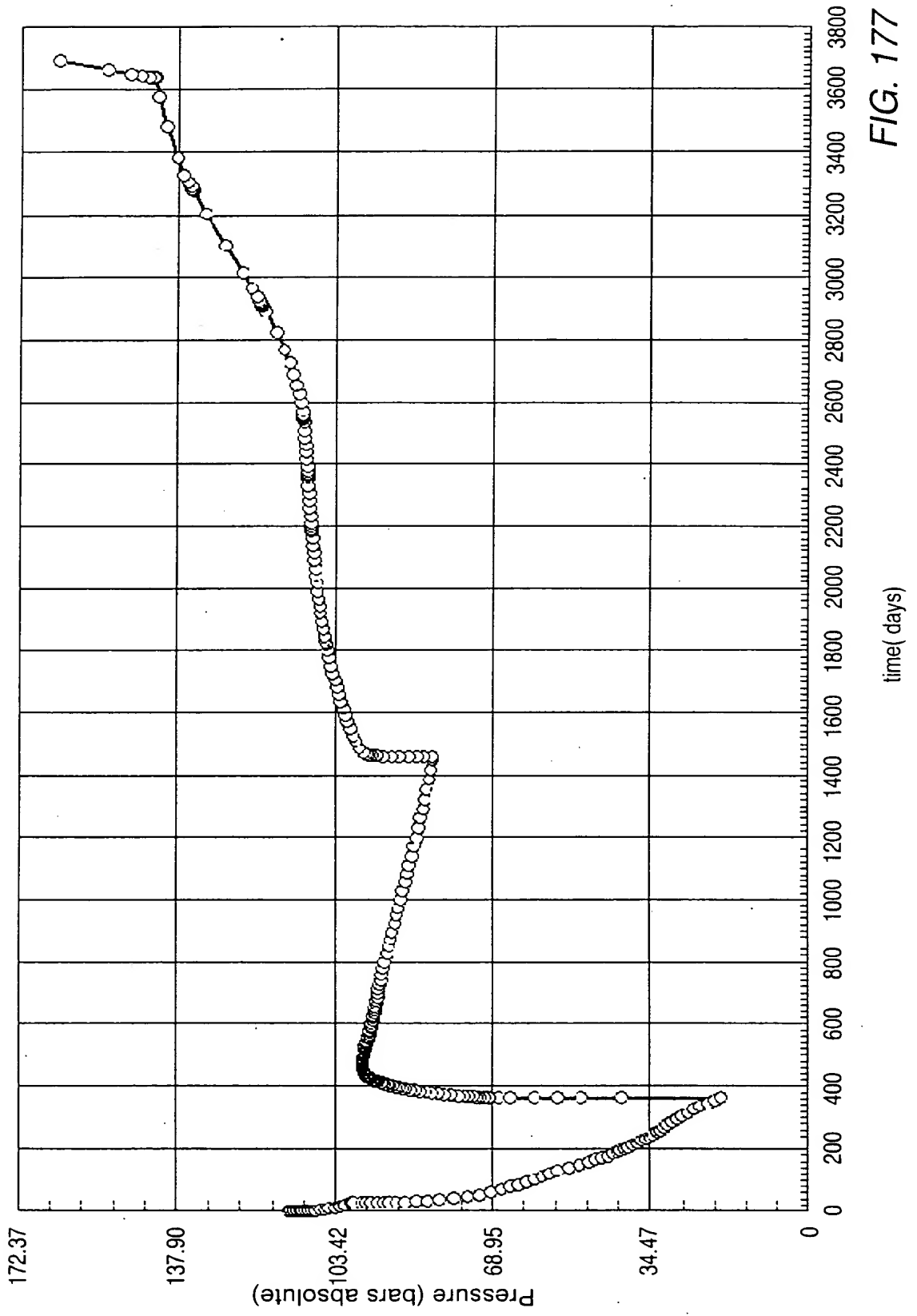


FIG. 177

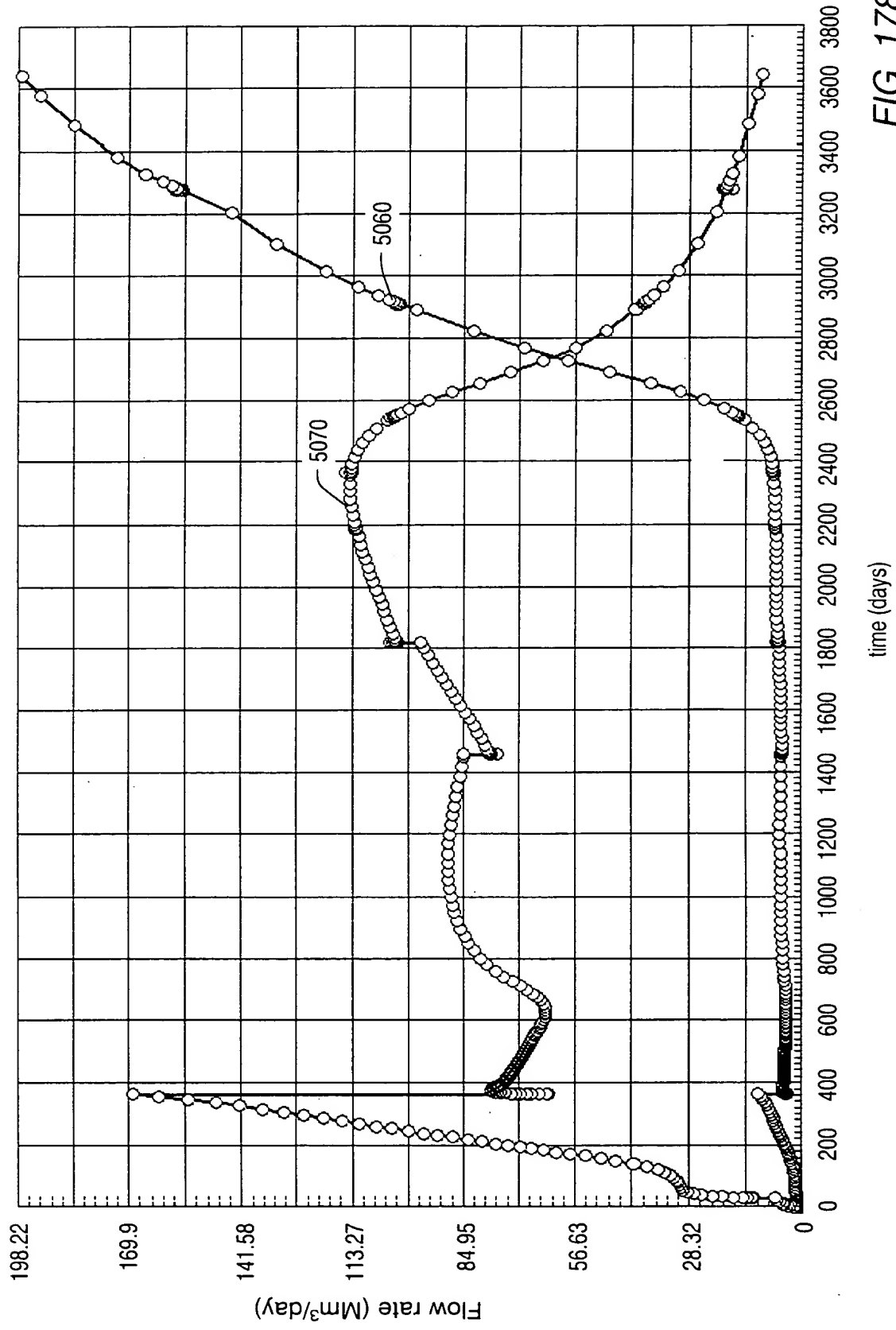


FIG. 178

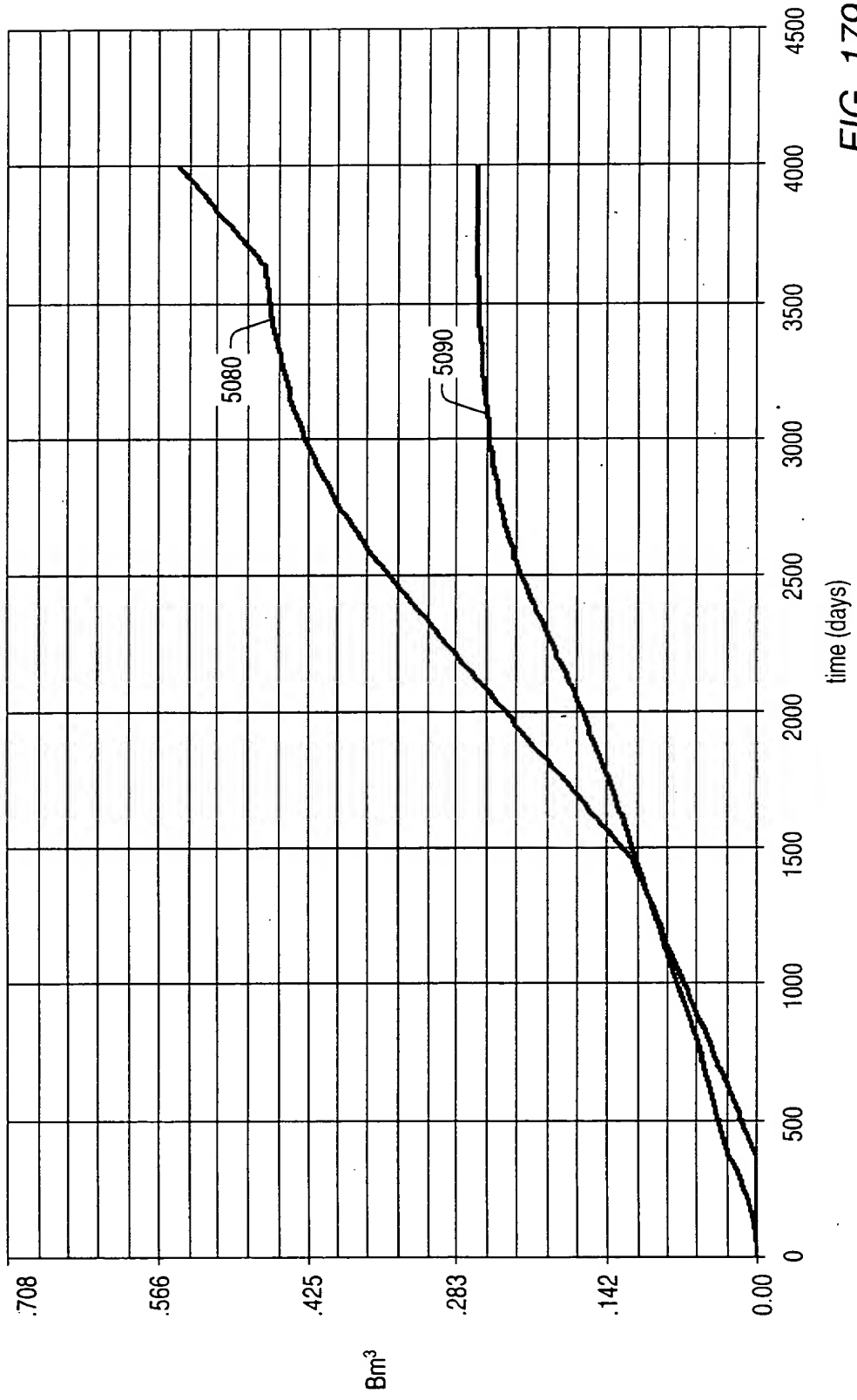


FIG. 179



FOH240-FOEFH360

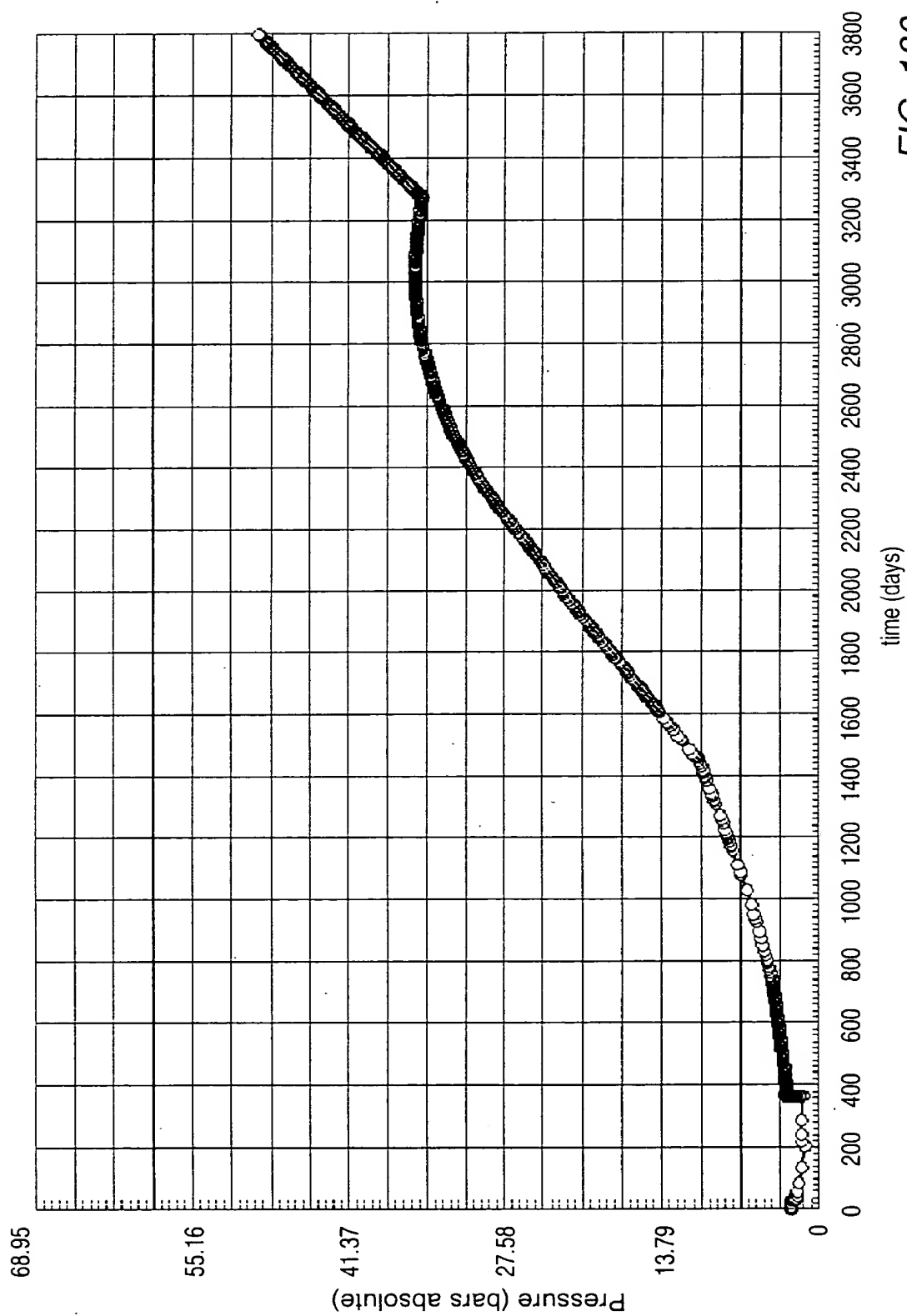


FIG. 180

TONINO TONINO

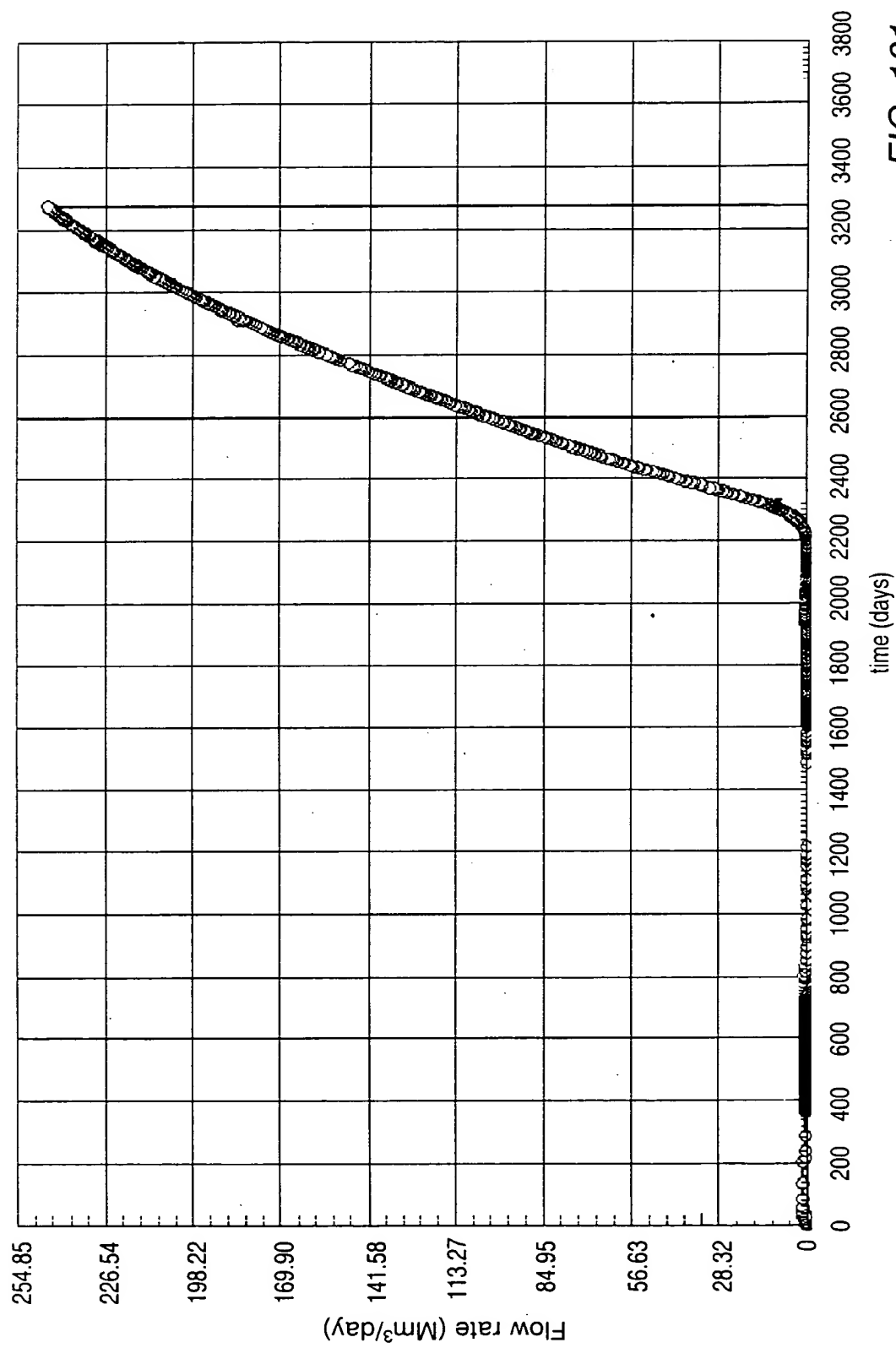


FIG. 181

FOUO FOUO FOUO

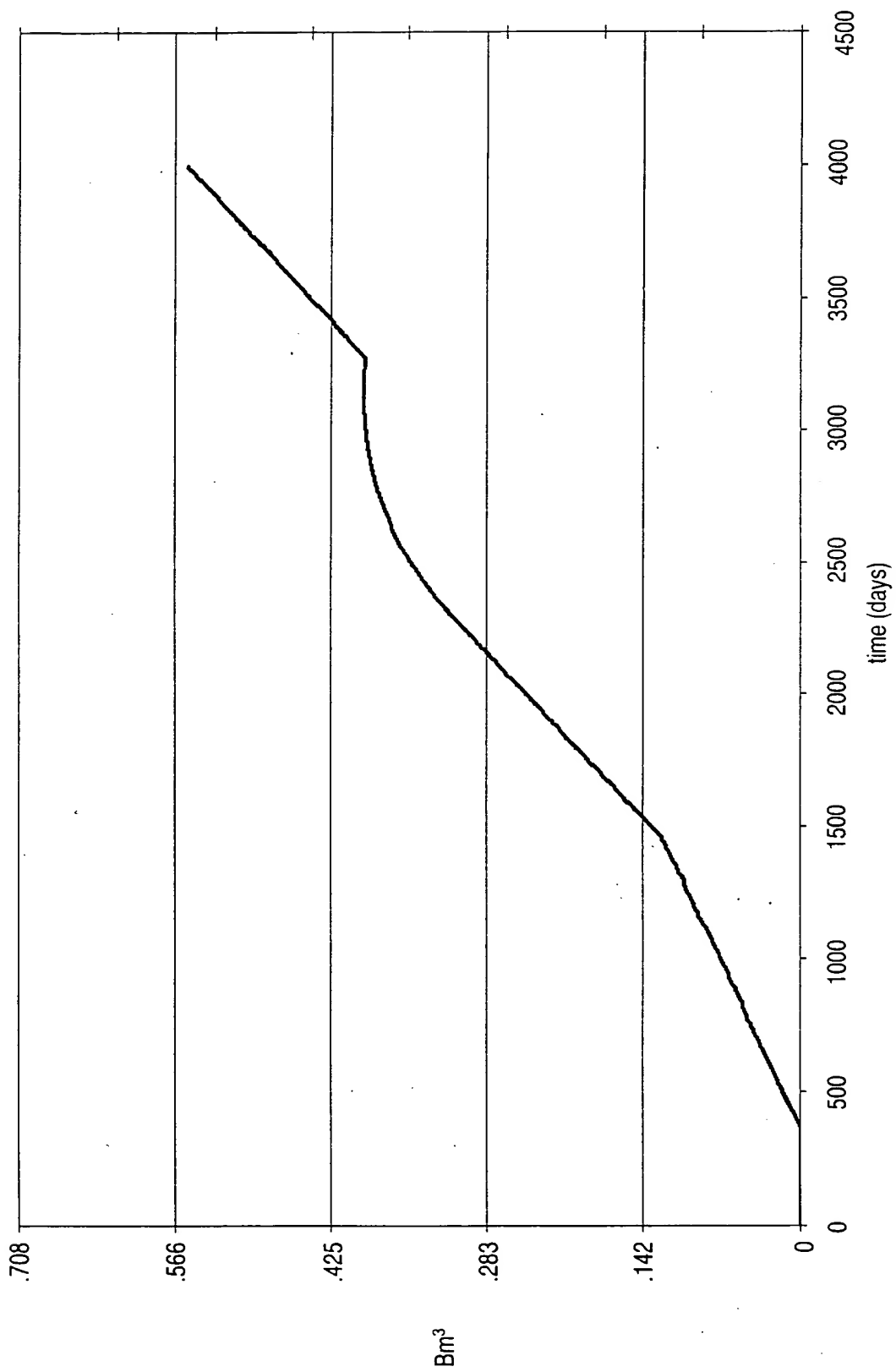


FIG. 182